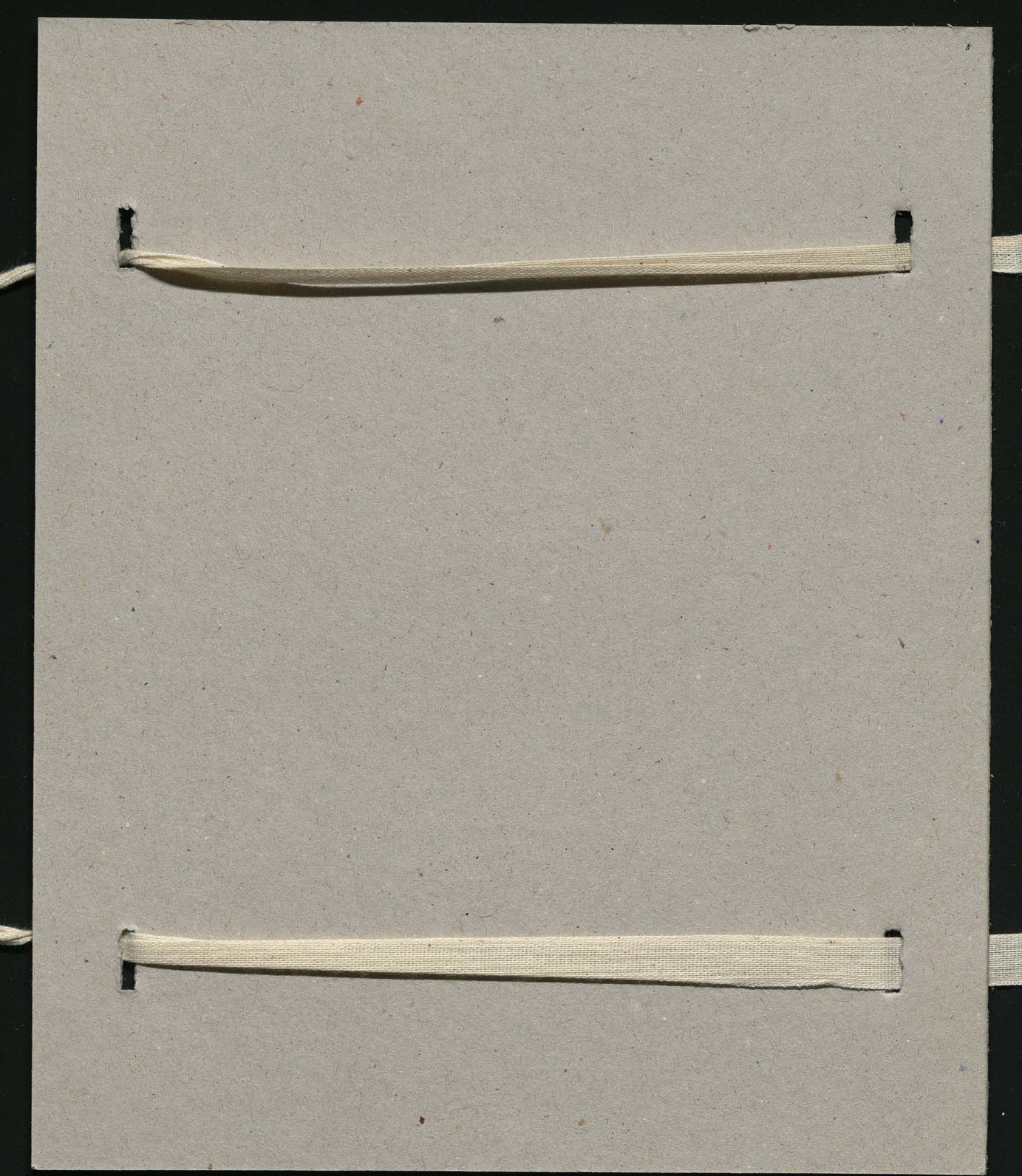


9409

Bibl. Jag.

II



9409

II

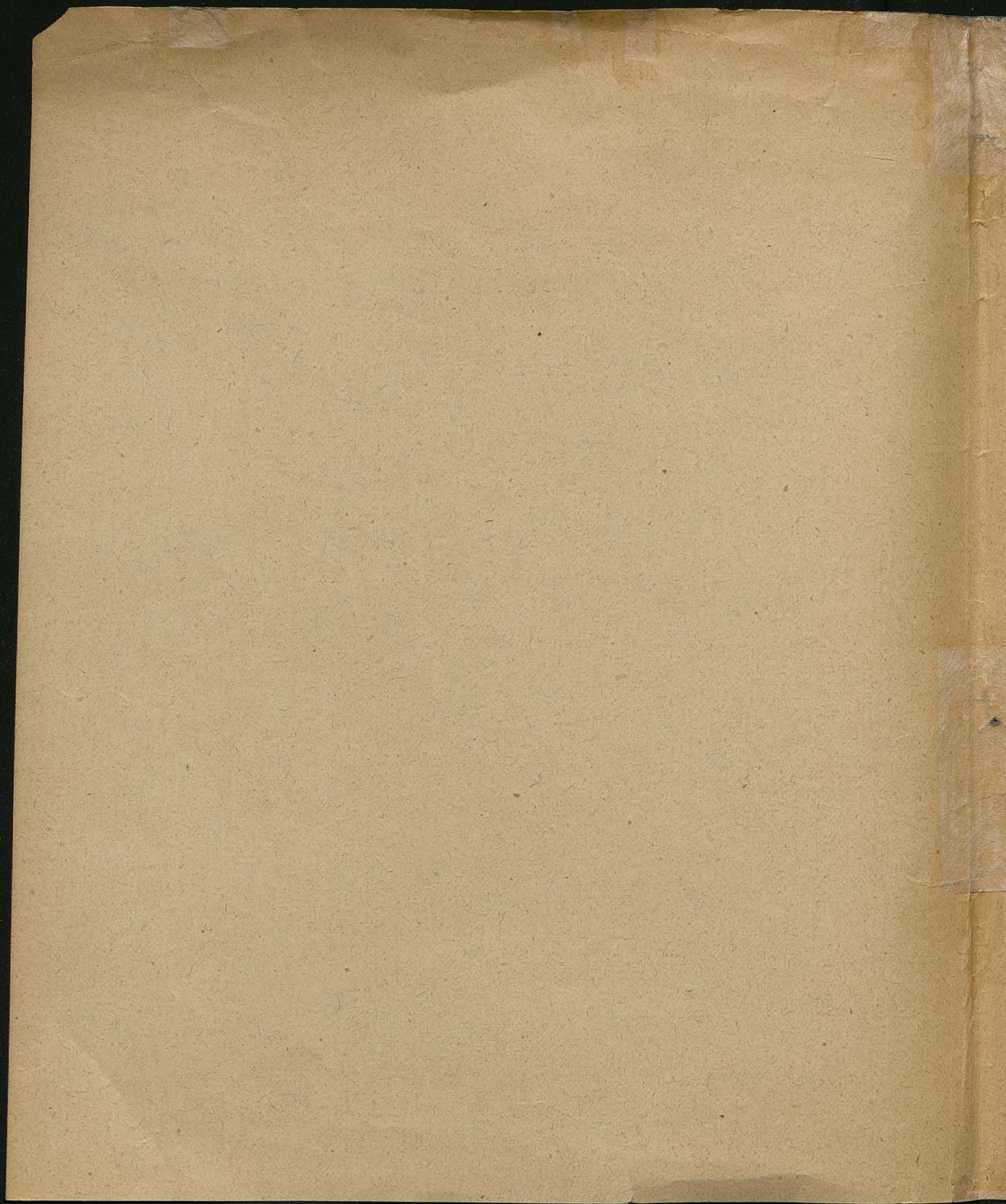
I B3

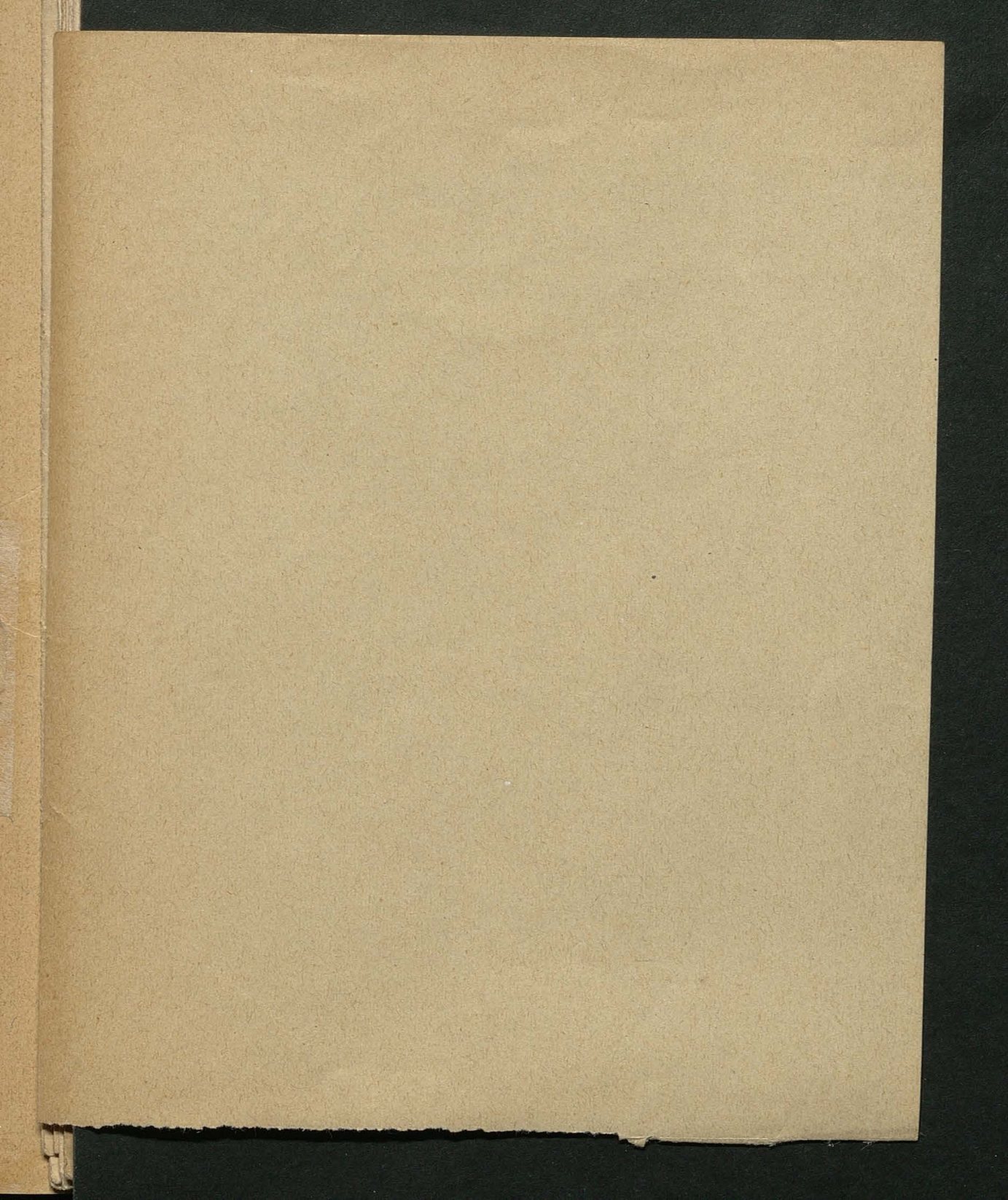
B3

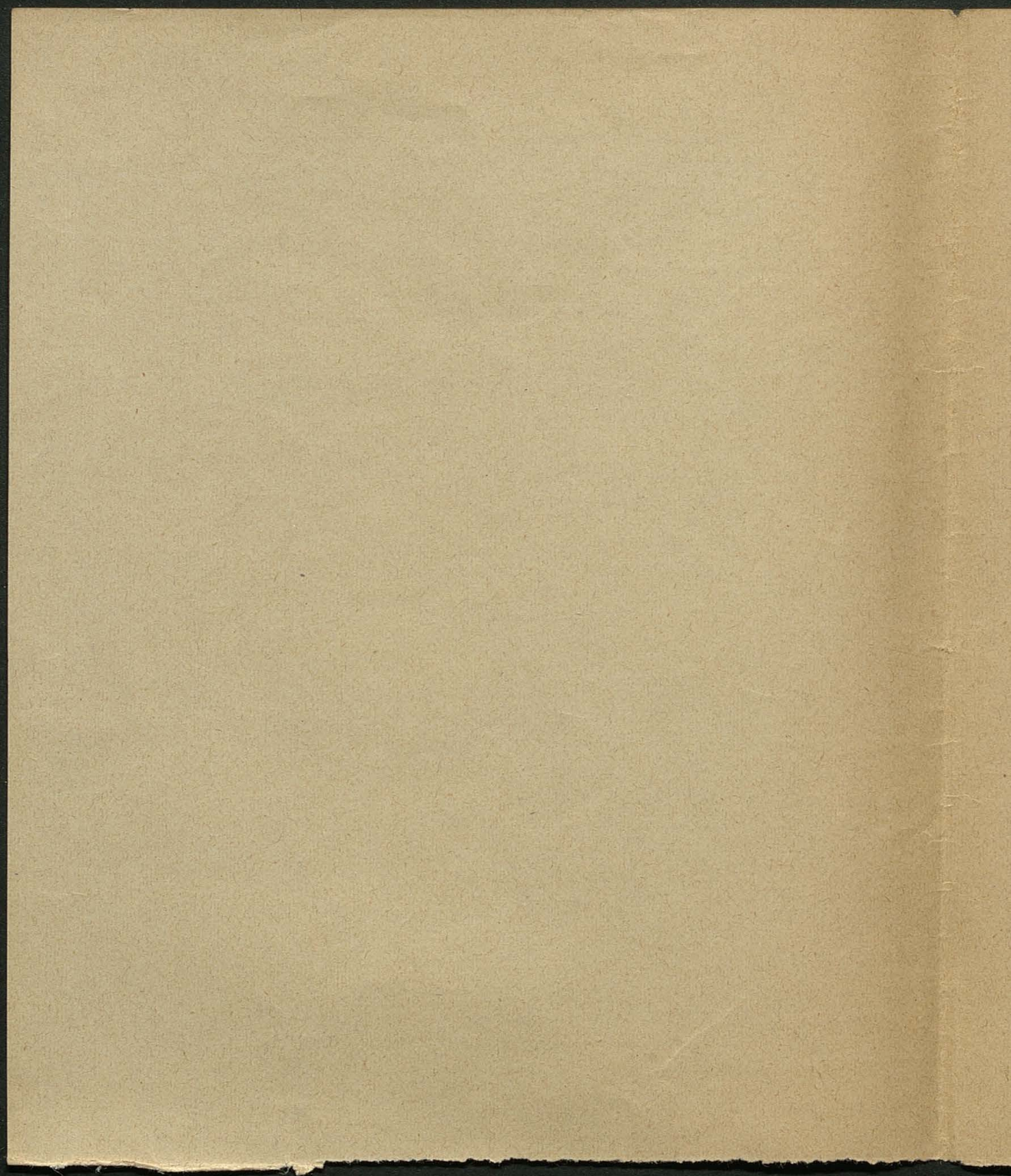
Notatki

z czasów Sudyów

2







On the electrical resistivity of bismuth, of the temper. of liq. air.

James Swar & J.A. Fleming

temp. in platinum degrees	Magnetic field C.G.S.			
	0	1,400	2,750	
200	1.679	1.700	1.792	over temp.
-202°	0.5723	1.4435	2.6801	in liquid air

[Researches about \uparrow between 0° and 100° see J.D. Henderson
(Ph.M. XXXVIII p. 488) between 0 and 22,700 C.G.S.]

Bismuth applied was furnished by Messrs. Hartmann
& Braun: exceedingly pure electrolytical bismuth - wire
length 80.85 cm, diam.: 0.05245 cm, very soft

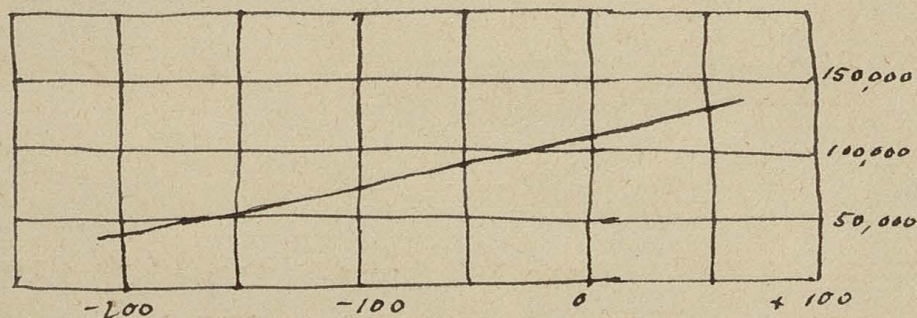
temp.	ohms	C.G.S. μcm^3	
+60°5	4.9857	133,250	
+19°	4.3464	116,180	
-61°2	3.1275	83,590	in CO ₂ and ether
-202°2	1.5256	40,780	in liquid air

resistivity at 0°: 108,000

whiles Rothemann found for his bismuth 129,700

There is no minimum reached (contrary to earlier experiences & on less pure Bi: Phil. Mag. 95 p. 303).

Curve goes towards $-273^{\circ} = 0$



Temperatures measured with platinum wire - thermometers described in: Dewar & Fleming

"Thermoelectric Powers of Metals and Alloys at the Boiling Point of Liquid Air" Phil. Mag. 95 July p. 100

Electrician XXXVII 25/9 p. 6 p. 701

Report on Dist. Am. at Liquefied: L.H., O, H. H.

Potential required to pass between 2 points distant 15 mm: 2-3000

3000 V.	32	with at $\frac{1}{1000}$ atm. only a few score of volts to start a current
5000	7.8	
8000	28.1	

below $\frac{1}{55}$ mm mercury again increasing

1 atm.	:	3000 V.	0.6 millamp.
5000.000	:	5000	1.95
	:	8000	6.5

3

James Dewar LL.D., FRS Prof of Chem.: Royal Institution
 J. A. Fleming MA. D.Sc. FRS " El. Eng. University College
 London

Electrician XXXVII 23/10 p 6 p. 829
 Armstrong's Theorie of Electrolysis see Elect p 6 February

9/10 p 6 p. 765

Measurement of electric currents through air at different densities down to one five-millionth of the density of ordinary air.

cylindrical tube .13 cm long, $1\frac{1}{2}$ cm diam., aluminium terminals points dist 1.5 cm

	^{12.6}	7.2 mikroemp	at ordinary pressure
3,000			
5,000		17.6	
8,000		63.2	

56 mikroemp. were obtained with

	7,400	1.090	700	370	405	570	Volts at pressure
of	750	44	7	$\frac{1}{2}$	$\frac{1}{22}$	$\frac{1}{55}$	mm =
	1	0.058	0.0093	0.0007	0.00006	0.000024	

3000	1.3	at pressure of $\frac{1}{5,000,000}$
5000	4.4	
8000	14.6	

Thomson Popular lectures p. 18.

Period of vibration of water drops: $= \frac{1}{4} a^{3/2}$

$a = \frac{1}{4} \text{ cm} \quad \tau = \frac{1}{32} \text{ sec.}$

1	4/4
2.54	1
4	2
16	16
1,407	13,200

J. J. Thomson prof. of exp. phys. Cambridge
MA. FRS.

Proc. R.S. 56 Kelvin Maclean On the Electrification
of air. Charged drop evaporates, therefore air vapour

must carry away elects. If sufficiently to show it. +

Charged air through point, tested with dry elects;

Results negat. elect. retained not so long as +

dust makes no difference; but also elects by water dripping

itself, this depends on dust.

For full equl. of electrified air in conductive enclosure

necessary that surfaces of equal elect. vol. density = surfaces

of equal potential. F.i. sphere = diff. betw. pot. of air at the

$$V = 4\pi \int_0^a \rho \left(\frac{r^2}{2} - \frac{r^2}{a} \right) dr$$

boundary and at the centre =

diff. of pot. at the centre due to

the total quant. distrib. through the air at

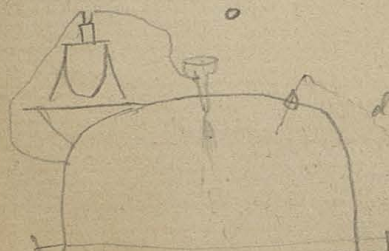
the equal and opposite on the inner boundary

d.m. Supp. $\rho = \text{const.}$ $V = \frac{2}{3} \pi \rho a^2$

F.i. $V = 38 \text{ V} = 0.127 \text{ cgs, } a = 50, \rho = 2.4 \cdot 10^{-5}$

electrostatic force $= 10^{-4} \frac{1}{2} \parallel r = 25: 4.8 \%$ of the gravity force

at boundary (towards) $= 10\%$!



(Harrison & son printers A. Martins Lane)

	Lampen à 16 Kerzen Lichtstärke				Lampen à 32 Kerzen Lichtstärke			
	Edison	Swan	Lane Fox	Maxim	Edison	Swan	Lane Fox	Maxim
Kerzenstärke	15.38	16.61	16.36	15.96	31.11	32.21	32.71	31.93
Ohms	137.4	32.78	27.40	41.11	130.03	31.75	26.59	39.60
Volts	89.11	47.30	43.63	56.49	98.39	54.21	48.22	62.27
Ampères	0.651	1.471	1.593	1.380	0.7585	1.758	1.815	1.578
Volt-Ampères	57.98	69.24	69.53	78.05	74.62	94.88	87.65	98.41
Kgmtr.	5.911	7.059	7.089	7.939	7.604	9.67	8.936	10.03
Lampe pro HP.	12.73	10.71	10.61	9.48	9.88	7.90	8.47	7.50
Kerzen pro HP.	196.4	177.92	173.85	151.27	307.25	262.49	276.89	239.41

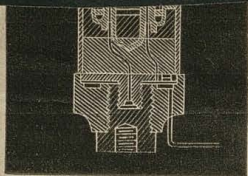


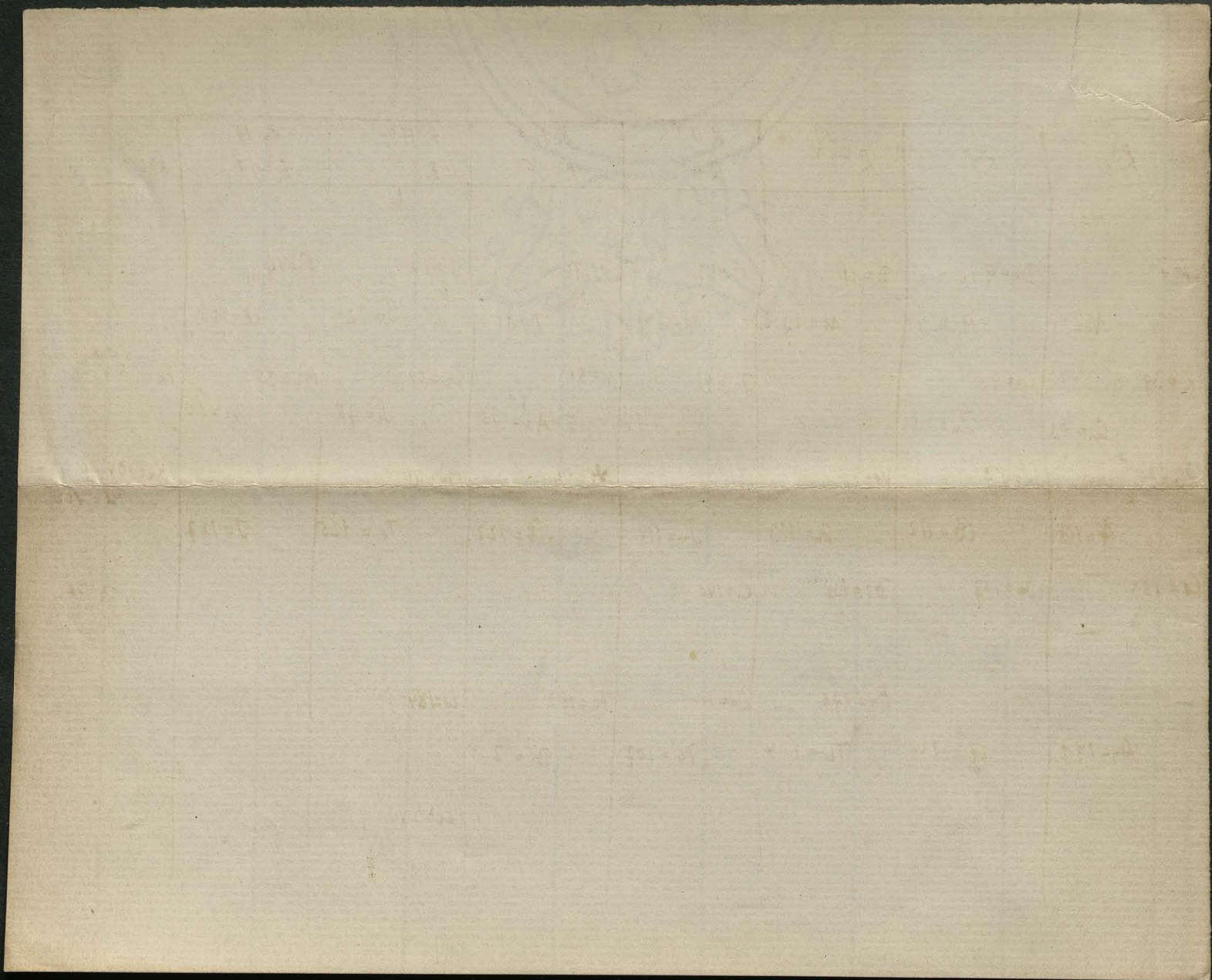
Fig. 34.

des spröden Kohlenbügels sofort zerbrechen, wogegen, wenn die Schrauben weniger fest angezogen werden, der Strom in Folge des schlechten Contactes bei seinem Uebergange aus den Drähten einen grossen Widerstand finden, an den Berührungsstellen Platin und Kohle glühend machen, ersteres schmelzen und somit in kurzer Zeit die ganze Verbindung zerstören würde. Der solcherart präparirte Bügel wird nun in die Glasglocke so weit

eingeführt, dass die Kohle etwa in die Mitte der Glocke zu stehen kommt. Nun werden die Platindrähte in den Lampenhals eingeschmolzen, wird die Luft aus der Glocke durch den trichterförmigen Ansatz derselben ausgepumpt und die Glocke selbst mit Gasolin- dämpfen wieder ausgesogen; hierauf wird ein elektrischer Strom durch den Kohlen- bügel geleitet und dadurch dieser letztere zum Glühen gebracht. Die hierbei sich ent- wickelnde Wärme zersetzt das in der Glasglocke zurückgebliebene Gasolin: der Kohlen- stoff desselben scheidet sich in den Poren des Kohlenbügels aus und gestaltet dadurch denselben zu einer homogenen und metallisch harten Masse. Schliesslich wird die Glocke vollständig luftleer gemacht und der Glastrichter zugeschmolzen, worauf die Eintritts- stellen der Platindrähte mit Gyps vergossen werden und man nunmehr die übrige, einen sicheren Contact ermöglichende Fassung darüber anbringen kann.

Schliesslich mag noch in der Reihe der älteren Constructionen auch die Glüh- lampe von Lane Fox Erwähnung finden, deren Leiter aus einem entsprechend ge- formten Stücke Cokes hergestellt wird, welches an seiner unteren Kante eine Messerklinge enthält. Um dieses Stück Cokes wird ein H. ...

R^2O	RO	R^2O^3	RH^4 RO^2	RH^3 R^2O^5	RH^2 RO^3	RH R^2O^7	RO^4
$H=1$							
$Li=7$	$Be=9.4$	$B=11$	$C=12$	$N=14$	$O=16$	$F=19$	
$Na=23$	$Mg=24$	$Al=27.3$	$Si=28$	$P=31$	$S=32$	$Cl=35.5$	
$K=39$	$Ca=40$		$Ti=48$	$V=51$	$Cr=52$	$Mn=55$	$Fe=55, Co=Ni=59$
$Cu=63$	$Zn=65$		$Ge=72$	$As=75$	$Se=78$	$Br=80$	
$Rb=85$	$Sr=87$	$Yt=88$	$Zr=90$	$Nb=94$	$Mo=96$		$Ru=104=Rh$ $Pd=106$
$Ag=108$	$Cd=112$	$In=113$	$Sn=118$	$Sb=122$	$Te=125$	$I=127$	
$Cs=133$	$Ba=137$	$Pb=138$	$Cu=140$				Os, Ir, Pt $195-198$
—	—						
—	—	$Er=178$	$La=180$	$Ta=182$	$W=184$		
$Au=197$	$Hg=200$	$Tl=204$	$Pb=207$	$Bi=208$			
					$U=240$		



Substitutionsmethode zur

Integration von $\frac{dx}{u}$, $\frac{dx}{u^2}$, $\frac{x dx}{u^2}$

$$u = \sqrt{a + bx + cx^2}$$

$$k = \frac{4ac - b^2}{4c} \quad y = x + \frac{b}{2c}$$

Fall. I. $c + \quad k +$

$$y \sqrt{\frac{c}{k}} = \tanh \alpha$$

II $c + \quad k -$

$$y \sqrt{-\frac{c}{k}} = \sec \alpha$$

III $c - \quad k +$

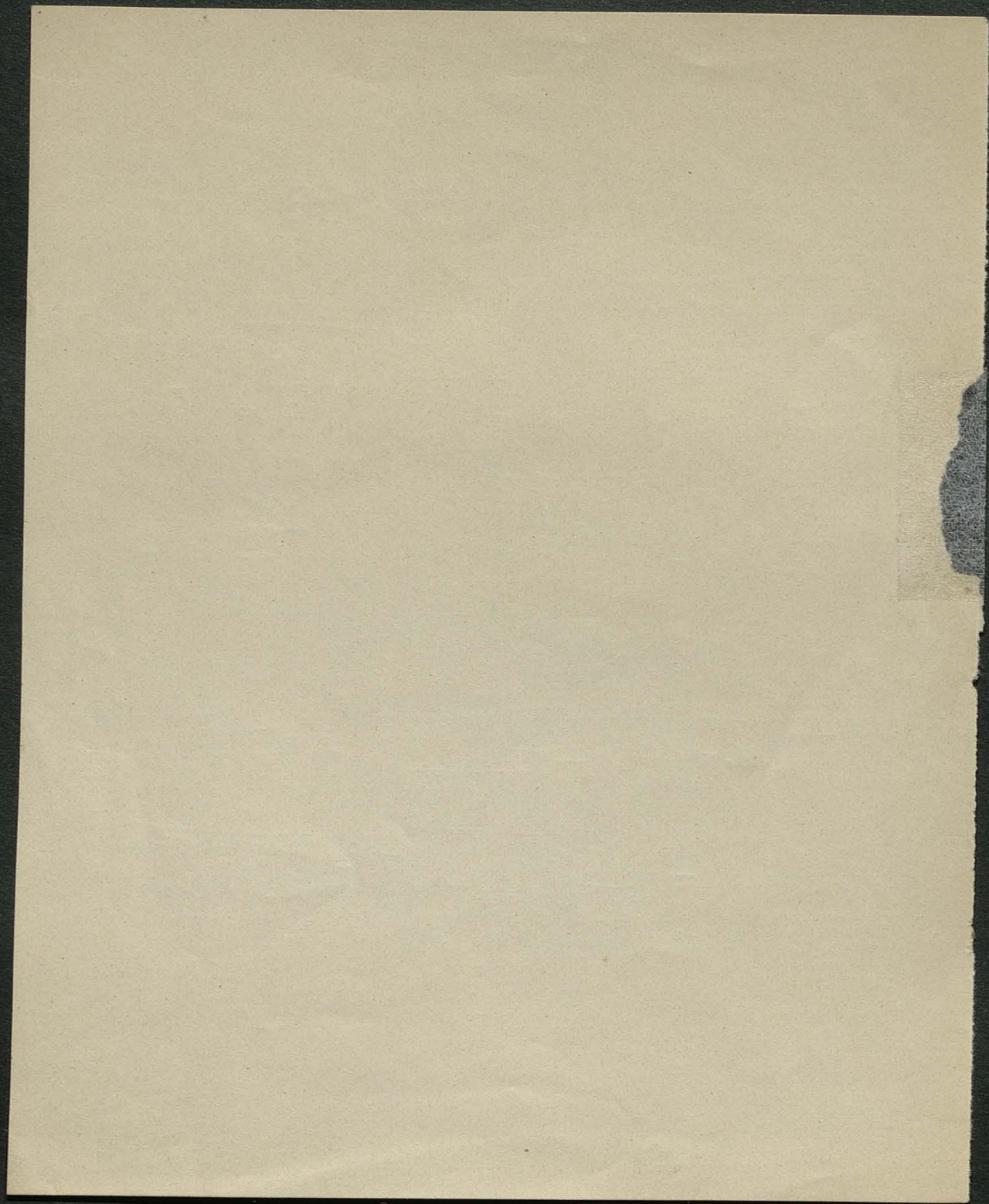
$$y \sqrt{-\frac{c}{k}} = \sinh \alpha$$

IV $c + \quad k = 0$

$$u = \sqrt{c} \sqrt{\left(x + \frac{b}{2c}\right)^2 + \frac{4ac - b^2}{4c^2}} = \sqrt{c} \sqrt{y^2 + \frac{k}{c}}$$

$$= \sqrt{k} \sqrt{1 + \frac{cy^2}{k}} = \sqrt{k} \sqrt{1 + \underbrace{\left[\frac{c}{k} y\right]^2}_{= \dots}}$$

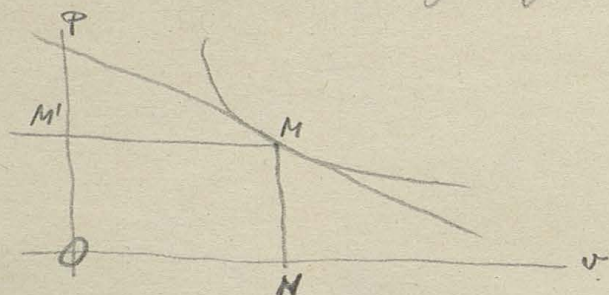
v. L. Zimsko ?



Indicator-Diagramm

Wird für ein geschlossenes System mit einem

Elastizität $\sim \frac{dp}{dv}$ für festes T



Elast. = PM'

Entropie folgen demnach gemessen:

7. 186

~ für ein System mit einem

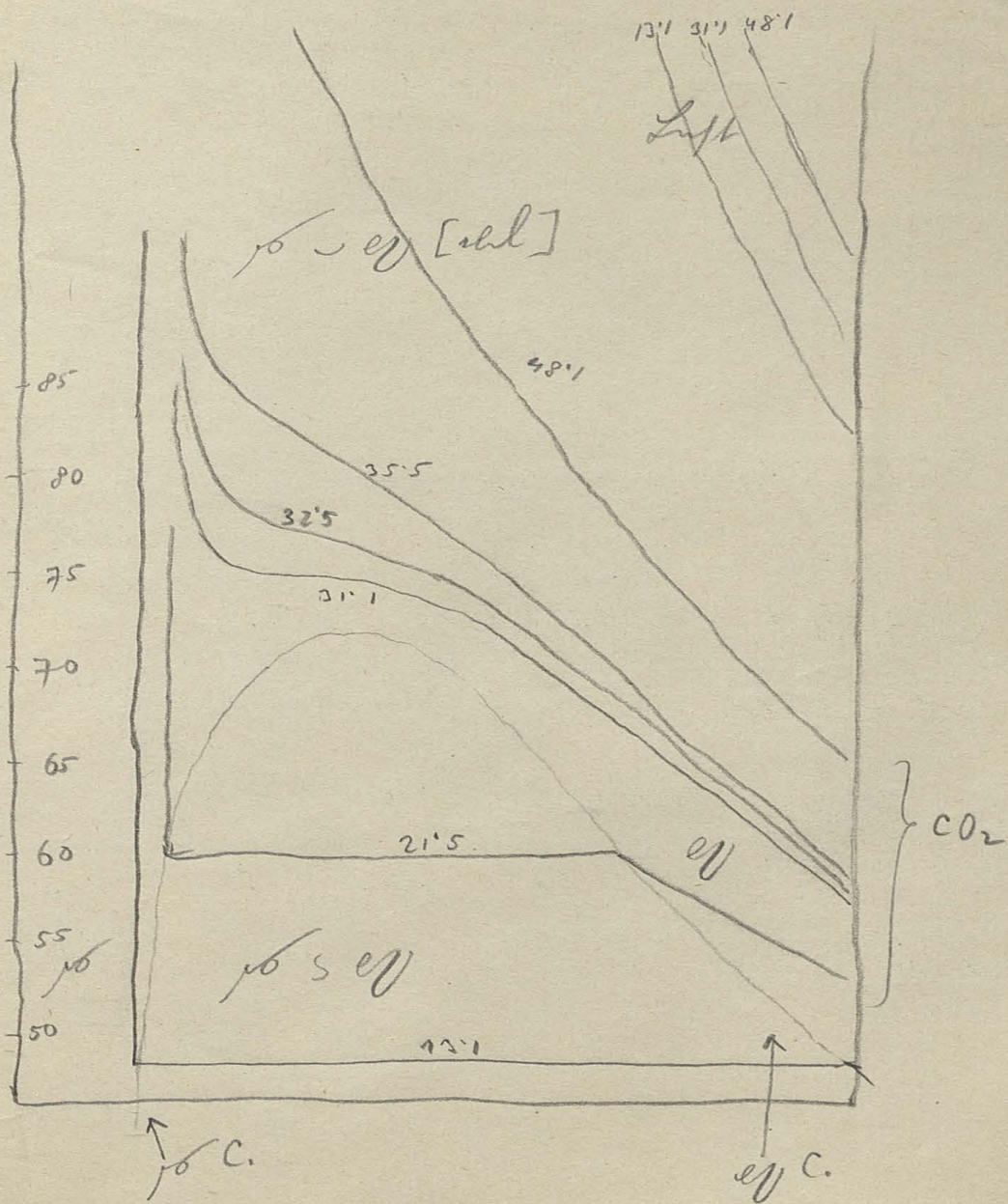
~ N. L.; dv \sim therm. Scale = $T \cdot \frac{1}{T}$ für N. Temp.

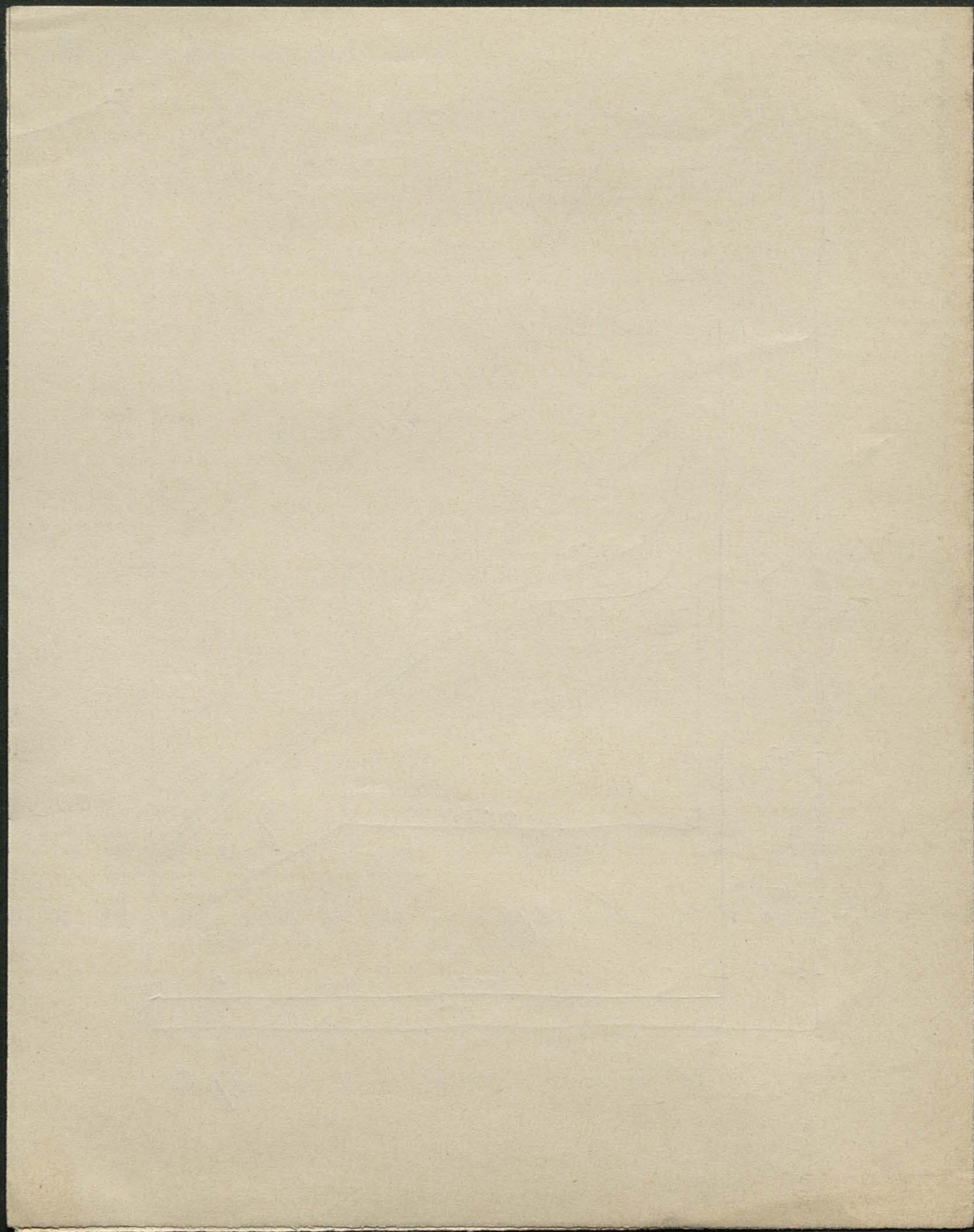
~ N. L.; dv \sim H. Temp. \sim $\frac{1}{T}$ für N. Temp.

$$\sim \frac{1}{T} \text{ für } \frac{H}{T}.$$

~ N. L. \sim $\frac{1}{T}$ für N. Temp. \sim $\frac{1}{T}$ für N. Temp.

$$\sim \frac{1}{T} \text{ für } \frac{H}{T}, \text{ oder } \frac{1}{T} \text{ für } \frac{H}{T} \text{ oder } \frac{1}{T} \text{ für } \frac{H}{T}.$$





p. 662 * 1626 ~ Spectroscopy

[J. 101, Feb Pt - R. Pt. 11

LAZ L Pt

Pt v f v CO₂ & FeO₂ & Ruus

Glockenberger Kette

$$T = c, \lambda^{-\alpha} e^{-\frac{c_2}{\lambda T}}$$

$$\lambda_m \cdot T = c = \frac{c_2}{\alpha}$$

$$T_m = c' T^{\alpha}$$

$$c' = c, c^{-\alpha - \alpha}$$

	λ_m	c	c_2	c_1
Pt	5.536	2336	15 000	6 147.00
FeO ₂	5.560	2609	14 630	19 46.000
Ruus	5.627	2623	14 500	1566.000
CO ₂	5.618	2562	14 245	1611.000
K Nitro	5.087	2606	13 670	1009.000

C v temp. = C v f v FeO₂ v f v

p. 401 & m = f v n h T v Ernst Fox Nichols.

Ann. 52 (p. 182) H. W. H. H. H.

58. p. 455. " $J_{\lambda T} = f(\lambda)$ Energies

$J_{\lambda T} = f(T)$ Thermometers

Spectroscopic

Ann. 61 p. 641 Rung & Paschen 2 *Lucina spectata* L O, S, Se
Hayt (Compound line spectra) photo

0 : Hayt
1
2 Neben (Tropfen)

Bapt?

2. *Nel*

\int 1 Hanyt?

1. Neben

1 Haupt?

Se chesso

Nach Rydberg: L_{Humboldt} : $A_{\alpha} = B(n+\mu)^{-2}$ / Hauptserie:
 $A_{\alpha} = B(1+\sigma_{\alpha})^{-2}$ $A = B(1+\mu)^{-2}$

Somit 2. Netzen $\propto [(1+\sigma_2)^{-2} - (1+\sigma_1)^{-2}]$

Henry.

$$D[(1+\mu)^{-2} - (1+\epsilon)^{-2}]$$

$\sim O(\epsilon^2): A - A_2 = A - B(1 + \delta_2)^{-2}$

✓ *Thopl. p. 27* *Lin.* [Rydberg *Nature* 55 p. 200]

[illegible]

Ann. 52 p. 132 W. W. R. : Tenny : Entropie du Strahlung

Handwritten: 6-20-20 / 100 / 100

6000 ft. temp. 10°; if 6000 ft. temp. 10° (10° 10°) 6000 ft. temp. 10°

§ 127. d. = $\frac{1}{2} \rho v^2$ Energie zgl temp.

$\sqrt{N} \cdot \frac{1}{2} \sim \frac{1}{2} \sqrt{N} \cdot \frac{1}{2} \sim \frac{1}{4} \sqrt{N} \sim \frac{1}{4} \sqrt{N} = \text{nothema}$

$50^\circ \subset \angle$ between W and $SE = 120^\circ = \text{adiabatic}$

$\sqrt{f} \propto \frac{1}{\lambda}$ Sept 2 Dept II s o A u Energie. sp. ce r zone co

Prüfung 07/08 $\lambda_1(\text{rot}) + \lambda_2(\text{Blau}) = \lambda_0 \cdot \frac{c + 2v \cos \alpha}{c}$

20. Frische II Stein

$$\omega \cos dx \text{ first } \theta \quad n = \frac{dx}{2x} \quad \frac{c}{v} \cos \alpha = f \text{ + Refl.}$$

$$cc \propto n \frac{x}{dx} \theta = f'(\theta) = \frac{dx}{x} \quad l = \left(1 + \frac{2v \cos \alpha}{c}\right)^n l_0 = e^{\frac{dx}{x} \cos \alpha} l_0$$

$$d = \left(1 + \frac{2v \sin \alpha}{c}\right)^n d_0 = e^{\frac{dx}{x} \tan^2 \alpha} d_0$$

$\int_0^1 R(x) dx = \frac{1}{2} \ln 2$

$\frac{1}{2} \text{ inch } \approx 2.54 \text{ cm}$

$$d\lambda = \frac{2v}{c} \lambda$$

$$n = \frac{dr}{2r} \frac{c}{v}$$

$$\lambda_n = e^{\frac{dn}{2}} \lambda = \left(1 + \frac{dn}{2}\right) \lambda = \lambda + d\lambda$$

$$d\lambda = \frac{dr}{r} \cdot \lambda$$

$$\lambda = \frac{n}{n_0} \lambda_0$$

Dabei folgen Abschnitte:

$$U = \text{Energie max 2 m} = \frac{2}{3} n^3 \pi^4 = \underline{\underline{2 \pi^4}}$$

$$dU = \frac{2}{3} r^2 dr + 2 r^2 dy$$

Isobar Arbeit $dW = 2r^2 n dr \frac{4}{3}$

$$dU = dM + dW = \frac{2\pi^2}{3} [x \cdot 4y + dy \cdot x] = 0 \text{ wenn adiabatisch}$$

Limit $\psi = \left(\frac{r_0}{\lambda}\right)^4 \psi_0$

Schritt Elimination von $\frac{z_0}{x}$: $\frac{x}{y_0} = \frac{10^5}{1^4} = \frac{2^{24}}{2^{24}}$

form $\chi^2 = \chi_0^2$

$$q = \int_{-\infty}^{\infty} \varphi \, d\omega = \int_{\frac{v_0}{2.5}}^{\infty} \varphi_0 \, d\omega$$

$$\varphi = \frac{v_5}{v_0} \varphi_0$$

at Enns 24 July, temp. air 60, per.

Mathematical to H. W. Drift.



Annales de l'école normale supérieure 126

Journal, the quarterly of mathematics 1036

Abhandlungen mathem. - naturw. 244

Monatshefte für Mathematik u. Physik 263

Zeitschrift für Mathem. u. Physik 842

Acta mathematica

Annalen mathematische

Archiv d. Mathematik u. Physik

Jahrb. über die Fortschritte d. Math. & Phys.

Journal f. reine u. angew. Mathem. Gröle

Zeitschrift f. Math. u. Physik

Annales de l'école polytechnique d. Delft

Annales nouvelles d. mathem. redigé par
Terquem et Serret, Paris.

Bulletin des sciences mathem. redigé par
Darboux Paris.

Journal de l'école polytechn. Paris.

Journal de mathématiques Liouville x.

Journal American of m. Baltimore

14

Questions Mathematiques edited by Miller
London

Archiv. f. M. u. Phys.

1902 Summer, 1902 Shippe

Zeits. CA Koch's Verlags 1902 T. Sengbusch

Tabl. 8, 1902 R. u. 1902 C. Ohrtman

1902 Lang & F. Miller's A. Wangerin 2002

Stellenoch & G. Lampe, Berlin S. Reimer
1902

American Journal of Math. S. Newcomb Editor

Thomas Craig Associate Editor

Published under the auspices of the Johns
Hopkins University. Baltimore 1889 Publication
Agency of the J. H. University

Acta Mathematica. 1902 S. R. - L.

Stockholm, F. u. S. Beijer, Berlin Meyer's Müller

Paris. A. Hermann

Journal f. m. s. a. m. 1902 L. Bröcker

Berlin S. Reimer

Annali mattem. 2112 F. Klein, W. Dyck,
A. Mayer, Leop. Teubner

Journal de mathématiques pures
et appliquées, fondé en 1836 et
publié jusqu'en 1874 par Joseph Liouville
publié de 1875 à 1884 par H. Resal.

Quatrième Série publiée par Camille
Jordan avec la collaboration de

A. Liévy, A. Hamelin, E. Picard, H. Poincaré,
H. Resal. 1890

Gauthiers - Villards et fils, ~~imprimeurs~~
libraires du bureau de longitudes, de l'école
polytechnique. Quai des Grands-Augustins

Annali di matematica pubbl. da
Tortolini Roma

Giornale di matematiche pubbl. da
Battaglini Napoli.

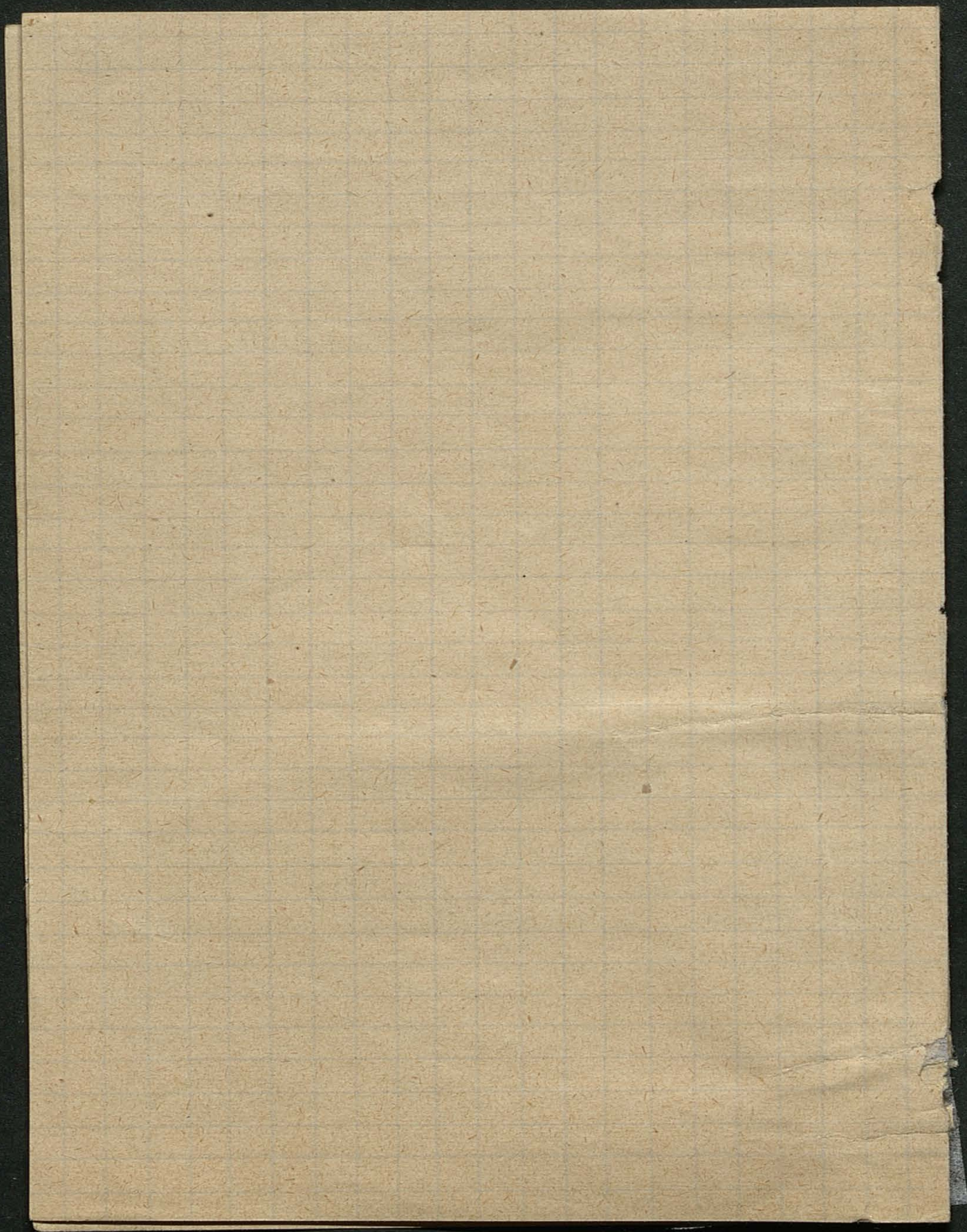
h,

le

care,

2

ans
5

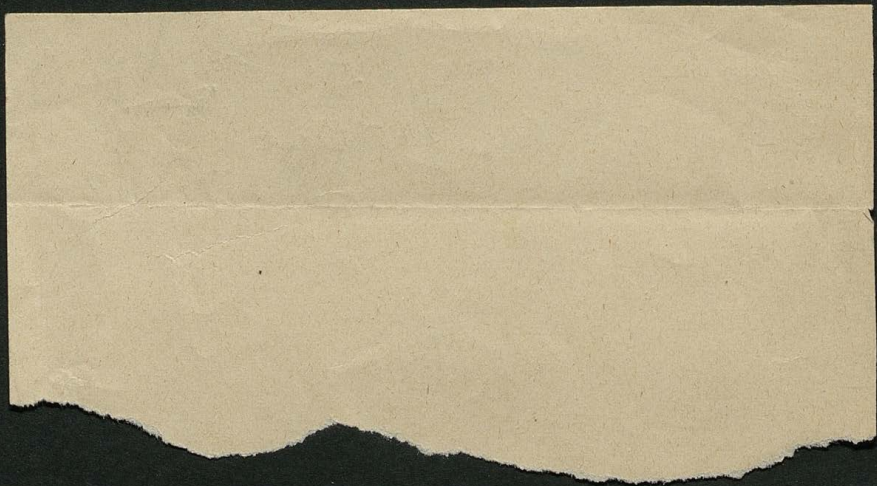


Snyder Dr. sly e Lagrang 2 vol ~ 3 by Probl. 16

gl 4 by Dr. Oraz 1885 Calve

box

Verdet mag 8 in the 27



Radiometer:Lippmann Jour. d. Phys. (5) p. 220, 366, 1876Stoney Phil. mag. (5) 1 p. 177, 305. 1876Crookes Proc. R. S. 22 p. 32 1874

23 2373 1874

24 246 1876

Phil. Trans. 165 (2) p. 518 1876

Phil. mag. (5) 2 p. 393. 1876

[Phil. Trans. 166 (2) p. 326. 1877

Proc. R. S. 35 p. 304. 1877

p. 28 p. 29. 1878

Phil. Trans. 170 (1) p. 87. 1880

Schuster	{	Phil Trans 166	p. 715	1874
Reynolds				
			725	

O.E. Meyer Kin. Jd. d. S. 1877 p. 153

Le Settimane Quartal: Portraits, Buchzahl 1 M 75

Direkte Zusendg. Kreuzband 1 fl 35
Verlag: Rieger's Univ. Buchh. München Odionsplatz 2 (Probungspreis)

Die Menschen A. Dechhold's Quark 2 M 50
Verlag Frankfurt
Neue Kränze 19/21

Zarys Geograf. Literatur Polnis Ad. Kulickowski - Zwei Syfart'skijkowski
85

A. Z. Hickmann Geograph. statistische Taschen-Atlas (Allgem. Theil) 1.80
Freitag & Bernig Wien VII/1
Öst. Ungarn
Schottenfeldg. 64

Elemente der Maschinen Constr ~~Leuthner~~ Unwin - Fritz Leipzig L. Eckhardt's W 1895

⌌ Euler Anleitung zur Differ. & Integr. R.
~~Bernoulli~~ [Eleg. math. Calcul]

Hermite Cours d'analyse [für Vorgesessene]

Angelo Senacchi Calcolo diff. ed. int. [sehr exakt]

⌌ Clausius Mechanische Wärmetheorie

⌌ Rapwell Elektrizität

Rapwell Wärme

⌌ Riemann

⌌ Kirchhoff Vorlesungen

⌌ Brünnow Sphärische Astronomie

⌌ Klönkerfues Lehrb. d. Astronomie

⌌ Mach Kritisch-historische Untersuchung der
 Principien der Mechanik (2) Söding

Finger Mechanik

Fourier Analyt. Theorie der Wärme

⌌ Clausius Potential

Ljonne-Dirichlet Zahlentheorie

⌌ Gürge Elliptische Functionen

Niemann

Zöllner Natur der Komete

Salmon-Fiedler Analyt. Geometrie

Heine Kugelfunktionen

Thomson u. Tait Handb. d. th. Physik

Keyer O E Kinetische Gastheorie

Lehrbuch d. Differential-Geometrie Dr. Andrew Russell
Forsyth

hoch Reser Vorweg

theoret. Hydrodynamik Dr. F. Auerbach Vorweg 42

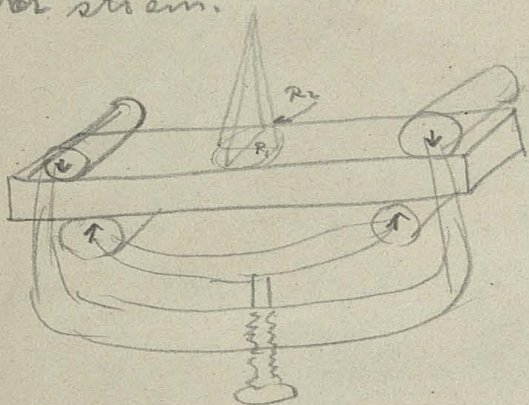
Lamb Horace Hydrodynamik

Mascart u. Toubert Elektrizität

Buch - 5 + 1 - 2 Opt. (53)	0.80
Clausius Potentiaf.	1.20
Genes F. pos & Elektro.	5.80
Naswell Elektro. 2 elem. 189	1.80
Beitrag mech. u. Th. (71)	2.40
Clausius 189 & m. W. Th. (64-67)	2.40
8 m. W. Th. (76)	2.00
Fourier Analyt. Th. d. Wärme (89)	4.80
Zachmann 2 e. 1/2 Polze.	25
Naswell Th. d. Wärme	2.00
Tait - Wärmelehre (Zucker)	3.00
Brünnow (62)	1.80
Friedland Th. d. Wärme & d. Licht, 2 e. 1/2 Polze., 2 e. 1/2 Polze. d. 1. & 10'	
e. 1/2 Polze.	1.50
Blomkerfnes Theor. Action. I Teil	1.30
Zöllner 8 e. Komets	3.00
Kernmann Theorie d. Bessel'schen K. (67)	75
Rohmann part. d. 25. 5 e. 1/2 Polze. 2 e. 1/2 Polze. ?	1.50

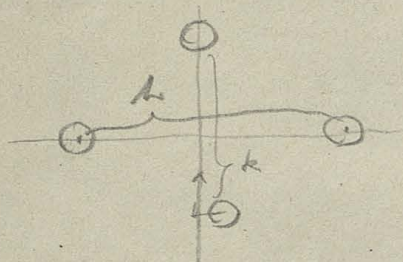
Kellock

The measurement of the ratio of lateral contraction to longitudinal extension in a body under strain.



$$\mu = - \frac{R_1}{R_2}$$

(R_2 too large)



h, k when the bar is
unstrained

h', k' bent

ε = length of the wires

r = radius of the circle

θ = angle \angle wire and normal of the bar

$$h' - h = \frac{2\varepsilon r \cos \theta}{R_1}$$

$$k - k' = \frac{2\varepsilon r \cos \theta}{R_2}$$

$$\mu = \frac{k - k'}{h' - h}$$

h'-h 0.015 - 0.03 inch

2

3

4

2

0.5

4

bar: 8 x 1 x 2.5 inch

$$\S 14. \quad \text{II.} \quad \mathcal{T}x = v$$

23

$$\cos x, v = \sin x$$

$$\tilde{D}^{(n)}(uv) = (n_0) u^0 v^n + (n_1) u^1 v^{n-1} + \dots$$

$$v^{(n)} = \frac{\sin\left(\frac{n\pi}{2} + x\right)}{\cos x} + \left[\binom{n}{1} v^{(n-1)} - \binom{n}{3} v^{(n-3)} + \dots \right] \mathcal{T}x + \left[\binom{n}{2} v^{(n-2)} - \binom{n}{4} v^{(n-4)} + \dots \right]$$

$$\mathcal{T}(2) = \frac{2^2}{\binom{2}{2} 2^2} + \frac{2^2}{\binom{2}{0} 2^2} + \dots$$

$$= 2 \sum_{k=0}^{\infty} \frac{2}{(kn)^{2-2k}} = \frac{2}{(kn)^2} + \frac{2^3}{(kn)^4} + \frac{2^5}{(kn)^6} + \dots$$

$$= \frac{2(2^2-1) \int_2 2}{n^2} + \frac{2(2^4-1) \int_4 2^3}{n^4} + \dots$$

$$-\frac{n}{2} < 2 < \frac{n}{2}$$

$$= \underbrace{(D\mathcal{T}2)_0}_T 2 + \underbrace{(D\mathcal{T}2)_2}_T \frac{2^3}{2} + \dots$$

$$\int_n = \sum_{x=1}^{\infty} \frac{1}{x^n}$$

$$\frac{T_k}{k!} = \frac{2(2^{k+1}-1) \int_{k+1}}{n^{k+1}} \quad | \quad k=2p-1$$

$$T_n - \binom{n}{2} T_{n-2} + \binom{n}{4} T_{n-4} - \dots = \sin \frac{n\pi}{2}$$

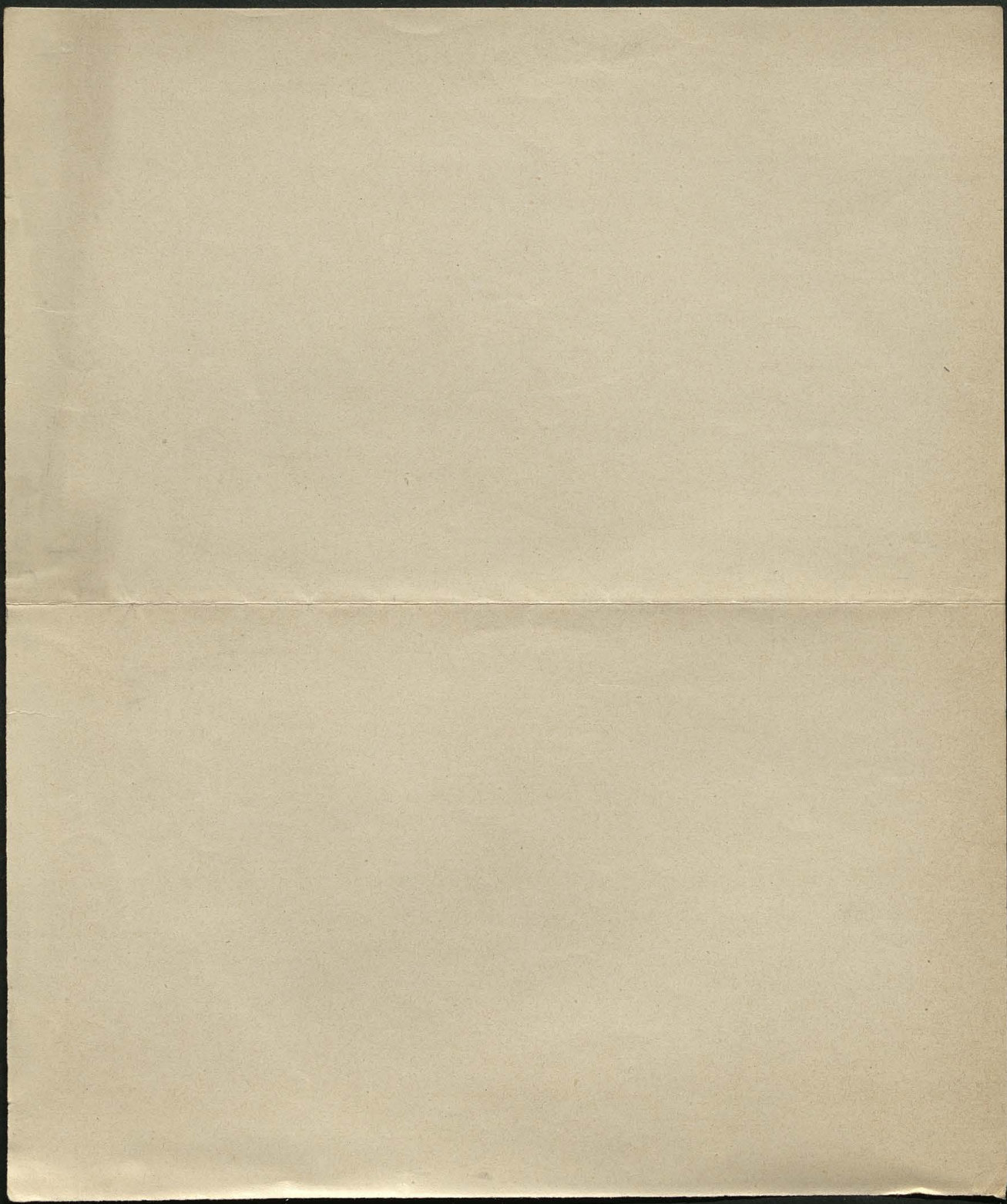
$$\mathcal{T}2 = T_1 2 + T_3 \frac{2^3}{3!} + T_5 \frac{2^5}{5!} + \dots$$

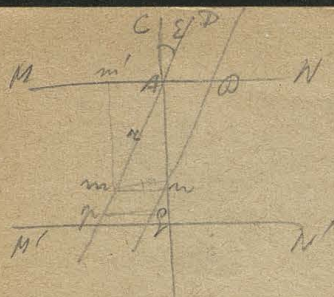
$$\int_{2p} = \frac{T_{2p-1} 2^{2p}}{2(2^{2p}-1) 4 \cdot 2 - (2p-1)}$$

$$T_1=1, T_3=2, T_5=16$$

$$\mathcal{T}2 = 2^2(2^2-1) D_1 \frac{2}{2} + 2^4(2^4-1) D_3 \frac{2^3}{4!} + 2^6(2^6-1) D_5 \frac{2^5}{6!} + \dots$$

$$\frac{\int_{2p}}{2^{2p-1} n^{2p}} = \frac{D_{2p-1}}{(2p)!}$$





$$MN = \rho$$

in L & L_0 we see that the volume of the cylinder is the same as the volume of the cylinder of radius R and height $2R$. The volume of the cylinder is $V = \pi R^2 L$. The volume of the cylinder of radius R and height $2R$ is $V_0 = \pi R^2 L_0$. Since the volumes are equal, we have $L = L_0$.

$$\text{Vol. El. } dL = d\rho \frac{E}{k} \cos \epsilon e^{-k\rho}$$

but at the same time $\rho = \frac{R}{\cos \epsilon}$ so that $d\rho = \frac{R}{\sin^2 \epsilon} d\epsilon$. The volume of the cylinder is $V = \pi R^2 L$. The volume of the cylinder of radius R and height $2R$ is $V_0 = \pi R^2 L_0$. Since the volumes are equal, we have $L = L_0$.

$$L = d\rho \frac{E}{k} \cos \epsilon \int_0^{\rho} e^{-k\rho} d\rho = d\rho \frac{E}{k} \cos \epsilon (1 - e^{-k\rho}) \quad \text{and } e^{-k\rho} = e^{-\frac{kR}{\cos \epsilon}}$$

$$L = d\rho \frac{E}{k} \cos \epsilon$$

$$\text{and } \rho = \frac{R}{\cos \epsilon} \quad \text{so } d\rho = \frac{R}{\sin^2 \epsilon} d\epsilon$$

$$\frac{L}{L_0} = \cos \epsilon$$

and the volume of the cylinder is $V = \pi R^2 L$. The volume of the cylinder of radius R and height $2R$ is $V_0 = \pi R^2 L_0$. Since the volumes are equal, we have $L = L_0$.

Let us now consider the case where the cylinder is not vertical. Let the cylinder be inclined at an angle ϵ to the vertical. The height of the cylinder is $2R$. The volume of the cylinder is $V = \pi R^2 L$. The volume of the cylinder of radius R and height $2R$ is $V_0 = \pi R^2 L_0$. Since the volumes are equal, we have $L = L_0$.

$$L = d\rho \frac{E}{k} \cos \epsilon (1 - e^{-\frac{kR}{\cos \epsilon}})$$

$$L_0 = d\rho \frac{E}{k} (1 - e^{-kR})$$

$$\frac{L}{L_0} = \cos \epsilon \frac{1 - e^{-\frac{kR}{\cos \epsilon}}}{1 - e^{-kR}} \quad \text{and } \epsilon = 0 \quad \text{so } \frac{L}{L_0} = 1$$

and the volume of the cylinder is $V = \pi R^2 L$. The volume of the cylinder of radius R and height $2R$ is $V_0 = \pi R^2 L_0$. Since the volumes are equal, we have $L = L_0$.

1. $\frac{dL}{dt} = \frac{dL}{dC} \frac{dC}{dt}$ (chain rule)
 2. $\frac{dL}{dC} = \frac{L}{C}$ (logarithmic derivative)
 3. $\frac{dC}{dt} = -\frac{C}{\tau}$ (exponential decay)
 4. $\frac{dL}{dt} = -\frac{L}{\tau}$ (exponential decay)
 5. $L = L_0 e^{-t/\tau}$ (solution)

$$dk \sim k=0 \quad r: L \rightarrow 0$$

$dh \approx h_0 \approx 0 \approx L \approx 0$
 $dh \approx \text{just a bit of } \rho \approx \rho_0 \approx \text{temp.} \approx 1, \text{ and } \rho_0 \approx 0 \text{ of } \rho_0 \approx 0$

$$L = \frac{c k R}{v}$$
[illegible]

Alexander Vespa.

9. W. P. 7.

$T e^{-k r}$ is the wave function for $r \gg a$; $T \perp$; $d r d \theta d \phi$ is the volume element.

$d r d \theta d \phi T a \propto k \cos \theta e^{-k r}$ $L = \text{const.}$ $a = \sqrt{\frac{2}{k}} \sin \theta \sin \phi$

$k' = \frac{2\pi}{\lambda'}$, λ' is the wavelength in the medium: $d L = d r d \theta d \phi T a \propto k \cos \theta e^{-k r}$

$$\int_0^{\frac{R}{\cos \theta}} = d r d \theta d \phi T a \frac{k \cos \theta}{k r + k'} \left[1 - e^{-k r + k'} \frac{R}{\cos \theta} \right]$$

$$\therefore \text{for } L_0 = d r d \theta d \phi T a \frac{k}{k r + k'} \left[1 - e^{-k r + k'} \frac{R}{\cos \theta} \right]$$

$$\text{for } L_0 \text{ for } \cos \theta = 1 \quad \frac{L}{L_0} = \frac{k r + k'}{k r + k'} \quad \therefore \text{for } 0^\circ \leq \theta \leq 90^\circ > \cos$$

or $\frac{L}{L_0} = \frac{1}{\cos \theta}$

$L = \frac{L_0}{\cos \theta}$ i i' $\frac{1}{\cos \theta}$ $\frac{1}{\cos \theta'}$ $\frac{1}{\cos \theta}$ $\frac{1}{\cos \theta'}$

$\theta' = \theta$

$$\sin i' = \frac{\sin i}{n} \quad \sin i' = \frac{\sin i}{n'}$$

$$L = d r d \theta d \phi T a \frac{k \cos i' \cos i'}{k \cos i' + k' \cos i'} \left(1 - e^{-k \cos i' + k' \cos i'} \frac{R}{\cos i'} \right)$$

$$\text{of } \frac{L}{L_0} \text{ for } k = 1 - \frac{1}{2} \left(\frac{\sin^2(i-i')}{\sin^2(i+i')} + \frac{\cos^2(i-i')}{\cos^2(i+i')} \right) \text{ for } \theta = 0^\circ$$

the wave function $T e^{-k r}$ is the wave function for $r \gg a$; $T \perp$; $d r d \theta d \phi$ is the volume element.

the wave function $T e^{-k r}$ is the wave function for $r \gg a$; $T \perp$; $d r d \theta d \phi$ is the volume element.

$$\int_0^{\infty} \frac{e^{-mx}}{x} dx = -\text{li} e^{-mp}$$

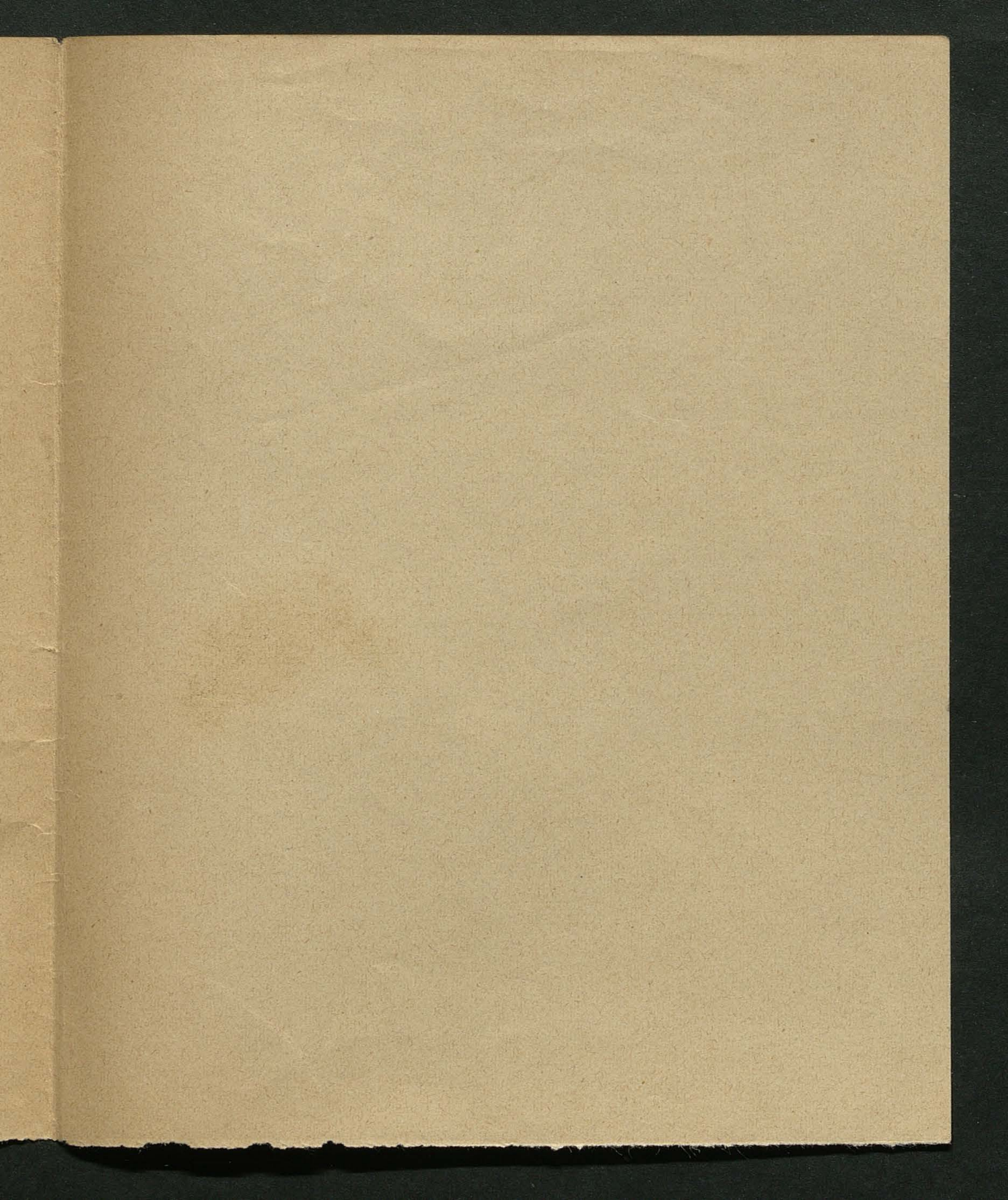
$$\text{li} e^{-mp} = C + \log mp - mp + \frac{1}{2} \frac{(mp)^2}{2!} - \frac{1}{3} \frac{(mp)^3}{3!} + \dots$$

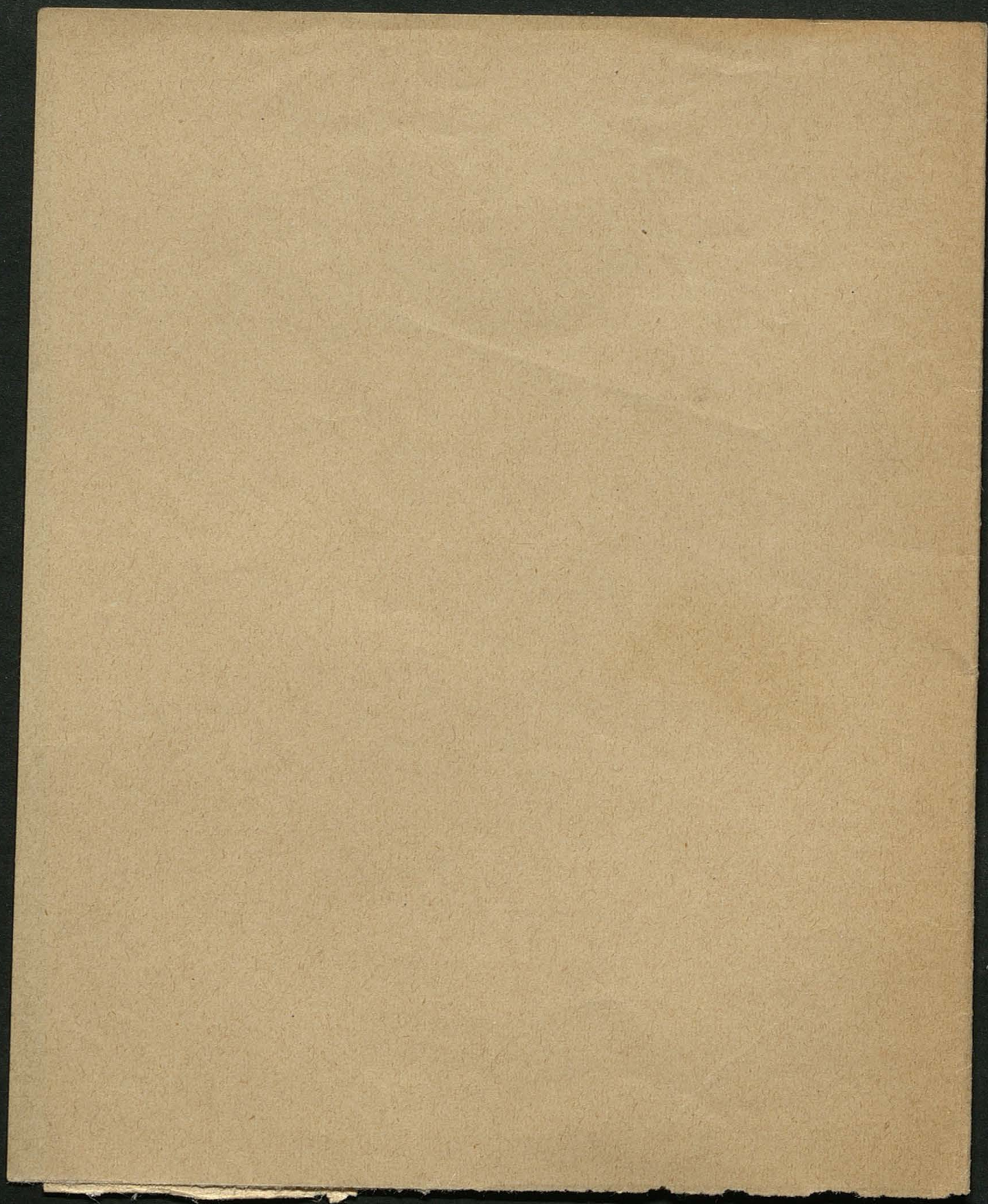
6th Integral by an. $C = 0.5772157$

Soldner's Tables of Transc. Functions
transc. Functions 1829

e^{-mx}	mx	$\text{li} e^{-mx}$
1.0	0	$-\infty$
0.9	0.10536	-1.77580
0.8	0.22314	1.13401
0.7	0.35668	0.78095
0.6	0.51683	0.54185
0.5	0.69315	0.37867
0.4	0.91629	0.25295
0.3	1.20397	0.15741
0.2	1.60944	0.048513
0.1	2.30259	0.03239
0.01	4.60517	-0.00183
0	∞	0

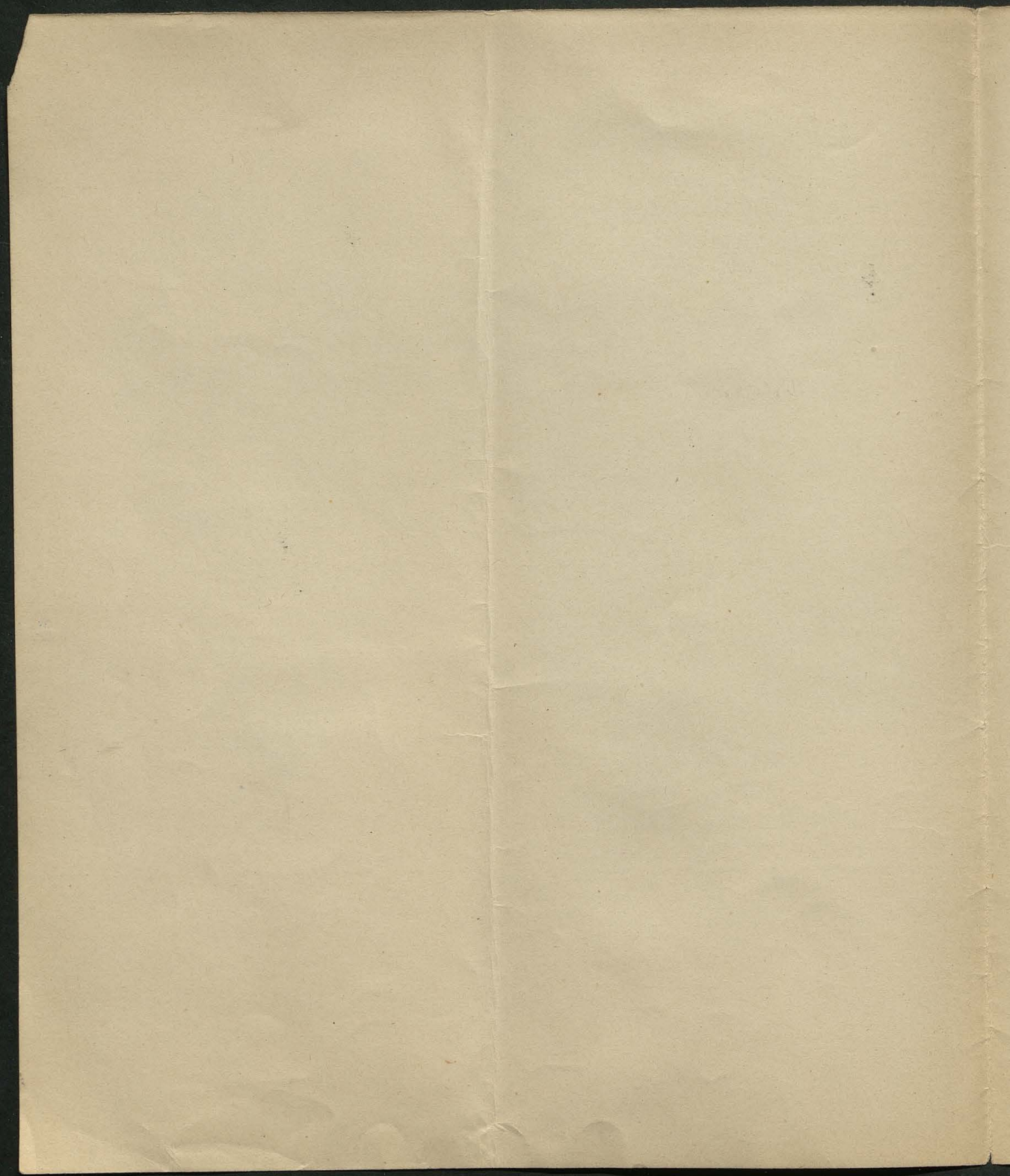
Lommel 36 pg 483





Notatki (Heroldy)
z Charyi' Organizacji

Wien

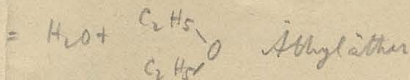
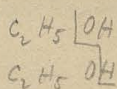


Derivate der Alkohole

28

A. Äther (alkoholische)

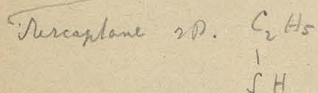
= Anhydride der erw. Alk. vD.



B. Schwefeläther und Alkohole

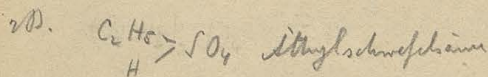
ausstatt O tritt S ein; auch ableiten aus H_2S durch Ersetzung eines der beiden H durch Alkyle

Thioäther $(\text{C}_2\text{H}_5)_2\text{S}$



C. Ester der Alkohole mit anorg. Säuren und Isom.

H der Säuren durch Alkyle ersetzt



D. Stickstoffbasen der Alkyle

H des Ammoniak ersetzt durch

I primäre $\text{NH}_2(\text{CH}_3)$ Methylamin

$\text{NH}_2(\text{C}_2\text{H}_5)$ Äthylamin

II sekundäre $\text{NH}(\text{CH}_3)_2$ Dimethylamin

III tertiäre $\text{N}(\text{CH}_3)_3$

alk.

E. P, As als Verbindungen

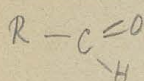
CH_3PH_2 Methylphosphin

$[(\text{CH}_3)_2\text{As}]_2$ Kakodyl

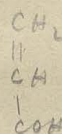
F. Metallverbindungen

$\text{Zn}(\text{CH}_3)_2$ Zinkmethyl

Aldehyde durch mäßige Oxyd. d. Alk.

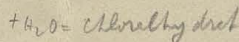
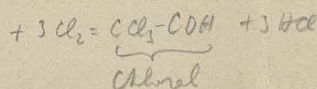
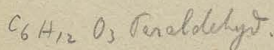
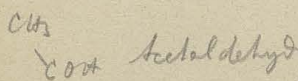
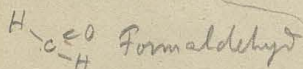


- 1). sehr leicht oxydierbar
- 2). " " reduzierbar, Alk. reduzierend
- 3). Additionsreakt. mit $NaHSO_3$
 NH_3
 HCN



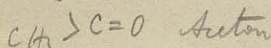
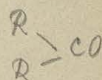
Acrolein

- 4). Polymerisation oder condensieren
- 5). Substit. durch Cl o. Br



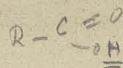
Ketone

durch Oxyd. nie Alk. (weder Spaltung von H_2O) ähnlich wie Alk. aber nicht polymer.



und nicht reduzierend

Carboxylische fette Säuren [nur 1 ersetzbare H]



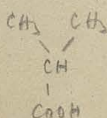
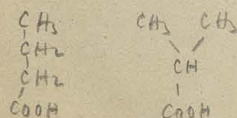
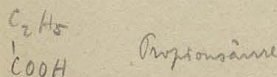
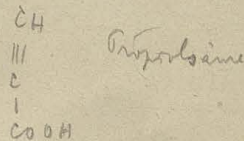
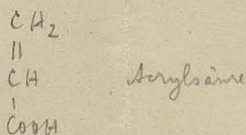
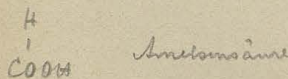
gesättigte $C_n H_{2n} O_2$

durch Oxyd. der primären Alk. oder Aldehyde

ungesättigte $C_n H_{2n-2} O_2$

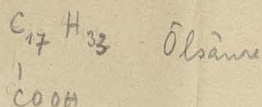
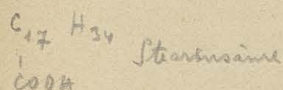
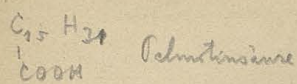
Oxyd. d. ungesätt. Alk. u. d. Alld.

Propionsäurereihe $C_n H_{2n-4} O_2$



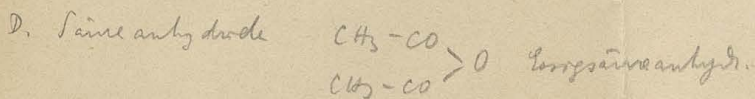
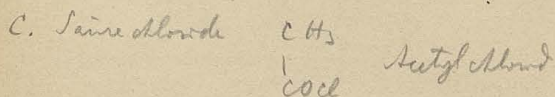
Buttersäure

Isobuttersäure

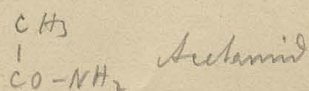


A. Halogenverbind. durch Ersetzung von H im Alkyl durch Cl

B. Ester der Fettsäure " " " im COOH durch Alkyl

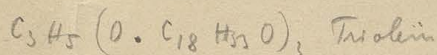
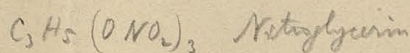
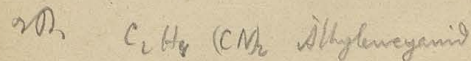


E. Säureamide Ersetzung des H im NH₂ durch Säureradikale



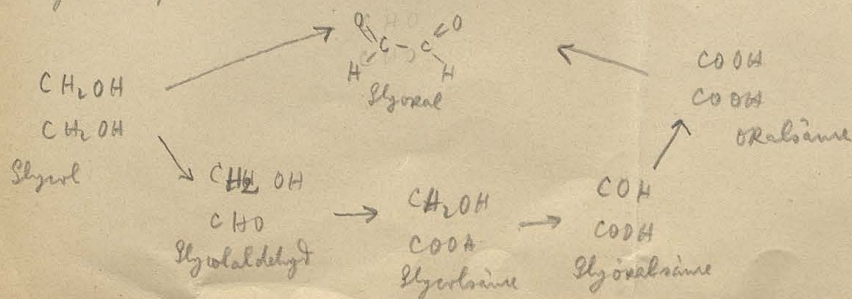
Schwefel der zweiwertigen

und dreiwertigen Alkohole

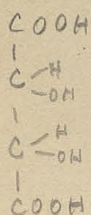


Oxydationsprod.

2D.



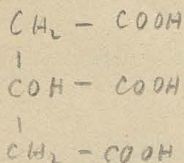
20. Weinsäure = 4wertig, 2 basisch



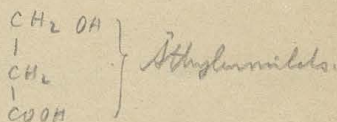
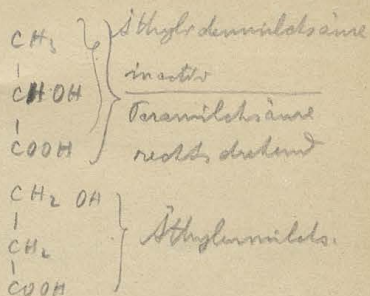
Rechts- + Linksh. = Transis. inaktiv
" " " " " "

Resonanz inaktiv

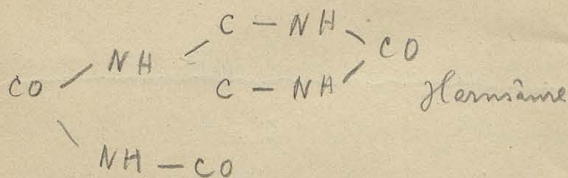
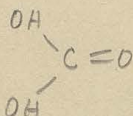
Citronensäure 4wertig 3 basisch $\text{C}_6\text{H}_8\text{O}_7$



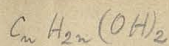
Milchsäure 2wertig 1 basisch



Derivate der Kohlensäure

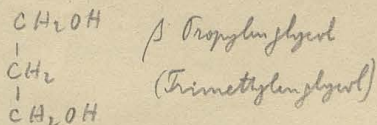
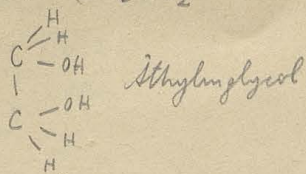


B. Zweiwertige Alkohole = Glycole

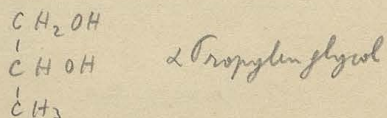


30

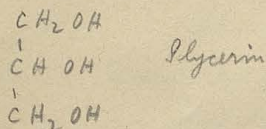
I. diprimär $(CH_2OH)_2$



II. primär-secundär $\begin{pmatrix} CH_2OH \\ CHOH \end{pmatrix}$

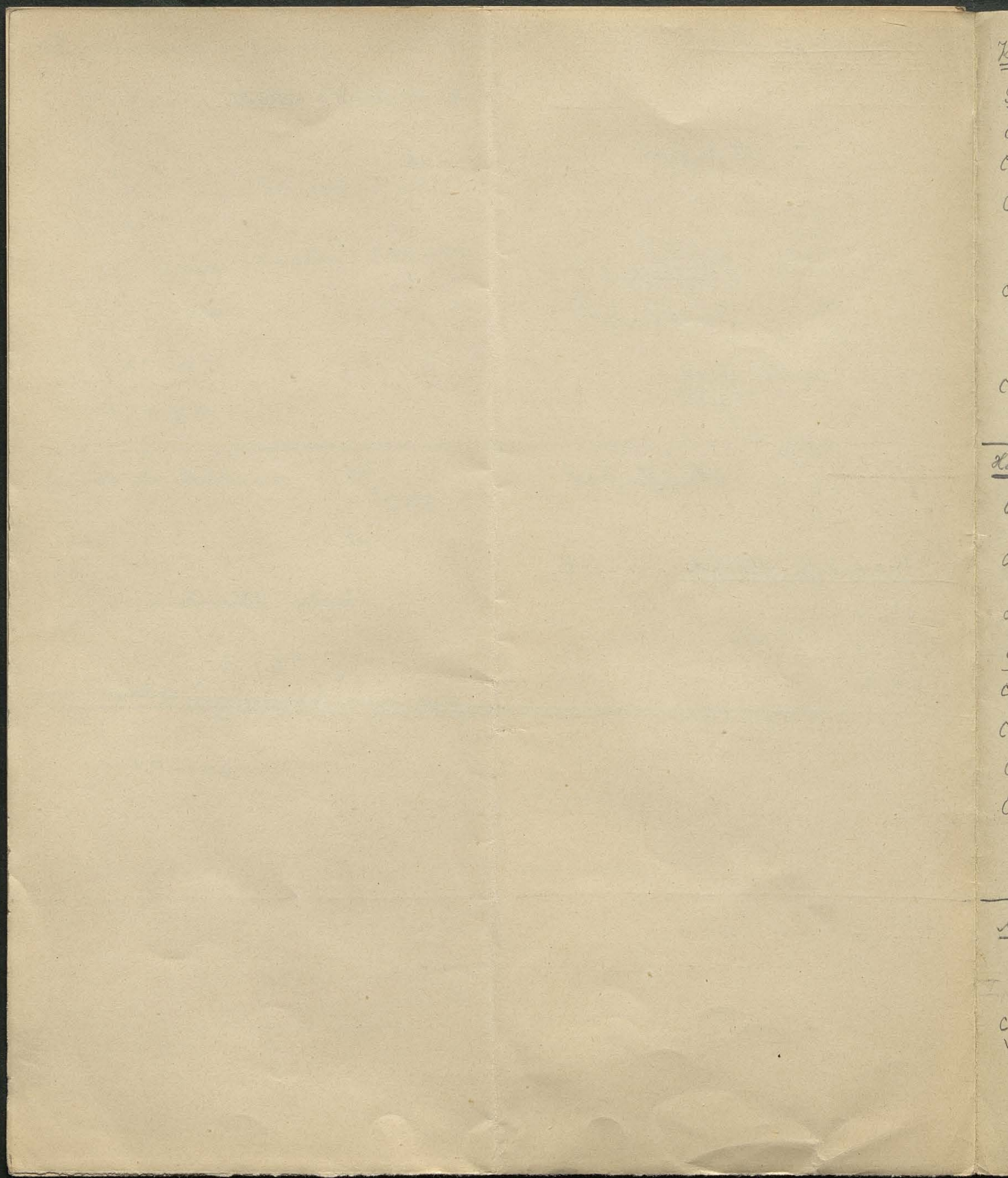


C. Dreiwertige Alkohole — $(OH)_3$



III. disecundär $(CHOH)_2$

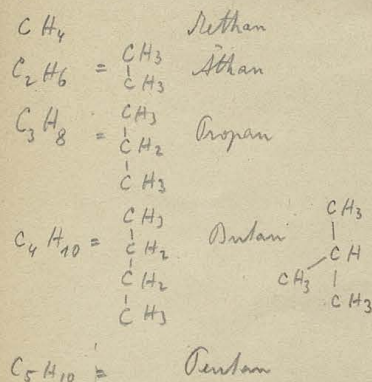
etc.



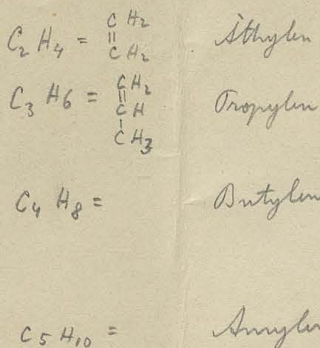
Kohlenwasserstoffe

31

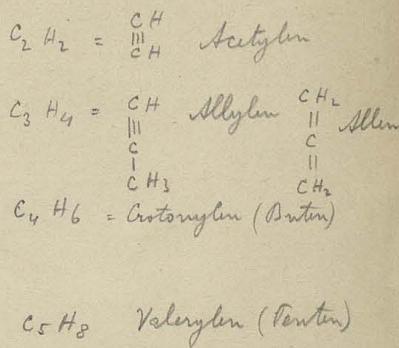
Paraffinkohlenst. $C_n H_{2n+2}$



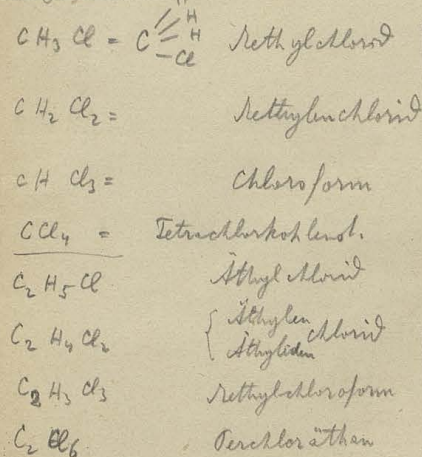
Olefine $C_n H_{2n}$



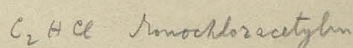
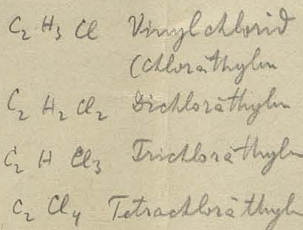
Acetylenreihe $C_n H_{2n-2}$



Halogenverbind.

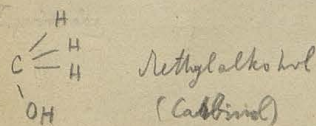


C



Alkohole A. Zimmerstoffe

Sättigte $C_n H_{2n+1} OH$



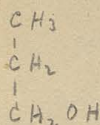
Ungesättigte $C_n H_{2n-1} OH$

Ungesättigte $C_n H_{2n-3} OH$

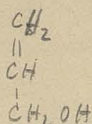
I primäre $R-CH_2OH$ gehen bei Oxyd. Aldehyde $C_nH_{2n}O$ und weiter Säuren mit gleichviel C $C_nH_{2n}O_2$



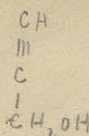
Äthylalkohol



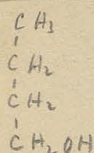
Propylalk.



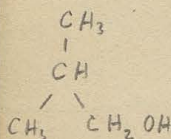
Äthylalkohol



Propargylalkohol

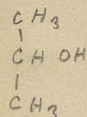


norm. prim. Butylalk.

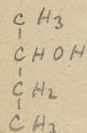


Isobutylalk.

II sekundäre $R-CHOH$ gehen bei Oxyd. Ketone $C_nH_{2n}O$ mit gleichviel C und weiter Säuren mit weniger C

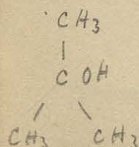


Isopropylalk.

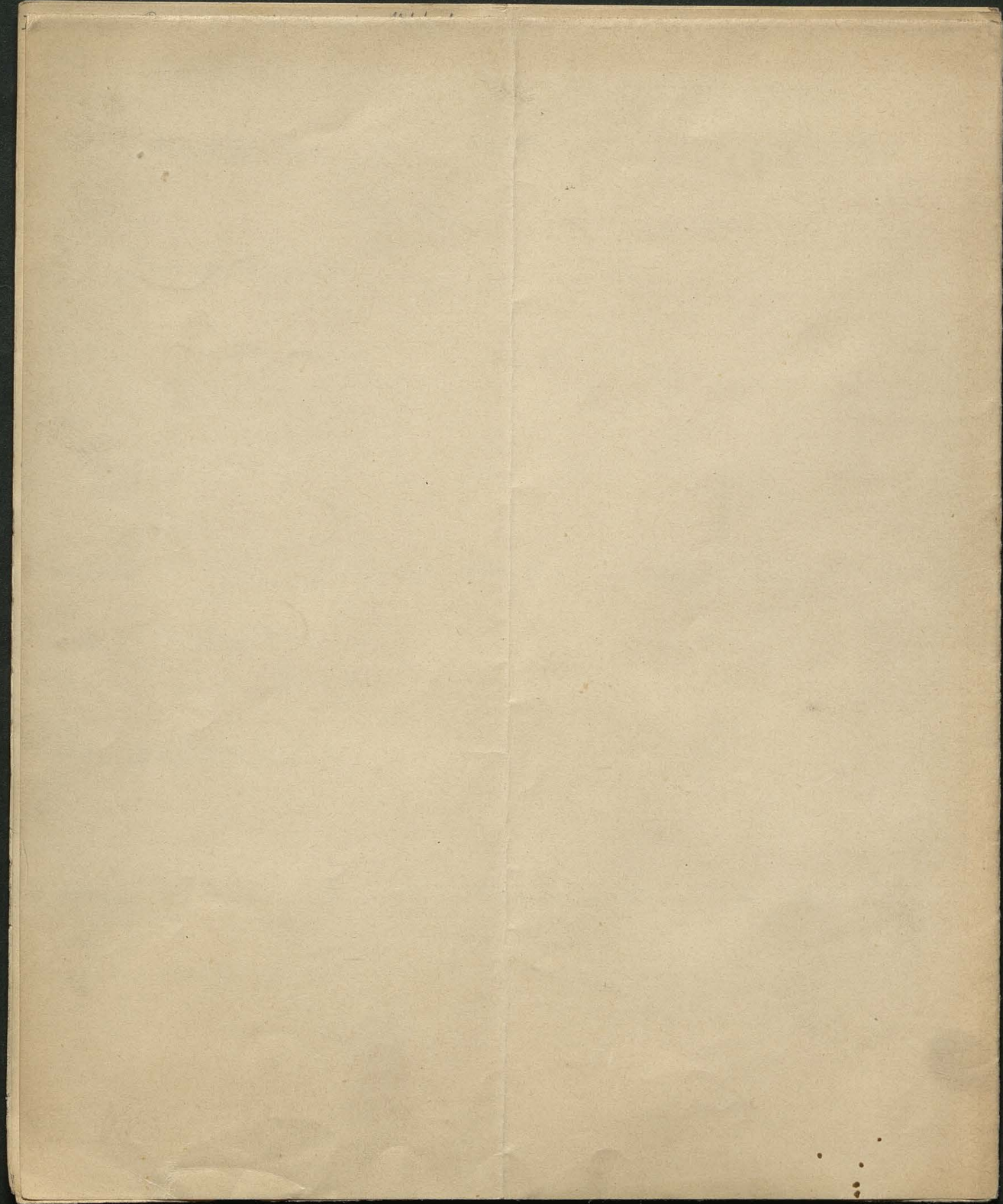


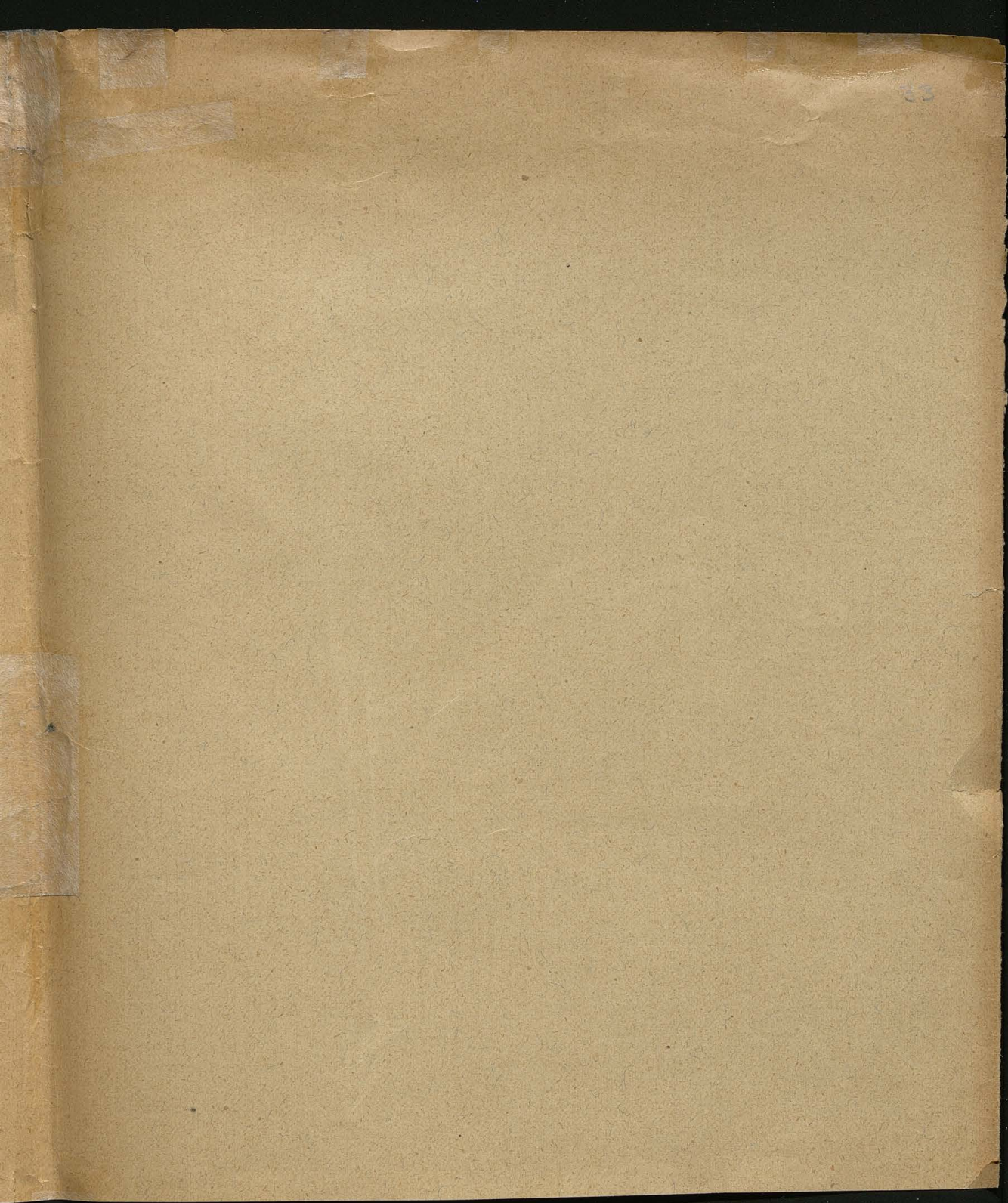
Äthyläthylcarbinol

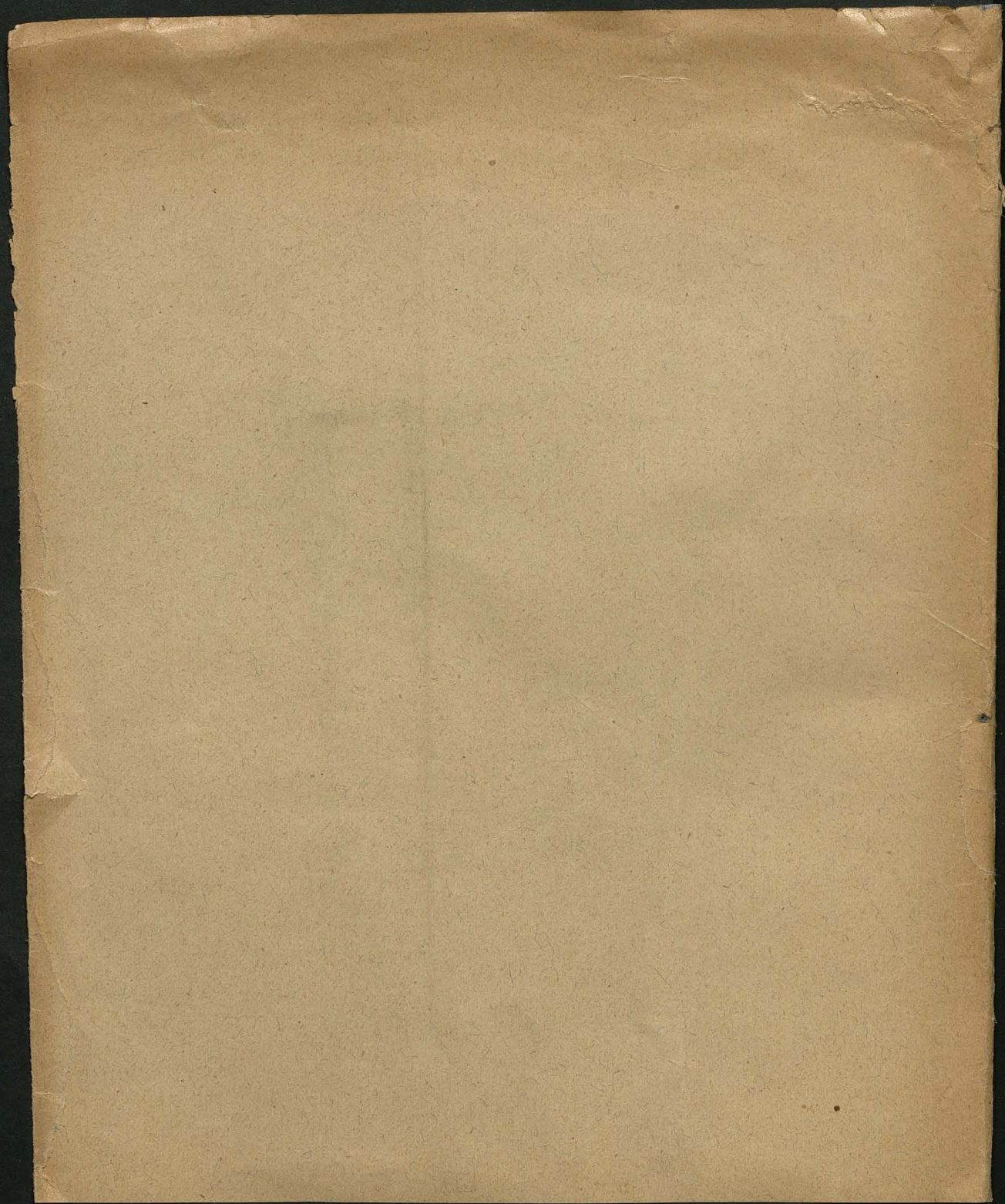
III tertiäre $R-COH$ gehen bei Oxyd. Ketone mit weniger C und ebenso viele Säuren



Trimethylcarbinol







9409

II

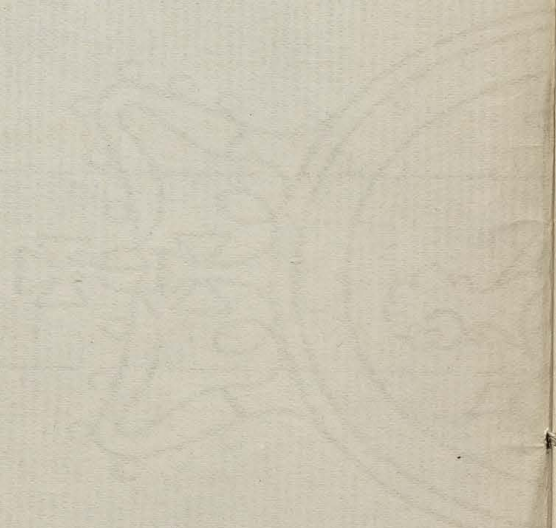
I B 2

34

Excerpta.

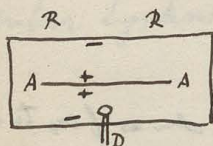
Begun : 29th October 1896.

M. Smoluchowski de Smolan Ph.D. Glasgow, 38 Park Road.



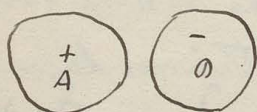
J. J. Thomson: Recent Researches in Electricity and Magnetism. Oxford, Clarendon Press. 1893. 35

5/11 Proc. R.S. IX ⁽¹⁸⁹⁶⁾ p. 270 Kelvin On the Generation of Longitudinal Waves in Ether



AA charged + ; D pushed over till spark ; then longitudinal waves between A and B if elastic solid theory ; instantaneous

if incompressibility of ether ; Photographic effect?
Analogous: Nature 23/1, 1896



② ③

c and d charged so that just limit of sparking ; if spark between A & D passing so also between c & d in the same moment or later?

p. 250 Impact with a Liquid Surface studied by means of Instant. Photogr.

Worthington

See also On R.S. 25 p. 261 & 498 [1877] and 34 p. 217 [1882].

Electrical Review 20/11 96 Vol. 39 p. 678

Röntgen Rays Apparatus: Various forms of Crookes Tubes with aluminium wall. Ogden describes how this wall can be made at $\frac{1}{10}$ of its commercial price (Scientific American 43/6) 102 common salt, tungstate of soda, chloride of calcium mixed in a common crucible. This is fitted with a tin cover and placed in a good coal fire, so as to bring it to full red heat, at which it is kept for 2-3 hours, till all fused. After cooling, the glass-like mass is broken up and thrown into a jar of water in which the crystals of tungstate of calcium will settle to the bottom. This used for screens.

R. Henry (C.R. 123 1888) considers his specially prepared Zn-sulphide superior.

p. 672 Substances sensitive to Radiant Heat.

Dr. Zienberg: Paper with Cu Br or $\text{Cu SO}_4 + \text{K Br}$ has a faint greenish tint, becomes olive brown $\Rightarrow + \text{Ag NO}_3$ black

$\text{K}_2 \text{C}_2\text{O}_7$ also; Cu SO_4 fuble in eye $+ \text{Ag NO}_3$ black.

$\text{Cu SO}_4 + \text{Ox ec.}$ brown; Cu Cl_2 deep green; Sn Br_2 also as if Cu to light

Pb NO_3 yellow $+ \text{Ag NO}_3 \Rightarrow$ red.

Phil. Mag. 42; 12/1896 p. 530. ^(11/96) Right remarks that he found previous to J.J. Thomson that sometimes a thinner layer of air presents a greater resistance than a thicker one, with Röntg. rays, ultras. rays and also without rays at all.

Revue. R. du Lincei 3/5, 96

Revue Scientifique 6 28/41 96 p. 694

Days 2 deint ~~the~~ (Proceedings R.S.) misme de

k (constant de Newton) $= 6.6576 \cdot 10^8$

densité moyenne de la Terre $= 5.527$

Physical Review 3 p. 81-pp & 177-192. 1895

R. A. Millikan Polarisation des strobles de Lichte

Thorpe Inorganic Chemistry

Following substances crystalline in

Regular Systems: Na, Mg, Cd, Fe, Pb, Cu, Hg, Au, Ag = 0

Mn, Ag,

∞ 0 ∞

P, Cu, Ag, Au

∞ 0

Ag, Au

m 0 m

C

m 0 ∞

m 0, m 0 n

Quadratic: Sn, B

Hexagonal: Zn, Sb, Bi

Monoclinic and Rhombic: S, Te ~~Rhombic~~

R^2O	RO	R^2O^3	RH^4 RO^2	RH^2 RO^1	RH R^2O^7	
Li = 7 H = 1	Al = 9.4	B = 11	C = 12	N = 14	O = 16	F = 19
Na = 23	Mg = 24	Al = 27.3	Si = 28	P = 31	S = 32	Cl = 35.5
K = 39	Ca = 40	44	Ti = 48	V = 51	Cr = 52	Mn = 55
Cu = 63	Zn = 65	68	Se = 72	As = 75	Se = 78	Br = 80
Rb = 85	Sr = 87	Y = 88?	Zr = 90	Nb = 94	Mo = 96	J = 127
Ag = 108	Cd = 112	In = 113	Sn = 118	Sb = 122	Te = 125	
Ce = 135	Pr = 137	Di = 138?	Co = 140	Ta = 182	W = 184	
-	-	Er = 178?	Zn = 180	Pb = 207	Pb = 208	U = 240
Au = 197	Hg = 200	Tl = 204	Th = 231			

Fe = 55, Co = 59, Ni = 59, Ru = 104, Rh = 104, Pd = 106, Os, Ir, Pt

Wied. Ann. 52 (1894) Kaye & Runge p. 92

In Spectren der Metalle der 4, 5 & 6 Gruppe haben sich keine Serien ergeben, wohl aber andere Regelmäßigkeiten:

Werden die reziproken Wellenlängen genommen, so wiederholen sich mehrere Gruppen mit konstanter Differenz

$\frac{1}{\lambda_1} = a + \frac{1}{\lambda_2}$ Dies wird gezeigt bei Sn, Pb, As, Sb, Bi

Sind ^{sind} ~~ist~~ außer bei den ersten drei Gruppen nur noch im Nengas ~~ein~~ zwei Tripletserien gefunden worden.

Phil. Mag 1897 W. Wien

Theoretical deduction of the formula $\sigma = \frac{A}{\lambda^5} e^{-\frac{B}{\lambda}}$!

Translation of Wied. Ann. 1896

Wied. Ann.

Dahmer

$$\lambda_n = a \frac{(n+c)^2}{(n+c)^2 - b}$$

$$T_h = A - \frac{B}{(n+c)^2}$$

$\frac{a}{b}$ bemerkt gleich wie bei H

Rydberg nimmt dies B für alle Metalle als gleich an

Electrician 12/3 PT XXXVIII

37

Electro. resistivity of electrolytic Bi at low temp and in mag. field.
 Dewar & Fleming.

Field strength	Volume resist.	Field strength	Vol. resist.
<u>Temp. +19°C</u>		<u>-79°</u>	
0	116,200	0	78,300
1375	118,200	650	833
2750	123,	2300	1035
8800	149,2	3350	1148
14150	186,2	4100	124
21800	257,000	5500	158
		7900	201
		14200	284,000
<u>-185°</u>		<u>-203</u>	
0	41,000	0	34,300
1375	103,3	2450	283,500
	191,5		
	738,		
	1,730,		
	6,190,000		

all transversely magnetized

Temp.	0	2450	5500	14200	CSS
+19°	116200	123,5	132,	187,	
-79	78300	105,	158,	284,	
-185	41,000	186,	419,	1,740,000	
-203	34,300	283,5			

Phil. mag. IV (5) 1877 ~~E. H.~~ Stoney

On the Penetration of Heat across Layers of Gas.

Archiv für die theoretische Wissenschaften. ^(See p. 457) ~~Revue~~ [Revue Phil. mag. V
p. 457 Ann.] Aufhebung von Experimenten von Probst & Gassiot
(C. R. XX 1895 p. 1767, XXII 1896 p. 77; Ann. Chim. (3) XVI p. 381, XXII p. 362)

welche die gütigen von K. u. V. gemachten Experimente ausfüllten, aber sie
nicht richtig interpretierten. ^{Stoney}

Darunter: Abkühlzeit eines ^{zylinderförmigen} Thermometers (Rad. = 2 cm) in glühendem
Eis (Rad. = 6 cm), ~~constant~~ gefüllt mit NO_2 constant von 35 mm - Bar
Druck, dann steigend um $\frac{1}{2}$ bis 4 mm, dann Abnahme; in CO_2
Steigerung zwischen 12 - 4 mm um $\frac{1}{12}$. Richtige Erklärung jedenfalls:
schlechte Isothermancie dieses Gases.

Experimente über sphärischen Zustand, ebenso auch bei c. Phil. mag. V
^{Stoney: On Faraday's Force.}
Die Töden p. 67 Messungen über Reaction, welche auf einer dünnen
Glasplatte, welche einem geschweiften Hohlzylinder nachgebildet steht,
durch Oxydation ausgeführt werden (zwischen 5 und 100 mm Durchmesser).

Phil. mag. IV (5) p. 213 Garret: The Finite Integrals of certain

Part. Diff. Eq. $\frac{\partial^2 u}{\partial x^2} = \frac{\partial^2 u}{\partial x^2} + \frac{a}{x} \frac{\partial u}{\partial x}$

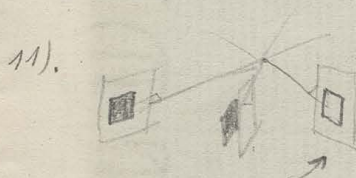
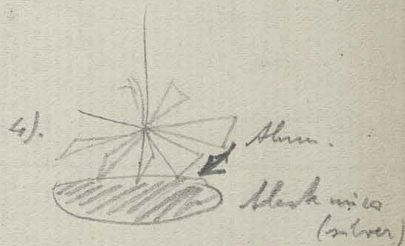
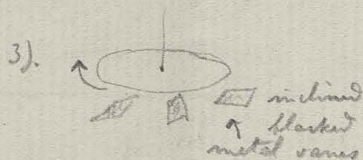
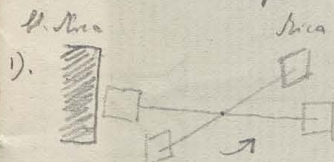
$$\frac{\partial^2 u}{\partial x^2} = x^{\frac{2a}{a-1}} \frac{\partial^2 u}{\partial x^2}$$

$$\frac{\partial^2 u}{\partial x^2} = \frac{\partial^2 u}{\partial x^2} + 4a \frac{\partial u}{\partial x}$$

Crookes On Repulsion resulting from Radiation; other spec.

The latter instrument analogous to radiometer but the movable parts forming the wheel and the ^{black} ~~fixed~~ walls etc. the heater.

Various examples. ~~2~~ For instance:



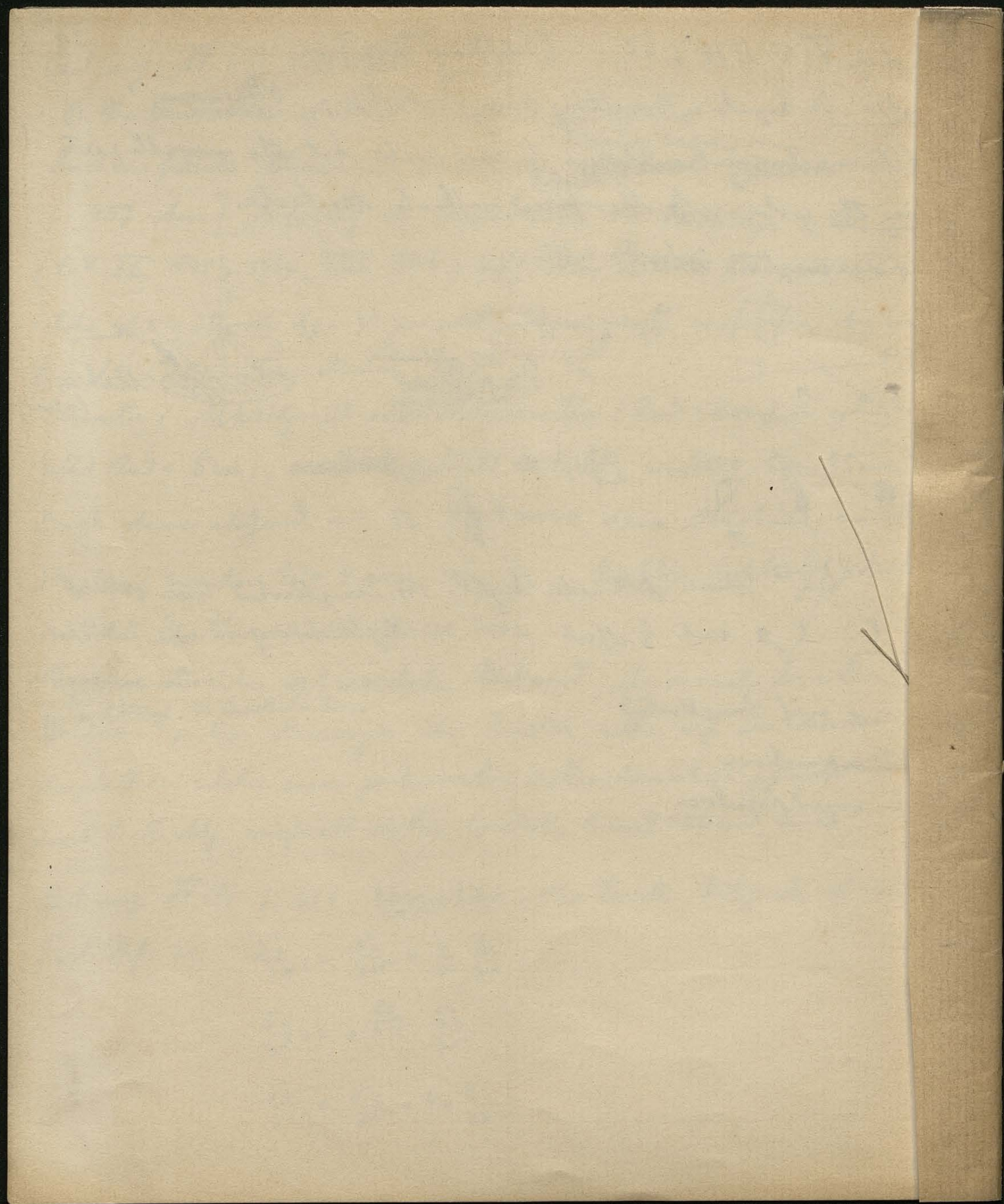
13). 14).

" " conc. no motion

15).

conc. no motion

conc. rapid repulsion

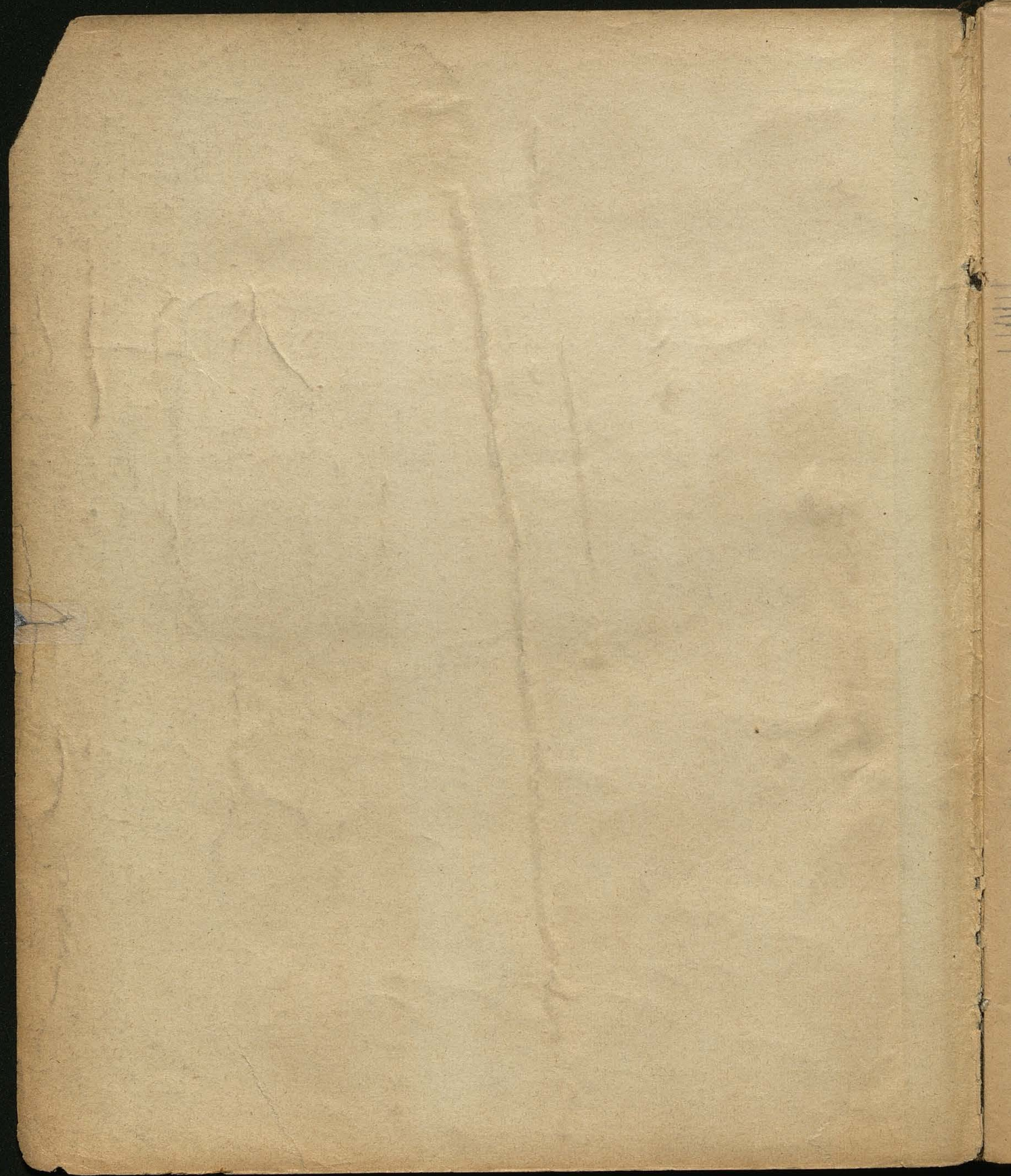


9409

II

39





2. ω is a scalar field on M . $x \mapsto F(x)$

$$[dx = \frac{\partial F}{\partial x} dx]$$

$$\left[\rho v F \frac{\partial F}{\partial x} \right] = \text{const}(x)$$

$$\rho v \frac{\partial (F)^2}{\partial x} = \text{const}$$

$$\frac{\partial(\rho v)}{\partial x} F \frac{\partial F}{\partial x} + \rho v \frac{\partial}{\partial x} \left[F \frac{\partial F}{\partial x} \right] = 0$$

orthogonal trajectories of f and F are orthogonal if f is orthogonal to F .
 If f is orthogonal to F then $f \cdot F = 0$.

the set of all points x such that $f(x) = 0$ is a curve.

if f is a function of x and y then $f(x, y) = 0$ is a curve.

ω is a scalar field on M and $\omega(x, y) = 0$ is a curve.

if f is a function of x and y then $f(x, y) = 0$ is a curve.

Cylinders are curves.

[Cylinders are curves!]

if ω is a scalar field on M then $\omega(x, y) = 0$ is a curve.

if f is a function of x and y then $f(x, y) = 0$ is a curve.

if f is a function of x and y then $f(x, y) = 0$ is a curve.

if ω is a scalar field on M then $\omega(x, y) = 0$ is a curve.

of orthogonal trajectories.

Im Ausdruck $C = \frac{v_0^2}{z} - \frac{\mu}{n_0}$ wird $\frac{\mu}{n_0}$ verschw. klein gegen $\frac{v_0^2}{z}$
 I.) $\mu = 2 \text{ km}$

also mit sehr groer Annherung, $C = \frac{v_0^2}{z}$

$$\varepsilon = \sqrt{1 + \frac{v_0^4 s^2}{4\mu^2}} = \sqrt{1 + \left(\frac{v_0^2 s}{2\mu}\right)^2}$$

II. Wenn Voraussetzung, dass die Constante k hier denselben Wert hat wie bei Gravitation (Gauss'sche Constante) so wird $\frac{v_0^2 s}{\mu}$ sehr gro, daher

angenhert: $\varepsilon = \frac{v_0^2 s}{2\mu}$

$$\Delta T = \frac{\mu}{(2C)^{\frac{3}{2}}} \left\{ 1 + \log \frac{4n_0 C}{\frac{v_0^2 s}{z}} \right\} = \frac{\mu}{v_0^3} \left\{ 1 + \log \frac{4n_0}{s} \right\}$$

Es knnte dies gar keinen Einfluss haben

II. das entweder anderes Wirkungs Gesetz oder k ist sehr gro
 (das wenn die Strke durch Kopf betrachtet werden soll)
 Wenn nchst hyperbolische Umhngung etc. so msste $(z-1)$ sehr klein sein
 daher dann angenhert

$$\varepsilon = 1 + \frac{1}{2} \left(\frac{v_0^2 s^2}{2\mu^2} \right)$$

$$z = \sqrt{1 + \frac{2\mu^2 C}{\mu^2}} = 1 + \frac{C}{\mu^2}$$

$$= \left[1 + \frac{v_0^2 s^2}{2\mu^2} C \right]$$

$$\Delta T = \frac{\mu}{(2C)^{\frac{3}{2}}} \left\{ 1 + \log \frac{4n_0 C}{\mu} + \log \left[1 + \frac{1}{2} \left(\frac{v_0^2 s^2}{2\mu^2} \right) \right] \right\}$$

$$= \frac{\mu}{\left(\frac{v_0^2}{2} - \frac{2\mu^2}{n_0} \right)^{\frac{3}{2}}} \left\{ 1 + \log \left(\frac{2n_0 v_0^2}{\mu^2} \right) \right\}$$

$$\Delta T = \frac{\mu}{(2C)^{\frac{3}{2}}} \left\{ 1 + \log \frac{4n_0 C}{\mu} - \frac{1}{2} \log \left(1 + \frac{v_0^2 s^2}{2\mu^2} C \right) \right\}$$

nachher zurckgegriffen

Die Bahn wird umgekehrt (sowie durch Stos) bei allen davor s folgendemach:

5
42

$$\beta > 45^\circ$$

$$\cos \beta = \frac{1}{\epsilon} > \frac{1}{\sqrt{2}}$$

$$\epsilon < \sqrt{2}$$

$$1 + \frac{2c^2 C}{\mu^2} < 2$$

$$\frac{c^2 C}{\mu^2} < \frac{1}{2}$$

$$\frac{v_0^2 s^2 C}{4 \mu^2} < \frac{1}{2}$$

$$s^2 < \frac{2 \mu^2}{v_0^2 C}$$

das s bei welcher

$$s^2 = \frac{2 \mu^2}{v_0^2 C}$$

wird zur Abkürzung δ genannt

s = Abstand der verknüpften Anfangsgeschwindigkeit vom wirkenden Centrum

ρ = Radius der Stos-Sphäre

Nach dem Perikel werden die Bahnen abgelenkt, daher Norm. d. Long. der Energie vermindert; wieviel?

$$\frac{E - E_0}{E_0} = \Delta E$$

$$E = \int_{s=\frac{\rho}{\epsilon}}^{s=\frac{\rho}{\epsilon}} 2s n ds \cdot \cos^2(180 - 2\beta)$$

$$s = \frac{\mu}{v_0} \sqrt{\frac{2}{C}}$$

$$\begin{aligned} &= \cos^2 2\beta = (\cos \beta - \sin \beta)^2 = (2 \cos \beta - 1)^2 = \left(\frac{2}{\epsilon} - 1\right)^2 \\ &= \left(\frac{2}{1 + \frac{2c^2 C}{\mu^2}} - 1\right)^2 = \left(\frac{1 - \frac{2c^2 C}{\mu^2}}{1 + \frac{2c^2 C}{\mu^2}}\right)^2 = \left(\frac{1 - \frac{v_0^2 s^2 C}{2 \mu^2}}{1 + \frac{2c^2 C}{\mu^2}}\right)^2 \end{aligned}$$

$$\text{deshalb } \frac{v_0^2 s^2 C}{2 \mu^2} > 1$$

$$E = \int 2s n ds \left(\frac{1 - \frac{2 \mu^2}{v_0^2 s^2 C}}{1 + \frac{2 \mu^2}{v_0^2 s^2 C}} \right)^2$$

Diese Verminderung entspricht in der Stos-Theorie $> 2\rho^2 n +$

$$\begin{aligned} E_0 \Delta E &= \int_{\rho/\epsilon}^{\rho} 2s n ds \frac{\cos^2 2\beta}{(1 - 2 \sin^2 \beta)^2} = \int_{\rho/\epsilon}^{\rho} 2s n ds \left(1 - \frac{s^2}{\rho^2}\right)^2 = 2n \left(2\rho^2 - \frac{2}{3}\rho^2 + \frac{2}{5}\rho^2 - \frac{2}{7}\rho^2 + \frac{2}{9}\rho^2\right) \\ &= \frac{2n\rho^2}{3} + 2\rho^2 n = \frac{8\rho^2 n}{3} \end{aligned}$$



Daraus könnte das μ berechnet werden, da die Verminderung der Energie in beiden Fällen gleich sein muss, wenn man die Berechnung der mittleren Weglänge beibehalten will.

Angenähert auch einfach so:

die aufgetragene Energie = umgekehrte

$$2\rho^2 n = s^2 \tilde{n} = \frac{2\mu n}{v_0^2 C}$$

$$\rho^2 = \frac{\mu^2}{v_0^2 C}$$

$$\mu^2 = \rho^2 v_0^2 C = \rho^2 \frac{v_0^4}{2} - \frac{\rho^2 v_0^2 \mu}{n_0}$$

$$\mu = \frac{\rho v_0^2}{2n_0} \pm \sqrt{\frac{\rho^2 v_0^4}{2} + \frac{\rho^4 v_0^4}{4n_0^2}} = \frac{\rho v_0^2}{2n_0} \left[1 \pm \sqrt{1 + \frac{2n_0^2}{\rho^2}} \right]$$

$$= \frac{\rho v_0^2}{2n_0} + \frac{\rho v_0^2}{\sqrt{2}} \sqrt{1 + \frac{\rho^2}{2n_0^2}}$$

also angenähert $\mu = \frac{\rho v_0^2}{\sqrt{2}}$

also unterstellt
keine Reflexion

$$C = \frac{v_0^2}{2}$$

$$\varepsilon = \sqrt{1 + \frac{v_0^2 s^2}{2\rho^2 v_0^4} \frac{v_0^2}{2}} = \sqrt{1 + \frac{s^2}{2\rho^2}}$$

$$\Delta T = \frac{\mu}{(2C)^{3/2}} \left\{ 1 + \log \frac{4n_0 C}{\mu \varepsilon} \right\} = \frac{\rho v_0^2}{\sqrt{2} v_0^3} \left\{ 1 + \log \frac{2n_0 v_0^2}{\rho \frac{v_0^2}{\sqrt{2}} \sqrt{1 + \frac{s^2}{2\rho^2}}} \right\}$$

$$= \frac{\rho}{v_0 \sqrt{2}} \left\{ 1 + \log 2n_0 v_0^2 - \frac{1}{2} \log \left(1 + \frac{s^2}{2\rho^2} \right) \right\}$$

$$\text{mittlere Zeitgenau} = \frac{\int_0^{\frac{2}{n_0} \tilde{n}} 2s \tilde{n} ds \Delta T}{\frac{2}{n_0} \tilde{n}} = \frac{2\rho}{v_0 \sqrt{2}} \left\{ 1 + \log 2\sqrt{2} \cdot \frac{n_0}{\rho} - \frac{1}{2} \log \left(1 + \frac{s^2}{2\rho^2} \right) \right\}$$

$$\boxed{M(AT)} = \frac{8 \rho}{n_0^2 v_0 \sqrt{2}} \int_0^{\frac{n_0}{2}} \left\{ 1 + \log 2\sqrt{2} \frac{n_0}{\rho} - \frac{1}{2} \log \left(1 + \frac{n^2}{2\rho^2} \right) \right\} n \, dn$$

$$\int \log(1+ax^2) x \, dx = \frac{x^2}{2} \log(1+ax^2) - a \int \frac{x^3 \, dx}{1+ax^2} \quad x^2 = y$$

$$\int \frac{ay \, dy}{1+ay} = \int \left(1 - \frac{1}{1+ay} \right) dy$$

$$= y - \frac{1}{a} \log(1+ay)$$

$$= \frac{a}{2} \int \frac{y \, dy}{1+ay}$$

$$= \frac{x^2}{2} \log(1+ax^2) - \frac{x^2}{2} + \frac{1}{2a} \log(1+ax^2)$$

$$= \frac{(1+ax^2)}{2a} \log(1+ax^2) - \frac{x^2}{2}$$

inmordlung

$$\boxed{L} = \frac{8 \rho}{n_0^2 v_0 \sqrt{2}} \left\{ \frac{n_0^2}{8} \left(1 + \log 2\sqrt{2} \frac{n_0}{\rho} \right) - \frac{\rho}{2} \cdot \frac{1 + \frac{n_0^2}{8\rho^2}}{\frac{1}{2\rho^2}} \log \left(1 + \frac{n_0^2}{8\rho^2} \right) + \frac{n_0^2}{16} \right\}$$

$$= \frac{8 \rho}{n_0^2 v_0 \sqrt{2}} \left\{ \frac{3n_0^2}{216} + \frac{n_0^2}{8} \log 2\sqrt{2} \frac{n_0}{\rho} - \frac{n_0^2}{216} \log \frac{n_0^2}{8\rho^2} \right\}$$

$$= \frac{\rho}{v_0 \sqrt{2}} \left\{ \frac{3}{2} + \log \frac{n_0}{\rho} + \log 2\sqrt{2} - \frac{1}{2} \log \frac{n_0^2}{\rho^2} - \frac{1}{2} \log \frac{1}{8} \right\}$$

$$= \log \frac{2\sqrt{2}}{\sqrt{\frac{1}{8}}} = \log 8$$

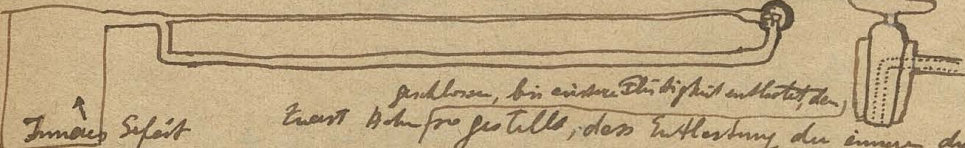
$$= \frac{\rho}{v_0 \sqrt{2}} \left\{ \frac{3}{2} + \log 8 \right\}$$

$$\text{während nach Stoss-Theorie} = \frac{2\rho}{v_0} \text{ wäre}$$

also Überschätzung !!!

8
Möglichkeit einer experiment. Bestimmung der kubischen elektrischen Nachwirkung?
Gewicht. Resometer wird Differenz der Nachwirkung von Glas und Wasser
gegeben; ob dabei viel auf Flüssigkeit kommt, durch Wechsel derselben angesetzt.

Entweder plötzliche Beheizung oder ein fester plötzl. Entlastung (durch
Öffnen eines Hähnes). Wenn vielleicht Wirkung zu schwach so folgendes Arrangement


geschloss, bis einströmende Flüssigkeit entleert, dann
Zuerst Behälter feststellen, dass Entlastung der inneren durch das rechte Rohr,
dann dieses schließen und die Capillare öffnen so die geringe Änderung noch
beobachtet werden. Correction in Folge der Wärmewirkung!

Bestimmung der Polarisationskurve des Wechselstromes (Messungs-Apparat ?)

Untersuchung des Tellurs in Bezug darauf

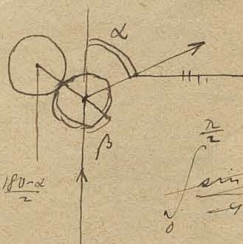
Hall'sches Phänomen: statt rechteckige Platte: Halbkugel der (geladenen)
Niederschlag auf Spitze; Kugel?

Verwendung bei Wechselströmen; entweder mit Magnet oder ~~elektromagnetisch~~
~~selbst~~ electrodynamisch; in letzterem Falle wird constant fortgesetzter
Sekundärstrom entstehen; Erhaltung der Kraft; darauf gegründete
Mess-Apparate; in wie weit darf man hinter die erste Platte eine zweite
geben?, eventuell ganze Systeme verbunden werden, dadurch Widerstand
verringert und man kann so Wechselströme in constanten verwandeln.

Gibt es Wärmeschwörungen? (auch electr. Schw. ?) warum nicht?

Ordnung (wahrscheinl) der Molek. ~~nach~~ in den verschiedenen Richtungen nach ihrem Zusammentreffen.

1). nach Stoßtheorie:



$$W_{\alpha} = \frac{2\pi \sin \frac{180-\alpha}{2} d\alpha}{2\pi \sin \alpha d\alpha} \omega \frac{180-\alpha}{2}$$

$$\int_0^{\frac{\pi}{2}} \frac{\sin \alpha d\alpha}{\sin \frac{\alpha}{2}} = \int_0^{\frac{\pi}{2}} \frac{\cos \frac{\alpha}{2}}{\sin \frac{\alpha}{2}} d\frac{\alpha}{2} = \int_0^{\frac{\pi}{4}} \frac{1}{\sin x} dx = \frac{1}{\sqrt{2}}$$

$$= \frac{1}{2} \frac{\cos \frac{\alpha}{2}}{\sin \frac{\alpha}{2}} = \frac{1}{2} \frac{1}{\sin \frac{\alpha}{2}} = \frac{1}{2} \frac{\omega \frac{\alpha}{2} \sin \frac{\alpha}{2}}{\sin \alpha} = \frac{1}{4} \text{ also gleichmäßige Verteilung}$$

(s>p) (ebenso die reflectierten)
die übrigen bleiben gleichmäßig

2). nach Kraft-Theorie:

$$W_{\alpha} = \frac{2\pi s ds}{2\pi \sin (180-2\beta) d(2\beta)} = \frac{s ds}{2 \sin 2\beta d\beta} = \frac{s ds}{4 \sin \beta \cos \beta d\beta}$$

$$\cos \beta = \frac{1}{2} = \frac{1}{\sqrt{1 + \frac{v_0^2 s^2}{2\mu^2 C}}}$$

$$-\sin \beta d\beta = \frac{-1}{\sqrt{1 + \frac{v_0^2 s^2}{2\mu^2 C}}} \frac{v_0^2 s}{2\mu^2} ds$$

$$\int_0^{\frac{\pi}{2}} \frac{\sin \alpha d\alpha}{\sin^2 \frac{\alpha}{2}} = 4 \int_0^{\frac{\pi}{2}} \cot \frac{\alpha}{2} d\frac{\alpha}{2} = 4 \int_0^{\frac{\pi}{4}} \cot x dx$$

$$= 4 \int_{\frac{\pi}{4}}^{\frac{\pi}{2}} \cot x dx = -4 \log (\cos x) \Big|_{\frac{\pi}{4}}^{\frac{\pi}{2}} = \infty$$

$$= \frac{s ds (1 + \frac{v_0^2 s^2}{2\mu^2 C})^2}{2 v_0^2 s^2 C ds}$$

$$= \frac{\mu^2}{2 v_0^2 C} \frac{1}{\cos^2 \beta} = \frac{\mu^2}{2 v_0^2 C} \frac{1}{\cos^2 \frac{180-\alpha}{2}}$$

$$= \frac{\mu^2}{2 v_0^2 C} \frac{1}{\sin^2 \frac{\alpha}{2}}$$

Wenn der maximale $s = \tilde{s}$ so können aber keine Molek. unter kleinerem s als A gebengt werden, wobei

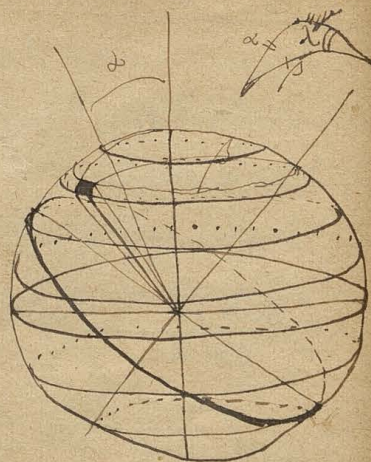
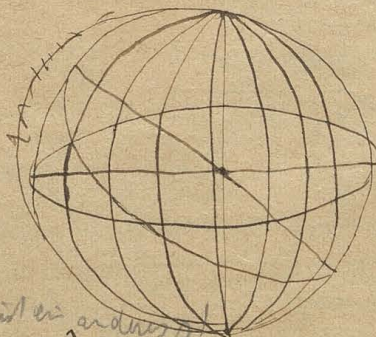
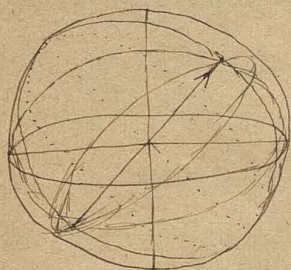
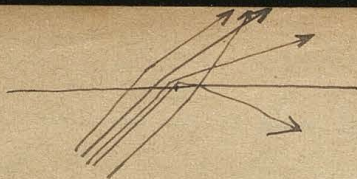
$$\cos \frac{180-A}{2} = \frac{1}{2} = \sin \frac{A}{2} = \frac{1}{\sqrt{1 + \frac{v_0^2 \tilde{s}^2}{2\mu^2 C}}}$$

Wenn unter verschiedenen Winkeln Molek. gegen ein N. fliegen, wie viel werden nach dieser Halbkugel reflectiert?
Radius des Zirkels der in einer Richtung fliegenden Molek. = \tilde{s}

1). nach Stoßtheorie:

$$\frac{2\pi \tilde{s}^2}{\tilde{s}^2} = 2\pi \text{ in jeder einer Richtung also ebenso auch im Mittel}$$

2). nach Krafttheorie:



2 ist auszudrücken durch β und λ

~~$$\cos \alpha = \cos \beta \cos \gamma + \sin \beta \sin \gamma \cos \lambda$$~~

~~$$\cos \alpha = \cos \beta \cos \gamma + \sin \beta \sin \gamma \cos \lambda$$~~

$$\sin^2 \frac{\alpha}{2} = \frac{1 - \cos \alpha}{2}$$

$$\textcircled{D} = \int_{\beta=0}^{\pi} \int_{\lambda=0}^{2\pi} \frac{\sin \beta \, d\lambda \, d\beta}{\sin^2 \frac{\alpha}{2}} \quad \frac{\mu^2}{2v_0^2 C} = \frac{\mu^2}{v_0^2 C} \int_{\beta=0}^{\pi} \int_{\lambda=0}^{2\pi} \frac{\sin \beta \, d\beta \, d\lambda}{1 - \cos \beta \cos \gamma - \sin \beta \sin \gamma \cos \lambda}$$

[Eigentlich wäre auch Cosinusintegral!]

$$= \frac{\mu^2}{v_0^2 C} \int_{\beta=0}^{\pi} \sin \beta \, d\beta \int_{\lambda=0}^{2\pi} \frac{d\lambda}{1 - \cos \beta \cos \gamma - \sin \beta \sin \gamma \cos \lambda}$$

$$\int_0^{2\pi} \frac{dx}{a - b \cos x} = \frac{4}{\sqrt{a^2 - b^2}} \operatorname{arctg} \frac{(a+b) \operatorname{tg} \frac{x}{2}}{\sqrt{a^2 - b^2}} \Big|_0^{2\pi} = \frac{2\pi}{\sqrt{a^2 - b^2}}$$

$$= 2 \int_0^{\pi} \frac{dx}{a - b \cos x} = \uparrow$$

$$\int_{\lambda=0}^{2\pi} \frac{d\lambda}{1 - \cos \beta \cos \gamma - \sin \beta \sin \gamma \cos \lambda} = \frac{2\pi}{\sqrt{(1 - \cos \beta \cos \gamma)^2 - \sin^2 \beta \sin^2 \gamma}} = \frac{2\pi}{\sqrt{1 - 2\cos \beta \cos \gamma + \cos^2 \beta \cos^2 \gamma - 1 + \cos^2 \beta + \sin^2 \beta - \cos^2 \beta \sin^2 \gamma}} = \frac{2\pi}{\sin^2 \beta}$$

$$= \frac{-2\pi}{\cos\beta - \cos\gamma}$$

$$\boxed{\beta > \gamma \atop \cos\beta < \cos\gamma} = \frac{2\pi}{\cos\gamma - \cos\beta}$$

11
45

$$\textcircled{N} = \int_{\beta=\frac{\pi}{2}}^{\beta=\pi} \frac{\mu^2}{v_0^2 c} \int \frac{\sin\beta d\beta}{\cos\beta - \cos\gamma} \frac{2\pi}{v_0^2 c} = \frac{+2\pi\mu^2}{v_0^2 c} \log(\cos\beta - \cos\gamma) \Big|_{\frac{\pi}{2}}^{\pi}$$

$$= \frac{-2\pi\mu^2}{v_0^2 c} \log \frac{+ \cos\gamma}{1 + \cos\gamma} = \frac{-2\pi\mu^2}{v_0^2 c} \log \left(1 - \frac{1}{1 + \cos\gamma} \right) = \text{Ausfall, welche in die Halbkugel}$$

refl. werden, wenn das ganze Bündel unter dem Winkel γ gegen die Normale geneigt ist
also gesammte Ausfall vom Mittelwert (γ)

$$\textcircled{N} = \frac{-1}{2\pi} \int_0^{\frac{\pi}{2}} 2\pi \sin\gamma d\gamma \frac{2\pi\mu^2}{v_0^2 c} \log \left(1 - \frac{1}{1 + \cos\gamma} \right)$$

$$= \frac{-2\pi\mu^2}{v_0^2 c} \int_0^{\frac{\pi}{2}} [\log \cos\gamma - \log(1 + \cos\gamma)] \sin\gamma d\gamma = \frac{-2\pi\mu^2}{v_0^2 c} \int_1^0 [\log x - \log(1+x)] dx$$

$$= \frac{-2\pi\mu^2}{v_0^2 c} \int_0^1 [\log x - \log(1+x)] dx$$

$$\boxed{\int \log x dx = x(\log x - 1)}$$

$$= \frac{-2\pi\mu^2}{v_0^2 c} \left\{ x(\log x - 1) - (x+1)[\log(x+1) - 1] \right\} \Big|_0^1$$

$$= \frac{-2\pi\mu^2}{v_0^2 c} \left\{ x \log x - x - x \log(x+1) - \log(x+1) + x+1 \right\} \Big|_0^1$$

$$\left(x \log \frac{x}{x+1} + \log \frac{1}{x+1} + 1 \right) \Big|_0^1 = \infty$$

kommt davon weil γ nur bis zum Winkel $(90 - A)$ ausstrahlt und kein

also
 $\sin \frac{A}{2} = \frac{1}{2}$

$$\cos A = \frac{2}{\epsilon^2} - 1 = \frac{1 - \frac{v_0^2 \epsilon^2}{2\mu^2 c}}{1 + \frac{v_0^2 \epsilon^2}{2\mu^2 c}}$$

$$2 \sin \frac{A}{2} = 1 + \cos A = \frac{2}{\epsilon^2}$$

$$\sin A = 2 \arcsin \frac{A}{2} = 2 \frac{1}{\varepsilon_s} \sqrt{1 - \frac{1}{\varepsilon_s^2}} = \frac{2\sqrt{\varepsilon_s^2 - 1}}{\varepsilon_s^2} =$$

$$\text{also } \textcircled{N} = \int_0^{\rho_0 - A} \dots = \int_1^{\sin A} = \frac{2\pi\mu^2}{v_0^2 C} \left\{ x \log x + \frac{1}{2} (x+1) \log(x+1) + 1 \right\} \Big|_1^{\sin A} =$$

$$= \frac{2\pi\mu^2}{v_0^2 C} \left\{ \cancel{1} + 2 \log 2 + \sin A \log \sin A + \frac{1}{2} (2 + \sin A + 1) \log(2 + \sin A + 1) \right\}$$

$\log 2 = \frac{\log x}{x}$ verschwindend klein

$$\sin A \text{ mit großer Annäherung} = 2\sqrt{\varepsilon_s^2 - 1}$$

$$= 2 \sqrt{\frac{v_0^2 \varepsilon_s^2}{2\mu^2}}$$

angenähert.

$$\sin A = 2 \sqrt{\frac{v_0^4 \varepsilon_s^2}{\mu^2}} = \frac{2v_0^2 \varepsilon_s}{\mu}$$

$$\textcircled{N} = \frac{2\pi\mu^2}{v_0^2 C} \left\{ \log 4 + \frac{2v_0^2 \varepsilon_s}{\mu} \log \frac{2v_0^2 \varepsilon_s}{\mu} \right\}$$

das alles ungültig wenn $C = \frac{v_0^2}{2} - \frac{\mu}{\rho_0}$!
wenn das zweite Glied vernachlässigt wird

$$\frac{2\mu^2}{v_0^2 C} = 6^2 \quad (\text{siehe pg 5})$$

$$\sin A = 2 \sqrt{\frac{\mu^2}{\varepsilon_s^2}} = \frac{2\mu}{\varepsilon_s}$$

$$\text{also } \textcircled{N} = 2\pi 6^2 \left\{ -2 \log 2 - 2 \frac{5}{6} \log \frac{2\mu}{6} \right\}$$

$$\sin A \text{ ~~abgeleitet~~ } = \frac{2\sqrt{\varepsilon_s^2 - 1}}{\varepsilon_s^2} = \frac{2\sqrt{\frac{2\varepsilon_s^2 C}{\mu^2}}}{1 + \frac{2\varepsilon_s^2 C}{\mu^2}} \neq \frac{2}{\sqrt{\frac{2\varepsilon_s^2 C}{\mu^2}}}$$

$$\neq \frac{2}{\sqrt{\frac{v_0^2 \varepsilon_s^2 C}{2\mu^2}}} \neq \frac{2}{\sqrt{\frac{5^2}{6^2}}} = \frac{26}{5}$$

$$\text{also angenähert: } \textcircled{N} = 2\pi 6^2 \left\{ +2 \log 2 + \frac{26}{5} \log \frac{26}{5} \right\} \left\{ \left(\frac{26}{5} + 1 \right) \log \left(\frac{26}{5} + 1 \right) \right\}$$

$$= 2\pi 6^2 \left\{ -\frac{6}{5} \log \frac{5}{26} + \log 2 \right\}$$

Wenn diese Werte gleich sein sollen nach beiden Theorien so muss sein:

$$\frac{2p^2}{\rho} = 4\pi b^2 \left\{ \frac{6}{5} \log \frac{5}{2b} + \log 2 \right\} \quad \left| \quad S = \frac{1}{2} \text{ mittlere Entfernung der Pole.} \right.$$

$$b^2 = \frac{2\mu}{v_0^2 C}$$

~~mit der hier eingeföhrten Notation darf man das $C = \frac{v_0^2}{2}$ setzen:~~

$$\cancel{C = \frac{v_0^2}{2} \text{ oder } C = \frac{v_0^2}{2} \text{ oder } C = \frac{v_0^2}{2}}$$

angenommen dass man auch hier $C = \frac{v_0^2}{2}$ setzen darf, wird:

$$b^2 = \frac{4\mu^2}{v_0^4} \quad b = \frac{2\mu}{v_0^2} \text{ also verkehrt prop. der absol. Temperatur!}$$

ungefähre Berechnung des Einflusses des unteren Schrades: wenn das ρ von pag 6 genommen wird = $\frac{6}{12}$ und mit dem ~~richtig~~ berechneten Pole. Radius identifiziert wird (nach Lord Kelvin's)

so ist $\left(\frac{\rho}{5}\right)^3 = \text{idealer Condensators Luftleit}$

$$\cancel{\text{dann ist } \rho = 0.001}$$

dann ist ungefähre für Wasser = 0.001

$$\frac{\rho}{5} = \frac{1}{10} \quad \frac{6}{5} = \frac{1.4}{10} = \frac{1}{10} \quad 0.14 = \frac{1}{7}$$

$$\log \frac{3.5}{7} = \frac{0.544}{7} = 0.08 \quad \text{0.30}$$

$$\text{denn } A = 0.28$$

$$A = \approx 150!$$

dann müsste man noch das Glied mit $x+1$ durchrechnen

$$\cancel{\log \frac{3.5}{7}} \quad \rho^2 = 0.44 b^2$$

$\rho = 0.76$ das auch in diesem Falle verkehrt prop. der absol. Temp.

$$x \log x - (x+1) \log(x+1) = x \log \frac{x}{1+x} - \log(1+x)$$

$$= - \left\{ x \log \frac{1+x}{x} + \log(1+x) \right\}$$

$$= - \left\{ x \log \left(1 + \frac{1}{x}\right) + \log(1+x) \right\}$$

innere Reibung:

$$\eta l = \frac{3}{4\pi\rho}$$

m = 20 Proben

$$\nu = \frac{1}{5} m n l v_0 = \frac{m v_0}{4\pi\rho}$$

$$\mu = \frac{m v_0}{4\pi} \frac{1}{\sigma^2 \left\{ 2 \log 2 - \frac{26}{5} \log \frac{5}{26} \right\} + \left(\frac{26}{5} + 1 \right) \log \left(\frac{26}{5} + 1 \right) \}$$

$$\sigma = \frac{2m}{v_0}$$

falsch! es kommt dazu: $\frac{m}{4\pi\rho}$

$$\frac{d\mu}{dv_0} = \frac{d\mu}{dp} \frac{dp}{dv_0} = - \frac{m v_0}{4\pi\rho^3} \frac{dp}{dv_0}$$

$$\frac{dp}{dv_0} = \frac{dp}{d\sigma} \frac{d\sigma}{dv_0} \quad \left\{ \begin{array}{l} \text{aus dem} \\ \text{ist falsch, weil} \\ \text{auch } \sigma \text{ von } v_0 \text{ abhängt} \end{array} \right.$$

$$\rho = \sigma \sqrt{2 \log 2 + \frac{26}{5} \log \frac{26}{5} - \frac{6}{5} + 1}$$

$$\begin{aligned} \frac{dp}{d\sigma} &= \frac{dp}{d\sigma} \frac{d\sigma}{dv_0} \left\{ + \frac{2}{5} \log \frac{26}{5} + \frac{2}{5} + \frac{2}{5} \log \left(\frac{26}{5} + 1 \right) + \frac{2}{5} \right\} \\ &= \frac{p}{\sigma} + \frac{6^3 \left\{ 2 \log \left[\frac{26}{5} \left(\frac{26}{5} + 1 \right) \right] + 2 \right\}}{5^4 p} \end{aligned}$$

$$\frac{d\sigma}{dv_0} = - \frac{4m}{v_0^3}$$

$$\frac{dp}{dv_0} = \frac{p}{v_0} - \frac{2}{v_0} \left\{ \frac{p}{\sigma} + \frac{6^3 \left\{ 2 + \log \frac{26}{5} \left(\frac{26}{5} + 1 \right) \right\}}{5^4 p} \right\}$$

$$\frac{d\mu}{dv_0} = + \frac{2\mu}{p} \frac{2}{v_0} \left\{ p + \frac{6^3 \left\{ \dots \right\}}{5^4 p} \right\}$$

$$\frac{1}{\mu} \frac{d\mu}{dv_0} = \frac{4\mu}{v_0} \left\{ 1 + \frac{\dots}{5^4 \sigma^2 \left[2 \log 2 + \frac{26}{5} \log \frac{26}{5} - \frac{26}{5} + 1 \right]} \right\}$$

$$= \frac{4}{v_0} \frac{2 \log 2 \cdot 5 + 3 \log \frac{26}{5} - (16+5) \log \left(\frac{26}{5} + 1 \right) + 26 + \frac{6 \log \frac{26}{5}}{5}}{5^4 \left[2 + \frac{6 \log \frac{26}{5}}{5} \right]}$$

$$\frac{1}{v} \frac{dv}{dv_0} = \frac{4}{v_0} + \frac{4v}{v_0^2}$$

$$2 + 2v \frac{2v}{5} + 2v \left(\frac{2v}{5} + 1 \right)$$

$$2 + 2 \cdot 2 + \frac{2v}{5} \cdot 2v + (2v) \cdot 2v$$

$$\frac{\sigma}{s} = \frac{2}{v_0^2}$$



$$\frac{M}{m} = \frac{1}{n}$$

$$m \cdot 1' \cdot 10^3$$

$$n \cdot 5^3 = 1$$

$$S = \sqrt[3]{\frac{m}{M}} = \sqrt[3]{\frac{2}{5}} \sqrt[3]{T} = v \cdot 3$$

$$M = \frac{1}{1+\alpha t} = \frac{1}{T}$$

$$\frac{6}{5} = \frac{2v}{73 v^{2+2}} = \frac{2v}{73 v^{\frac{7}{2}}} = \frac{2v}{73 v_0^{\frac{7}{2}}} \left(\frac{v}{v_0} \right)^{\frac{7}{2}} = \left(\frac{6}{5} \right) \left(\frac{v}{v_0} \right)^{\frac{7}{2}}$$

$$m. \frac{6}{5} = \frac{1}{7}$$

$$\begin{array}{r} 2.107 \\ - 0.447 \\ \hline 1.660 \end{array}$$

$$\begin{array}{r} 1.14.0707 \\ 798 \\ \hline 0.122 \\ + 0.602 \\ \hline 0.724 \\ - 0.064 \\ \hline 0.660 \end{array}$$

$$\frac{4}{v_0} \left\{ 1 + \frac{1.66}{0.66} \frac{6}{5} \right\}$$

$$= \frac{4}{v_0} \left\{ 1 + \frac{5}{2} \frac{6}{5} \right\}$$

$$= \frac{4}{v_0} \left\{ 1 + \frac{5}{14} \left(\frac{v}{v_0} \right)^{\frac{7}{2}} \right\}$$

$$\left(\frac{v}{v_0} \right)^{\frac{7}{2}} = \frac{1+\alpha t_0}{1+\alpha t} = \frac{275+t_0}{275+t}$$

$$= 1 + \frac{t_0 - t}{275+t}$$

$$\frac{1}{v} \frac{dv}{dt} = \frac{1}{v} \frac{dv}{dv_0} \frac{dv_0}{dt}$$

$$v_0 = A \sqrt{T}$$

$$= A \left(1 + \frac{\alpha}{2} t \right)$$

$$\frac{1}{v} \frac{dv}{dt} = \frac{A \alpha}{2} = \frac{4}{A}$$

Wenn man block v_0
elementar annehmen
wird:
 $\frac{1}{v} \frac{dv}{dv_0} = \frac{1}{v_0}$

myfor

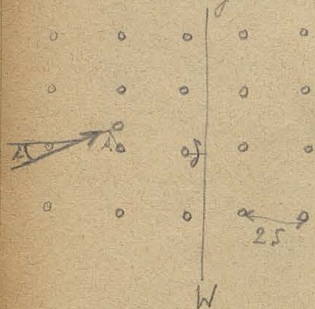
$$1 + \frac{5}{14} \neq 1.36$$

$$0.68 \cdot 0.5$$

16 Berechnung des Druckes eines solchen Gases

Vereinfachende Annahme:

Kugeln angeordnet in parallele Schichten mit Distanz $2.5'$ (würfelartig)



ein Kugeln wird unter dem Winkel i herangeworfen; mit welcher Kraft wird es auf die Wand W treffen?

- 1) Variation von i $\left| \begin{smallmatrix} \pi \\ 0 \end{smallmatrix} \right|$ $\left| \begin{smallmatrix} \text{Gesei} \\ \text{Gesei} \end{smallmatrix} \right|$ (2)
- 2) Variation des Abstandes s $\left| \begin{smallmatrix} \pi \\ 0 \end{smallmatrix} \right|$
- 3) Variation der Distanz 5 der Wand von der nächsten Kugelschicht $\left| \begin{smallmatrix} \pi \\ 0 \end{smallmatrix} \right|$
- 4) Variation der Geschwindigkeit (2)
- 5) Variation der mittleren Abstände (3)
- 6) Variation der Richtung der Wand gegen die Schicht

Dies wäre bei Voraussetzung, dass Wirkungssphäre einer Kugel nur bis 5 reicht, das 2. Kugel in ihren mittleren Entfernungen keine Wirkung mehr aufeinander ausüben; es sollte sich daher das Gesetz ergeben $p(v-b) = \text{const.} f(i, \dots)$

Wenn man auch diese gegenseitige Ausdehnung theilweise inangestrichen beinhalten will, kann man die Annahme machen, dass die Dichte welche ein Kugeln unter der ausübenden Wirkung mehrerer Kugeln beschreibt, durch Superposition (Addition) der einzelnen Dichten entsteht,

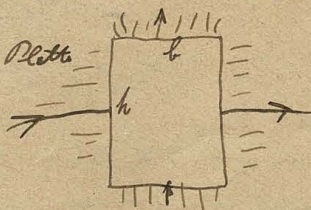
Ad. Hall'sches Phänomen:

17
48

$$\frac{e}{2} = \frac{R M i_1}{\delta}$$

wie groß kann der sekundäre Strom im Vergleich zum primären werden?

rechteckige Platte



Widerstand des primären Stromes = w_1

" sekundäre " = w_2

$$w_1 = \frac{\alpha b}{h \delta} + w_2$$

$$w_2 = \frac{\alpha h}{b \delta} + w_2$$

$$i_2 = \frac{b_2}{w_2}$$

$$A_2 = i_2^2 w_2 = i_2^2 b_2 = \frac{b_2^2}{w_2} = \frac{R^2 M^2 i_1^2}{\delta^2 w_2}$$

$$A_1 = i_1^2 w_1$$

diese werden gleich, wenn $A_1 = A_2 = i_1^2 w_1 = \frac{R^2 M^2 i_1^2}{\delta^2 w_2}$

$$w_1 w_2 = \frac{R^2 M^2}{\delta^2}$$

$$\frac{R^2 M^2}{\delta^2} = \frac{\alpha^2}{\delta^2} + w_1 w_2 + \frac{w_1 \alpha h}{b \delta} + \frac{w_2 \alpha b}{h \delta} \quad \left\| \quad \frac{1}{\delta^2} \left[\alpha^2 R^2 M^2 \right] + \frac{\alpha}{\delta} \left[\frac{w_1 h}{b} + \frac{w_2 b}{h} \right] + w_1 w_2 = 0 \right.$$

daraus δ bestimmbar

nach Prinzip der Erhaltung der Kraft sollte A_2 nicht größer sein dürfen als A_1 ; nach der

Formel könnte dies der Fall sein, wenn nämlich $w_1 w_2 < \frac{R^2 M^2}{\delta^2} \quad \left\| \quad \frac{R M}{\delta w_1} \cdot \frac{R M}{\delta w_2} > 1 \right.$

~~aber~~ ebenso folgt dies aus Folgender

$$i_2 = \frac{b_2}{w_2} = \frac{R M}{\delta w_2} i_1 \quad \text{wenn man } \frac{R M}{\delta w_2} > 1 \text{ so ist der sekundäre Strom stärker als}$$

der primäre, daher könnte dieser wieder als primärer verwendet werden etc. (Sensung von Arbeit aus nichts.)

$$R M > \delta w_2 = \frac{\alpha h}{b} + \delta w_2 \quad \text{nicht ganz richtig! es müsste auch die elektr. Kraft gleich oder größer sein}$$

Widerstände werden sich addieren

daher muss ~~es~~ entweder

1. obige Formel falsch sein

oder

2. beim Hall'schen Effect eine Widerstandsvermehrung eintreten
respektive andere Wärmewirkungen eintreten.

18 Was folgt für die Widerstandsveränderung unter Voraussetzung der Richtigkeit der Formel?

Widerstand ungünstigste Fall, wenn $w_1 = w_2 = 0$

$$W_1, W_2 = \frac{\alpha_1 \alpha_2}{\delta^2} \frac{R^2 M^2}{\delta^2}$$

$$\alpha_1, \alpha_2 \propto R^2 M^2$$

$$\alpha_i = f(\alpha_i, M)$$

also entweder wird bei starkem M die konstante R kleiner oder α größer

falls beide α gleich sind und Widerstand müsste von einem gewissen M an α proport. sein!

Was für Bedingungen folgen aus dem II Hauptsatz für Thermoelemente?

die Lötstelle wird erwärmt also die Wärmemenge A von der Temp. θ_1 auf θ_2 gebracht; der dadurch entstehende Strom kann verwendet werden die Wärmemenge B von θ_2 auf θ_3 $\theta_3 > \theta_2$ zu bringen? $\frac{A}{\theta_1} = \frac{B}{\theta_2}$ etc

Reibung (bei Flüssigkeiten) $= R = \mu v$

$$R = \mu v$$

$$v = \frac{ds}{dt}$$

$v = \text{relat. Gesch. u. } \theta' (\text{u. } \theta - \theta' \approx 0 \approx \text{const.})$



$$\int R dt = \mu \int (v_2 - v_1) dt$$

$\int =$ unabhängig von den Verteilungen des Geschwindigkeits auf der Flg vorgeschrieben

$$\int R \cos \alpha dt = \int \mu v dt = \text{unabhängig vom Weg und von der Geschwindigkeit auf demselben, wenn nur der Anfangspunkt und Endpunkt derselbe sind}$$

(Analogon zum Arbeits-Prinzip bei Potentialkräften)

$$\int R \cos \alpha dt = \int R v dt = \int R ds = F(x)$$

$$\frac{\partial F}{\partial t} = R \cos \alpha = \text{Comp. u. d. Flg}$$

$$= \frac{1}{\delta} \int R \cos \alpha dt = \frac{\partial F}{\partial s} = \frac{1}{v} R \cos \alpha \cdot v = \frac{\mu v}{v} \cos \alpha$$

$$R ds = \mu ds = \mu \frac{ds}{dt} dt = \mu \frac{ds}{dt}$$

$$\int_{t_1}^{t_2} R dt$$

Kirchhoff'sches Gesetz (Classicus)

19
49

$$\left(\frac{E}{A}\right) = \varphi(t, \lambda, n) \quad \varphi \text{ für alle Körper gleich}$$

n ist für die verschiedenen Wellenlängen verschieden

$$p_{n1} : p_{n2} = n_1^2 : n_2^2 \quad \text{Jeder Körper strahlt mit einem summierten Theil aus seinem eigenen Medium}$$

Anomale Dispersion = Absorption

Absolutes Emissionsvermögen eines schwarzen Körpers im Medium $(u_\lambda) = f(t, \lambda) \cdot n_\lambda^2$

" " " farbige " " " $E_{\lambda f} = A_{\lambda f} f(t, \lambda) n_\lambda^2$

Gehört die elastische Nachwirkung unter Reibungs-bewegungen, welche also kein Potential haben oder nicht?

Ist ~~Reibung~~ innere Reibung vorhanden innerhalb der Grenze der elastischen Vollkommenheit, wird die Nachwirkung? Sind das Voraussetz. auf welche der II Hauptatz Anwendung findet?

Vielleicht tritt innere Reibung nur bei bleiben der Deformation der Körper auf?

Ist alle bei der Deformation nur von der Größe des Druckes oder auch dessen Zeitdauer die Einwirkung abhängig? Jedenfalls des letzteren. Bei großen Drücken, welche den Grenzdruck nahe sind, betrachtet man ein formloses Fließen wie das von einem Fließkörper (Fließen von Plastiken). Dann kann man Deformation der Zeit proportional setzen

~~Die~~ Diese Bewegung kann man dann direct als Fließkörper-Bewegung auffassen also gewöhnliche innere Reibungskräfte einfinden.

Es muss dann in jedem Momente (wenn stationäre Bewegung)

Reibungskraft = Druckkraft sein; wenn man voraussetzt, dass Reibung proportional der Deformationsgeschwindigkeit (wie bei Flüssigkeiten) so (P_c)

$$c \frac{dx}{dt} = P \quad \text{daraus würde folgen, dass Deformation proportional Zeit x Druck}$$

Aber diese Deformation verproportional mit noch die zeitliche Elastizität offen
Dies ist aber jedenfalls nur bei so großen Drücken gültig

Annahme: Eine bleibende Deformation wird nicht nur durch die wirkende Kraft verursacht (diese mag der Teil proportional sein) sondern auch insbesondere während des Anwachsens der Kraft, also während des ~~el.~~ Anwachsens der vorübergehenden elastischen Deformation zu ihren vollen Werten.

v.D. Biegsel in Wahlmann pag 218 wird dadurch erklärt

beobachtete Gesamtdelormation $X_{\text{ges}} = \text{elastische (vorübergeh.)} + \text{dauernde Deformation}$

$$\cancel{X_{\text{ges}}} \quad X_{\text{ges}} = x + D_r$$

endgültige dauernde Deformation $D_r = 2D_v$

\uparrow gewöhnliche
angenommen es ist klein
 D_v verhältnismäßig klein, und
 D_r für das Δ und Spannungsgl.
untereinander annähernd $\propto P$

$$\cancel{x} \quad x = \frac{P}{E} \quad D_r = \frac{P}{E} \quad \parallel \quad \text{Wahlmann}$$

$$X_1 = X - D_r$$

$$X_2 = X + D_r$$

$$\frac{X_1 + X_2}{2} = X = P \left(\frac{1}{E} + \frac{1}{E} \right)$$

also Kraft prop. dem mittleren Mittel von

Diese Art Def. beruht darauf, dass die ~~Stäbe~~ ^{Stäbe} ~~Stäbe~~ ^{Stäbe} der wirkenden Kraft nachgeben wenn die einzelnen Stäbe in Bewegung sind. Daher wird v.D. dauernde Def. bei Torsion durch gleichzeitige Längsdehnung vergrößert. (Ebenso durch Stöße)

(Dies ist jedenfalls bei kleinen Drücken viel größer als die entsprechende D_v (flüchtige Deformation)).

Ein Modell welches dies veranschaulichen soll:

ein Körper liegt auf einer Ebene die, im Zustande der Ruhe, in eine Linie die in der Länge gedreht werden kann; proportional mit dem Drehungswinkel wird der Körper durch eine Stange in der Richtung \perp der Axe verschoben. Diese Verschiebung = elast. Verschiebung
Abstand von der Axe = permanente Deformation

22

Berechnung des Volum-^{=k₁}risikos und seiner Änderung mit verändernder Temperatur. (aus Längs- und ^{k₂}Torsionsmodell)

$$k_1 = \frac{E}{3(1-2\nu)}$$

$$k_2 = \frac{E}{2(1+\nu)}$$

$$\parallel k_1 = \frac{k_2 E}{3(k_2 - E)}$$

$$\lg k_1 = \lg E - \lg(1-2\nu) - \lg 3$$

$$\parallel \lg k_2 = \lg E - \lg(1+\nu) - \lg 2$$

$$\frac{dk_1}{k_1} = \frac{dE}{E} + \frac{2d\nu}{1-2\nu}$$

$$\frac{dk_2}{k_2} = \frac{dE}{E} - \frac{d\nu}{1+\nu}$$

$$= \frac{dE}{E} + \frac{6k_1 d\nu}{E}$$

$$= \frac{dE}{E} - \frac{2k_2 d\nu}{E}$$

$$\frac{dk_1}{k_1} = \frac{dE}{E} + \frac{3k_1}{k_2} \left(\frac{dE}{E} - \frac{dk_2}{k_2} \right)$$

$$\frac{d\nu}{E} = \frac{1}{2k_2} \left\{ \frac{dE}{E} - \frac{dk_2}{k_2} \right\}$$

$$= \frac{3k_1 + k_2}{k_2} \frac{dE}{E} - \frac{3k_1}{k_2} \frac{dk_2}{k_2}$$

$$= \frac{dE}{E} + \frac{E}{3k_2 - E} \left(\frac{dE}{E} - \frac{dk_2}{k_2} \right) = \frac{3k_2}{3k_2 - E} \frac{dE}{E} - \frac{E}{3k_2 - E} \frac{dk_2}{k_2}$$

$$= \frac{3k_2^2 dE - E^2 dk_2}{E k_2 (3k_2 - E)}$$

$$dk_1 = \frac{3k_2^2 dE - E^2 dk_2}{3(3k_2 - E)^2}$$

und hinein durch diff. von

~~10.~~ 10. Eisen nach Kottenslohn pag. 242, 271

$$\left(\frac{dE}{E} \right)^{1000}_0 = -2.33\% \quad \left| \quad \left(\frac{dk_2}{k_2} \right)^{1000}_0 = -3.10\% \quad \left| \quad E = 19024 \quad \right| \quad k_2 = 7505$$

$$k_1 = \frac{k_2 E}{3(3k_2 - E)} = \frac{19024 \cdot 7505}{3(22515 - 19024)} = \frac{19024 \cdot 7505}{3491}$$

$$\begin{array}{r} 133168 \\ 9512 \\ 95 \\ \hline 142775 : 10473 = 13633 \\ 38045 \\ 6626 \\ 342 \\ 28 \end{array}$$

$$\frac{-dk_1}{13633} = 0.0233 + \frac{19024}{3491} (0.0233 - 0.0310)$$

$$\begin{array}{r} 0.04196 \\ -0.0233 \\ \hline \end{array}$$

$$= -0.0077$$

$$13.3168$$

$$13.317$$

$$146485 : 3491 = 4196$$

$$6845$$

$$3054$$

$$212$$

$$24$$

$$259$$

$$4922 : 23 = 431$$

$$\frac{dk_1}{k_1} = +0.0177 !$$

merkmalig! pag 242, 248

$$\frac{dk_1}{k_1} = \frac{dB}{B} + \frac{2}{1-2\mu} \frac{d\mu}{d\mu} = -0.0233 + \frac{2 \cdot 0.27}{1-2 \cdot 0.27} 0.0097 = 0.0037 \cdot \frac{0.55}{0.96} - 0.0233$$

$$= 0.0434$$

$$-0.0233$$

$$+0.020$$

Plotin:

$$\frac{dk_1}{k_1} = -0.0089 + 2 \frac{0.16}{1-2 \cdot 0.16} 0.055 \quad 0.16 \cdot 0.11 = 0.0176 : 0.68 = 0.026$$

$$= +0.017$$

Gelb:

$$\frac{dk_1}{k_1} = -0.0292 + 2 \frac{0.17}{1-2 \cdot 0.17} 0.025 \quad 0.17 \cdot 0.05 = 0.0085 : 0.66 = 0.0129$$

$$= -0.0163 ! ?$$

Silber

$$\frac{dk_1}{k_1} = -0.0397 + 2 \frac{0.37}{1-2 \cdot 0.37} 0.122 \quad 0.37 \cdot 0.28 = 0.1036 : 0.66 = 0.157$$

$$= +0.307$$

$$\text{Neusilber} = -0.0343 + 2 \frac{0.33}{1-2 \cdot 0.33} 0.039 \quad 0.33 \cdot 0.034 = 0.01122 : 0.66 = 0.0169$$

$$= +0.032$$

$$\text{Schwamm} = -0.195 + 2 \frac{0.13}{1-2 \cdot 0.13} 0.157 \quad 0.13 \cdot 0.157 = 0.02041 : 0.66 = 0.0309$$

$$= -0.131$$

$$\text{Messung: } - 0.0421 + \frac{0.42}{1 - 2.042} \cdot 0.039$$

$$\frac{0.84 \cdot 0.039 : 0.16}{0.21} = 7.8 \text{ p}$$

$$\frac{0.00819 : 0.04}{0.04} = 0.205$$

$$= + 0.163$$

Es scheint doch bei den meisten Körpern [mit Ausnahme mancher, welche ein abnorm kleines μ haben — wenn dabei keine Verrundungsfälle —] der Volumen-Koeffizient mit wachsender Temperatur zu zunehmen! also Compressibilität abzunehmen, ^{gegengesetzt} wie bei Flüssigkeiten. Es wäre sehr wichtig, darüber directe Versuche zu machen!

Ob bei Längsdehnung Abkühlung oder Erwärmung eintritt und wie viel, hängt ab von Änderung des Längs-Koeffizienten mit der Temp.
^{Analog} ~~Es ist~~ die durch Torsion erzeugte Abkühlung ^{entsprechend} als einer ~~geringen~~ Längsdehnung und ~~aus~~ (scherenden (Torsion)-Kräften) lässt sich aber eine reine Volumens-Änderung zusammensetzen. Die dabei auftretende Wärme wird durch den Ausdehnungs-Koeffizienten (mit welcher auch die Änderung des Volumens-Koeffizienten mit der Temp.) bestimmt, andererseits durch Zusammensetzung aus den erwähnten Wärme-Änderungen. Daraus lässt sich Zusammenhang zwischen jener Größe ableiten.

- 1). Was für Wärme-Erscheinungen treten bei Volumens-Compression eines ~~festen~~ ^{unter dem Drucke k , stehenden} Körpers auf?
^(ungeendrückt)
- 2). Im natürlichen Zustande wird (Lang 22.953, p.62) der Körper bei Compression eine ^{um dp} Wärmemenge abgeben

$$dQ = - T \alpha v_0 dp$$

- 3). Wenn der Körper schon unter dem Drucke k steht, wird noch die Änderung des Volumens-Koeffizienten mit der Temp. dazukommen.

2). Der allseitige Druck dp kann ersetzt werden durch einen Längsdruck von der Größe $3dp$ mit zwei Scherungen von einander \perp aus von je dp (jede ersetzbar durch Druck und \perp darauf Zug)

3). Durch den Längsdruck $dZ = 3dp$ wird eine Wärmemenge dQ abgeführt
nach Lang pg. 971
$$\frac{dQ}{dT} = - \frac{T}{E} \frac{dZ}{dT} \left(\frac{\partial E}{\partial T} \right) dZ$$

Z ist oben = 0 resp. ∞ klein
folgt: die Wärmemenge ist ∞ klein zweite Ordng!

es sollte also bei der Längsdehng keine Wärme-Ändg erfolgen, sondern erst bei den nachfolgenden scheren den Kräften und zwar $-\frac{1}{T} dv_0 dp$! Berühmte!

Superposition wäre da also nicht gültig.

Die Arbeit der elastischen Kräfte bei der Compression ist oben auch ∞ klein zweite Ordnung und trotzdem soll eine Wärmemenge abgeführt werden, welche schon I Ordng ist?!

Weshalb dann können wir:

I Obige Formel (aus Lang pg. 971) ist falsch, denn:

Wirkheit die Längsdehnung beim Erweichen des Druckes von Z auf $Z+dZ$ ist:

$$q Z \cdot \frac{dZ}{E} = \frac{v_0 Z \cdot dZ}{E} \quad \text{das nach Clevegron's Formel}$$

$$\left(\frac{\partial Q}{\partial Z} \right)_T = \frac{T}{E} \left[\frac{\partial \left(\frac{v_0 Z}{E} \right)}{\partial T} \right]_Z = \frac{Z T}{E} \left[\frac{1}{E} \left(\frac{\partial v_0}{\partial T} \right)_Z - \frac{v_0}{E^2} \left(\frac{\partial E}{\partial T} \right)_Z \right]$$

$$= \frac{T Z}{E} v_0 \left[\alpha - \frac{1}{E} \left(\frac{\partial E}{\partial T} \right)_Z \right]$$

die erste Parte ist oben vorgelesen; allerdings ist er bei den meisten Stoffen bedeutend kleiner

als die zweite.

Aus dieser Formel folgt übrigens:

$$Q = \frac{Z^2}{2} \frac{T v_0}{E} \left[\alpha - \frac{1}{E} \left(\frac{\partial E}{\partial T} \right)_Z \right]$$

das immer ~~abkühlung~~ bei steigenden Druck oder Zug

$$= A \frac{T}{E} \left[\alpha - \frac{1}{E} \left(\frac{\partial E}{\partial T} \right)_Z \right]$$

(A = ^{gesamte} Arbeitsaufwand bei Dehnung)

II Der Torsion: (eines Zylinders)

Arbeit bei Erhöhung der tordierenden Kraft von S auf $S + dS$: \leftarrow ^{größen Verhältnis} (Winkel $\propto 2\pi$)

$$dA = S \cdot l \cdot 2\pi \frac{dS}{k_2} \frac{L}{R^4} = \frac{2 M L}{\pi k_2 R^4} dM \quad \text{wenn } Sl = \text{Moment} = M$$

$$\begin{aligned} \left(\frac{\partial Q}{\partial M} \right)_T &= \frac{T}{J} \frac{2M}{\pi} \left[\frac{\partial \frac{L}{k_2 R^4}}{\partial T} \right]_M = \frac{1}{L_2 R^4} \frac{\partial L}{\partial T} - \frac{L}{k_2^2 R^4} \frac{\partial k_2}{\partial T} - \frac{4L}{k_2 R^4} \frac{\partial R}{\partial T} \\ &= \frac{1}{L_2 R^4} \frac{\partial L}{\partial T} - \frac{L}{k_2^2 R^4} \frac{\partial k_2}{\partial T} - \frac{4L}{k_2 R^4} \frac{\partial R}{\partial T} \\ &= \frac{T}{J} \frac{2M}{\pi} \left[-\frac{L \alpha}{k_2 R^4} - \frac{L}{k_2^2 R^4} \frac{\partial k_2}{\partial T} \right] \\ &= \frac{T}{J} \frac{2M L}{\pi k_2 R^4} \left[-\alpha - \frac{1}{k_2} \left(\frac{\partial k_2}{\partial T} \right)_M \right] \end{aligned}$$

$$Q = M^2 \frac{T}{J} \frac{L}{\pi k_2 R^4} \left[\right] = A \frac{T}{J} \left[-\alpha - \frac{1}{k_2} \left(\frac{\partial k_2}{\partial T} \right)_M \right]$$

III Der Compression: (eines Kugels)

Arbeit der compressierenden Kraft von P auf $P + dP$: \leftarrow ^{größen}

$$dA = \frac{P}{k_1} dv_0 = P dv_0 = \frac{P}{k_1} v_0 \cdot dP = k_1 \left(\frac{P}{v_0} - 1 \right) dv_0$$

$$\left(\frac{\partial Q}{\partial P} \right)_T = \frac{T}{J} P \left[\frac{\partial \left(\frac{v_0}{k_1} \right)}{\partial T} \right]_P = \frac{T}{J} \frac{P v_0}{k_1} \left[\alpha - \frac{1}{k_1} \left(\frac{\partial k_1}{\partial T} \right)_P \right]$$

$Q = \frac{P^2}{2} \frac{T v_0}{J k_1} \left[\right] = A \frac{T}{J} \left[\alpha - \frac{1}{k_1} \left(\frac{\partial k_1}{\partial T} \right)_P \right]$ Damit wäre also doch die Wärmemenge von erster Ordnung, ebenso wie bei Längsdehnung; wenn man aber die erste Form nimmt und dort die Clausius'sche Satz anwendet, so kommt:

$$\left(\frac{\partial Q}{\partial P} \right)_T = -\frac{T}{J} \left(\frac{\partial v}{\partial T} \right)_P = -\frac{T}{J} v \alpha_P \quad \left| \quad Q = -\frac{T}{J} P v \alpha_P \right.$$

Wo liegt der Fehler?

Vielleicht weiß Pellen in der Taskend noch nicht eindeutig bestimmt?

Gebraucht man die dritte Form so kommt noch etwas anderes heraus!

Ad I: Δ ausgedrückt: $-dA = \rho Z dE$

$$l = l_0 + \frac{l_0 Z}{E}$$

27
53

$$\frac{\partial \Phi}{\partial Z} = + \frac{T}{J} \left(\frac{\partial l}{\partial T} \right)_{\rho Z}$$

$$\left(\frac{\partial l}{\partial T} \right)_Z = \frac{\alpha l}{3} - \frac{l Z}{E^2} \left(\frac{\partial E}{\partial T} \right)$$

$$\frac{\partial \Phi}{\partial Z} = + \frac{T}{J} \left[\frac{\alpha}{3} - \frac{Z}{E^2} \left(\frac{\partial E}{\partial T} \right) \right]$$

wenn Änderung von ρ vernachlässigt

man nimmt die Änderung von ρ mit berücksichtigt, wird: α nimmt in den
mit statt Z den Gesamtdruck B einfließt α nimmt in den
einfachen Ausdruck!

$$l = l_0 + \frac{l_0 B}{\rho_0 E}$$

~~$$dA = \rho_0 \frac{dl}{d\rho}$$~~

~~$$dA = \rho_0 \frac{dl}{d\rho}$$~~

~~$$\left(\frac{\partial \Phi}{\partial \rho} \right)_Z = - \frac{T}{J} \left[\frac{l_0 B}{\rho_0 E^2} \right]$$~~

~~$$= - \frac{T B}{J}$$~~

$$dA = \rho_0 dl = \frac{l_0}{\rho_0 E} \rho d\rho$$

$$\alpha' = \alpha + \frac{B}{\rho} \frac{d}{d\rho} \left(\frac{1}{E} - \frac{1}{E_0} \right) = \alpha + \frac{B}{\rho} \frac{\partial E}{\partial \rho} = \alpha - \frac{B}{\rho E^2} \frac{\partial E}{\partial \rho}$$

$$\left(\frac{\partial \Phi}{\partial \rho} \right) = + \frac{T}{J} \left(\frac{\partial l}{\partial T} \right)_B$$

$$\left(\frac{\partial l}{\partial T} \right)_B = l_0 \left[\frac{\alpha}{3} - \frac{B}{\rho E^2} \left(\frac{\partial E}{\partial T} \right) \right]$$

$$= + \frac{T}{J} l_0 \left[\frac{\alpha}{3} - \frac{B}{\rho E^2} \left(\frac{\partial E}{\partial T} \right) \right] \text{ also ebenso wie oben}$$

Ad II: Arbeit = Torsions-Moment \times Winkel

$$dA = - \Theta d\varphi$$

$$\varphi = \frac{\Theta}{k_2}$$

also natürlich bei + und - Kräfte
gleiche Verformung und zwar
Abkühlung!

$$\frac{\partial \Phi}{\partial \Theta} = + \frac{T}{J} \left(\frac{\partial \varphi}{\partial T} \right)_\Theta = + \frac{T}{J} \frac{\Theta}{k_2} \left(\frac{\partial k_2}{\partial T} \right)_\Theta$$

$$\varphi = \frac{\Theta}{2} \frac{T}{J} \frac{1}{k_2} \left(\frac{\partial k_2}{\partial T} \right)_\Theta = \frac{A T}{J} \frac{1}{k_2} \left(\frac{\partial k_2}{\partial T} \right)_\Theta$$

ebenso bei scherenden Kräfte
weil immer $\Delta \sigma = \text{Winkel}$

$$\text{Ad I: } \Phi = + \frac{T}{J} l_0 B \left[\frac{\alpha}{3} - \frac{B}{2 \rho E^2} \left(\frac{\partial E}{\partial T} \right) \right] = + \frac{T}{J} \left[\frac{l_0 B \alpha}{3} + \frac{A}{E} \left(\frac{\partial E}{\partial T} \right) \right]$$

also natürlich verschieden bei Druck und Zug; bei kleinen Drücken $\frac{\partial E}{\partial T}$, bei
Zug $\frac{\partial E}{\partial T}$, bei großen in beiden Fällen $\frac{\partial E}{\partial T}$ Abkühlung.

sollen die $\frac{\partial E}{\partial T}$ nicht verwechselt sein?

Ad III

$$\left(\frac{\partial \varphi}{\partial P}\right)_T = - \frac{T}{J} \left(\frac{\partial v}{\partial T}\right)_P \quad \left| \quad v = v_0 \left(1 - \frac{P}{k_1}\right) \right.$$

$$\frac{\partial v}{\partial T} = \underbrace{\frac{\partial v_0}{\partial T}}_{\alpha v_0} \left(1 - \frac{P}{k_1}\right) + v_0 \frac{P}{k_1^2} \frac{\partial k_1}{\partial T}$$

$$= - \frac{T}{J} v \left[\alpha + \frac{P}{k_1^2} \frac{\partial k_1}{\partial T} \right] \quad \text{das hat keinen Einfluss}$$

$$\varphi = - \frac{T}{J} \left[v \alpha P + \frac{A}{k_1} \frac{\partial k_1}{\partial T} \right] \quad \text{Erwärmung bei steigender Aktivität}$$

Für gewöhnlich wird das Minimum eintreten, ob auch Abkühlung stattfinden kann hängt von $\frac{\partial k_1}{\partial T}$ ab.

W. Minimum $0.00234 = \frac{P}{k_1} 0.131$

$$P = 0.017 k_1$$

$$= 570$$

$$k_1 = \frac{k_2 E}{3(k_2 - E)}$$

$$10250$$

$$- 2540$$

$$2510$$

$$7530$$

$$k_2 = 3350$$

$$1725$$

Sobald der Druck größer wird sollte

Abkühlung eintreten! allerdings wird dann $\frac{\partial k_1}{\partial T}$ schon ganz andere Werte haben.

Wir stellen uns vor, dass die Moleküle des Kugens durch anziehenden Kräfte F unterliegen, aber durch die lebendige Kraft der Wärmebewegung (und Selbst-Rotation) R ausgleichgehalten werden.

Also bei jedem Druck und Temperatur:

$$F(T, v) - K(T, v) - R(T, v) + D = 0$$

äußere Druck

+ Capillarkräfte? sind schon in F enthalten

v ist reinseits weder abhängig von T und D

F stellen wir uns vor nur abhängig von der Entfernung der Mole. also von v

$$\text{dann ist } \frac{\partial F}{\partial T} = 0 \quad \text{also} \quad \left(\frac{\partial K}{\partial T}\right)_v + \left(\frac{\partial R}{\partial T}\right)_v = 0$$

andererseits wenn T und D als unabhängige Variabel angenommen:

$$\left[\left(\frac{\partial F}{\partial T}\right)_v - \left(\frac{\partial K}{\partial T}\right)_v - \left(\frac{\partial R}{\partial T}\right)_v \right] dT + \left[\left(\frac{\partial F}{\partial D}\right)_v - \left(\frac{\partial K}{\partial D}\right)_v - \left(\frac{\partial R}{\partial D}\right)_v + 1 \right] dD = 0$$

$$\left(\frac{\partial F}{\partial T}\right)_D = \left(\frac{\partial K}{\partial T}\right)_D + \left(\frac{\partial R}{\partial T}\right)_D$$

29

54

$$\left(\frac{\partial F}{\partial D}\right)_T = \left(\frac{\partial K}{\partial D}\right)_T + \left(\frac{\partial R}{\partial D}\right)_T - 1 \quad \text{bei const. } T \text{ hange diese nur insoweit von } D \text{ ab, als sich}$$

diesem das v abhangt

$$\left(\frac{\partial F}{\partial v}\right)_T = \left(\frac{\partial K}{\partial v}\right)_T + \left(\frac{\partial R}{\partial v}\right)_T - \left(\frac{\partial D}{\partial v}\right)_T$$

obige Formel: $\left(\frac{\partial F}{\partial T}\right)_D$ hangt nur insoweit von T ab, als davon das v abhangt

$$\begin{aligned} \left(\frac{\partial F}{\partial v}\right)_D \left(\frac{\partial v}{\partial T}\right)_D &= \left(\frac{\partial K}{\partial T}\right)_D + \left(\frac{\partial R}{\partial T}\right)_D \\ &= \left[\left(\frac{\partial K}{\partial v}\right)_D + \left(\frac{\partial R}{\partial v}\right)_D \right] \left(\frac{\partial v}{\partial T}\right)_D + \left(\frac{\partial K}{\partial T}\right)_{v,D} + \left(\frac{\partial R}{\partial T}\right)_{v,D} \end{aligned}$$

$$\left(\frac{\partial F}{\partial v}\right)_D = \left(\frac{\partial K}{\partial v}\right)_D + \left(\frac{\partial R}{\partial v}\right)_D + \left[\left(\frac{\partial K}{\partial T}\right)_{v,D} + \left(\frac{\partial R}{\partial T}\right)_{v,D} \right] \left(\frac{\partial T}{\partial v}\right)_D$$

$$\lambda' = \lambda + \lambda$$

gemessen wird $f(\lambda) d\lambda$, daraus ergibt sich $f(\lambda) d\lambda = \frac{W}{\frac{d\lambda}{d\lambda}}$
 [mir dieses ist soweit. Stimmt es?] 31
55

Sein Emissionsspektrum ist der violette Teil sehr stark zusammengezogen, daher diese
 Drückigkeit ganz.

Nach obigen Formel wäre die rare Intensitätsverteilung zu nehmen.
 [Interessant in diesem Teil die Resultate
 Langley zu bearbeiten pag 230 !!!]

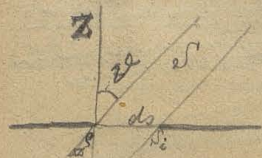
Ist Russ auch für Wärme der schwarzen Körper?

Ob die gewöhnliche Wärmestrahlungstheorie oder die Strahlung des Körpers von
 Licht zu Licht gar nicht berücksichtigt. Wird bei Gasen etc. viel wichtiger sein als
 Lösung.

~~Die Annahme Temperaturerhöhung zu konstantem x sec.~~

$$T = ax + b \quad \text{dann wird der Einfluss der Strahlung}$$

Wie modifizieren sich die Formeln unter Annahme, dass die Strahlung nicht von der
 Oberfläche sondern aus dem Innern erfolgt? Dabei teilweise Reflexion an der Oberfläche.
 Von welcher Intensität ist das unter einem bestimmten \angle ausgesandte Strahlung?



Strahlung ~~ist~~ ~~ist~~ innerhalb der Oberfläche

$$S_i = \iiint_V \epsilon e^{-\rho \alpha} dv$$

$$\rho = \frac{r}{\cos \theta}$$

$$dv = d\xi d\eta d\zeta$$

$$= \epsilon ds \int_0^\infty e^{-\rho \alpha} d\xi = \epsilon ds \int_0^\infty e^{-\frac{\xi \alpha}{\cos \theta}} d\xi = + \epsilon ds \frac{e^{-\frac{\xi \alpha}{\cos \theta}}}{-\frac{\alpha}{\cos \theta}} \Big|_0^\infty = \frac{\epsilon ds \cos \theta}{\alpha}$$

ϵ = wirkliches Emissions Vermögen eines Volumenelements

α = " Absorption "

$\frac{S_i}{2}$ ist // Einfallsebene polarisiert

also nach Fresnels Formel ist

$\frac{S_i}{2} \perp$ " "

parallel der Einfallsebene schwingend

$$I_p = \frac{1}{2} \text{Li} \left[\frac{2 \sin \theta \cos \theta'}{\sin(\theta + \theta') \cos(\theta - \theta')} \right]^2$$

$$I_s = \frac{1}{2} \text{Li} \left[\frac{2 \sin \theta \cos \theta'}{\sin(\theta + \theta')} \right]^2$$

$$\text{Verhältnis } \frac{I_s}{I_p} = \cos^2(\theta - \theta')$$

$$I = I_p + I_s = \frac{1}{2} \text{Li} \left[\frac{2 \sin \theta \cos \theta'}{\sin(\theta + \theta')} \right]^2 \left[1 + \frac{1}{\cos^2(\theta - \theta')} \right]$$

$$= 2 \text{Li} \frac{1 + \frac{1}{\cos^2(\theta - \theta')}}{\left(1 + \frac{\tan^2 \theta'}{\tan^2 \theta}\right)^2}$$

$$\cos^2 \theta \cos^2 \theta' = 1 - 2 \sin^2 \theta$$

das Cosinussatzes gilt nicht! (Lambert)

$$\text{Für } \theta = \theta' = 0$$

$$I = \frac{1}{2} \text{Li} \frac{1}{\left(1 + \frac{\tan^2 \theta'}{\tan^2 \theta}\right)^2} = \frac{4 \text{Li}}{\left(1 + \frac{\sin^2 \theta'}{\sin^2 \theta}\right)^2} = \frac{4 \text{Li}}{\left(1 + \frac{1}{n}\right)^2}$$

Siehe Winkelum ref. 751

$$I_p = \frac{1}{2} \text{Li} \frac{\sin 2\theta \sin 2\theta'}{\sin^2(\theta + \theta')}$$

$$I_s = \frac{1}{2} \text{Li} \frac{\sin 2\theta \sin 2\theta'}{\sin^2(\theta + \theta') \cos^2(\theta - \theta')}$$

$$\text{Verhältnis } \frac{I_s}{I_p} = \frac{\sin 2\theta \sin 2\theta'}{\sin^2(\theta + \theta') \cos^2(\theta - \theta')} \cdot \frac{\sin^2(\theta + \theta')}{\sin 2\theta \sin 2\theta'} = \frac{1}{\cos^2(\theta - \theta')}$$

$$\text{Verhältnis } \frac{I_p}{I_s} = \cos^2(\theta - \theta')$$

$$I = \frac{1}{2} (I_p + I_s)$$

$$\text{Für } \theta = \theta' = 0$$

$$I_p = I_s = \frac{1}{2} \text{Li} \frac{4n}{(1+n)^2}$$

$$I = \int \frac{4n}{(1+n)^2} = \frac{\varepsilon}{2} \frac{4n}{(1+n)^2} ds$$

Gesamte eingetragte Werte:

33

56

$$\Sigma = \int_{\theta=0}^{\frac{\pi}{2}} \int_{\phi=0}^{\frac{\pi}{2}} \frac{\varepsilon}{2\alpha} ds \cos \theta' \frac{\sin 2\theta \sin 2\theta'}{\sin^2(\theta+\theta')} \left[1 + \frac{1}{\cos(\theta-\theta')} \right] \sin \theta d\theta$$

$$= \frac{\pi \varepsilon ds}{\alpha} f(n)$$

$f(n)$ lässt sich auswerten durch Substit. $\cos \theta = x$
und zerlegt in Partialbrüche, Rationale usw. als
complicirter Ausdruck [polynomiale rationale $f(n)$, + Logarithmen
abstrahirt].

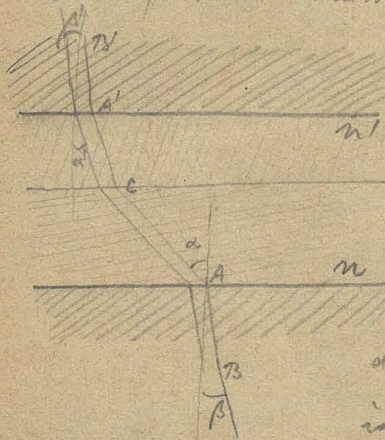
$$f(n) = f_n(n) + f_0(n)$$

$$f_n(n) = \frac{\frac{1}{2}[(n^2-1)^2 + \frac{3}{2}(n^2-1) + \frac{3}{8}] - [(n^2-1)^2 - \frac{n^2-1}{2} + \frac{13}{24}]n - [\frac{(n^2-1)^2}{2} - (n^2-1)\frac{3}{4} + \frac{5}{16}] \log \frac{n-1}{n+1}}{n(n^2-1)^2}$$

$$f_0(n) = \int_0^{\frac{\pi}{2}} \frac{\sin 2\theta \sin 2\theta' \cos \theta' \sin \theta d\theta}{[\sin(\theta+\theta') \cos(\theta-\theta')]^2} = \frac{n}{\pi} \int_0^{\frac{\pi}{2}} \frac{\sin 2\theta \sin^2 2\theta' d(2\theta)}{[\sin 2\theta + \sin 2\theta']^2}$$

$$= n \int_0^{\pi} \frac{\sin \phi \sin^2 \phi' d\phi}{[\sin \phi + \sin \phi']^2}$$

34 Wenn man von diesem Standpunkte aus den Satz von Clausius (pag. 19)
 über den Einfluss des Mediums auf die Größe der Strahlung betrachtet, stellt man sich



den Beweis des obigen Satzes setzt voraus:

1. Strahlung geht von der Oberfläche aus
2. Die Richtigkeit des Lambert'schen Cosinus Satzes

Nach unserer Auffassung sind diese Voraussetzungen verwerflich.
 Schon dadurch, plausibel, dass das umgebende Medium
 d. h. das des strahlenden Körpers fast vollständig hemisphärisch
 ist, aber außerdem noch Beweis:

~~Clausius~~ Der Grundgedanke des Beweises ist, dass die Winkel α, α' von denen die Strahlung
 (nach Lambert) abhängt, ungleich sind. Nach unserer Theorie hängt die innere Strahlung
 S_i nur vom α, β und β' ab, diese müssen aber gleich sein!

Lauter dem kommt der Einfluss der Schwächung durch Brechung an der Grenzfläche;
 dieser ist für den hin- und hergehenden Strahl gleich groß.

Die ~~inneren~~ inneren Strahlungen sind also gleich groß, also auch Emissionsvermögen.

Die äußeren Strahlungen S sind nur um den Factor (Schwächungskoeffizient)
 $f(n)$ verschieden, also v. d. bei senkrechter Incidenz

$$S : S' = f(n) : f(n') = \frac{4n}{(1+n)^2} : \frac{4n'}{(1+n')^2}$$

$$n = 1 + v$$

$$= \frac{4(1+v)}{(2+v)^2} : \frac{4(1+v')}{(2+v')^2}$$

$$= \frac{1}{1 + \frac{v^2}{4(1+v)}} : \frac{1}{1 + \frac{v'^2}{4(1+v')}} = 1 + \frac{v'^2}{4(1+v')} : 1 + \frac{v^2}{4(1+v)}$$

$$= 1 + \frac{v'^2}{4n'} : 1 + \frac{v^2}{4n}$$

$$S - S' : S = \frac{1}{4} \left(\frac{v^{12}}{n} - \frac{v^2}{n} \right) : 1 + \frac{v^{12}}{4n^2}$$

$$\frac{\Delta S}{S} = \frac{v^{12} - v^2 \left(\frac{n'}{n} \right)}{4n^2 + v^{12}} = \frac{v^{12} - v^2 \frac{n'}{n}}{(1+n')^2}$$

2. unterer
H₂SO₄, H₂O, Bismut

35

57

das viel geringeren Einfluss als bei Clausius' Gesetz. Im extremen Fall $n=1$
 $n'=3$

$$S : S' = \frac{1}{4} : \frac{3}{16} = 4 : 3$$

während nach Clausius = 1 : 9 respective 9 : 1 !

Hat der strahlende Körper an einer geschweiften Cu-Platte wirkt die Temp. des Cu? indirekte Entschädigung durch Verwandlung von Metallen mit sehr verschiedener Wärme leitungs Fähigkeit und mit sehr verschiedener Oberflächenbeschaffenheit (zink, gelobt etc.)

Als mathematische Theorie der Strahlung: [angenähert] Vorausgesetzt: Oberflächenstrahlung und Lambert'sches Gesetz

Ein strahlendes Flächenelement und ein Punkt (unendlich kleine Kugel); Entfernung r zwischen Flächennormale und Verbindungslinie = ϑ , dann empfängt der Punkt

eine Energiemenge proportional $ds \frac{\cos \vartheta}{r^2} = \omega$ = Gesichtswinkel unter welchem das Flächenelement gesehen wird.



also ebenso auch für eine endliche Oberfläche — ganz analog Potential einer magnetischen Schale, resp. eines ~~Stromes~~ Stromes welcher den Umkreis der Fläche umfließt.

Wenn jetzt statt des Punktes eine Fläche genommen wird so stellt man:

Strahlung einer Fläche auf eine zweite ist gegeben durch den Koeffizienten der wechselseitigen Induktion $\iint \frac{ds ds' \cos \vartheta}{r^2} \epsilon$ zweier Ströme, welche die Flächen umkreisen.

Kann nicht die Abstraktion einer Unschärfe darstellen würde, könnte man analog die ~~Volumen~~ Strahlung mit Potential zweier Volum-Regulate ~~zu~~ vergleichen; angewendet gilt dies bei kleinen Volum von Gasen etc. wenn noch keine bedeutende Abstr. Hat Literatur im Regulatorium etc. kein Analogon? Induktion?

36 Fortsetzung von pag 31

Berücksichtigung der Durchstrahlung bei der Wärmeleitung.

Lineares Temperaturgefälle;

dann ist die ~~infolge~~ durch einen Querschnitt bei der Betrachtung durchströmende

Wärme
Energie

$$F = -k \frac{dT}{dx}$$

k = Wärmeleitungs konstante



wie groß ist der Wärmefluss infolge Strahlung des in Entfernung x befindlichen (Querschnittes dx)?

$$\varphi = \epsilon_x dx e^{-\alpha x}$$

(nach Stefan)

$$\epsilon_x \approx \epsilon_0 = T_x^4 \cdot T_0^4$$

$$T_x = T_0 + \frac{\partial T}{\partial x} x + \frac{\partial^2 T}{\partial x^2} \frac{x^2}{2}$$

$$\epsilon_x = \epsilon_0 \left(\frac{T_x}{T_0} \right)^4 = \epsilon_0 \left[1 + \frac{1}{T_0} \frac{\partial T}{\partial x} x + \frac{1}{2} \left(\frac{\partial T}{\partial x} \right)^2 \frac{x^2}{T_0^2} \right]^4$$

$$\Phi_1 = \int_0^\infty \varphi dx$$

$$= \int_0^\infty \epsilon_0 \left[1 + \frac{4}{T_0} \frac{\partial T}{\partial x} x \right] e^{-\alpha x} dx = \epsilon_0 \int_0^\infty e^{-\alpha x} dx + \frac{4\epsilon_0}{T_0} \frac{\partial T}{\partial x} \int_0^\infty x e^{-\alpha x} dx$$

$$\int_0^\infty x e^{-\alpha x} dx = -\frac{x e^{-\alpha x}}{\alpha} + \frac{1}{\alpha} \int_0^\infty e^{-\alpha x} dx = \left[\epsilon_0 + 4 \frac{\epsilon_0}{T_0} \frac{\partial T}{\partial x} \frac{1}{\alpha} \right] \frac{1}{\alpha}$$

$$\int_0^\infty e^{-\alpha x} dx = -\frac{e^{-\alpha x}}{\alpha} \Big|_0^\infty = \frac{1}{\alpha} = \frac{\epsilon_0}{\alpha} \left[1 + \frac{4}{T_0} \frac{\partial T}{\partial x} \frac{1}{\alpha} \right]$$

$$\Phi_2 = \int_0^l$$

$$T = T_0 + \frac{T_l - T_0}{l} x \quad \frac{\partial T}{\partial x} = \frac{T_l - T_0}{l}$$

$$\Phi = \Phi_1 - \Phi_2 = 8 \frac{\epsilon_0}{\alpha^2} \frac{1}{T_0} \frac{T_l - T_0}{l} = 8 \frac{\epsilon_0}{\alpha} \frac{1}{T_0} \frac{T_l - T_0}{l}$$

anderes absolutes

$\frac{\epsilon_0}{\alpha} =$ (mit Vernachlässigung der Brechungs-Schwächung) ~~beständiges~~ ^{absolutes} Emissions Vermögen

$$= E_0$$

(?) falsch; siehe pag 46 u. 48

$\frac{E_0}{\alpha} =$ nach Kirchhoff's. Satz = Emissions Vermögen eines schwarzen Körpers = ϵ_0

somit $\Phi = \frac{2\epsilon_0}{T_0} \frac{T_0 - T_0}{l} = \frac{2\epsilon_0}{T_0} \frac{\partial T}{\partial x}$ [Dabei von Voraussetzung des Abstrakten Gg. 37
 α von den kleinen Temp. Unterschieden unabhängig ist.]

Somit ist der Einfluss der Durchstrahlung unabhängig von der Natur des Körpers!
 das Verhältnis der Durchstrahlung zur gesamten Wärmeleistung

$$\frac{\Phi}{F} = \frac{2\epsilon_0}{K} \frac{1}{T_0} \quad [\text{wenn die höheren Potenzen vernachlässigt werden}]$$

Die Wärme wird also auf zwei ebl. Arten innerhalb des Körpers fortgeleitet:

- 1). durch Übertragung der mechanischen Wärmebewegung; Koeffizient = φ
- 2). durch Durchstrahlung des Ätherbewegungs-Äbstrahs; " = φ

Der beobachtete Wärmeleitung, Koeffizient $K = \varphi + \varphi$

nach obigem ist: $\varphi = \frac{2\epsilon_0}{T_0}$

$$K = \frac{2\epsilon_0}{T_0} + \varphi$$

$$\epsilon_0 = c T_0^4 \quad (\text{nach Stefan})$$

$$K = 8c T_0^3 + \varphi$$

Der Einfluss sollte also bei gasförmigen oder Körpern viel stärker sein als bei solchen mit nicht
 wachsender Temp. steigen?

ab. Wuhl der Strahlung von 100°C gegen $0^\circ = 0.0167$ (Winkelbr. 21%)

$$\epsilon_{100} - \epsilon_0 = 0.0167$$

$$\frac{\epsilon_0}{273^4} (373^4 - 273^4) = 0.0167$$

$$\epsilon_{100} = \epsilon_0 \frac{373^4}{273^4}$$

$$\epsilon_0 = 273^4 \cdot 1.21 \cdot 10^{-12}$$

$$c = 1.21 \cdot 10^{-12}$$

$$\varphi = 8 \cdot 1.21 \cdot 10^{-2} \cdot 20 \cdot 10^6 = 1936 \cdot 10^{-6} = 0.000194$$

$$\frac{273^4}{546}$$

$$1911$$

$$819$$

$$74530$$

$$14906000$$

$$5217$$

$$224$$

$$20357000$$

das wäre also kleiner als bei festen Körpern aber Flüssigkeit aber
 größer als bei Gasen. Da die Dichtung der Luft sehr kommt allerdings.
 Diese Größe wegen der geringen Dichte der Luft ist nicht im Vergleich.
 Einfluss müsste sich zeigen am Unterschied der Werte von K je nach der Dichte der Luft.

508

$$\frac{df}{dx} = \frac{f(x+h) - f(x)}{h} = \frac{f(x+\frac{h}{2}) - f(x-\frac{h}{2})}{h}$$

$$\frac{d^2f}{dx^2} = \frac{f(x+h) - 2f(x) + f(x-h)}{h^2} = \frac{f(x+h) - 2f(x) + f(x-h)}{h^2} = (-1)^{\frac{1}{2}} \left[(1+\frac{1}{2})h + (\frac{1}{2})h^2 - \frac{1}{6}h^3 \right]$$

$$\frac{d^3f}{dx^3} = \frac{f(x+h) - 3f(x) + 3f(x-h) - f(x-h)}{h^3} = \frac{f(x+\frac{3h}{2}) - 3f(x+\frac{h}{2}) + 3f(x-\frac{h}{2}) - f(x-\frac{3h}{2})}{h^3}$$

$$\frac{d^{\frac{1}{2}}f}{dx^{\frac{1}{2}}} = \frac{I). f(x+\frac{h}{2}) - (\frac{1}{2})f(x-\frac{h}{2}) + (\frac{1}{2})f(x-\frac{3h}{2}) - (\frac{1}{2})f(x-\frac{5h}{2})}{h^{\frac{1}{2}}}$$

$$II). \frac{1}{h^{\frac{1}{2}}} f(x) - (\frac{1}{2})f(x+h) + (\frac{1}{2})f(x+2h) - (\frac{1}{2})f(x+3h) + \dots$$

10.

$$f = e^x$$

$$\frac{d^{\frac{1}{2}}f}{dx^{\frac{1}{2}}} = \frac{I). e^{x+\frac{h}{2}} - (\frac{1}{2})e^{x-\frac{h}{2}} + (\frac{1}{2})e^{x-\frac{3h}{2}}}{h^{\frac{1}{2}}} = \frac{e^x (e^{\frac{h}{2}} - (\frac{1}{2})e^{-\frac{h}{2}} + (\frac{1}{2})e^{-\frac{3h}{2}})}{h^{\frac{1}{2}}}$$

$$= e^x \frac{e^{\frac{h}{2}} - (\frac{1}{2})e^{-\frac{h}{2}} + (\frac{1}{2})e^{-\frac{3h}{2}}}{h^{\frac{1}{2}}} = e^x \frac{(e^{\frac{h}{2}} - 1)^{\frac{1}{2}}}{h^{\frac{1}{2}}}$$

$$= e^x \frac{(e^{\frac{h}{2}} - 1)^{\frac{1}{2}}}{h^{\frac{1}{2}}} = e^x \left(\frac{e^{\frac{h}{2}} - 1}{h} \right)^{\frac{1}{2}} = e^x \sqrt{\frac{x+h - \frac{h^2}{2} + \frac{h^3}{6} - x}{h}} = e^x$$

II).

$$= (-1)^{\frac{1}{2}} \frac{e^x - (\frac{1}{2})e^{x+h} + (\frac{1}{2})e^{x+2h} - (\frac{1}{2})e^{x+3h}}{h^{\frac{1}{2}}}$$

$$= (-1)^{\frac{1}{2}} e^x \frac{1 - (\frac{1}{2})e^h + (\frac{1}{2})e^{2h} - (\frac{1}{2})e^{3h}}{h^{\frac{1}{2}}} = (-1)^{\frac{1}{2}} e^x \left(\frac{1-e^h}{h} \right)^{\frac{1}{2}} = e^x$$

$$10. f = a^x$$

$$\frac{d^{\frac{1}{2}}f}{dx^{\frac{1}{2}}} = a^x \left(\frac{a^h - 1}{h} \right)^{\frac{1}{2}} = a^x (\log a)^{\frac{1}{2}}$$

$$e^x = \lim_{n \rightarrow \infty} \left(1 + \frac{x}{n} \right)^n$$

$$a^x = e^{x \log a} = \lim_{n \rightarrow \infty} \left(1 + \frac{x \log a}{n} \right)^n = 1 + x \log a + \frac{(x \log a)^2}{2} + \dots$$

$$D.f = x^m$$

29

59

$$D^{\frac{1}{2}} = \frac{(x + \frac{h}{2})^m - \binom{m}{1}(x + \frac{h}{2})^{m-1} + \binom{m}{2}(x + \frac{h}{2})^{m-2} - \binom{m}{3}(x + \frac{h}{2})^{m-3} + \dots}{h^{\frac{1}{2}}}$$

$$= x^m \frac{(1 + \frac{h}{2x})^m - \binom{m}{1}(1 + \frac{h}{2x})^{m-1} + \binom{m}{2}(1 - \frac{3}{2} \frac{h}{x})^{m-2} - \dots}{h^{\frac{1}{2}}}$$

$$= \frac{x^m}{h^{\frac{1}{2}}} \left[1 + \binom{m}{1} \frac{1}{2} \frac{h}{x} + \binom{m}{2} (\frac{1}{2} \frac{h}{x})^2 + \binom{m}{3} (\frac{1}{2} \frac{h}{x})^3 + \dots \right]$$

$$- \binom{m}{1} \left[1 - \binom{m}{1} \frac{1}{2} \frac{h}{x} + \binom{m}{2} (\frac{1}{2} \frac{h}{x})^2 - \dots \right]$$

$$+ \binom{m}{2} \left[1 - \binom{m}{1} \frac{3}{2} \frac{h}{x} + \binom{m}{2} (\frac{3}{2} \frac{h}{x})^2 - \dots \right]$$

$$+ \binom{m}{3} \left[\dots \right]$$

$$= \frac{x^m}{h^{\frac{1}{2}}} \left[1 - \binom{m}{1} + \binom{m}{2} - \binom{m}{3} + \dots \right]$$

$$+ \binom{m}{1} \frac{h}{x} \left[\frac{1}{2} + \binom{m}{1} \frac{1}{2} - \binom{m}{2} \frac{3}{2} + \binom{m}{3} \frac{5}{2} - \binom{m}{4} \frac{7}{2} + \dots \right]$$

$$+ \binom{m}{2} \frac{h^2}{x^2} \left[\frac{1}{2} - \binom{m}{1} \frac{1}{2} + \binom{m}{2} \frac{3}{2} - \binom{m}{3} \frac{5}{2} + \dots \right]$$

$$+ \binom{m}{3} \frac{h^3}{x^3} \left[\frac{1}{2} + \binom{m}{1} \frac{1}{2} - \binom{m}{2} \frac{3}{2} + \dots \right]$$

$$= ?$$

$$\binom{1}{1} = \frac{1}{1}$$

$$\binom{1}{2} = \frac{1}{2} \frac{(1-1)}{2} = -\frac{1}{8}$$

$$\binom{1}{3} = \frac{1}{2} \frac{(1-1)(1-2)}{2 \cdot 3} = \frac{1}{16}$$

$$\binom{1}{4} = \frac{1}{16} \cdot \frac{(1-3)}{4} = -\frac{5}{128}$$

$$20. f = x$$

$$D^{\frac{1}{2}}_x = \frac{x + \frac{h}{2} - \left(\frac{1}{1}\right)\left(x - \frac{h}{2}\right) + \left(\frac{1}{2}\right)\left(x - \frac{3h}{2}\right) - \left(\frac{1}{3}\right)\left(x - \frac{5h}{2}\right) - \dots}{\sqrt{h}}$$

$$= (-1)^{\frac{1}{2}} \frac{\left[x - \left(\frac{1}{1}\right)(x+h) + \left(\frac{1}{2}\right)(x+2h) - \left(\frac{1}{3}\right)(x+3h) + \dots \right]}{\sqrt{h}}$$

$$= (-1)^{\frac{1}{2}} \frac{x \left[1 - \left(\frac{1}{1}\right) + \left(\frac{1}{2}\right) - \left(\frac{1}{3}\right) + \dots \right] + h \left[\left(\frac{1}{1}\right) - \left(\frac{1}{2}\right) \cdot 2 + \left(\frac{1}{3}\right) \cdot 3 - \dots \right]}{\sqrt{h}}$$

$\underbrace{\left(1 - 1\right)^{\frac{1}{2}} = 0} \quad \sqrt{h}$

$$= 0?$$

$$\frac{d^{-1} f(x)}{dx^{-1}} = \int f(x) dx = h \left[f(x) + f(x+h) + f(x+2h) + \dots + f(x+nh) \right] \quad h = \frac{a}{n}$$

$(1-x)^{-1} = \frac{1}{1-x} = 1+x+x^2+x^3+\dots$

$$\frac{d^{-2} f(x)}{dx^{-2}} = \iint f(x) dx = h^2 \left[f(x) + 1 \cdot f(x+h) + 2 \cdot f(x+2h) + \dots + n \cdot f(x+nh) \right]$$

$$\frac{d^{-n} f(x)}{dx^{-n}} = \underbrace{\int \dots \int}_n f(x) dx = h^n \left[f(x) + 1^n f(x+h) + 2^n f(x+2h) + \dots + n^n f(x+nh) \right]$$

Summe der ersten Potenzen der natürlichen Zahlen.

I). $\begin{array}{cccccc} 1 & 2 & 3 & 4 & 5 & 6 \\ & 1 & 1 & 1 & 1 & 1 \end{array}$ arith. Reihe I. Ordg. mit Diff. 1 = 1!

II). $\begin{array}{cccccc} 1^2 & 2^2 & 3^2 & 4^2 & 5^2 \\ & 1 & 3 & 5 & 7 & 9 \\ & & 2 & 2 & 2 \end{array}$ arith. Reihe II $2 = 2!$

III). $\begin{array}{ccccccccc} 1^3 & 8 & 27 & 64 & 125 & 216 & 343 \\ & 7 & 19 & 37 & 61 & 91 & 127 \\ & & 12 & 18 & 24 & 30 & 36 \\ & & & 6 & 6 & 6 & 6 \end{array}$ III $6 = 3!$

IV. 1 16 81 256 625 1296 2401

15 65 175 369 621 1105

~~40~~ 50 110 194 302 434 590

12 36 60 84 108 132 156

24 24 24 24

41

60

5

24=4!

Summe zu anderen einer within. Reihe von Ordnung α , $\Delta = b$,
 Anfangsglieder sind b, α, β je δ 2

$$S_0 = (n+1)b$$

$$S_1 = \frac{n(n+1)}{2} b + (n+1)\alpha$$

$$S_2 = \frac{n(n+1)(n+2)}{1 \cdot 2 \cdot 3} b + \frac{n(n+1)}{1 \cdot 2} (\alpha - b) + (n+1)\beta$$

$$S_3 = \frac{n(n+1)(n+2)(n+3)}{1 \cdot 2 \cdot 3 \cdot 4} b + \frac{n(n+1)(n+2)}{1 \cdot 2 \cdot 3} (\alpha - 2b) + \frac{n(n+1)}{1 \cdot 2} (\beta - b) + (n+1)(\beta - b + \gamma)$$

42. Ist die Reibungs-Electricität nicht nur Thermoelectricität?

Versuche wären anzustellen über Reibungs-Electric. hauptsächlich von Metallen.

1. In welcher Weise hängt sie vom Druck, von der Fläche, von der Geschwindigkeit ab.

2. " " " " Oberflächenbeschaffenheit, Reibungscoefficient

3. Wird die Reibungs-Arbeit verrichtet? Dann entsteht die Electr. direct aus der mechanischen Arbeit.
Wenn nicht, so entsteht sie aus der Reibungswärme?

4. In welcher Weise hängt sie von der Temperatur, bei welcher die Versuch. vor sich geht, ab

5. " " " " Temperaturgefälle in den Körpern

6. " " " " Natur der Metalle.

7. Ist nicht die Reibungswärme eine Foucault'sche Wärme von sich aufhebenden Reibungsströmen?

[Gibt immer an unternchieden Potentialdifferenz und Stromstärke resp. Electr.-Menge.]

8. Wie schließt sich die Reibungswärme, wenn gleichzeitig electr. Energie geleistet wird? (Sd 3)

9. Zusammenhang mit Contactelectricität?

10. Thermoelectrische Wirkungen in ungeschlossenen Leitern!

11. Als - f. b. an die Berührungstelle erwärmen, dann trennen und Potential untersuchen!

Ebenso wie die Strahlung eines wärmeren gegen einen kälteren Körper, auch die Differenz der beiden absoluten Strahlungen ist, kann auch Wärmeleitung als Differenzerscheinung aufgefasst werden.

Dann wäre die absolute Wärmeleitung
$$= \int_0^T \kappa d\theta$$

Folgerung von pag. 37

43

61

Obige Beschreibung gilt nur für Platte von solcher Länge, dass die Strahlen fast vollständig absorbiert werden, also kann nicht mehr für die Enden der Platte gelten.

$$\begin{aligned}
 \Phi_2 &= \int_0^x \epsilon_0 \left[1 + \frac{4}{T_0} \frac{\partial T}{\partial x} x \right] e^{-\alpha x} dx = \\
 &= \epsilon_0 \left[1 + \frac{4}{\alpha T_0} \frac{\partial T}{\partial x} \right] \int_0^x e^{-\alpha x} dx - \frac{4 \epsilon_0}{T_0} \frac{\partial T}{\partial x} \frac{x e^{-\alpha x}}{\alpha} \Big|_0^x \\
 &= \epsilon_0 \left[1 + \frac{4}{\alpha T_0} \frac{\partial T}{\partial x} \right] \frac{e^{-\alpha x} - 1}{-\alpha} - \frac{4 \epsilon_0}{T_0} \frac{\partial T}{\partial x} \frac{x e^{-\alpha x}}{\alpha} \\
 &= \frac{\epsilon_0}{\alpha} \left\{ 1 - e^{-\alpha x} + \frac{4}{\alpha T_0} \frac{\partial T}{\partial x} (1 - e^{-\alpha x}) - \alpha x e^{-\alpha x} \right\} \\
 &= \frac{\epsilon_0}{\alpha} \left\{ 1 + \frac{4}{\alpha T_0} \frac{\partial T}{\partial x} - e^{-\alpha x} \left(1 + \frac{4}{\alpha T_0} \frac{\partial T}{\partial x} [1 - \alpha x] \right) \right\}
 \end{aligned}$$

Hervon von $-x$ bis in $-\infty$ ein weiterer Fleck mit den Constanten $\epsilon', \alpha', \frac{\partial T'}{\partial x}$ ist, so kommt noch dazu

$$\begin{aligned}
 &+ \int_{-x}^{-\infty} \epsilon'_0 \left[1 + \frac{4}{T'_0} \frac{\partial T'}{\partial x} x \right] e^{-\alpha' x} dx = + \frac{\epsilon'_0}{\alpha'} \left[1 + \frac{4}{T'_0} \frac{\partial T'}{\partial x} \right] \\
 &+ \int_{-\infty}^{\infty} \epsilon'_2 e^{-\alpha x - \alpha' z} dz = \epsilon'_0 \int_0^{\infty} \left(\frac{T_0}{T'_0} \right)^4 e^{-\alpha x - \alpha' z} dz \quad \left\| \begin{aligned} T_2 &= T_0 + \frac{\partial T}{\partial x} x + \frac{\partial T'}{\partial x} z \\ &= T'_0 \end{aligned} \right. \\
 &= \epsilon'_0 e^{-\alpha x} \int_0^{\infty} \left[1 + \frac{4}{T_0} \frac{\partial T}{\partial x} x + \frac{4}{T'_0} \frac{\partial T'}{\partial x} z \right] e^{-\alpha' z} dz = \frac{\epsilon'_0}{\alpha'} e^{-\alpha x} \left[1 + \frac{4}{T_0} \frac{\partial T}{\partial x} x + \frac{1}{\alpha'} \frac{4}{T'_0} \frac{\partial T'}{\partial x} \right]
 \end{aligned}$$

An Diskontinuitätsstelle selbst:

$$\Phi_1 - \Phi_2 = \frac{\epsilon_0}{\alpha} \left[1 + \frac{4}{T_0} \frac{\partial T}{\partial x} \frac{1}{\alpha} \right] - \frac{\epsilon'_0}{\alpha'} \left[1 - \frac{4}{T'_0} \frac{\partial T'}{\partial x} \frac{1}{\alpha'} \right]$$

99 Es scheint also dass eine lineare Temp. Verteilung nicht bis an die Flächen-
gehen kann; Abkühlung von Wärme an der Discontinuitätstelle?

Thermoelectricität? Was wenn $\frac{\partial T}{\partial x} = 0$? , daraus Ermittlung der Emissions-
und Absorptions-Constanten?

Auf Seite 31 vorausgesetzte Emissions- und Absorptions-Constanten setzt
voraus, dass in genügend dicken Schichten wirklich alle Strahlen-Arten
(auch das auffallende Licht) vollständig absorbiert werden — mit Ausnahme
der geringen Schwächung infolge der Brechung, welche doch nur geringe Farben-
unterschiede erzeugen könnte (auch vielleicht bei einwirkenden Dispersion?); es müssten
also genügend dicke Schichten im auffallenden und durchgehenden Licht
schwarz erscheinen. Solche Körper können nur sein: Flüssigkeiten (alle?),
welche ganz klar sind, Gase (alle?), von festen Körpern farbige Glasarten
(Kunstglas herstellen mit Porzengläsern!) obschon ^{Chlorophyll} ^{Myxophyta} ^{min}
(Kunstglas herstellen mit Porzengläsern!) obschon, ^{Chlorophyll} ^{Myxophyta} ^{min} ^{et} ^{Salze} (alle?)

Es fallen also weg: trübe Flüssigkeiten und „trübe Körper“. Dieser Ausdruck
passt sehr gut für die große Mehrzahl der farbigen Körper (Schwefel, Jod, Brom,
Metalloxyde), in Lösungen erster Art zu erzeugen durch feine suspendierte
Teilchen; der Unterschied ist in der Aggregation der seit langen bekannt
als Lösungsfarben und Deckfarben (Gouache-Farben). Physikalisch dadurch
Charakterisiert, dass ~~das~~ das Licht sich nicht nur geradlinig, sondern
auch teilweise seitwärts fortpflanzt, also eigentliche Strahlenbildung verbunden
ist; es findet dann in jedem Volumenelement sowohl Durchlassen und
Absorbieren auch ein „diffus reflektieren“ des Lichtes statt.

Der Unterschied besteht ~~off~~ kann beobachtet, sehr wichtig für Erklärung der 45
Körperfarben. Die Körper I kann man immer durchsichtig, die Körper II durch- 62
scheinend nennen.

(Selber, Dantropfen) meist?
Fein zertheilte Körper I (pulverisante Salze etc.) erscheinen in Luft als II, dagegen
in manchen Flüssigkeiten als I. (Druckexponent!)

In welcher Art gehören die Metalle? Abhängigkeit von der Lichtart?
I?

Vielleicht gibt dies ein Kriterium für I und II, dass bei letzteren der massive
Körper und des Pulver (der Strich) dasselbe Aussehen, also dieselben optisch-
Eigenschaften besitzen, dagegen ~~ist~~ veränderte bei I?

Germaach wäre also v. D. Rothsteinstein I
(Kryolithstein)

Nach Analogie sollte man erwarten, dass bei den Körpern II (für Wärme ^{Stück})
die Emission und Absorption von der Beschaffenheit der Oberfläche unabhängig
ist, im Gegensatz zu I. Experimente über Schwefel, Kreide, Graphit (3), Zinn, ^{zinnige}
farbige Erden etc.!! *) Kohle (Bismut) scheint zu I zu gehören.

Ebenso sollte man erwarten, dass I vom Medium abhängig - wenigstens
im pulverisirten Zustand, dagegen II unabhängig ist!

Die Körper II sind in Bezug auf Farbe von der Dichte ^{un}abhängig **)

Auffallig ist der Unterschied von I und II v. D. beim Übergang von Wachs aus
dem flüssigen in den festen Zustand

*) Fische Winkelmann pag. 177: Knollend fand, dass bei Elfenbein, Schell,
Marmor die Strahlung unabhängig ist von Oberflächen-Beschaffenheit gegen-
große Unterschiede bei Metallen

**) Winkelmann p. 177 Agnew fand die Wärmefarbe der von Platin und Platinmisch-
angesehene Strahlen (also I!) ~~sehr~~ verschieden.

Es ist also anzunehmen, dass bei den Körpern II auch das gewöhnliche Absorptionsgesetz $I = I_0 e^{-kx}$ wohl gilt; [siehe Kirchhoff p. 198 Absorption durch trübe Medien].

Übertragung des Kirchhoffschen Gesetzes von der Oberflächenstrahlung auf die Volum-Strahlung.

Aus der Formel auf pag. 34 folgt, dass zwei Körper, die einander gegenüberstehen oder aneinanderstoßen [für den Fall auch aus Formel pag. 43 unter, wenn $\frac{\partial T}{\partial x} = 0 = \frac{\partial T}{\partial x'}$] denn im ~~Volum~~ Strahlungs-Gleichgewicht sein werden, wenn $\frac{\epsilon}{2} = \frac{\epsilon'}{2}$ nur wenn $n = n'$ sonst siehe pag. 65 also genau wie bei Kirchhoff; aber nur für Körper I ist dies nach ^(ausleitet) bewiesen.
 Zu bemerken: dass ein Körper schwarz sein kann, ohne dass $\alpha = 1$ ist, wenn nur ^{oben} genügend dick. ~~Der~~ Beweis setzt aber (wegen \int) eine solche Dicke voraus; daher eigentlich selbstverständlicher „nervens probandi“: schwarze Körper gleicher Temperatur emittieren gleiche; daraus folgt dann mit Hilfe obiger Formel auch für dünne Schichten etc. des K. G.

Wie wird die Theorie für Körper II?

Rayleigh's Theorie trübe Medien scheint nicht recht anwendbar zu sein, weil ~~und~~ die kolonide Farbenverschiebung nach der Richtung noch nicht eingenommen wird [setzt sie nicht allzuweit große Abstände der störenden Theile im Vergleich zu deren Durchmesser voraus?]

Eine Hypothese wäre folgende:

Im Körper finden Reflexionen an Ebenen statt, welche gleichmäßig nach allen Richtungen vertheilt sind, also ^{Reflexion} Holzscheitelkeit wie in einem Kugel.

Die Rechnung würde dasselbe ergeben wie Streustrahlung nach Poincaré mit Kugel [siehe

pag. 9 weiter] nämlich gleichmäßige Verteilung nach allen Seiten.

Also könnte man dies auch so formulieren:

In einem Volumenelement wird von dem einfallenden ^{geradlinig} Lichte $i \, dx$ die Menge $i \alpha \, dx = \alpha \, dx$ absorbiert, die Menge $i \beta \, dx = \beta \, dx$ gleichförmig nach allen Seiten reflektiert; daher wäre $\beta \, dx$ das Verhältnis der Summe der unttl. Querschnitte der Störungskörper im Vol. element zur Seitenfläche desselben.

[Analog wie Durchdringung der unttl. Hohlkugel]. Das übrige Licht wird durchgelassen. Bei hinreichender Dichte wird das ganze Licht durch die Störungskörper aufgefangen sein, dann wird nach allen Richtungen gleiche Helligkeit herrschen.

[Z.B. ~~Silbergl.~~ Porzellanbühl über der Lampe lässt keine Flamme sehen, sondern sendet aus allen Teilen gleichmäßig Licht aus.]

Beim Fortschreiten der Strahlen im Medium wird das deren Intensität in jedem Vol.-El. um $i(\alpha + \beta) \, dx$ geschwächt, davor treten aber $i\beta \, dx$ an der dort herrschenden allseitig gleichen d. i. richtungslosen Helligkeit dazu.

10.

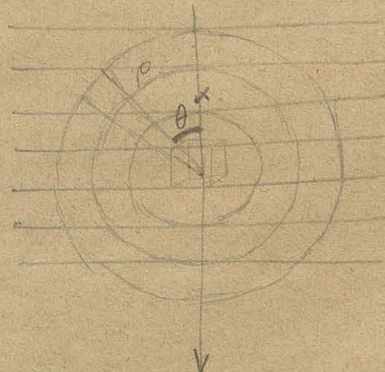
↓ Richtung der einfallenden Strahlen

Intensität I

$$I(1 - (\beta + \alpha) \, dx)$$

$$I(1 - (\beta + \alpha) \, dx)^2$$

$$\frac{1}{2} I \beta \, dx$$



$$-dI = I(\beta + \alpha) \, dx$$

$$I' = \int_0^x e^{-(\beta + \alpha) \, x} \, dx$$

$$d\theta \frac{H}{\theta} = \int_{x=0}^x H_{\theta} \, d\theta \, dx \, e^{-(\alpha + \beta) \, x} +$$

Anteil von der direkt. Helligkeit.

$$+ \int_{x=0}^x x \, d\theta \, dx \, I \beta \, dx \, e^{-(\alpha + \beta) \, x}$$

$x=0$

$$\frac{\partial H_0}{\partial x} = \cancel{\frac{x}{\omega \theta}} \frac{dr}{dx} e^{-(\alpha+\beta)x} [H_0 + \int_x \beta] \\ = \frac{x}{\omega \theta} e^{-\frac{\alpha+\beta}{\omega \theta} x} [H_0 + \int_0 e^{-(\alpha+\beta)x} \beta]$$

$$H = e^{-(c+2)x}$$

Wenn $S_0 = 0$:

$$\frac{\partial H}{\partial x} = -2(c+2) e^{-(c+2)x}$$

$$\text{by } H_0 = \int \frac{x}{\omega \theta} e^{-\frac{\alpha+\beta}{\omega \theta} x} dx$$

$$= \frac{1}{\omega \theta} \left[x + \frac{\omega \theta}{\alpha+\beta} \right] e^{-\frac{\alpha+\beta}{\omega \theta} x} \frac{\omega \theta}{\alpha+\beta}$$

$$H_0 = e$$

Correction von pag. 26:

Emission von einem schwarzen Körper = ϵ_0

$$\Phi = \epsilon_0 \frac{1}{\alpha} \frac{T_2 - T_0}{l} = -\epsilon_0 \frac{1}{\alpha} \frac{1}{T_0} \frac{\partial T}{\partial x}$$

also desto größer, je kleiner α ist

Fortsetzung von pag. 23:

$$\Phi_1 - \Phi_2 = \frac{\epsilon_0}{\alpha} \left[1 + \frac{1}{T_0} \frac{\partial T}{\partial x} \frac{1}{\alpha} \right] - \frac{\epsilon_0'}{\alpha'} \left[1 + \frac{1}{T_0'} \frac{\partial T'}{\partial x} \frac{1}{\alpha'} \right] \\ = \epsilon_0 \frac{1}{T_0} \left[\frac{1}{\alpha} \frac{\partial T}{\partial x} - \frac{1}{\alpha'} \frac{\partial T'}{\partial x} \right]$$

Das gilt auch, wenn Zwischenschichten zwischen den zwei Flächen so klein sind, dass...

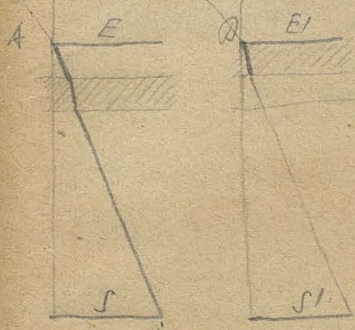
wenn dann $\frac{\partial T'}{\partial x} = 0$ so folgt Ausstrahlung eines Plattes mit linearem Temperaturabfall

gegen eine Endfläche gegen Körper von derselben Temperatur: $\frac{\epsilon_0}{\alpha} \frac{1}{T_0} \frac{\partial T}{\partial x}$

Fortsetzung von pag 34.

51 50
64

Die ganze Versuchsanordnung von Quintus Taurus ist verfehlt; [abgesehen davon, dass bei der geringen Brechungs-expon. die Gese keine genaueren Resultate zu erwarten sind und auch theoretisch mit Berechnung nicht übereinstimmen]



Angenommen d. Vergleichung von Wasser mit Luft.

Im Falle A erhält die scharfe Fläche S von Aa einen Flächenelement von E ein größeres Strahlenbündel als im Falle B

$$Q = \int_0^i 2\pi \sin \varphi \, d\varphi \cos \varphi = \frac{\pi S}{2} \int_0^i \sin 2\varphi \, d\varphi = -\frac{\pi S}{2} (\cos 2i - 1) = \frac{\pi S}{2} (1 - \cos 2i) = \pi S \sin^2 i$$

$$Q' = \pi S' \sin^2 i'$$

$$Q' : Q = S' \sin^2 i' : S \sin^2 i = 1 \quad \text{wobei eben } S : S' = \sin^2 i' : \sin^2 i$$

Also sollte eben nach Fresnel's Gesetz keine Verschiedenheit eintreten!!

Nach meiner Theorie aber auch nicht, weil in beiden Fällen der Öffnungswinkel des Strahles im Körper derselbe ist!

Es bleibt nur Entscheidung nur eine solche Versuchsanordnung übrig in welcher der ganze Raum einmal mit dem Medium 1 dann mit 2 erfüllt ist (dieserdinges durch eine Platten bewirken aber keine merkliche Änderung.)

Übrigens ist auch die Interpretation der Versuche falsch; das Clausius'sche Gesetz bezieht sich auf die Gesamtstrahlung des bei

Temp	T_0	T_{100}	
$n^2 S \dots S'$			also würde bei gleicher Versuchsanordnung nicht die Größe
$= c n^2 T_0^4 \dots c T_0^4$		$c n^2 T_{100}^4 \dots c T_{100}^4$	

Osevol 1'0017

Chlorkohlenst. 1'00178

CS₂ 1'0015

H₂P 1'0008

C₅H₁₂ 1'0017

H₂J 1'0009

C₂H₄ 1'0007

$$\# n^2 (S_{100} - S_0) \text{ sondern } c^2 T_{100} - c T_0 =$$

$$= n^2 (S_{100} - S_0) + (n^2 - 1) S_0 \text{ gemischt!!}$$

270, 173

$$S T_0^2 = 5.553,000.000$$

$$T_{100}^2 - T_0^2 = 4,100 T_0^3 + 6,100 T_0^4 + 4,100 T_0^5 + 500$$

345, 200

$$= 8046,000.000$$

1, 0, 0

$$+ 4,470,000.000$$

5, 2, 2

$$109, 2, 000.000$$

2, 2

$$1, 0, 0$$

30, 34, 40

$$13,708,000.000$$

1, 0, 0

1, 0, 0

1, 0, 0

1, 0, 0

1, 0, 0

1, 0, 0

1, 0, 0

1, 0, 0

1, 0, 0

1, 0, 0

1, 0, 0

1, 0, 0

1, 0, 0

1, 0, 0

1, 0, 0

1, 0, 0

1, 0, 0

1, 0, 0

1, 0, 0

1, 0, 0

1, 0, 0

1, 0, 0

1, 0, 0

1, 0, 0

1, 0, 0

1, 0, 0

1, 0, 0

1, 0, 0

1, 0, 0

1, 0, 0

1, 0, 0

das ist hier der Unter-
null so groß

Die Methode der Wärmestrombestimmung von Forbes etc. ist folgendermaßen zu verbessern:

1. Theoretisch: Strahlung wächst proportional der Temp. Differenz, von dem Stefan Gesetz.
2. Bei Vervollkommen des Stabes bleibt die Temperatur der Stäbe unbekannt. Stefan Gesetz gilt (abwärtens mit Sicherheit) nur für schwarze Körper, daher ist der Stab zu bemessen.

Anwendung des Doppler'schen Prinzipes auf die Strahlung:

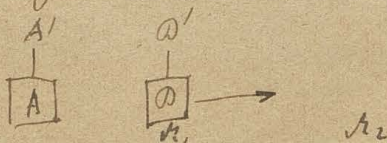
~~Zu~~ Geht die Strahlung ~~von~~ von der Bewegung der Moleküle als solche oder der Bewegung im Medium aus? Hysterese bei letztem? oder beides? ^{letzten}
Zu ~~letzten~~ Falle bei Gasen: Erscheinung, die sich vortrefflich nach Maxwell, jedes Molec. ist in Bewegung, macht ~~von~~ einen Wärmestrom in Strahlung, dann muss trotzdem die Strahlung sich auf alle Wellenlängen erstrecken und zwar ebenfalls nach Maxwell $c^2 T^2$, ~~Strahlung~~ nur von der Dichte her bemerkbar, also gewisse Oerter der Linien.

Wir denken uns folgenden umkehrbaren Kreisprozess:

2 Körper A und B, vollkommen schwarz, mit 2 anderen A' und B', vollkommen strahlungslos, (als Wärme Reservoirs) so verbunden dass sie von denen (durch Leitung etc.) Wärme aufnehmen, oder ihnen abgeben können.

A sei fix

B von derselben Temp., beweglich



Nun werde B mit der Lichtgeschwindigkeit von x_1 nach x_2 gebracht.

Während der Bewegung: 1). Wird ohne Temperaturveränderung der Vorder- und Hinterrfläche von B einstrahlung, welche von ~~der~~ ^{der} ~~seiner~~ ^{seiner} Wellen allein (ohne A) herrscht? Wird abhängen vom Corrections-Coeff. des Äthers; jedenfalls können wir sie vernachlässigen, wenn wir B als so dünne Platte gedacht wird, wegen der Leitung.

2). Die Emission dauert bei B ungestört fort, dagegen keine Absorption der Strahlen von A

10). ~~Wird~~ Hier müsste der Einfluss der Umgebung in Betracht gezogen werden; davon können wir uns frei machen, wenn wir uns nur die einander zugewandten Flächen von A und B (unendlich) strekend denken, das übrige vernachlässigen.

Während der Bewegung von B wird A abgekühlt (ebenso B) und zwar um

$$Q_1 = \tau c \int_{\lambda=0}^{\infty} f(\theta_1, \lambda) d\lambda \quad \text{wird aber durch den Einfluss dieser Wärmemenge aus A' auf gleicher Temp. } \theta_1 \text{ erhalten; ebenso B}$$

Nun werde B durch Einfluss der Wärmemengen Q_2 ~~fest~~ ^{fest} ~~sein~~ ^{sein} ~~den~~ ^{den} mit Temp.

(10). durch mechanische Arbeit) auf die Temp. θ_2 gebracht, und B wieder an A herangebracht

dabei Gewinn an Wärme $Q_3 = \tau c \int_{\lambda=0}^{\infty} f(\theta_2, \lambda) d\lambda$; nun wieder Temp. erniedrigung durch

Wegnahme der Wärme $Q_4 = Q_1$ auf θ_1 ; daraus würde folgen $f(\theta_1) = f(\theta_2)$?

Was ist falsch?

Kinetische Energie einer Wellenbewegung Wellenlänge



55

$$E = c \int_0^\lambda a^2 \cos^2 2\pi \left(\frac{t}{\tau} - \frac{x}{\lambda} \right) dx$$

$$= \int_0^\lambda c a^2 \frac{4\pi^2}{\tau^2} \cos^2 2\pi \left(\frac{t}{\tau} - \frac{x}{\lambda} \right) dx$$

$$= c a^2 \frac{4\pi^2}{\tau^2} \int_0^\lambda \frac{1 + \cos 4\pi \left(\frac{t}{\tau} - \frac{x}{\lambda} \right)}{2} dx$$

$$= \left[\frac{\lambda}{2} - \frac{\lambda \sin 4\pi \left(\frac{t}{\tau} - \frac{x}{\lambda} \right)}{8\pi} \right]_0^\lambda = \frac{\lambda}{2}$$

$$= c a^2 \frac{2\pi^2}{\tau^2} \lambda$$

$$\frac{\lambda}{\tau} = v \quad \tau = \frac{\lambda}{v}$$

$$= c a^2 2\pi^2 \frac{v^2}{\lambda}$$

Sei nun kinetische Energie einer Strecke Wellenbewegung oder eines Punktes $\propto \frac{a^2}{\tau^2} = \frac{v^2}{\lambda^2}$

Wenn sich der Körper mit Geschwindigkeit u bewegt, so werden nach Doppler die Wellenlängen vergrößert in $\lambda' = \frac{\lambda}{1 - \frac{u}{v}}$ (und τ verkleinert)

$$\lambda' = \frac{\lambda}{1 - \frac{u}{v}}$$

also kin. Energie erhöhen

$$E' = \propto \frac{v^2}{\lambda'^2} \left(1 - \frac{u}{v} \right)^2$$

Wenn er sich mit derselben Geschwindigkeit herankommt, so entsteht $E'' \propto \frac{v^2}{\lambda'^2} \left(1 + \frac{u}{v} \right)^2$

$E' + E''$ ist aber nicht $2E$ wie man erwarten würde !!! [Der Longitudinalwellen wäre die Segmentstirn falsch, weil ~~noch~~ die Änderung der Geschwindigkeit, schon bei 2. ordn. und 3. ordn. kommt, aber bei Transversalwellen entfällt keine Komponente in die Richtung! Noch zu untersuchen!]

$$\underbrace{E' + E''}_{\Delta E} - 2E = \propto 2 \frac{v^2}{\lambda^2} \frac{u^2}{v^2} \text{ also so, als ob umkehrbare Wellenbewegung mit Geschwindigkeit } u \text{ bestanden hätte!}$$

$$\frac{\Delta E}{E} = \frac{u^2}{v^2} \text{ unabhängig von } \lambda$$

66

Wenn also A Transverschellen aussendet, und ein dieselben beobachtender Körper B eine schwingende Bewegung mit der Geschwindigkeit u in der Richtung A ausführt, so verbraucht er dazu eine Energiemenge E , so dass

$$E : E = u^2 : v^2$$

umgekehrt wird auch die Bewegung von B eine Wellenbewegung hervorrufen, welche A affiziert.

Reziprocität. Wie verhält B eine harmonische Schwingung? Löst sich nicht ein umgekehrter Schluss ziehen auf Wellenbew. u. -

Fortsetzung von pag. 30

Wirkliche Intensität $I = \frac{W}{\frac{d\omega}{dx}}$

W = gefunden (durch Polometer etc.)

$\frac{d\omega}{dx} = \omega \cdot \frac{1}{v} \cdot \frac{dv}{dx}$ = Krümmungswert des Brechungs Index Curve auf λ bezogen.

Tabelle für Strasseln

$\frac{d\omega}{dx}$	find =	$0.009 : 0.104 = 0.087$
0.5μ		
1μ		$0.0016 : 0.129 = 0.0123$
2μ		$0.0013 : 0.527 = 0.00248$
3μ		$0.0008 : 0.251 = 0.0032$
4μ		$0.0009 : 0.46 =$

Nun noch Formel von Kittler $n^2 = a^2 + \frac{M_1}{\lambda^2 - \lambda_1^2} - k \cdot \lambda^2$

$$k = 0.000858$$

$$a^2 = 2.3288$$

$$M_1 = 0.018496$$

$$\lambda_1^2 = 0.01621$$

$$\frac{dn}{d\lambda}$$

$$\frac{dn}{d\lambda} = \frac{2 M_1 \lambda}{(\lambda^2 - \lambda_1^2)^2} - 2k \lambda$$

$$\frac{dn}{d\lambda} = \left[\frac{-M_1}{(\lambda^2 - \lambda_1^2)^2} - \frac{k}{\lambda} \right] \frac{\lambda}{n}$$

$$= \left[\frac{n^2 a^2 + k \lambda^2}{\lambda^2 \lambda_1^2} + k \right] \frac{\lambda}{a}$$

$$\frac{dn}{dx} = \frac{n^2 - 2}{2x} - \frac{1}{2} \frac{dn}{dx} - \frac{2x}{n^2 - 1} + \frac{kx}{(x)^2 - 1} n$$

0.5	0.2338	0.36884-1	0.7377-2	0.5294-1	0.0001858 338.4
1	0.9838	0.99291-1	0.9858-1	0.2813-2	19.11
2	3.9838	0.60032	1.2006	0.0665-3	1.465
3	8.984	0.95347	1.9069	0.3602-4	0.2292
4	15.984	1.20357	2.4071	0.8600-5	0.07245
5	24.984	1.39759	2.7952	0.4719-5	0.02964
6	35.984	1.55606	3.1121	0.1550-5	0.01429

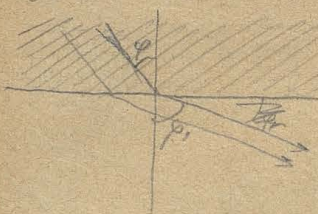
$\frac{dn}{dx}$	n	x
0.000		
39.26	1.5518	0.5
19.97	5318	1
20.23	5266	2
10.87	5240	3
0.930	5211	4
0.888	5189	5
0.872	5155	6
	5117	7
	5072	8
	5030	9

Dolometer - Ausschlag ist abhängig von Lösungs-fähigkeit des ungelösten Niederschlags; bestimmt zur Bestimmung des selben iD. für die Geol.

Strecklänge des Dolometer | Absolute Strahlungsmessungen!

Medien mit kontinuierlich variablen Brechungs Index, Emissions- und absorptions Vermögen; Übergangsdichten;
Wird die Licht Intensität geschwächt und wie?

Ad Clausius' Seite:



Gesamnte Ausstrahlung nach meiner Formel:

$$S' = 2\pi \int_0^{\varphi_m} \frac{\varepsilon}{\alpha} \cos \varphi \sin \varphi d\varphi \quad (\text{ohne Berücksichtigung der Drehungs-Schwächung})$$

dabei φ_m = Winkel der totalen Reflexion

$$n \sin \varphi_m = 1$$

$$S' = \frac{2\pi \varepsilon}{\alpha} \int_0^{\varphi_m} \sin \varphi d\varphi = +\frac{1}{2} \frac{2\pi \varepsilon}{\alpha} (1 - \cos 2\varphi_m) = \sin^2 \varphi_m = \frac{1}{n^2} \frac{2\pi \varepsilon}{\alpha}$$

Also würde das Verhältnis n^2 wohl für die gesamte Ausstrahlung gelten, nicht aber für die Strahlung in eine Richtung? Ob's ist!

Die Breite der unter dem Winkel φ bis φ' einströmenden Strahlen ist:
(mit derselben Verknüpfung)

$$Q_\varphi = \frac{\varepsilon}{\alpha} \frac{\cos \varphi \sin \varphi d\varphi}{\sin \varphi' d\varphi'}$$

$$\sin \varphi : \sin \varphi' = 1 : n$$

$$n \sin \varphi = \sin \varphi'$$

$$n \cos \varphi d\varphi = \cos \varphi' d\varphi'$$

$$= \frac{\varepsilon}{\alpha} \cos \varphi \frac{\cos \varphi'}{\cos \varphi} \frac{1}{n^2} = \frac{\varepsilon}{\alpha} \frac{\cos \varphi'}{n^2}$$

$$\frac{\sin \varphi d\varphi}{\sin \varphi' d\varphi'} = \frac{\cos \varphi'}{\cos \varphi} \frac{1}{n^2}$$

Somit Lamberts Seite und Clausius' Seite Recht! (unter besagter Verknüpfung)

Gesamnte Strahlungs Energie in einem ^{Raum-}Elemente

$$E = \int_0^{2\pi} \int_0^{2\pi} S \sin \varphi d\varphi d\theta \cdot d\tau = \text{Energie des d\tau} = \iiint \text{div} S ?$$

Bei $\theta=0$ Gegen der Strahlungs-Ström durch eine Fläche des ^{Platten}
(unendlich dünne Platte)

$$F = d\sigma \int S \cos \varphi \sin \varphi d\varphi d\theta$$

60 [Im Folgenden bedeutet in der relat. Brechungs-Exp. n] ²¹

Die Gesamt-Ausstrahlung eines Flächenstückes kann natürlich noch größer werden als $\frac{n^2}{2} dA$; dies ist der Wert wenn das Medium einen größeren Brechungs-Index hat als der strahlende Körper; dann wird aber der Strahlungskegel auf einen kleineren Körperwinkel zusammengepresst so dass die Wirkung auf ein Flächenstück im Medium (n^2) mal ist. Daraus folgt natürlich, dass unter kleinerem Winkel als jenen der totalen Reflexion überhaupt nicht angestrahlt wird!!! Veranock!

Hat das Medium einen geringeren Brechungs-Expon. als der Körper, so ist seine Gesamt-Ausstrahlung nur $(\frac{1}{n^2})$ der natürlichen; das übrige wird ins Innere total reflektiert. Die Wirkung auf Flächenstück ebenfalls $(\frac{1}{n^2})$. Die Verteilung des Energie-Überschusses nur scheinbar. ⁶⁵ _{jetzt}

Es gibt zwei Auffassungsarten:

1). Körper in Volumenelemente theilen; mit die Seitenflächen jeder Vol.-Elementes nach dem Cosinusgesetz strahlend und als voneinander denken daher Intensität = Strahlungsstärke \times Winkel dichtekeit

2). Das Volumen selbst strahlend und emitt. denken; daher bloß Strahlungsstärke

Ad 1). ~~Den~~ ^{Jeden} Randpunkt ~~als~~ ^{als} Erregungs-Centrum ansehen und die Wellenfläche betrachten, welche ^{durch} den Aufpunkt geht; auf dieser die Flächen dichtekeit der Energie berechnen { 2). ohne Rücksicht auf Absorption

3). multipliziert mit dem Absorptionsfactor $[= \frac{1}{e^{\int \kappa ds}}]$

Dann ist Gesamt-Energie auf der Wellenfläche $= \iint \epsilon ds$ [eigentliche Abhandlung der Wellen]

51
69

Oder richtiger: 2 Wellenflächen (event. abweichende) um die zwischen ihnen befindliche Kammoberfläche der Energie berechnen; dann ist Gesamt-Energie ~~ist~~ in dem Kamm zwischen den Flächen $= \iiint \rho \, d\tau$ oder wenn der Abstand derselben ∞ klein, so kann man sich diese leicht auch auf der Fläche ausgedehnt denken; wird eine Dichte δ ergeben, welche anders sein wird als ρ (wegen variabler Abstandes der Wellenflächen).

[Ein weiterer Schritt wäre: Durchbestimmung der Zeit]

Dies wird die Betrachtung vereinfachen:

Strecke eine im Kamm fixierte Wellenfläche geht in einem Zeitintervall Δt eine gewisse Energiemenge durch; ~~so, dass diese~~ diese auf Flächeneinheit bezogen $= \delta$; dann ~~ist~~ $\iiint \rho \, d\tau \, dt$ gleich der Arbeit, welche der Körper durch Ausstrahlung in dem Zeitraume $(t_1 - t_0) - (t_2 - t_1)$ geleistet hat. [Dabei t_0 = Zeit dauer vom Punkt einem Aufpunkt]. Diese ist selbstverständlich gleich dem entsprechenden

$\iiint \rho \, d\tau$ zwischen den entsprechenden Wellenflächen.

Dimensionen Energie = Arbeit = Kraft \times Weg = Effect \times Zeit $= l^2 \text{ in } t^{-2}$

$\text{Dim } \rho = l^0 \text{ in } t^{-3}$; $\text{Dim } \rho = l^{-1} \text{ in } t^{-2}$; $\text{Dim } \delta = l^0 \text{ in } t^{-2}$

$\frac{\text{Dim } \rho}{\text{Dim } \delta} = \frac{l}{t}$ (^{Fortpflanzungs} ~~geschwindigkeit~~).

Daraus geht schon hervor, dass es am besten ist mit δ zu rechnen, da dies unabhängig ist von der Fortpflanzungsgeschwindigkeit.

Den Strahlungs Punkt man sich in jetzt durch ein Strahlungs-Volumen und

gleichzeitig besetzen wir die Energie (oder Arbeit) auf Volumenelement des strahlenden Körpers; somit

$$\text{Dim}(\rho) = l^{-3} \text{ in } t^{-3}; \quad \text{Dim}(\rho) = l^{-4} \text{ in } t^{-2}.$$

Die im Auf-Volumen absorbierte Energie wird dann sein: ~~$\rho \cdot dV \cdot dt$~~

$$\alpha \cdot \rho \cdot dV \cdot dt \quad \text{dabei} \quad dV \cdot dt = dV \cdot \frac{dt}{dt} = dV$$

$$\text{oder} = \alpha \cdot \rho \cdot dV \quad \text{Dim} = l^{-1} \text{ in } t^{-2}$$

~~Durch eine von der Fläche dx entfernte Fläche geht mehr oder weniger $\rho \cdot dx$ durch, daher geht ein bestimmter Teil der Energie dV~~

Durch die Fläche 1 geht in der Zeit $(t_2 - t_1)$ die Energiemenge

$$\int_{t_1}^{t_2} \int \rho \, dt \, dV \quad \text{in rf; durch die von } dx \text{ entfernte Fläche wurde}$$

$$= (t_2 - t_1) \int \rho \, dV \quad \text{Nun}$$

$$\int_{t_1}^{t_2} \int \rho' \, dt \, dV' \quad \text{also geht} \quad \int_{t_1}^{t_2} \int (\rho' \, dV' - \rho \, dV) \, dt$$

$$= (t_2 - t_1) \int (\rho' \, dV' - \rho \, dV)$$

durch Absorption in dem Volumen $\int dV \, dx$ verloren

~~Wenn~~ Wenn keine starke Krümmung, so kann man $dV' = dV$ setzen

[Eigentlich sind dV und dV' die Querschnitte einer Strahlungs-Röhre]

$$\rho' = \rho - \frac{\partial \rho}{\partial x} dx$$

$$\text{Dann ist der Absorptions-Koeffizient} \quad \alpha = \frac{(t_2 - t_1) \int \frac{\partial \rho}{\partial x} dV}{\int \rho \, dV} = \frac{1}{\rho} \frac{d\rho}{dx}$$

$$\text{genauer:} \quad \alpha = \frac{\int \frac{d(\rho \, dV)}{dx}}{\int \rho \, dV} = \frac{d[\log(\rho \, dV)]}{dx}$$

Emissions Vermögen: $\varepsilon \, dv \, dt = \text{Energie}$

63

70

$$\text{Dim } \varepsilon = l^{-1} m t^{-3}$$

$$\text{Dim } d = l^{-1} m^2 t^0$$

Folgt auch aus Gleichung pag 31: $S_i = \frac{\varepsilon}{\omega} \, ds \, \sin \theta'$

$S_i \times t = \text{Energie}$

$$\frac{l^{-1} m t^{-3}}{t^{-1}} l^2 t = l^2 m t^{-2} \text{ stimmt}$$

$$\alpha \, dx = d \log(\rho \, ds)$$

$$\log(\rho \, ds) = \int \alpha \, dx + C = \text{~~logarithmische Funktion~~ also hängt die abgeleitete$$

$$\rho \, ds = C e^{\int \alpha \, dx}$$

$$\frac{\rho_1 \, ds_1}{\rho_2 \, ds_2} = e^{\int \alpha \, dx}$$

Nun dass die absorbierte Menge in einem Auf Volumenelement zu finden betrachte man jeden Punkt des Raumes als emittierend und suche den Strahlungsfluss im Raum auf diesen Punkt; $\propto e^{-\int \alpha \, dx}$ und summieren über Vol. des ~~ganzen~~ Raumes.

$$\iint \rho \, ds \, dv \, dx$$

über so kleine Kugelfläche
Es ist $\int \rho \, ds = \varepsilon \, dv$

$$4\pi r^2 \rho = \frac{4}{3} \pi r^3 \varepsilon$$

Consequenzen des Clausius'schen Gesetzes infolge Variabilität von n für verschiedene Wellenlängen.

1. ~~Ein~~ Strahlender Körper befindet sich in einem dünneren Medium ($n_k > n_m$); Strahlung (gesamte und partiell) jeder Wellenart = $\frac{1}{n^2}$ der natürlichen; also werden die Lichtstrahlen etc. mehr geschwächt als die ultraviolette; nun also des vollen Spectrums

zu erhalten, muss man die ^{beobachtete} Intensität der mit n^2 multiplizieren!
Anwendung auf Langley's Wärmespectre!!

Dasselbe gilt offenbar für die Absorption eines Körpers ~~mit~~ welcher in optisch dichteren ($n_M > n_K$) Medium sich befindet.

2. Strahlung in optisch dichteren oder
Absorption in " dünnerem } Medium

Ist die Gesamtheit der Strahlung gleich dem natürlichen Werthe
Absorption

2 dagegen die partielle n^2 mal so groß. Unter kleinerem Winkel als
genau der ^{totalen Reflexion} ~~totalen Reflexion~~ (soll überhaupt nicht eintreten!) [Versuch??]

Folgende Versuchs-Anordnung:

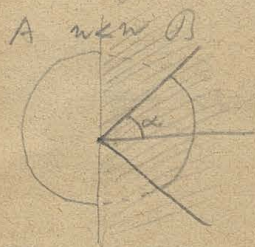
A strahlender Körper	nicht absorbierendes optisch dünneres Medium	M	B absorbierender Körper $n_K < n$
----------------------------	--	---	--

Die Wirkung von A auf B ist jetzt unabhängig von M, und zwar $\left(\frac{n_B}{n_A}\right)^2$ mal so stark.
[Das gilt eben nicht mehr, wenn die Tiefe der Schicht so gering, dass auch Winkel mit dem Grenzwinkel vorkommen]. falsch

Wenn jetzt von irgend einer Strahlungsquelle im Ranne M eine Strahl-Intensität I herrscht (|| der Röhre) so ist die Wirkung

Die Wirkung von A auf B ist jetzt unabhängig von n_B , nämlich $= \left(\frac{n_M}{n_A}\right)^2$

Aus folgender Betrachtung folgt aber, dass man die Brechungs-⁶⁵beziehung berücksichtigen muss, damit das Energie-Gesetz erhalten bleibt: ⁷¹



seien α der Winkel der totalen Reflexion ist:

Aus B nach A wird Licht aus dem Kugel α emittiert, aus A nach B dagegen aus der jenseitigen Halbkugel

es würde also nach dem früheren im System bestehend aus zwei Körpern mit gleichem Emissionsvermögen aber verschiedenen in eine Temperaturdifferenz erhalten!

Nunmehr die Formeln:

$$J_p^n = \frac{\sin^2(\varphi - \chi)}{\sin^2(\varphi + \chi)} J_p \quad J_p^n = \frac{\tan^2(\varphi - \chi)}{\tan^2(\varphi + \chi)} J_0$$

$$J_p^d = \frac{\sin 2\varphi \sin 2\chi}{\sin^2(\varphi + \chi)} J_p \quad J_0^d = \frac{\sin 2\varphi \sin 2\chi}{\sin^2(\varphi + \chi) \cos^2(\varphi - \chi)} J_0$$

Also Strahlungsmenge, welche aus A nach B übergeht =

$$S_A = \frac{1}{2} \int_0^{\frac{\pi}{2}} 2\pi \sin \varphi \cos \varphi d\varphi \frac{\sin 2\varphi \sin 2\chi}{\sin^2(\varphi + \chi)} \left[1 + \frac{1}{\cos^2(\varphi - \chi)} \right] \quad \left. \begin{array}{l} \sin \varphi = n \sin \chi \\ \cos \varphi d\varphi = n \cos \chi d\chi \end{array} \right\}$$

$$S_B = \frac{1}{2} \int_0^{\frac{\pi}{2}} 2\pi \sin \chi \cos \chi d\chi \frac{\sin 2\varphi \sin 2\chi}{\sin^2(\varphi + \chi)} \left[1 + \frac{1}{\cos^2(\varphi - \chi)} \right] = \frac{\epsilon_0}{n^2} \int_0^{\frac{\pi}{2}} \frac{\sin 2\varphi \sin 2\chi}{\sin^2(\varphi + \chi)} \left[1 + \frac{1}{\cos^2(\varphi - \chi)} \right] d\chi$$

$$S_A = \frac{1}{2} \int_0^{\frac{\pi}{2}} 2\pi n \sin \chi \cos \chi d\chi \frac{\sin 2\varphi \sin 2\chi}{\sin^2(\varphi + \chi)} \left[1 + \frac{1}{\cos^2(\varphi - \chi)} \right] = \epsilon_0 \int_0^{\frac{\pi}{2}} \frac{\sin 2\varphi \sin 2\chi}{\sin^2(\varphi + \chi)} \left[1 + \frac{1}{\cos^2(\varphi - \chi)} \right] d\chi$$

$$= S_B \quad \text{wenn} \quad \epsilon_A = \frac{\epsilon_0}{n^2} \quad \epsilon_0 = n^2 \epsilon_A$$

es bleibt also auch bei Berücksichtigung derselben, diese Ungleichheit!

Um diesen Widerspruch zu beheben müsste man doch annehmen, dass das Kirchhoffsche Gesetz ~~nicht~~ sich nicht auf die innere sondern

die äussere Strahlung besteht; d.h. das Clausius'sche nicht auf die äussere sondern die innere ~~Strahlung~~

Also Gesetz: $\frac{E}{\omega} = \text{const für alle Körper} = c \quad \frac{E}{\omega} = \tilde{n}^2 c$

Wenn zur Abkürzung

Es ändern sich jetzt die Sätze von pag 60:

Gesamt-Ausstrahlung eines Flächenstückes ist immer $= 2\tilde{n}^2 c \omega$, wobei ω den Brechungsindex des optisch dichteren Körpers bedeutet!

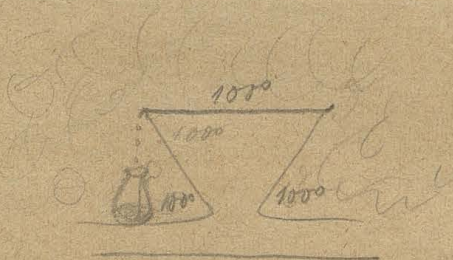
Denn $n_A < n_M$, so ist über den Keulwinkel kleiner als 2ω , daher Wirkung innerhalb desselben auf Flächenstück $(\frac{\tilde{n}_M}{\tilde{n}_A})^2 \omega$, ausserhalb $= 0$.

Wenn $n_M < n_A$, so ist Gesamtwirkung $= \frac{1}{(\frac{n_A}{n_M})^2} \cdot n_A^2 \omega = n_M^2 \omega$; die Wirkung auf ein Flächenstück ebenfalls $n_M^2 \omega$.

Also Gesamtausstrahlung proportional dem (Brechungs Index) \tilde{n} des optisch dichteren
 Wirkung auf Flächenstück " " " " Mediums.

Absolute Messungen der Strahlung:

10. durch Dampfcondensation

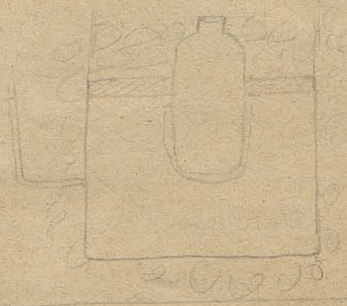


oder umgekehrt



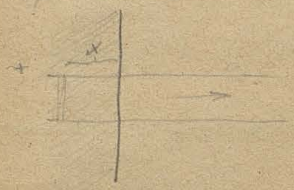
Entscheidende Anordnung direkt in einem Dumas'schen Gasometer:

Durch diese Art der Bestimmung muss man die Luftströmungen und die Gasleitung berücksichtigen



oder auch Platten von bestimmten Abmessungen berechnen.

Die Messung geht bei stark absorbierenden Körpern nur von den einfallenden Lichtstrahlen aus; können deshalb nicht Kristallinungen, wie jene der dünnen Plättchen, herausgefunden werden?



$$\xi = \int_{-\infty}^{\infty} e^{-\alpha x} \cos 2\pi \left(\frac{t}{\tau} - \frac{x}{\lambda} \right) dx$$

$$= \cos 2\pi \frac{t}{\tau} \int_{-\infty}^{\infty} e^{-\alpha x} \cos \frac{2\pi x}{\lambda} dx + \sin \frac{2\pi t}{\tau} \int_{-\infty}^{\infty} e^{-\alpha x} \sin \frac{2\pi x}{\lambda} dx$$

$$= \frac{-1}{\alpha^2 + \frac{4\pi^2}{\lambda^2}} \left[\alpha \cos \frac{2\pi t}{\tau} + \frac{2\pi}{\lambda} \sin \frac{2\pi t}{\tau} \right]$$

$$\frac{-\alpha}{\alpha^2 + \frac{4\pi^2}{\lambda^2}} \quad \frac{-\frac{2\pi}{\lambda}}{\alpha^2 + \frac{4\pi^2}{\lambda^2}}$$

$$\alpha = A \cos \varphi$$

$$\frac{2\pi}{\lambda} = A \sin \varphi$$

$$\frac{\alpha^2 + \frac{4\pi^2}{\lambda^2}}{\lambda^2} = A^2$$

$$\tan \varphi = \frac{2\pi}{\alpha \lambda}$$

$$= \frac{-1}{A^2} A \cos \left(\frac{2\pi t}{\tau} - \varphi \right)$$

$$= \frac{-1}{A} \cos \left(\frac{2\pi t}{\tau} - \varphi \right)$$

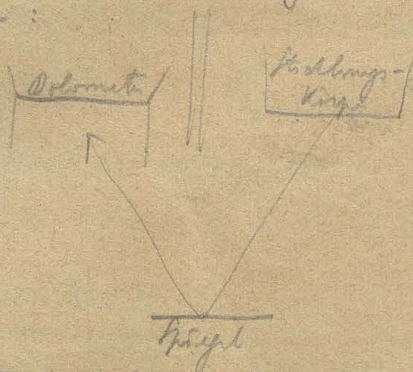
also Phasenänderung mit Intensitätsänderung

Letztere deutet, dass Intensität $= \sqrt{\frac{1}{\alpha^2 + \frac{4\pi^2}{\lambda^2}}}$; also bei konstantem α größer für große λ !

[früher verwendete Formel $= \frac{1}{\alpha}$!]

Also wird es ^{Sole} in α Dicke oder α schweben Körper ablesbar wenn beachtet wird, dass der Voraussetzung: Phasenkonstanz Fluoreszenz!

68 Versuchs-Anordnung zur Bestimmung der Wärmeleitung bei Gasen:



dadurch werden die Luftströmungen vermieden; Polometeranschlag prop.

$(\alpha - \alpha)$

↑ ↑ Wärmeleitfähigkeit

Constante welche vom Material, von Strahlung etc. abhängt.

Interferenz-Erscheinungen; gelangen nicht mehr bei Wellen, die ungleich Stücke auseinander sind, wegen Wechsel der Polarisation, Reflexion etc.; wie weit findet dieser Wechsel statt, bei strahlender Wärme von verschiedenen Temperaturen? Abhängigkeit von der Größe der Strahlungsfläche.

Zur Folge Ausstrahlung kühlt sich die äusseren Schichten eines erwärmten Körpers ab; also geht Strahlung eigentl. von niedriger Temperatur aus.

Bei Veranschaulichung der äusseren Wärmeleitung folgendermassen:

$$\text{Absorbierte Menge der einseitigen Strahlung} + \text{Überschuss des Wärmestromes} = \text{ausgestrahlte Volumen-Strahlung} \quad !$$

Hertz'sche Wellen werden erst in grosser Entfernung von der Erzeugungs-Stelle transversal; anfangs sind sie longitudinal, dann sirkular; Wie verhält sich dies bei Emission der Wärmestrahlen? !!!

Zusammenfassung der Theorie der Strahlung.

Volumenelement jeder Körper emittet in der Zeit dt eine Energiemenge $\eta dv dt$ aus, welche sich nach allen Seiten des Raumes gleichmäßig verteilt, so dass unter dem Kugelwinkel $d\omega$ die Menge $\frac{\eta dv dt}{4\pi r^2}$ ausströmt.

[Dabei Voraussetzungen: 1. Volumenelement \propto groß im Vergleich zu Wellenlängen 2. Kernerles Interferenz-Erscheinungen aber es das ~~Beugung~~ Wellennatur nicht berücksichtigt werden braucht 3. Isotropie

[im 4. ist enthalten: die Bewegung eines Teilchens (oder Atoms) würde polarisierte Strahlung erzeugen; infolge der Teilchenart eine Polarisation \propto voller Teilchen und Bestrahlung davor desselben innerhalb dt tritt sich dies gegenseitig auf; ~~es~~ warum nicht?]

Volumenelement absorbiert von jeder durchstrahlenden Strahlungsmenge s den Bruchteil $\alpha s dv$. $\frac{1}{4\pi} \oint \frac{1}{r^2} dv =$ ~~Kraftströmung~~ ^{Energie-} durch den

Kugelwinkel $d\omega$, also $\frac{1}{4\pi} \oint \frac{1}{r^2} dv =$ Energiefluss durch den Querschnitt ~~$d\omega$~~

dann muss also, wenn das Volumenelement allein ist, mit einer geschlossenen Fläche herum geschlossen wird $\oint \frac{1}{r^2} dv \cdot N = \eta dv$ sein

~~α und β sind constant~~
 r ist constant; $\oint \frac{1}{r^2} dv = 4\pi$

also Energiefluss durch Winkel $d\omega$
 $= \frac{\eta}{4\pi} dv d\omega N$

Auf der Strecke dx welche die Energie durchfließt, wird davon der Bruchteil αdx absorbiert

70) Somit Energiefluß durch df in der Entfernung r vom Strahlpunkt (innerhalb desselben Mediums) $= \frac{\eta}{4\pi} dv \frac{df}{r^2} e^{-\alpha r} \cos(df, r)$
 also Energie flußt durch ~~den~~ einen Querschnitt eines ^{Halbraumes} ~~Punktes~~ der bis in ∞ mit streuender Masse erfüllt ist:



$$dv = r^2 dp \sin \varphi d\theta dr$$

$$\cos(df, r) = \varphi$$

$$= \frac{\eta}{4\pi} \int_{r=0}^{\infty} \int_{\theta=0}^{2\pi} \int_{\varphi=0}^{\pi} r^2 dp \sin \varphi d\theta dr \cos \varphi e^{-\alpha r} df$$

$$= \frac{\eta}{4\pi} df \frac{1}{\alpha} 2\pi \int_0^{\pi} \underbrace{\sin \varphi \cos \varphi}_{\frac{1}{2} \sin 2\varphi} d\varphi = \frac{\eta}{4\pi} df \int_0^{\pi} \sin \varphi d\varphi = \frac{\eta}{4\pi} df$$

oder ~~speziell~~ allgemeiner bis zum Kugelwinkel φ

$$= \frac{\eta}{4\pi} df \sin^2 \varphi$$

Bildet man die Summe: $\int \frac{\eta}{4\pi} \int_0^{\infty} e^{-\alpha r} dr d\omega$, so wird dies: $= 4\pi \frac{\eta}{\alpha} = \frac{\eta}{\alpha}$

= Gesamt durchstrahlung

Daraus folgen demnach: die Größe $\delta =$ Winkel dichte des Energieflusses $= \frac{\eta}{4\pi}$
 (Kugel $\frac{1}{2}$)

do denken wir uns als Stück eines ∞ Prismas $= df dx$ in der Richtung desselben

$$\text{also Gesamt Strahlendichte} = \int_0^{\infty} \delta e^{-\alpha x} = \frac{\eta df}{4\pi \alpha}$$

$$= \frac{\gamma}{4\pi} \int_0^{\frac{\pi}{2}} d\varphi \frac{2\pi}{\alpha} (1 - e^{-\alpha x}) (1 - e^{-\alpha x'}) \sin \varphi \cos \varphi d\varphi$$

$$x = \frac{\delta}{\cos \varphi}$$

$$= \frac{2\pi \gamma d\ell}{4\pi \alpha} \frac{\alpha \delta}{\cos \varphi} \int_0^{\frac{\pi}{2}} \left[1 - e^{-\frac{\alpha \delta}{\cos \varphi}} \right] \sin \varphi \cos \varphi d\varphi$$

$$\int_0^1 \left[1 - e^{-\frac{\alpha \delta}{x}} \right] dx = 1 - \int_0^1 e^{-\frac{\alpha \delta}{x}} dx$$

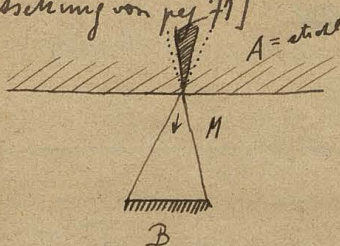
$$\frac{\alpha \delta}{x} = \frac{1}{2} \frac{\alpha^2 \delta^2}{x^2} + \frac{1}{6} \frac{\alpha^3 \delta^3}{x^3} + \dots$$

These Einwirkungen + $k \delta \frac{\partial^2 \gamma}{\partial z^2} d\ell = \gamma \delta d\ell$

$$\int_0^1 e^{-\frac{\alpha \delta}{x}} dx = -\alpha \delta \int_{\infty}^{\alpha \delta} e^{-y} \frac{dy}{y^2} = -\alpha \delta \left[\frac{1}{y} - \frac{1}{y} + \frac{1}{2} - \frac{1}{6} \right] dy$$

$$\frac{1}{y^2 e^y} = \frac{1}{y^2 + y^3 + \frac{1}{2} y^4 + \frac{1}{6} y^5 + \dots}$$

[Fortsetzung von pag 71]

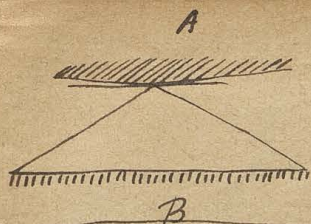


Wirkung des Stahlkörpers von ~~Wirkung~~ A auf B
da ~~Wirkung~~ wirksame Kegel ist

Nach pag 65 ist also die Wirkung nur $\frac{1}{n^2}$ von
dem ~~Geraden~~ Schrägkel; $n = \frac{v_M}{v_A}$ also $W = \left(\frac{v_A}{v_M} \right)^2 \frac{\gamma d\ell}{\alpha_A}$

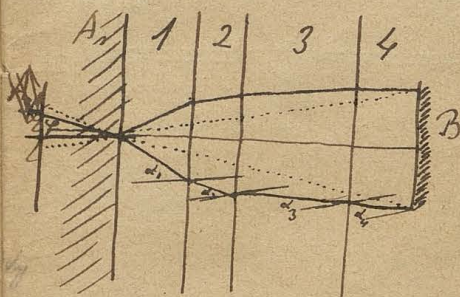
Nun ist aber $\frac{\gamma_A}{\alpha_A} v_A^2 = \text{const}$; also Wirkung prop. $\frac{1}{v_M^2}$ also prop. dem
(Druckexp.)² des Radius.

Wenn dagegen $\frac{v_M}{v_A} = \frac{v_M}{v_A} < 1$ so kann der Kegelschnitt Schrägkel groß
werden, eventuell totale Refl. stattfinden



73
75
Ist es gleichgültig ob der Winkel $\angle A$ noch größer wird.

Allgemeiner Fall: verschiedene Schichten im Medium



idealer Schrägung φ
wirklicher innerer Schrägung φ

$$\frac{\sin \alpha_4}{v_4} = \frac{\sin \alpha_3}{v_3} = \frac{\sin \alpha_2}{v_2} = \frac{\sin \alpha_1}{v_1} = \frac{\sin \varphi}{v_A}$$

Wirkung wird prop. $\left(\frac{\sin \varphi}{\sin \varphi}\right)^2$

$$\delta_1 \tan \alpha_1 + \delta_2 \tan \alpha_2 + \delta_3 \tan \alpha_3 + \delta_4 \tan \alpha_4 = \delta \tan \varphi$$

$$\delta_1 \frac{v_1 \sin \varphi}{\sqrt{v_A^2 - v_1^2 \sin^2 \varphi}} + \delta_2 \frac{v_2 \sin \varphi}{\sqrt{v_A^2 - v_2^2 \sin^2 \varphi}} + \dots = \delta \frac{\sin \varphi}{\sqrt{1 - \sin^2 \varphi}}$$

$$\sum \delta_i v_i \left[1 + \frac{1}{2} \frac{v_i^2}{v_A^2} \sin^2 \varphi + \frac{3}{8} \frac{v_i^4}{v_A^4} \sin^4 \varphi + \dots \right] \cdot \sin \varphi = \delta v_A \left[1 + \frac{1}{2} \sin^2 \varphi + \dots \right] \sin \varphi$$

wenn φ resp. φ klein sind, vernachlässigen die ersten Glieder:

$$\sin \varphi \sum \delta_i v_i = \sin \varphi \delta v_A$$

$$\left(\frac{\sin \varphi}{\sin \varphi}\right)^2 = \left[\frac{\delta v_A}{\sum \delta_i v_i}\right]^2$$

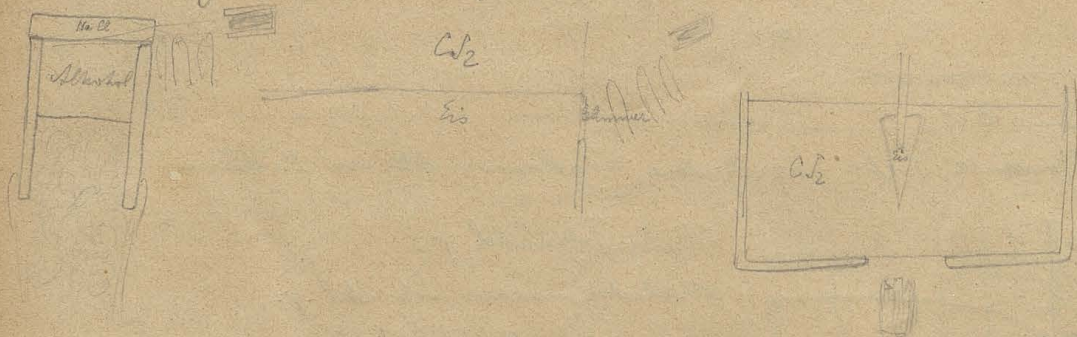
also wenn $\frac{\delta_i}{\delta} = m_i$, den Bruchteil der Entfernung angibt, welcher durch das Medium erfüllt wird

$$\text{Wirkung} = \frac{\eta_A}{\alpha_A} \left(\frac{\sin \varphi}{\sin \varphi}\right)^2$$

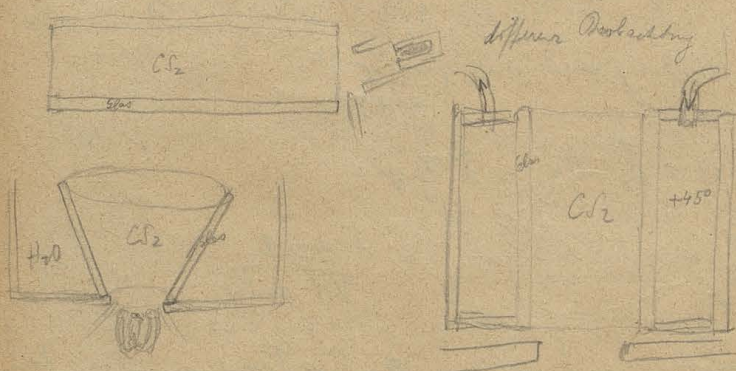
$$= \text{prop.} \frac{1}{\left[\sum m_i v_i\right]^2} = \text{prop.} \frac{1}{\left(\sum \frac{n_i}{m_i}\right)^2}$$

Variabilität von n ; Polarisationszustand; innerer Lichtdruck; Platten von endlicher Dicke; innere Reflexionen; trübe Medien.

74 Anordnung zur Darstellung der Total-Reflexion der Einstrahlung



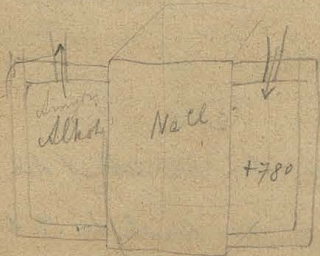
$$1.34 : 1.63 = 0.8$$



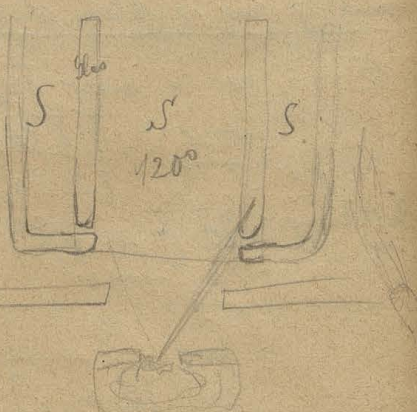
diffuse Beobachtung

42°

35°



oder auch



Diffusionsbeobachtung: 1. S allein ohne
2. S mit Glas
immer S anfließt bei

Curve mit constantem Radiusvektor - Tangentenwinkel

75

76



$$r = f(\varphi)$$

$$\frac{dr}{r d\varphi} = \cot \varphi = \text{const.}$$

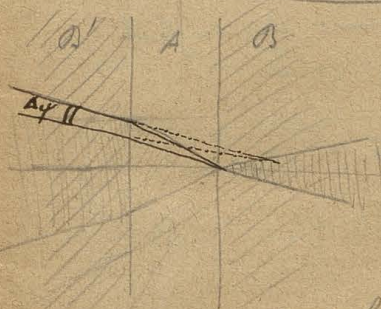
$$\frac{dr}{r} = c d\varphi$$

$$r = A e^{c\varphi} = \text{Logarithmische Spirale}$$

Wenn man einen Durchmesser rotiert wird entsteht eine Fläche, wo überall der RV mit der Normale den constanten Winkel α bildet



Wenn das der Winkel der totalen Reflexion ist, kann kein Licht von außen nach innen dringen, obwohl Körper durchsichtig.



die Dicke von A soll nur so groß sein, dass die Wirkung von B nur merklich ist, also nicht mehr: schwarzer Körper.

Dann muss Emission des Kegels in A + Emission in B = Emission in D

$$SA = 2\pi \int_0^b \int_0^\varphi \frac{r^2}{r^2} \sin \varphi d\varphi \cos \varphi dx e^{-\alpha x} ds$$

$$= \frac{1}{2\pi} \int_0^b \int_0^\varphi \sin \varphi \cos \varphi d\varphi \frac{dx}{\cos \varphi} e^{-\frac{\alpha x}{\cos \varphi}}$$

$$= \frac{1}{2\pi} \int_0^b \int_0^\varphi dx dz e^{-\frac{\alpha x}{\cos \varphi}} = \frac{1}{2\pi} \int_0^b dz \int_0^\varphi e^{-\frac{\alpha x}{\cos \varphi}} d\varphi$$

$$\frac{\sin \varphi}{\sin \varphi} = \frac{n_B}{n_A} = \frac{1}{\cos \varphi}$$

$$\frac{\cos \varphi \Delta p}{n_A} = \frac{\cos \varphi \Delta p}{n_B}$$

76

$$S_0 = 2\pi \iint \sin \varphi \cos \varphi \, d\varphi \, dr'' \frac{\eta_A}{4\pi} e^{-\alpha(r'' - \frac{r_b''}{V_A}) - \alpha_A r_b}$$

$$r' = \frac{b}{\cos \varphi} + \frac{x}{\cos \varphi}$$

$$\frac{r_b'' \cdot d\varphi}{\cos \varphi} = \frac{d\varphi \cdot r_b}{\cos \varphi}$$

$$\frac{\cos \varphi \, d\varphi}{V_A} = \frac{\cos \varphi \, d\varphi}{V_B}$$

$$\left. \begin{aligned} \frac{r_b'' \cdot V_B}{\cos^2 \varphi} &= \frac{r_b \cdot V_A}{\cos^2 \varphi} \\ &= \frac{b}{\cos \varphi} \cdot V_A \end{aligned} \right\}$$

$$r'' = r_b'' + \frac{x}{\cos \varphi}$$

$$dr'' = \frac{dx}{\cos \varphi}$$

$$\int_B = \frac{2\pi \eta_A}{4\pi} \iint \sin \varphi \cos \varphi \, d\varphi \, dx$$

$$r_b'' = \frac{b}{V_B} \frac{\cos \varphi}{\cos \varphi} \frac{1 - (\frac{V_B}{V_A})^2 \sin^2 \varphi}{1 - (\frac{V_B}{V_A})^2 \sin^2 \varphi}$$

$$\begin{aligned} r_b'' V_B &= r_b V_A \cdot 1 \\ \sin \varphi \cdot 3 \cos \varphi &= 1 - 3 \cos^2 \varphi \\ \cos \varphi &= 2 \end{aligned}$$

$$dr_b'' = \frac{b}{V_B} V_A \left[\frac{-2 \left(\frac{V_B}{V_A}\right)^2 \sin \varphi \cos^2 \varphi}{\cos^3 \varphi} - \frac{1 - \left(\frac{V_B}{V_A}\right)^2 \sin^2 \varphi}{\cos^2 \varphi} \sin \varphi \right] d\varphi$$

$$= \frac{b}{V_B} V_A \left[\frac{1 - \left(\frac{V_B}{V_A}\right)^2}{\cos^2 \varphi} - 3 \left(\frac{V_B}{V_A}\right)^2 \right] \sin \varphi \, d\varphi$$

$$\int_B = 2\pi \iint$$

das dr'' ist bei constantem φ zu nehmen also einfach:

$$dr'' = \frac{dx}{\cos \varphi}$$

$$S_0 = 2\pi \frac{\eta_A}{4\pi} \int_{x=0}^{\infty} \int \sin \varphi \, d\varphi \, \frac{dx}{\cos \varphi} e^{-\alpha \frac{x}{\cos \varphi} - \alpha_A \frac{b}{\cos \varphi}} \cdot \cos \varphi$$

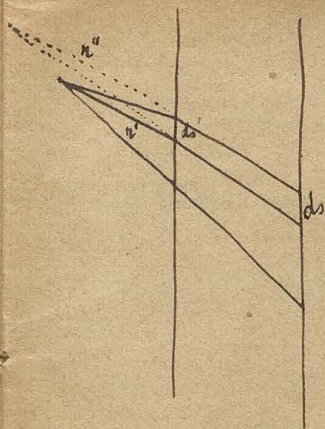
folgt!

=

$$\frac{\sin \varphi}{V_A} = \frac{\sin \varphi}{V_B}$$

$$\frac{\cos \varphi}{V_A} \, d\varphi = \frac{\cos \varphi}{V_B} \, d\varphi$$

$$\sin \chi \, d\chi \, r \, dr = \frac{dx}{\cos^2 \chi} \cdot \frac{r^2 \cos^2 \chi}{r^2} \cdot \frac{r \, dr \cdot r \sin \chi}{r^2}$$



$$ds' = \frac{r'}{r} dy$$

$$= \frac{r'}{r} \frac{ds'}{r'^2} \cos \varphi$$

$$= \frac{r'}{r} \frac{ds}{r'^2 + \frac{b}{\cos \varphi}}$$

$$\frac{r' dy}{\cos \varphi} = \frac{r'' dy}{\cos \varphi} = ds'$$

$$ds' : ds = r'' : r' + \frac{b}{\cos \varphi}$$

$$\frac{\cos \varphi}{r'^2} \frac{r' dy}{\cos \varphi} = \frac{\cos \varphi}{r'^2} \frac{r'' dy}{\cos \varphi} = \frac{\cos \varphi}{r'^2} \frac{r'' dy}{\cos \varphi}$$

$$\frac{r' r''}{\cos^2 \varphi} = \frac{r'' r_A}{\cos^2 \varphi} \frac{dy}{r'}$$

$$= \frac{r' ds}{r'^2} \frac{\cos \varphi}{r'^2} \frac{1}{1 + \frac{b}{\cos \varphi} \frac{r_A}{r''} \frac{\cos^2 \varphi}{\cos^2 \varphi} \frac{1}{r'}}$$

$$S_0 = \frac{r_0}{r} ds$$

$$- \frac{r_0}{r} r' - \frac{r_0}{r} \frac{b}{\cos \varphi}$$

$$\frac{\cos \varphi}{r'^2} \frac{1}{1 + \frac{b}{\cos \varphi} \frac{r_A}{r''} \frac{\cos^2 \varphi}{\cos^2 \varphi} \frac{1}{r'}}$$

$$\frac{2r \sin \varphi}{r'^2} \frac{dy}{r'^2} \frac{dr}{r'^2}$$

$$r^2 = r'^2 + b^2(1 + \sin^2 \varphi) + 2r'b(\cos \varphi + \sin \varphi \sin \varphi)$$

$$\frac{r'}{r} = \frac{r' \sin \varphi + b \sin \varphi}{r' \cos \varphi + b}$$

$$r dr = r' dr' + b^2 \sin \varphi \cos \varphi d\varphi + b(\cos \varphi + \sin \varphi \sin \varphi) dr' + r'b [\cos \varphi \sin \varphi d\varphi + d\varphi (\sin \varphi \cos \varphi - \sin \varphi)]$$

$$\frac{r^2 dy}{r'^2 \cos \varphi} = \frac{\sin \varphi dr' + b \sin \varphi + r' \cos \varphi d\varphi + b \cos \varphi d\varphi}{r' \cos \varphi + b} \frac{dr' \cos \varphi - r' \sin \varphi d\varphi}{(r' \cos \varphi + b)^2} (r' \sin \varphi + b \sin \varphi)$$

$$r^2 dy = [\sin \varphi dr' + r' \cos \varphi d\varphi + b \cos \varphi d\varphi] [r' \cos \varphi + b] - [dr' \cos \varphi - r' \sin \varphi d\varphi] [r' \sin \varphi + b \sin \varphi]$$

$$= \sin \varphi \cos \varphi r' dr' + r'^2 \cos^2 \varphi d\varphi + b r' \cos \varphi \cos \varphi d\varphi + b \sin \varphi dr' + b r' \cos \varphi d\varphi + b^2 \cos \varphi d\varphi -$$

$$- r' dr' \sin \varphi \cos \varphi + r'^2 \sin^2 \varphi d\varphi - b dr' \sin \varphi \cos \varphi + b r' \sin \varphi \sin \varphi d\varphi$$

$$= r'^2 d\varphi + b r' \cos \varphi d\varphi + b r' [\cos \varphi \cos \varphi d\varphi + (\cos \varphi + \sin \varphi \sin \varphi) d\varphi] + b^2 \cos \varphi d\varphi + b dr' [\sin \varphi - \sin \varphi \cos \varphi]$$

78

Integrale sehr schwer auswertbar, jedenfalls eben wird

$$\int A + \int B' = f_c(\alpha_A, r_A, \alpha_B, r_B, b) = \int D \text{ sein muss}$$

und zwar, da b beliebig ist, ~~da~~ ~~sie~~ muss sie von b unabhängig sein

$$\text{d.h. } \frac{\partial f_c}{\partial b} = 0$$

$$\int B = \frac{\gamma_0 ds}{\gamma n} \iint e^{-\alpha_0 r' - \alpha_A \frac{b}{\omega \varphi}} \frac{\omega \varphi}{r'^2} \frac{1}{1 + \frac{b}{\omega \varphi} \frac{r_A}{r_0} \frac{\omega \varphi}{\omega \varphi} \frac{1}{r'}} dv \varphi \quad n = \frac{r_A}{r_0}$$

$n \sin \varphi = \sin \varphi$

$$r' \omega \varphi + b = z$$

$$r' \sin \varphi + b \tan \varphi = y$$

$$\tan \varphi = \frac{\sin \varphi}{\cos \varphi} = \frac{\sin \varphi}{\sqrt{1 - \sin^2 \varphi}} = \frac{n \sin \varphi}{\sqrt{1 - n^2 \sin^2 \varphi}}$$

$$(z - b) \tan \varphi + b \tan \varphi = y$$

$$= \frac{r_A \sin \varphi}{\sqrt{r_0^2 - r_A^2 \sin^2 \varphi}}$$

$$b^2 \frac{r_A^2 \sin^2 \varphi}{r_0^2 - r_A^2 \sin^2 \varphi} = y^2 + (z - b)^2 \tan^2 \varphi - 2y(z - b) \tan \varphi$$

z mit $\cos \varphi$ als Variable einführen!

$$z' = \frac{z - b}{x}$$

$$\cos \varphi = x \quad \cos \varphi = \sqrt{1 - \left(\frac{r_A}{r_0}\right)^2 \sin^2 \varphi}$$

$$\omega \varphi = \sqrt{1 - \left(\frac{r_A}{r_0}\right)^2 (1 - x^2)}$$

$$dv = 2\pi dz y dy$$

$$y = \frac{z - b}{x} + b \frac{r_A \sqrt{1 - x^2}}{\sqrt{r_0^2 - r_A^2 (1 - x^2)}} = \frac{z - b}{x} + b \frac{1}{\sqrt{\frac{r_0^2}{r_A^2 (1 - x^2)} - 1}}$$

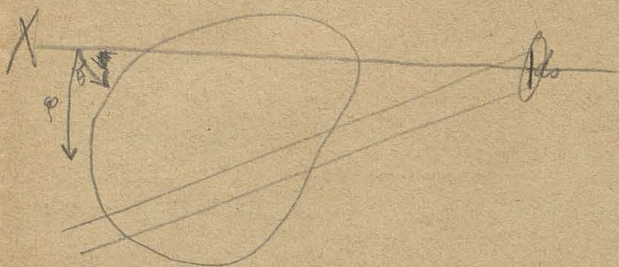
$$dy = \frac{dz}{x} - \frac{z - b}{x^2} dx - b \frac{1}{\left[\sqrt{\frac{r_0^2}{r_A^2 (1 - x^2)} - 1}\right]^{3/2}} \left(\frac{r_0}{r_A}\right)^2 \frac{x dx}{(1 - x^2)^2}$$

$$S_D = \frac{\gamma_0 ds}{4\pi} \iint e^{-\alpha r \frac{z-b}{x} - \alpha_A \frac{b}{\sqrt{1-(\frac{z}{b})^2(1-x^2)}}} \frac{x^3}{(z-b)^2} \frac{1}{1 + b \frac{z}{b} \frac{x^2}{[1-(\frac{z}{b})^2(1-x^2)]^{3/2}}} \frac{do}{x^2} \quad 78 \quad 79$$

γ = Schwächungsfactor infolge Brechung; muss hier in Brechungsgesetz nach dem Resultat ???!

Kann die Vakuumbrechung durch eine fingerte Oberfläche ersetzt werden? Annahme Brechungs Expon. = 1 (einfaches)

Wirkung auf eine Fläche element



$$S' = \frac{\gamma ds}{4\pi} \iiint \sin \varphi \cos \varphi \, d\varphi \, d\theta \, e^{-\alpha r} \, dr$$

$$= \frac{\gamma ds}{4\pi} \iiint \frac{\cos \varphi \, e^{-\alpha r}}{r^2} \, dv$$

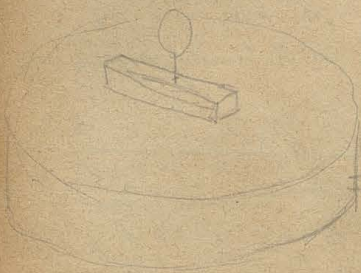
$$= \frac{\gamma ds}{4\pi} \iiint \frac{x \, e^{-\alpha r}}{r^3} \, dv$$

$$= \frac{\gamma ds}{4\pi} \iiint e^{-\alpha r} \frac{\partial}{\partial x} \left(\frac{1}{r} \right) \, dv$$

lässt sich nicht mehr ableiten?

Nach Green'schem Satz:

Für die Theorie der Gasefflektungen folgende Versuche von größter Wichtigkeit.



Schwingungs-Probierung eines Regierers über
eine Luftschicht welche von Quarzplatten
abgesperrt ist. Seite ref 87

Dämpfung = Leuchtbarkeit

I. Einwirkung des Lichts

II. Verdrängung successiv bis zum Vorrücken

III. Destillation mit ultrav. Licht

IV. Erwärmung

V. Konstruktion von II und III

Gibt es ein Hall'sches Phänomen für verdünnte Gase ?! (Abgleich von
den Versuchen von Barkhausen etc.)

Entscheidung, ob. von Lichtbogen elektr. Eigenkraft oder Widerstand, durch
Messung der Energiemengen!

Im ersten Fall : $A = [E - \overset{\text{Vorteil}}{J}] J$

im zweiten " : $A = E J$

Dieselbe Methode (durch Messung der entwickelten Wärmemenge) zur

Entscheidung ob beim Hall'schen und verwandten Phänomenen eine
elektr. Kraft oder eine Widerstands-Änderung auftritt!

Nächste Untersuchung des Hall'schen Phänomens bei Wärmeleitung von der
größten Bedeutung für elektro-thermische Prozesse !!!

Untersuchung der optischen Ströme von Holstien. ! 2. Hauptsatz ?

Hall'sches Phänomen würde sich ganz einfach dadurch erklären, dass ⁸¹₇₉ die Körper im magn. Felde isoliert werden. (Vollwert mit hoher auch die magn. Wirkung des Phos in Betracht zu ziehen?) Analogie mit optischen Verhalten: Doppelschr. Stup. d. Pol.

Dass der Hall'sche Effekt gerade bei Eisen so relativ schwach ist, erklärt sich daraus, dass es unmöglich ist, die Endplatten transversal zu magnetisieren. Die obige Erklärung müsste der ganze Thermo-magn. Strom auf Thermoelemente zurückgeführt werden?!

Der elektr. Feld der Polar. Eb. wird ein circular pol. Lichtstrahl eine Geschwindigkeits-Änderg. erhalten; Energie!

Ad Hall'sches Phänomen: Bei dieser Anordnung wäre Dämpfung in jedem Fall $= 0$, weil sich die verdünnte Luft einfach mitdrehen würde. Daher noch unten ein fester Magnet nötig; jetzt wird die Luft nur die halbe Drehung machen, daher $\frac{1}{2}$ Dämpfung. Auch falsch! Siehe pag 87

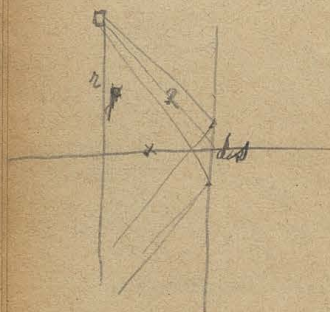
Ad Wärmeleitung. Döbner's Methode der fest durchwegs mangelhaft wegen Nachteilige Beeinträchtigung der Strahlung. Lenzellen Methode würde je nach der Dicke der angewendeten Platte verschiedene Luftprozentagen geben:

1. Bei sehr dicken Platten: molekulare Leitungsfähigkeit + Strahlungsleistung
 2. mit Wärme
 3. sehr dünnen: wenn man die Strahlung der festen Körper durch Diffusionsbeeinträchtigungen eliminirt: bleibt molekulare Leitung.
- Letzteres Resultat ist aber ebenfalls auch, wenn man die innere Strahlung

82 Leistung unmöglich macht die durch Einsetzen von Russ, welches die
 Fließigkeit schwarz macht, aber moler. Leistung wenig behindern dürfte.
 Allgemeine Gleichungen der Wärmeleitung und innerer Strahlung.

Anwendung der Lamellen-Methode zur Bestimmung der Wärmeleitung
 von Gasen!!

~~Änderung~~ Einfluss der Direktstrahlung auf Wärmeleitungsfähigkeit
 bei ~~der~~ linearem Temperaturverfall [Correction von pag 36]



Strahlungsenergie von links Hälfte

$$\int_{x=0}^{\infty} \int_{r=0}^{\infty} 2\pi r dr dx \frac{\eta}{r^2 R^2} d\omega(R, x) e^{-\alpha R} =$$

$$= \frac{\eta_0}{2} \int_{x=0}^{\infty} \frac{x dx}{R^3} \int_{r=0}^{\infty} r dr e^{-\alpha R} = \frac{\eta_0}{2} \int_{x=0}^{\infty} \frac{\partial(\frac{1}{R})}{\partial x} x dx e^{-\alpha R} =$$

$$x = R \cos \varphi \quad dx = -dR \cos \varphi - R \sin \varphi d\varphi$$

$$r = R \sin \varphi \quad dr = dR \sin \varphi + R \cos \varphi d\varphi$$

$$r = \sqrt{R^2 - x^2}$$

$$r^2 = R^2 - x^2$$

$$r dr = R dR$$

$$= -\frac{\eta_0}{2} \int_{x=0}^{\infty} \frac{\partial(R)}{\partial x} x dx \int_{R=x}^{\infty} \frac{e^{-\alpha R}}{R^2} dR \eta$$

$$\eta = \eta_0 + x \varepsilon$$

~~2\pi R \sin \varphi~~

$$\int_0^\infty \int_0^\pi \int_0^{2\pi} \eta \sin \varphi \, d\varphi \, dR \quad \frac{\eta}{R^2} \frac{ds \cos \varphi}{R^2} e^{-\alpha R} \eta =$$

$$R_0 \eta_0 = \eta_0 \frac{ds}{2} \iint e^{-\alpha R} \sin \varphi \cos \varphi \, d\varphi \, dR \quad \eta$$

~~$\eta = \eta_0 + \epsilon$~~ $\eta_0: \eta_0 = \theta^4: \theta_0^4 = \left[\frac{\theta - \theta_0 + \theta_0}{\theta_0} + 1 \right]^4 = 1 + 4 \frac{\theta - \theta_0}{\theta_0} +$

$$\eta = \eta_0 \left[1 + 4 \frac{\theta - \theta_0}{\theta_0} \right] \quad \theta - \theta_0 =$$

$$\eta = \eta_0 [1 + \epsilon x] = \eta_0 [1 + \epsilon R \cos \varphi]$$

Sonstige Str.

$$\eta_0 \epsilon ds \iint e^{-\alpha R} R \sin \varphi \cos \varphi \, d\varphi \, dR = \int_0^\infty e^{-\alpha R} R \, dR \quad \frac{\cos^3 \varphi}{3} \Big|_0^{\pi/2}$$

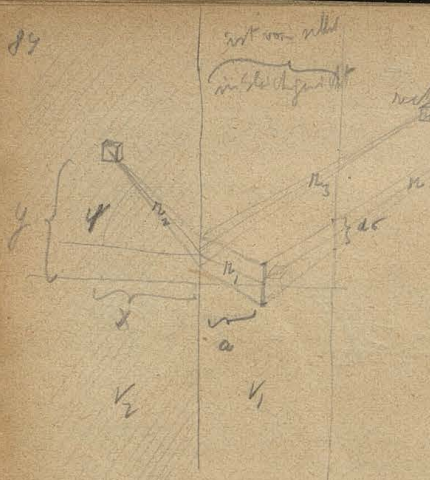
$$= -\frac{1}{3} \int_0^\infty e^{-\alpha R} R \, dR = -\frac{1}{3} \left[\frac{e^{-\alpha R}}{-\alpha} R \right]_0^\infty + \frac{1}{3} \int_0^\infty e^{-\alpha R} \, dR$$

$$= +\frac{1}{3} \frac{1}{\alpha^2} [\eta_0 \epsilon ds]$$

[in dem Sinne auf pg 76: $\frac{16}{3}$ also bleibt $\frac{2}{3}$ jenes Wertes, wenn man die seitlichen Strahlen mit berücksichtigt]



Die Ableitung des Koeffizienten η ist, dass $\frac{\eta}{\alpha}$ eine Constante ist, ist daher noch zu vervollständigen, dass sich auch die Temperatur jedes einzelnen Rohrenelementes nicht ändern darf (pag 71).



Die Fläche des mirrors beobachtet von links nach rechts, wie von rechts nach links gehen.

$$r_1 + r_3 = r$$

$$ds = ds \frac{r}{r-x_1}$$

$$ds \cos \varphi = r_2 d\varphi \quad \left\{ \begin{array}{l} \frac{\sin \varphi}{r_1} = \frac{\sin \varphi}{r_2} \\ \frac{\cos \varphi}{r_1} = \frac{\cos \varphi}{r_2} \end{array} \right.$$

$$ds \cos \varphi = (r_2) d\varphi \quad \frac{\cos \varphi}{r_1} = \frac{\cos \varphi}{r_2}$$

$$\frac{ds \cos \varphi}{r_1 r_2} = \frac{ds \cos \varphi}{r_1 (r-r_1)}$$

$$r_2 = \frac{\cos \varphi}{\cos \varphi} \frac{r}{r_2} (r-r_1)$$

$$S = \int_0^{\infty} \int_0^{\infty} \ln y \, dy \, dx \quad \frac{r_2}{r_1} d\varphi \quad e^{-ds r_2 - ds r_1}$$

$$r_1 \sin \varphi + r_2 \sin \varphi = y$$

$$r_1 \cos \varphi = a$$

$$\cancel{r_1 \sin \varphi} + r_2 \sin \varphi = x$$

$$dx = ds \frac{\cos \varphi}{r_2} = ds \frac{x}{r_2^2}$$

$$r_2^2 = x^2 + y^2 + r_1^2 \sin^2 \varphi - 2yx \sin \varphi$$

$$= x^2 + y^2 + a^2 \tan^2 \varphi - 2ya \tan \varphi$$

$$= \frac{x^2}{1 - \sin^2 \varphi \left(\frac{r_2}{r_1} \right)^2}$$

Verbesserung des Elektrolytens durch Tränken des Kohlefadens mit 85
Erden, analog Auer-Dranner. 81

Berechnung der durch Deformation in elektromagnetischen Kräfte etc. als
Veränderung von Druck p , L .

Analogie zwischen: Abstrahlung von Licht etc. durch resche
magnetische Polarisationen, Ausbreitung polarisierter, in Elektrolyt
geladener Kugeln, und konformationsische Kräfte der Lichtbrechung
wellenart des Herzschlages nachzuweisen.

Rhythmische Dehnung der Elektrolyt-Zellen und
elastische Nachwirkung als cyclische Deformation!!!

† ~~Abweichung~~ Abweichung infolge Veränderlichkeit der Parameter
oder auch analog mit Herstellung eines elektrischen Zustandes unter Wirkung eines Kräfte (E)

Elektrische Nachwirkung - Hysterese etc. des Magnetismus!

Statt Longitudinal- & Transversal-Wellen leben Compressions und
Deformations-Wellen einfallen; ist dies in allen Fällen dasselbe?

Maxwell'sche Theorie

Keine der bisherigen Formulierungen ist vollkommen befriedigend.

Die X, Y, Z, L, M, N werden als hypothetische, nicht direkt messbare, und der Erfahrung nicht zugängliche Größen eingeführt. ~~Da~~ Da die Gleichungen an sich keine konkreten Größen enthalten, muss die Verbindung mit den tatsächlich vorzunehmenden, das ist electrostatischen, mit electrodynamischen Kräften, durch das unterhaltende Prinzip der Energie hergestellt werden. Wie verhält sich dieses an den X, Y, Z Kräften? (Contact, -therm. Kräfte) Gibt sich die Abhängigkeit der Wärmewirkung kund?

Aus allem folgt, dass die Maxwell'sche Gleichung eine mögliche, nicht aber eine notwendig allein richtige Beschreibung enthalten. *)

Eine vollkommene Theorie müsste

- 1) ausgehen von den beobachtbaren Größen: electrost., electrodyn., Wirkungen und Wärmewirkungen, (eventuell auch Electrolyse etc.)
- 2) Da der Magnetismus der weniger gut bekannte, und experimentell, wie theoretisch schwierigere zu behandelnde Theil ist, ~~man~~ und da die allseitige Verquickung von Electr. und Magn. nur vermutet, sollte er von der theoretischen Grundlage ganz ausgeschlossen werden und hinterdrein soll man versuchen ihn durch Electr. zu erklären.

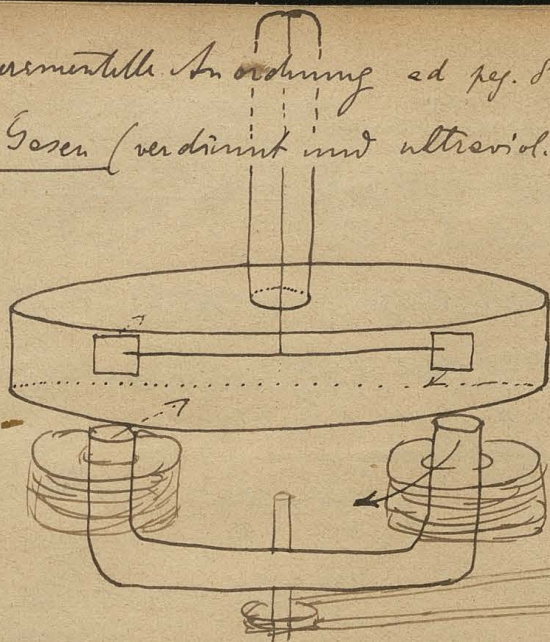
Mindestens Versuch! Jedenfalls sind keine Phänomene wie dunkle d. Wärme etc.

- 3) Der Zusammenhang mit allgemeiner Energetik sollte inniger sein.

*) So z.B. kann man ohne weiter in den Gleichungen C noch Glieder hinzufügen:

$$+ \frac{\partial \rho}{\partial x}, \quad + \frac{\partial \rho}{\partial y}, \quad + \frac{\partial \rho}{\partial z}$$

Experimentelle Anordnung ad pag. 80 u. 81 behufs Messung der Leitfähigkeit
von Gasen (verdünnt mit ultraviolett. Licht)



Falls Gas leitend wird, wird sich der
Strom solange mitbewegen bis Torsionskraft
dem mittleren Luftdruck ausgleichend wirkt.

Daraus angenäherte Berechnung

(In Bölen könnten nur die
Verdrängungsströme gemessen
werden)

Allgemeine Gleichungen der ponderomotorischen Kräfte von bewegten Leitern (ohne Ströme)
im magn. Felde.

Ad Hall'sches Phänomen:

Für die elektrische ~~Formulierung~~ Formulierung offenbar ganz gleichgültig, wie man es herleitet
ob Widerstand, ob elektr. Kraft. Denn

$$\frac{dL}{dt} = \frac{d\Phi}{dt} - \frac{dR}{dt} + 4\pi L (P + X)$$

wenn $X = aP$, so kann ebenso gut gesetzt werden $X=0$, $I = I_0 (1+a)$

vollends hier bei rotatorischen Widerst. Änderung der Fall.

John zuerst Untersuchung des thermomagn. Effectes; da die elektr. Kraft eine
Arbeit leistende ist, muss auch Umkehrung gelten; bei starker Temp. verschiedenheit
und diese könnte willkürlich Ursache des H.E. sein.

Auf die Temp. Unterschiede dieselbe Argumentation anwendbar, wie bei thermoelectr.
(prop. abs. Temp.)

Analogie zwischen elektrischer Vertheilung mit elastischer (nach d. Kopf)
 erstreckt sich wahrscheinlich viel weiter (oder nicht) auf Gestalts-Elasticität

z.B. Dielectrica ohne Leitung -- vollkommen elast. Körper

" mit "

metallische Leitung

Wärmeeentwicklung dabei

verste Körper (Wachs etc.)

Fließbarkeit (mehr oder weniger zäh)

infolge in Richtung

(Freiheit eines gest. u. u.)

dauernde Diffusion = wahre Elasticität

Aufhebung des elektrischen Zwangs infolge Leitung

Reibungsabnahme

infolge langsamen Fließens

elastische Nachwirkung

nicht umkehrbar

Was entspricht Reibungsverlust?

Was Volumenverlust?

oder Zersiedlung?

Kann man die Funken bei Dynamomaschinen nicht durch Induction vermeiden?

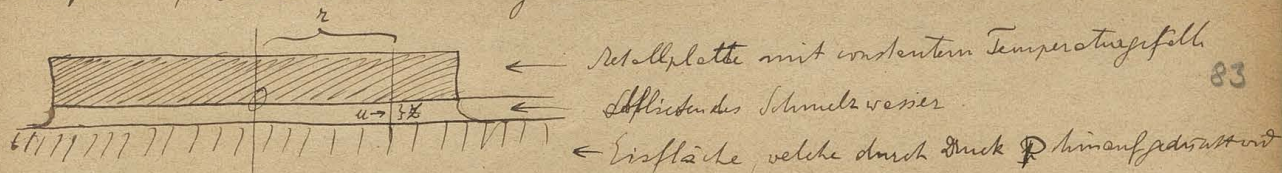
Messung der Leistungsfähigkeit von Seilen mittelst Inductionsvorg.

Anwendung der abstoßenden Kräfte (2) Th. u. u. infolge Selbstinduction
 mit dadurch Massenverdrängung; z.B. Electrodynamen; andere Folie

in d. Luft; Bestimmung zur Messung von Inductionsl. u. u., dann

zur Bestimmung der Wechselzahl bei Wechselströmungen sowie überhaupt der Form
 der Wellen.

Temperatur, welche durch Eisbildung erreicht wird.



I. z. ~~z~~ Totale abfließende Wassermenge = abgeschmolzene Menge
 l = totale Schmelzwärme

$$\int_0^z 2\pi r u dz = - \frac{2\pi}{l} \int_0^z \left(\frac{d\theta}{dz} \right) K r dz$$

in den soll
 muss überall gleich groß sein, wenn sich die Form der Eisoberfläche nicht

$$= - \frac{\pi r^2 K}{l} \left(\frac{d\theta}{dz} \right)_{z=z}$$

$$d) \int_0^z u dz = - \frac{\pi r K}{l} \left(\frac{d\theta}{dz} \right)_{z=z}$$

$$\left[\text{Gesamnter Wärmestrom} \quad R \pi K \frac{d\theta_0}{dz} \right] = R^2 \pi K \left(\frac{d\theta}{dz} \right)_{z=z} + 2\pi R \int_0^z u_R c \rho dz \cdot \theta_R$$

$$b) K \frac{d\theta_0}{dz} - K \left(\frac{d\theta}{dz} \right)_z = \frac{2}{R} c \rho \int_0^z u_R \theta_R dz$$

$$u \frac{\partial u}{\partial x} + v \frac{\partial u}{\partial y} + w \frac{\partial u}{\partial z} = - \frac{1}{\rho} \frac{\partial p}{\partial x} + \frac{\mu}{\rho} \nabla^2 u$$

Einfachere Annahme: V-Dimensionen

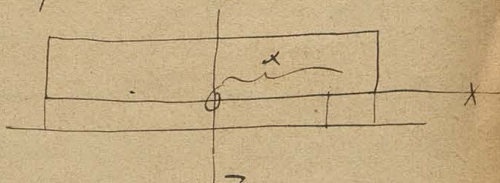
$$u \frac{\partial u}{\partial x} + w \frac{\partial u}{\partial z} = - \frac{1}{\rho} \frac{\partial p}{\partial x} + \frac{\mu}{\rho} \nabla^2 u$$

$$I) \frac{\partial u}{\partial x} + \frac{\partial w}{\partial z} = 0$$

Grenzebedingungen: für $z=0$: $u=w=0$

$$\text{für } z=z: u=0, w = \text{const.} = \frac{K}{l} \left(\frac{\partial \theta}{\partial z} \right)_z$$

$$\text{für } x=X: p=0$$



(Lösung mittels I und II;
 Umwandlung der Koordinaten auf Zylinderkoordinaten)

$$III) \frac{\partial \theta}{\partial x} u + \frac{\partial \theta}{\partial z} w = \frac{K}{\rho c} \nabla^2 \theta$$

z ist gegeben für $\theta=0$

Grenzebedingungen: für $z=0$: $K \left(\frac{\partial \theta}{\partial z} \right)_0 = K \frac{d\theta_0}{dz} = \text{const.}$

$$z=z: K \left(\frac{\partial \theta}{\partial z} \right)_z = \text{const.} = \frac{l}{X} \int_0^z u_x dz$$

Wärmeleitfähigkeit von Fuchstreffen, Watte etc. Kampf etc

1. von der Dicke der Luftstossescheit und deren ~~Werte~~ κ .
2. von der Feinheit der Verteilung derselben; das beeinflusst die Reiz des Gases und verhindert die Störungen.
3. von dem Gase κ
 - a) Reibungscoefficient
 - b) spec. Grav.
 - c) spec. Wärme

Grundsätzlich unterteilt man nach der Dicke des Stoffes; viel mehr maßgebend ist der Widerstand, welchen einem Luftstrom (Durchblasen) begegnet.

Ponderomotorische Kräfte auf Körper in elektrisch durchströmten Flüssigkeiten. Convectionsströme. (Electrolyse?)

Infolge Thomson-Effekt muss in einem einzigen ungleichförmig temperierten Leiter Potentialunterschied bestehen. Nachweis d. 2 verschiedenen temp. Platten aus demselben Metall aneinandergesetzt aber so dass nur Berührung in einigen Punkten; dann auseinander und Uebertemp. (\rightarrow Conductor)

~~hervor~~ Ponderomot. Kräfte welche auf die Elektroden bei Electrolyse wirken.

Ad Eruckenbildung.

84

81

Wenn Elek durch Luftstrecke strömt, entsteht infolge des eigenen magnet. Kraftfelds eine cyclische concentrische Luftströmung.

Falls Strom stationär werden könnte und auf Cylinder von Radius ρ beschränkt von



angenommen: gleichmäßige Stromdichte

$$\text{curl } \mathcal{L} = \frac{4\pi k}{v} \mathcal{L} = \frac{4\pi}{k} \frac{J}{\pi \rho_0^2} = \frac{4J}{k \rho_0^2} = \text{const.} = 2\tilde{u}$$

$$\mathcal{L} = \tilde{u} \rho_0 + V \tilde{u} r$$

$$\mathcal{L} = \frac{2J}{k \rho_0^2} \cdot \frac{1}{2} k \frac{r^2}{\rho_0^2} \text{ innerhalb } \rho_0 \quad \text{und} \quad \mathcal{L} = \frac{J}{k} \text{ aussenhalb } \rho_0$$

aussenhalb:
$$V = \int_{\rho=\rho_0}^{\rho} \frac{J}{k \rho_0^2} \frac{\rho d\rho d\varphi}{V \sqrt{r^2 + \rho^2 + 2\rho r \cos \varphi}}$$

Druck proportional $\frac{J^2}{\rho_0^n}$

~~$\mathcal{L} = \frac{J}{k} \frac{r^2}{\rho_0^2}$~~ \int angewandt $\mathcal{L} = \frac{J}{k^2}$

Angewandt/Annahme: $\mathcal{L} = \frac{J}{k} \frac{r}{\rho_0} \text{ bis } r = \rho_0$
 $= \frac{J}{k^2} \text{ innerhalb}$

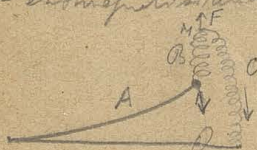
Diese Strömung induziert selbst wieder electromot. Kräfte (innerhalb an der Oberfläche, welche den ursprünglichen entgegen gesetzt sind); prop J^3

Wenn man die Correactur infolge derselben berücksichtigt, so Δ Druck $\propto J^4$
 Δ Elektr. Kraft J^5 etc. = successive Annäherung durch Rückwirkung; die Herleitung Gleichungen sollten die volle Lösung geben.

93

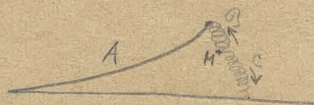
Mechanische Analogie von remanenten Magnetismus:

* Feder A verschiebt sich nicht Reibung des Induktor, Feder D wirkt W. von der äußeren Kraft gegenwärtig und zieht eventuell den Induktor von A nach sich; Feder C = entmagnetisierende Kraft, steht im Ruhebezugsraum.



im Moment der stetig angewachsen

äußeren Kraft F



wenn äußere Kraft wieder = 0

Verlorene Energie bei einem Zykel = Reibungsarbeit von A = $\mu \int dx$ AO

das ist immer hinreichend, da sich hier Zykeln wenn sehr klein, ohne Bewegung von A ausführen lassen, und gerade dann ist dissipierte Energie am größten

Lesen sich so umgehen, dass resultierende W. Leistung = $\sum_{-\infty}^{\infty} \dot{x}$ von sehr vielen solchen Apparaten besetzen die ~~Änderung~~ Feder wirkt der Reibung nach 0 und es resultiert

Aufsteigender Ast: $E X + R \dot{x} = \eta (x - X)$
(beruht im Zykel) $\eta (x - X) + \epsilon \dot{x} = F$

$$X = \frac{\eta x - R}{E + \eta} = \frac{(\eta + \epsilon)x - F}{\eta}$$

$$\dot{x} = \frac{F - \eta x}{\eta + \epsilon} \quad \eta^2 x - \eta R = (\eta + \epsilon)(\eta + E)x - (E + \eta)F$$

$$x = \frac{(E + \eta)F - \eta R}{\eta(\epsilon + E) + \epsilon E}$$

bis F_1 :

~~Magnetismus~~

~~Magnetismus~~

~~Magnetismus~~

$$\dot{X} = \eta \frac{(E + \eta)F - \eta R}{\eta(\epsilon + E) + \epsilon E} - R$$

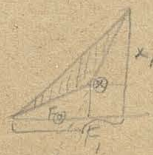
$$= \frac{\eta F}{\eta(\epsilon + E) + \epsilon E} - \frac{R(\eta(\epsilon + E) + \epsilon E)}{(E + \eta)}$$

ps

Kubere Energie

I). falls $F_1 < R \frac{E+\eta}{\eta}$ $v = 0$

falls $F_1 > R \frac{E+\eta}{\eta}$ $v = f \text{ mal}$



$$\alpha = \frac{R}{\eta}$$

$$F = R \frac{E+\eta}{\eta}$$

$$(VE) = \frac{F_1 x_1}{2} - \frac{F_0 x_0}{2} - \cancel{\frac{(F_1 + F_0)(x_1 + x_0)}{2}} - (F_1 - F_0)x_0 -$$

$$- \frac{(x_1 - x_0)(F_1 - F_0)}{2}$$

$$= \frac{1}{2} (F_1 x_1 - F_0 x_0 - 2F_1 x_0 + 2F_0 x_0 - \cancel{x_1 F_1} + x_0 F_1 + x_1 F_0 - \cancel{x_0 F_0})$$

$$(VE) = 4(x_1 F_0 - x_0 F_1)$$

$$= \frac{1}{2} (2x_1 F_0 - x_0 F_1)$$

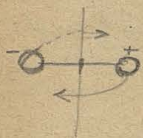
$$= \frac{(E+\eta)F_1 - \eta R}{\eta(E+\eta) + \eta E} R \frac{E+\eta}{\eta} - \frac{R}{\eta} F_1$$

$$\int_0^{\frac{\eta F_1}{E+\eta}} \left[\right] dR = \text{prop. } F_1^3 !$$

! also = transfall nach L. Rayleigh

Des Electrolysen einen Wirtel in der Flüssigkeit um die Kathode
86
richtung als Ase erzeugen! Muss der Effect eines Kreisstromes somit
an magnetisches Feld in der Richtung des Stromes erzeugen! Würde Ross
Feld, denn negative Pole machen dieselbe Bewegung; Stromlinien fließen gerade
geben eine Abkennung der Geschwindigkeit der Ionen!

Theoretische Behandlung eines Mediums welches ein (Rotation)skörper
mit entgegengesetzter \pm elektr. Ladung besteht und welche man
eine darauf \perp Ase notiren!!



Welchen elektr. und magn. Feld produziert ein solcher Convector
Strom, welche Schwingungen, von deren Kraft infolge magnet.
oder statisch. Feldes, ist Erklärung des Reparatoms. Strahlung?
Nep. Körper müsste circular polaris. Lichtstrahl?

Abhängigkeit der Funkenentladung und Electric. Leitung von Gas von
der Temper.

Resonanz zwischen Röhre und Stromwechsel.

Funkenentladungen in Flüssigkeiten und festen Körpern.

Theoretischer Beweis und Verbesserung der Formel von Trumler:

$$\text{Verdampfungs-wärme} = (\text{Schallgeschw.})^2$$

Electrolyse von Eisenverbindungen im magnet. Felde!

Obstehige Theorien der anomalen Dispersion etc. behandeln die absorbierenden Medien als aus Molekülen zusammengesetzt, welche gewisser Eigenschaften fähig sind; richtiger wäre voranzusetzen, dass sie dieselben auch wirklich ausführen (wenigstens theilweise als Wärmestrahlung); die Modifikationen derselben infolge äusserer Bestrahlung! Würde die Erscheinungen der Fluorescenz und Phosphorescenz nicht folgen!

Die Wärmestrahlung übt auf Phosphorescenz eine auslöschende Wirkung aus (infolge Erwärmung schnelleren Ablauf). Vielleicht würde man viel mehr phosphorescierende Substanzen finden indem man sie auf tiefen Temperaturen bringt und vor gewöhnlicher Wärmestrahlung schützt.

Ad Turbulenz: Wie wirkt die Reaction des Dampfes infolge Strömungs geschwindigkeit auf den Druck zurück? Arbeit infolge davon.

Ausführung der Äquivalenz zwischen Zerstörung und Convection.

Convection vom Standpunkt der kinetischen Gastheorie; Stromwärme = $\rho c_p \Delta T$.

~~Wird~~ Erfordert dass in Convection Strom auch durch Kraftlinienveränderung dynamoelektr. Ströme inducirt werden; Entstehung derselben?

Wird die Leitungs fähigkeit von Elektrolyten beeinflusst durch ultraviolette Durchstrahlung?

Kann in Abhängigkeit der Elektrolyt fähigkeit gemindert werden, wird Leitungs vermögen gestärkt
 " " feste Körper " " " elect. Rückstandbildung "

Ist da kein Zusammenhang?

Ist ein prinzipieller Unterschied zwischen metallischer oder elektrolytischer
Leitung und der Leitung in Dielektrika?
87

Untersuchung der ^{geladenen} Zerstäubung von Körpern durch ultraviolette Licht und
voransicht auch Röntgen Strahlen.

Kapitel Berechnung der Größe der Theile aus messbarer Menge und ^{elektrischer} Ladungsmenge

Direkter Strom infolge Thomson-Effekt durch Beobachtung eines ungleichförmig
erwärmten Leiters.

Ist nicht der Unterschied zwischen $+$ und $-$ Aufladung in Gasen R.
größtentheils erklärbar durch Druckdifferenz der Luft analog wie
Stromungs-Ströme in engen Röhren? Gibt es elektrische Endosmose
bei Gasen? ^{Wird mit solchen nachweisen lassen, die innere Erklärung: Stromungsströme}
deffen sehr leicht! Messungen!

Wenn magnetische Kurven nicht zwischen ^{über B} $H = +a$ und $-a$ sondern
zwischen $b+a$ und $b-a$ durchgeführt wird ~~was~~ bleibt bei Wiederholung
die Curven dieselben? Wenn ja, entspricht jedem Punkte im
magnetischen Diagramm ein Paar von Curven, eine für aufsteigende, ^{die} ~~ein~~
^{zweite} ~~erste~~ für abnehmende Magnetisierung (sothwendigerweise?).

Momentener magnetischen Zustand und äußeres Feld somit ausdrückbar
durch ^{die} 2 Parameter der Curvenschearen. ~~ist~~

Höchstwahrscheinlich nur annähernd richtig, weil entschieden von Zeit abhängige lang-
same Änderung. Messung derselben! Abhängigkeit von der Indemngsgeschw. von H !

Mathematische Darstellung der Hypothese Jäger: Molec. = Flüssigkeitstropfen
 Elasticität kräfte des Stoffs würden ersetzt durch Capillarkräfte; diese
 wieder durch innere Attraction? Was würde die Schwingungsdauer dieser
 Tröpfchen sein? [Vergleiche auch: L. Rayleigh Proc Roy Soc. 196 95 79]

Werden Schallbewegungen bei hinreichender Verdünnung ^{in Gasen}aperiodisch infolge
 innerer Reibung? Oder nicht Körper?

Electrisierung von Dielectrics analog L. Kelvin's Versuche über
 Electr. der Luft.

Opt. experiment: Licht Unterschied zwischen + und - Pol in Gasen Röh-
 ren auf innerem Druck unterschied der Luft

Schwingungen von Membranen (resp. Platten) in ~~der~~ ihrer Ebene
 kugelförmige Membran (Platte)

Erfordert die Selbstelectrisität Erklärung durch Molecularelektrizität?

Elektrische Theorie der Gase, der Körper möglich? So wie konstante
 Lichttheorie durch elektromagnet. ersetzt wird.

~~Die Bewegung~~ Wie viele Punkte eines ^{electrisch} bewegten Körpers können die
 Geschw. und Richtung ihrer Bewegung nach gegeben sein, um die Bewegung
 an einer Stelle zu definieren? (Voraussetzung nicht unendlich klein)

1) für ~~statische~~ Körper Punkte: 1 wellk.

74

2) Linie (Gerade)	2 willk. Punkte	Stärke 2 willk. + 1 weitere Bedingung	88
3) Fläche	3 willk. Punkte	Stärke 3 willk. + 2 weitere Bedingung	88
1) Punkt	1 willk. Punkt	Stärke 1 willk. + 1 weitere Bedingung	88
2) Linie	2 " "	2er " welche auf derselben liegen, definiert durch fortwäh. Bewegung drehende "	$\alpha \beta \gamma$
3) Fläche	3 Punkte; fortwäh. Bewegung drehende	$v = \alpha i + \beta j + \gamma k$ $\xi = \xi_1 i + \xi_2 j + \xi_3 k$	$\alpha \beta \gamma$
4) Körpergehalt	4 Punkte; drehende	$\xi_1 \xi_2 \xi_3 ?$	$\xi_1 \xi_2 \xi_3 ?$
Stärke Gebilde			
1) Punkt	1 willk. Punkt	Stärke 1 willk. + 1 weitere Bedingung	88

I. Wenn Punkte auf Linie etc. glidentend festgelegt werden, somit dass

Bestimmung der Richtungsgrößen
Bewegung kann dargestellt werden
Minimal bedingte Punktlagen

1) Punkt	1 beding. Punkt
2) Linie	2 " "
3) Fläche	3 " "

ergibt	(Wenn Befragte liegt)
1. Minimale Translation	zur Bestimmung nötige Bewegung
1. Minimale Translation	(nötige Bewegung) $\alpha \beta \gamma$
1 Translation	kleinste Entfernung in der Richtung zweier folgender windschiefer Geraden $\alpha \beta \gamma$
1 Drehung	um diese Entfernung $\alpha \beta \gamma$
1 Drehung	um eine Seite in ihrer Ebene $\alpha \beta \gamma$

Starre Schilde (begehrte)

1. Punkt	1 ^{bel.} Punkt	1 Transl. 1 Punkt $a \propto \beta$
2. Strecke	2 Punkte mit 1 Bedingungsst.	2 Transl. $a \propto b \propto$ 1 Drehung $\xi \propto x$
3. Flächenstück	3 Punkte mit 3 "	1 Transl. 2 Drehungen
4. Körperstück	4 " " 6 "	

daher gibt es Kräftegestirne die den Körper in Ruhe lassen obwohl Kräfte $\neq 0$ sind

Elastische Schilde

1. Punkt	1 bel. Punkt	1 Transl.
2. Strecke	2 " "	2 Transl. 1 Drehung 1 Scherung
3. Flächenstück	3 bel. Punkte	1 Transl. 2 Drehungen 2 Scherungen 1 Scherung
4. Körperstück	4 bel. Punkte	1 Transl. 2 Drehungen 3 Scherungen 3 Scherungen

ein Elementortetraeder des Körpers
~~ein Flächenelement~~

Damit also ein elast. Körper in Ruhe bleibt sind 12 Bedingungsgrößen
zwischen den ⁴ wirkenden Kräften notwendig (in dgl.) einzuführen
daher diese vollständig bestimmt; müssen $\neq 0$ sein

Speziellförm: $\text{Compress.} = 0$ Tordierbarkeit $= \infty$

$\text{Compress} = 0$ Tordierbarkeit $= 0$

$\text{Compress} = \infty$ Tordierbarkeit $=$

Fliehykkeit

starre Körper

Körper in welchen durch elektr.
Strom Wärme erzeugt wird

Wärmefluss kann unter Umständen die Viskosität haben

nämlich wenn $\frac{\partial}{\partial x} \left(K \frac{\partial u}{\partial y} \right) \geq \frac{\partial}{\partial y} \left(K \frac{\partial u}{\partial x} \right)$

also wenn $\frac{\partial K}{\partial x} \geq \frac{\partial K}{\partial y}$

Kann man eine Lösung von $\Delta V = 0$ in zweidimensionalen Gebieten sein, kann
man nicht daraus eine solche für Rotationskörper ableiten?

Kann die Transformation von Schwarz (cong. für J.J. Thomson)
nicht auf Curven + Polygone mit 12 Seiten ausgedehnt werden?

Potenzreihen, geordnet nach: $x^m \quad x^{\frac{m}{2}} \quad x^{\frac{m}{3}} \quad x^{\frac{m}{4}} \dots$

und Fourier's Pot. nach: $\varphi \quad \frac{\varphi}{2} \quad \frac{\varphi}{3} \quad \frac{\varphi}{4} \dots$!

Kann man eine Formel aufstellen welche die ponderomotor. Kräfte in einem
Strom durchfließenden Leiter ergibt, ohne vorherige Berechnung der Ströme voraus-
zusetzen?

Ist es nachgewiesen, dass irgendwelche Körper (jedenfalls nur Dielektrika möglich)
eine Volumendichte der elektr. Ladung annehmen können? ~~Zunächst~~

Es scheint, dass Gase sich nicht laden lassen (?), beruht das auf ihrer
Nichtleitbarkeit für schwache Potentialdifferenzen (?); auch umgekehrt. ?
Was ist mit anderen Dielektrika?

Unternehmung folgen dem Felles: ^{im electr. Felde}

Electrische Flächenladung entsteht an der Grenzfläche eines Conductors gegen Isolator; offenbar auch wenn letzterer nicht vollkommen isolierend, so lange bis Ausgleich stattfindet. Somit auch bei plötzlicher Feld-Änderung an jeder Grenzfläche von Conductoren mit verschiedener Leitungs-fähigkeit, somit auch im Inneren von Conductoren mit continuirlich wechselnder Leitungs-fähigkeit.

An der Grenzfläche zweier Körper v. Dielectrica (nicht vollkommen) lassen man eine solche Ladung entstehen; wenn diese nun in einander diffundiren, was geschieht? Einfluss auf Capillarität? Umkehrung??

Prinzip zur Erklärung von Linienspectren etc.

Es ist nicht nöthig anzunehmen, dass ^{jedes} ein Molec. resp. Atom an sich nur die betreffenden ~~sehr~~ Wellenlängen aussenden kann. Viel wahrscheinlicher dass alle bei Schwingungen stattfinden, dass aber bei genügender Freiheit und Zeit denselben zur Ausbildung dieser Erscheinung eine gegenseitige Einwirkung herbeiführt. Molec. auf einander stattfinden so dass nur gewisse ^{vorherrschende} Töne durch Resonanz verstärkt werden, also gegenseitige Fluorescenz im Inneren des ~~festen~~ Körpers. Analogie: ~~ähnliche~~ Pendeluhren welche & nur geringe Unterschiede in Say haben, werden genau synchron wenn nahe einander gestellt. Versuchsbeh.

J. J. Thomson zeigt dass ~~die~~ electrostatische Schwingung auf einer gut leitenden Kugel sehr rasch gedämpft werden; was wenn Kugel ausserdem

translatorische Vibrationen anspricht (den Parallelen in einfachen Verhältnissen).

90
Berechnung der Eigenschaften ~~und~~ des Feldes etc. erzeugt durch a).
eine im Kreise bewegte geladene Kugel ρ . Vibrationen derselben
b). ein entgegengesetzt geladenes Kugelpaar, rotierend um Mittelpunkt.
Wäre letzteres nicht verwertbar als Grundlage zur Theorie des Magnetismus
anstatt der Ampère'schen Molekularströme. Des letzteren müsste
Energie durch Zitterung verbraucht werden (da Strom Verwirrung von E. voraus-
setzt). Bei erstem durch ρ Erzeugung von electr. Wellen. Könnten diese
nicht als (Wärmestrahlung) interpretiert werden? (Sicherung des P. Eben)

Die Maxwell'schen Gleichungen enthalten H, da aber umgekehrt Magnetismus
nicht ~~mit~~ bestehen kann ist die Einführung einer Kraft welche
~~aus~~ durch Einheitspole definiert ist, inactionell. Kann dafür etwas
besseres substituiert werden? Am besten H eliminieren und bleibt
 E, K, μ behalten; dann erst ^{mit} diesen electrischen Gleichungen ~~eine~~ Theorie
des Magn. aufstellen?

W. Thomson behauptet, die kinet. Energie von ~~elektischen~~ Bewegungen
elektischer Atome müsste mit der Zeit in rein vibratorische übergeh.,
beweifle dies; Rechnung!

Temperatureinfluss auf μ der schwach magnetischen Körper.

Haben magnetische etc. Kräfte keinen Einfluss auf Spectrum v. von Gittern etc.

Wenn es schon Magnetismus gibt, so müsste ein magnetischer Convections-
strom herstellbar sein, welcher electrost. Feld erzeugt müsste.

Röntgen'scher und Rosland'scher Versuch mit electr. rotirenden Platten:
Rotationsachse parallel zu Inclinationsrichtung; denn die isolirten
Trennungsstücke in den Platten nicht nöthig.

Unipolare Induction: Was wenn Magnet ersetzt durch Solenoid
mit Eisen oder Kupferkern, verschiedene Art von P. Rotation.

Die ponderomotorischen electromagnetischen Kräfte sind genau geprüft
nur für statische Zustände; sind ~~in~~ ⁱⁿ ~~den~~ ^{den} Formeln genau richtig für
gegenseitige und sonstige Bewegung?

Übertragung der Behandlungsweise von mittelst Kraft- und Inductions-
Linien etc. auf Wärmeströmung! An Grenze zweier Körper; gilt es auch
Thermoelectr.?

Energie Prinzip ist nur Scalar Gleichg.; Entropie-Prinzip ebenfalls?

Was ist volle Dimension von T ; warum wird es mit ^(der transl. Beweg.) lebendige Kraft
identifiziert?

Gilt es Wärme-Fluorescenz?

Ein Theil der Abweichungen von der Van der Waals'schen ^{Formel 91} ~~Gleichung~~
kann durch Einfluss des Körpers erklärt werden, in welchem das untersuchte
Gas sich befindet; bisher immer Glas, wie vom Oel etc.?

Einfluss von Mantel auf Entladung, besonders in Gas mit Poren

Ist Coppebant's Constante vom Druck unabhängig??

Probleme aus Elastizitätstheorie etc.; auf äussere Oberfläche müssen wirken

1. ~~senkrechte~~ Drücke in der Richtung der Normalen
2. Scherungen senkrecht darauf (ist gleich fließende Kraft darauf ^{zwischen} _{zwei} ^{Torsions} _{Flächen})
3. Torsionende Kräfte (Normalen als Rotationsachsen)

ist 3. realisierbar?

Belasteter Körper; in welchem Punkt ist Torsionsmoment am grössten,
und von welcher Art?

Thomson's Idee: Für Suspensionen welche geringe Torsion im Verhältnis
zur Tragkraft erfordern ~~welcher~~ ^{ist} Kreisquerschnitt ungünstig; welcher
ist ^{am} besten?

Analogie zwischen Magnetismus und Elastizität: Ewing erklärt die
Remanenz und Hysteresis ohne Resonanzkräfte etc.; wie würde sich eine
dementsprechende Erklärung von elastischer Nachwirkung gestalten?

Einführung polarer und sphärischer Coordinaten in Hydrod. Gleichungen

Energiedichte = ρ (da ρ Arbeit im $\text{Einfachheit} = \rho$)

gründet sich darauf dass keine Energie verschwinden kann.

gegeben: Zu oder Abnahme (in jedem Volumenelement als fkt.)
der skalaren Energie

$$\text{div } \vec{P} = -\frac{dE}{dt} = \frac{l^2 m t^{-3}}{l^{-1} m t^{-3}} \quad \vec{P} = m l^3 t^{-3} \quad d\vec{P} = m l^0 t^{-3}$$

Dies gibt noch keine eindeutige sondern ∞ vieldeutige Lösung, weil über

curl \vec{P} nichts ~~ang~~ ausgesagt wird. Somit:

$$E = \int \vec{P} dV$$

$$\vec{P} = \nabla \frac{1}{4\pi} \int \frac{dE}{dt} \frac{d\vec{r}}{r} + \text{curl } \vec{A} \quad \text{Vektorpotential}$$

Spezieller Fall: Wärmeleitung

Einstweilen wohl auch noch
unbekannt!

$$\frac{dE}{dt} = c \frac{d\theta}{dt} = \frac{\partial}{\partial x} (k_1 \frac{\partial \theta}{\partial x}) + \frac{\partial}{\partial y} (k_2 \frac{\partial \theta}{\partial y}) + \frac{\partial}{\partial z} (k_3 \frac{\partial \theta}{\partial z})$$

$$\text{bei } k_1 = k_2 = k_3 = \text{const}$$

$$= \frac{\partial}{\partial x} (k \frac{\partial \theta}{\partial x}) + \frac{\partial}{\partial y} (k \frac{\partial \theta}{\partial y}) + \frac{\partial}{\partial z} (k \frac{\partial \theta}{\partial z}) = \text{div} [k \nabla \theta] = k \nabla^2 \theta (?)$$

Wenn $\nabla^2 \theta = f(t) = 0$ so hat man Lösung

$$\vec{P} = \nabla A + \text{curl } \vec{A} \quad \text{wobei } A \text{ eine Lösung der Gleichung sein}$$

$$= k \nabla \theta =$$

muss: $\nabla^2 A = 0$; A aber unbestimmt ist

wenn man k als Skalar auffasst, dann ist die übliche Annahme $\vec{A} = 0$
berechtigt; nicht aber wenn k ein Vektor ist! Beschreiben also \vec{A} !

$$\text{curl } k \cdot \nabla \theta + k \text{curl } \nabla \theta = \text{curl } \nabla A + \text{curl}^2 \vec{A} = (\nabla \text{div } \vec{A}) - \nabla^2 \vec{A}$$

$$\vec{A} = \frac{1}{4\pi} \int \text{curl } k \cdot \frac{\nabla \theta}{r} dV$$

$$\mathcal{P} = \frac{1}{4\pi} \frac{d}{dt} \int \nabla E \frac{dw}{r} + \text{and } \mathcal{R}$$

92

$$\rightarrow \frac{d}{dt} \iiint_{-\infty}^{+\infty} E dw = \iiint \operatorname{div} \mathcal{P} dw = 0$$

I Wenn bloß kinetische Energie merklich ist

$$\mathcal{P}_1 = \rho \frac{v^2}{2} \cdot v \quad (v \text{ constant}) = \text{convective Energiefluss}$$

10. Ein Körper bewege sich von A nach B

Dann ist durch jeden einen beliebigen Querschnitt zwischen A und B die Energiemenge $E = - \int \operatorname{div} \mathcal{P} dV = \int \frac{\partial \mathcal{P}}{\partial x} dV$ hindurchgegangen

~~11. Angenommen dass~~

$\frac{\partial \mathcal{P}}{\partial x}$ hat nur an der Oberfläche des Körpers einen von 0 verschiedenen Wert

$$\int \frac{\partial \mathcal{P}}{\partial x} dV = \int \frac{1}{v} \frac{\partial \mathcal{P}}{\partial x} dx dy dz$$

$$\int \frac{\partial \mathcal{P}}{\partial x} dx = \rho \frac{v^3}{2} \quad \frac{\partial \mathcal{P}}{\partial x} = \frac{\mathcal{P}_e - \mathcal{P}_i}{\delta x} \quad \int \mathcal{P}_i dV = \dots$$

II Bei Flüssigkeiten an Stellen wo keine äußeren Kräfte wirken kommt

dazu = Druck Energiefluss:

$$\mathcal{P}_2 = \frac{1}{2} \rho v^2$$

Wenn $\frac{\partial \mathcal{P}}{\partial x} = \frac{\partial \mathcal{P}}{\partial x}$

$$v = \frac{x}{t}$$

$$\int \mathcal{P}_2 dV = \int \frac{1}{2} \rho \frac{x^2}{t^2} dt \cdot dy dz =$$

$$= \frac{1}{2} \rho \frac{x^2}{t^2} \cdot \text{Vol.} \quad \text{stimmt.}$$

$$\sim \frac{1}{2} \rho \frac{x^2}{t^2}$$

Wird nicht bei Schwingungen sehr dünner Membranen fester Körper die Capillaritätskonstante derselben von Einfluss sein und sich berechnen lässt?

Lässt sich Capillarität nicht anwenden für Gase welche dem kritischen Punkte sehr nahe sind?

Dringt nicht bei fluoreszierenden Körpern Bestrahlung mit Fluoreszenz erzeugenden Strahlen eine Temperaturerniedrigung hervor, wenigstens bei Körpern welche der Stokes'schen Regel folgen?

Wärmefluoreszenz!

Polarisation der Ausstrahlung magnetischer Körper nachzuweisen bei schwach magnetisierendem Eisen (ca 700°)

Nach Ewing's molekularer Theorie des Magnetismus muss auch die Geschwindigkeit mit welcher der Zuwachs der magnetisierenden Kraft erfolgt, auf die ~~zuerst~~ dissipirte Energiemenge von Einfluss sein, insbesondere wenn $\frac{dH}{dt}$ so ~~hoch~~ groß, dass die lebendige Kraft der Drehung der Bohlen in Rotation kommt. Schätzung der Größe der magnet. Moleküle? (⊙ Atome?)

Untersuchungen über Torsions-Elast. - Nachwirkung analog magnet. Kreislauf. Im Allgemeinen driften ~~auch~~ Körper auch Volums Nachwirkung zeigen, ausgenommen ~~isotropen~~ ^{der symmetrischen Systeme} Kristalle des ~~entischen~~ Systems.

Ist Wärmeausdehnung fester Körper ein umkehrbares Vorgang? Glaukt nicht. Es muss auch eine thermische Nachwirkung geben.

Der Haupt Unterschied zwischen reibenden und reibungslosen Flüssigkeiten
(falls μ nicht sehr groß ist) besteht in den Grenzbedingungen. Wie würde
Hydrodynamik unter Annahme des Haftens an den festen Körper
sich entwickeln? 93

Lässt sich Elastizität erklären durch die Annahme $(+)$ Atome?

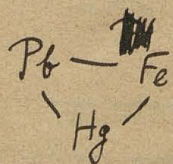
Die Vorgänge in konservativen Systemen sind im Allgemeinen nicht
umkehrbar falls das System mehrere Gleichgewichtslagen besitzt (Lange-
vin's Theorie). Aufzählung der Entwicklung!

Hydrodynamik für Systeme aus mehreren Flüssigkeiten, insbesondere
unter Berücksichtigung der Reibung. [z.B. Luft-Wasser (Wind Wellen)]

In some examples of hydrodyn. of viscous fluids the stream lines
are independent of μ ; is that a general law? In which cases?

A general theory of Resonance-phenomena! In which cases
are produced similar motions by motion of one of similar bodies?

If we form a closed circuit consisting of ~~German~~



the Pb is being dissolved in Hg but not the Fe;
will there be produced a current?

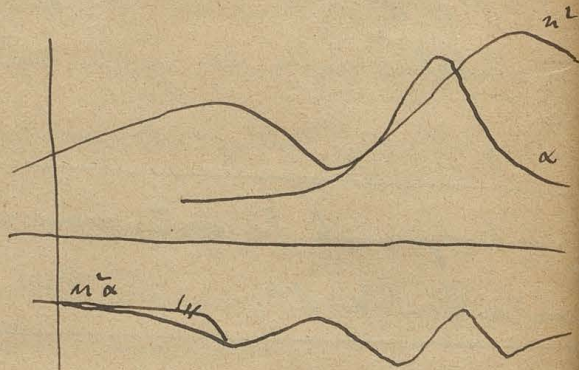
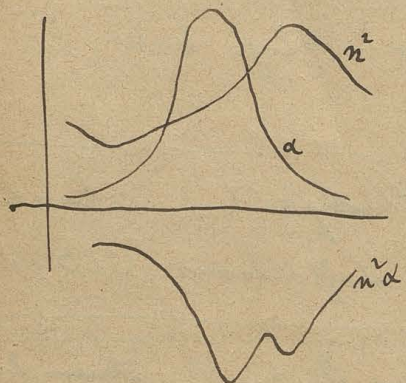
Have flames magnetic effects?

Are there fluorescent gases? Vapours?

Are liquids not made fluorescent when current is passing through them?

Electric Oscillations produced by ^{mechanical} oscillations of charged spheres.
_{and reverse}

Können Spektellinien ~~als~~ wenn doppelt und dreifach, nicht aus der
Fundamentalgleichung erklärt werden: ~~h~~ $\nu \propto e \alpha n^2$



Das würde nur die Annahme der einfachen Absorptionsstreifen erfordern

Zur Frage of Temperatur Steigerung verursacht im Spectroscopie zu
sagen: Platinrohr erhitzt durch Strom oder gelöst auf Verdampfungs-
^{Retorte}
wand (Glas durchgelassen).

Durchscheinend dünne Nickelplättchen erhitzt durch Strom;
Emissionsspectrum! * Absorptionsspectrum!

Deegner'sche Uranium-Strahlen können ihren Ursprung haben nur
in einer Fluoreszenz erzeugt durch gewöhnliche Wärmestrahlung.

Wenn das so ist muss:

94

1). Das Wärmespektrum im gelben Teil viel schwächer sein als das eines schwarzen Körpers

2). Bei Abkühlung des Gl. und der umliegenden Körper müsste die Fluoreszenz durch Abkühlung der Wärmestrahlung verschwinden.

Kann man die im Strom in ~~stark~~ Wärme umgesetzte Arbeit nicht auffassen als herorgebracht durch Reibung der Rohreile wenn sie ~~sehr~~ Kräfte ~~hervorbringen~~ welche nicht verhilflos vertheilt sind. Was würde daraus für ponderomotorische Kraft folgen?

Umkehrbarkeit von Penderspektren!

Umkehrbarkeit von Spectral Linien

Schicht von Dicke x , Temperatur θ ~~ist~~ enthält:

$$\eta \int_0^x e^{-\alpha x} dx = \frac{\eta}{\alpha} [1 - e^{-\alpha x}] = \epsilon_{\theta} [1 - e^{-\epsilon_{\theta} x}]$$

wo ϵ_{θ} = Emission eines schwarzen Körpers

Sie absorbiert von der dahinter emittierenden Menge $\epsilon_{\theta'}$ eines schwarzen Körpers von ~~höherer~~ Temperatur θ' eine Quantität $\epsilon_{\theta'} e^{-\alpha x}$ und lässt $\epsilon_{\theta'} (1 - e^{-\alpha x})$ durch; dies ~~ist~~ und somit relativ

dunkler erscheinen sobald $\epsilon_{g1} > \epsilon_g$ d. h. sobald die Temperatur
 des kontinuierlich strahlenden rückwärtigen Körpers höher ist.

(Kleine Correction vgn. Danvers)

Wenn also thetisch in einem Spectrum Licht von verschiedener
 Umkehrbarkeit vorkommen, so müssen entweder:

1. die dieselben ausser den den Moleküle verschiedene Temperatur haben
 oder
2. die ganze Betrachtungsweise unanwendbar sein, indem das eine
 Fluorescenz Erscheinung bildet.

Versuche mit Eisler Röhre und dahinter gehaltenen electrisch
 erhiteten Platinblech!

Folgt nicht aus Strahlungstheorie dass bei kontinuierlich
 variablen Brechungen da auch eine Absorption stattfindet
 muss?

Einfluss der Gestalt der Electroden auf die Entladung in Gasen
 Röhren. Wie wirken Spitzen-Electroden? ~~Was~~ Was ist der Einfluss
 der Plinischel, Glührohr Entladungen?

Glührohr, Plinischel; Spectrum?, in allen Gasen konstant?
 Was kommt auf Rechnung der Ozonisierung der Luft?

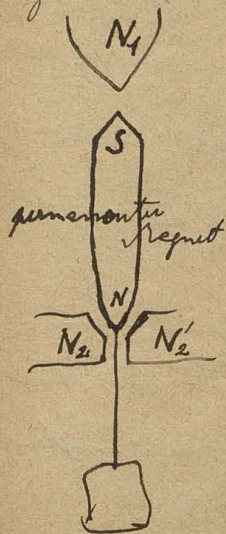
95
Ionisierungs-Phosphoreszenz Spectrum; ~~ist~~ ist Ionisierung
erklärbar als ist (nur umgekehrt) von Electrolyse? Wird dabei Electricität
gebunden? Energie verbraucht? Schwärmwirkung?

Einfluss von Röntgen Strahlen auf Ionisierung in Siemens Apparat

Ist electrochemisches Äquivalent ganz unabhängig von Temperatur?

Dämpfer im electrostatischen oder magnetischen Felde
welche scheinbar dielectric oder mag. Nachwirkung
aufgezeigt werden, müssen infolge der electrischen Nach-
wirkung der mechanischen Kräfte entstehen!

Magnetische Aufhängung frei im Räume



Diese Form ist stabil, wenn $N_1 = N_2 + N_2'$ und $S = N$.

Anwendung: ersetzt isoliren der Stützen (z.B. bei
Experimenten über Dampf-electrolyse etc.)

Bei genauer Ausführung ~~und~~ als torsionsfrei
Suspension. vgl. d. St.

Dampfelectrolyse bei Stromdurchgang infolge Röntgen Strahlen.

Gegen Einströmigkeit von Hg Dampf spricht: dessen Spectrum welches aus 2 Serien zusammen gesetzt ist, dessen ~~electr.~~ ^{electr.} Leitungs-fähigkeit bei höherer Temper. ^{Im Einfluss} nach kinetischen Gastheorie ist falsch. Selbst wenn Ostmann-Hofers Rechnung richtig ist, folgt aus dem Verhältnis $\frac{c}{c_0} = 1.66$ nur dass das Molekül in Dampf auf alle drei Seiten gleich gestreut ist!

Ponderomotive Forces acting on bodies moving in a electrical field. ~~Conductors~~ Waste of energy in conductors; how great is the effect? The attraction of two electrified spheres must depend on the motion which they have already.
Waste of energy by electric deficiency (after effects) | Induced to Faraday's disc!

~~How~~ Can electrolysis not be considered as special case of electric diffusion? See also Oullet. Rev. France d. Ch. III p. 233 on base and acid colours.

Die Vermuthung gewöhnlicher amorphen Körper sind für die Theorie der Elasticität wertlos, da sie aus einem inhomogenen Gemische von Kristallen bestehen. Die gefundenen Electr. Potentiale

96

hängen ab von der Elastizität der Krystalle selbst und der Reibung zwischen den Grenzflächen derselben. Je größer letztere desto vollkommen elastisch ist der Körper und desto geringer werden die permanenten Deflectionen sein. Haben Krystalle elastische Nachwirkung?

Nachmachung von Dystroxis etc. in fest zusammengepackten Eisenspänen.

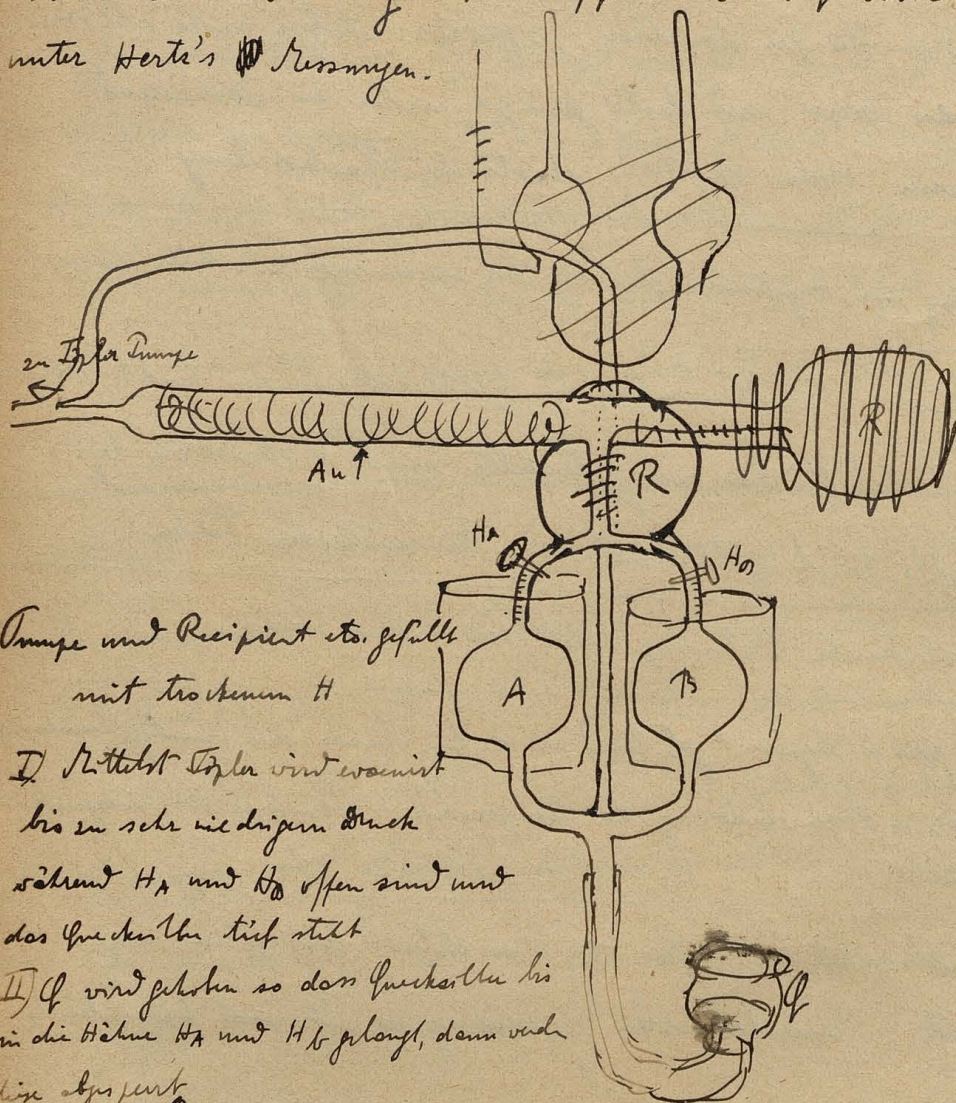
Das durch dünne Metallmembranen hindurchgehende Licht, ebenso wie das von Metallflächen ausgestrahlte, muss - ebenso wie das schon bekannt reflectirte - elliptisch polarisirt sein. Für verschiedene Farben!

Gilt es keine elastische Drehung der Polarisations Ebene?

Wenn Eisen gerade beginnt glühend zu werden, muss dies (analog Zinnem) festgesetzt werden - ohne Änderung der Temperatur - wenn es im magnetischen Felde ist.

Werden die Absorptionsstreifen von Eisen durch Lösung im magnetischen Felde verbreitert? Eisenspannen? Messung der Abs. mit heliometrisch.

Methode zur Messung des Dampfdruckes des Quecksilbers bis weit unter Herte's Messungen.



Pumpe und Recipient etc. gefüllt
mit trockenem H

I) Mittels Exler wird erwärmt
bis zu sehr niedrigem Druck
während H_A und H_B offen sind und
das Quecksilber tief steht

II) Q wird gehoben so dass Quecksilber bis
in die Höhe H_A und H_B gelangt, dann wird
diese abgesperrt

Nun wird A auf $+20^\circ$, B auf -30° gebracht

III). Dann werden B_A und B_B geöffnet und das Quecksilber heruntergelassen
(gelöst bei gleicher Temperatur) bis ~~Druck~~ Druckdifferenz gegen Ständer
herab gelassen und wieder comprimiert bis ~~Druck~~ Druckdifferenz gegen Ständer
messbar wird; Es seien dann in A p_A mm Hg in B p_B bei p_s Druck

So werden Druck in ~~A~~ denselben Gas als es das Gas-Essen A, D erfüllt

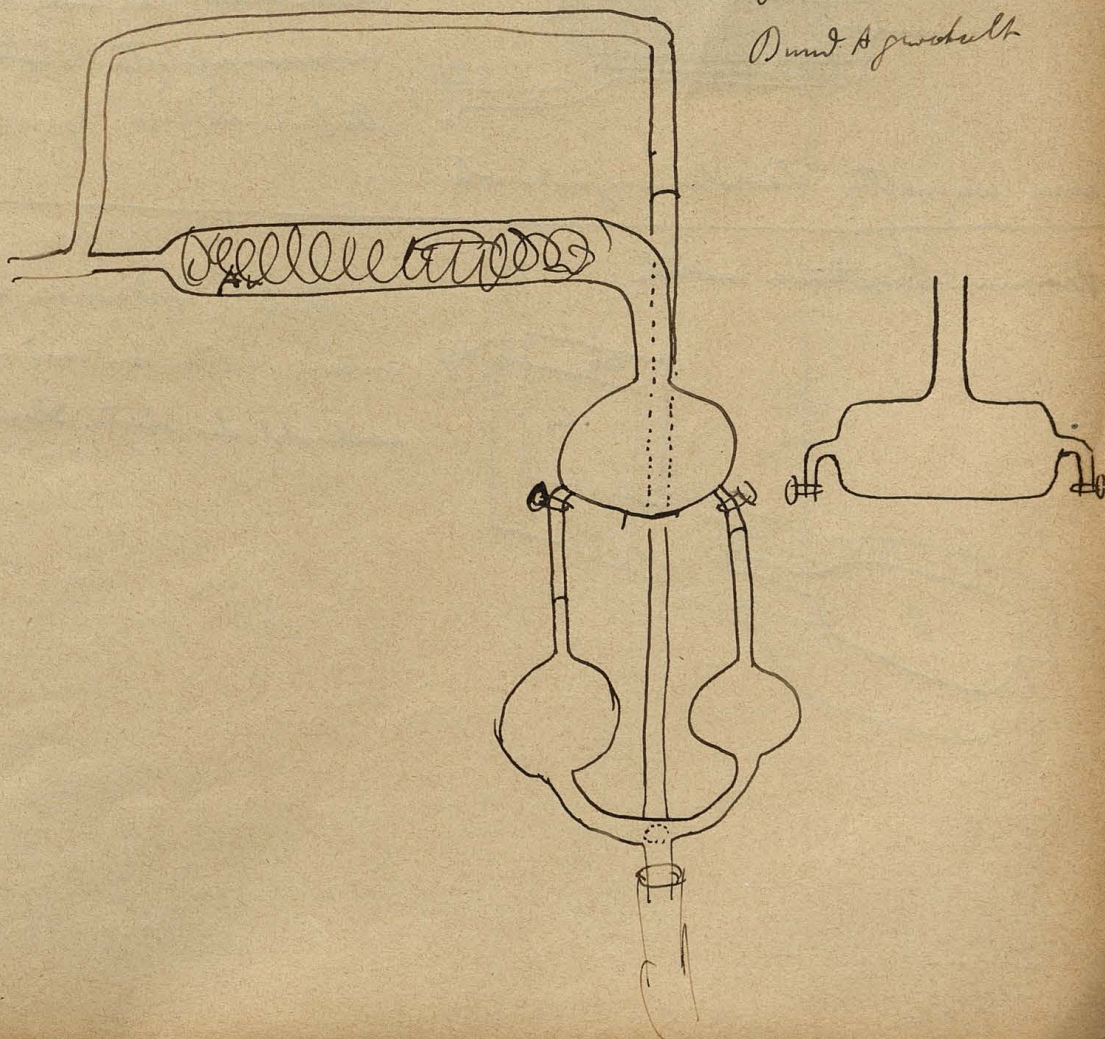
97

$$= \frac{\mu_A \cdot p_s}{v_A} \quad || \quad = \frac{\mu_B \cdot p_s}{v_B}$$

die Differenz dieser Drucke gibt sofort auch die Differenz der Dampfdrucke des Hg bei $+20^\circ$ und -30° !

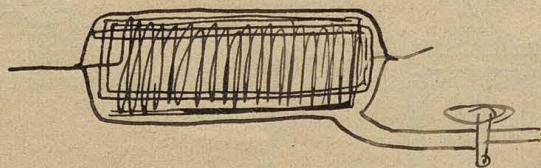
Dabei also am besten wenn der Druck in R beide gleich ist p_{eo}
(aber ja nicht kleiner!)

Gas wird natürlich
Dampf & gewaschen



Bemerkung des Ayons als einströmigen Saug zu Verändern über kinetische
 Gastheorie, besonders ~~der~~ Temperatur Coefficient der Wärmeleitung.

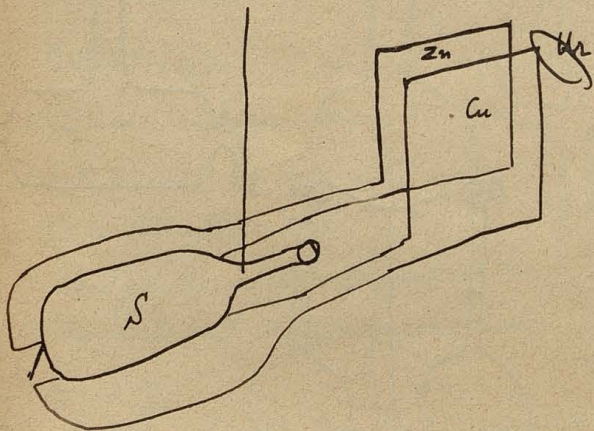
Messung der Intensität von Röntgen- und eventuell auch Uranstrahlen
 auf bolometrischen Wege. Gewöhnliches Bolometer unbrauchbar, weil es
~~sehr~~ wenig absorbierend und viel Luft leitend wird.



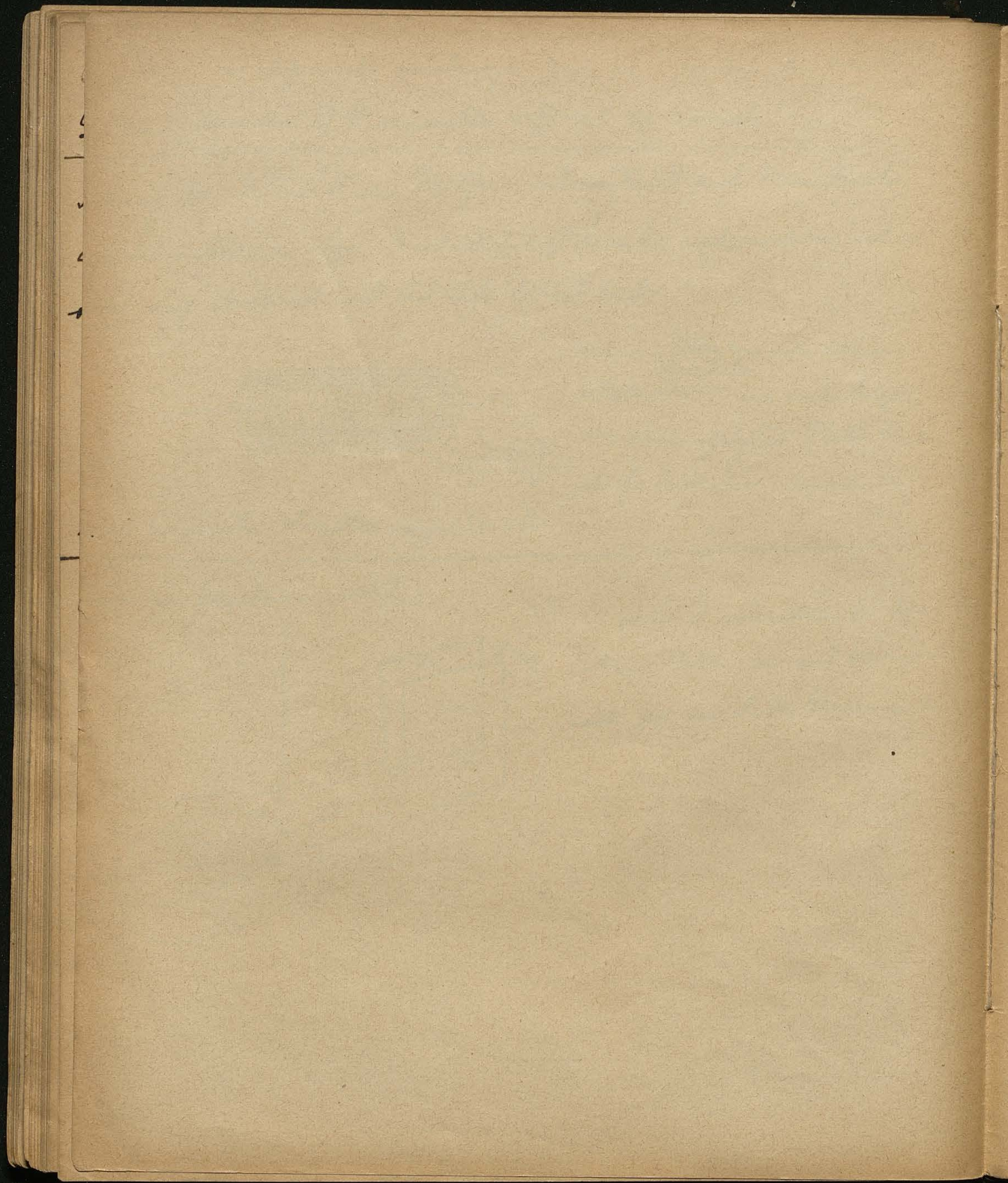
Kleines Gitter aus sehr dünnen
 Platinstreifen
 Platinblech, oder auch langer,
 zusammengelegter Platinblech-
 streifen (noch besser) innerhalb

einer wasserichten Glasröhre eingeschmolzen.

Uranium-Perpetuum mobile:



Stücke S wird zwischen den beiden
 untern Platten hin und herwackeln
 nach Art des electr. Glockenspiels.

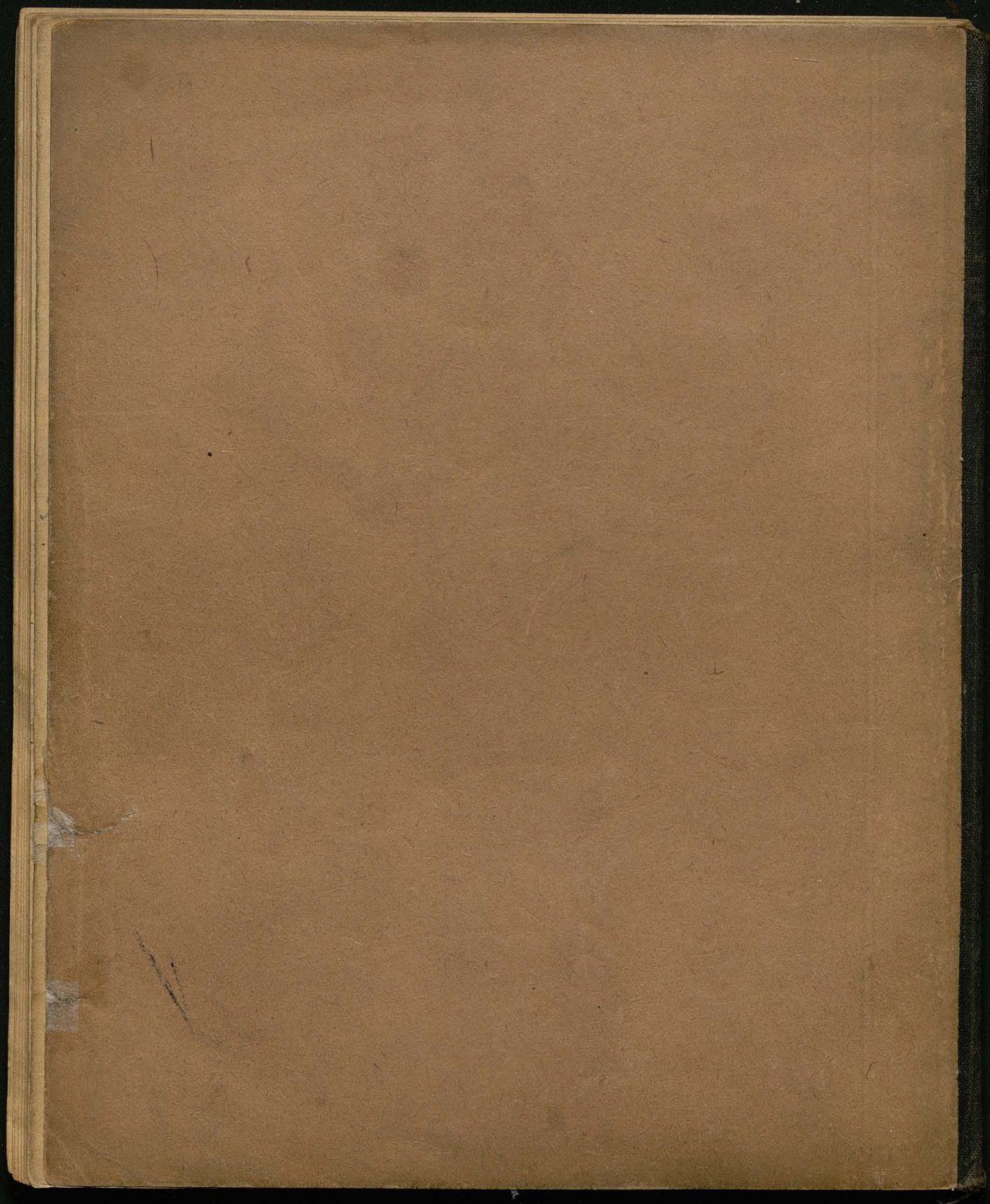


Ponty Electricité Nord, Samedi 1 1/2
Painlevé Optique " Vendredi 3
Königs Cinématique Samedi 1 1/2
Andoyer Mouvement de rotation Jeudi 8 1/2
Fischer Optique ———— Samedi 8 1/2
Poincaré Électricité Lundi, Jeudi 10 1/2
Grand Équ. diff. et alg. Nord, Samedi 10 1/2
Pellat Thermodynam. Jeudi 4

$$\begin{aligned}
 I_1 &= \int_0^1 f(x) dx & I_2 &= \int_{-\infty}^1 f\left(\frac{1}{t}\right) dt \\
 f(x) &= x^{\frac{1}{2}} & x &= \frac{1}{t} \\
 I_1 &= \int_0^1 x^{\frac{1}{2}} dx = \frac{2}{3} & I_2 &= \int_{-\infty}^1 \frac{1}{t^{\frac{3}{2}}} dt = -\infty
 \end{aligned}$$

100

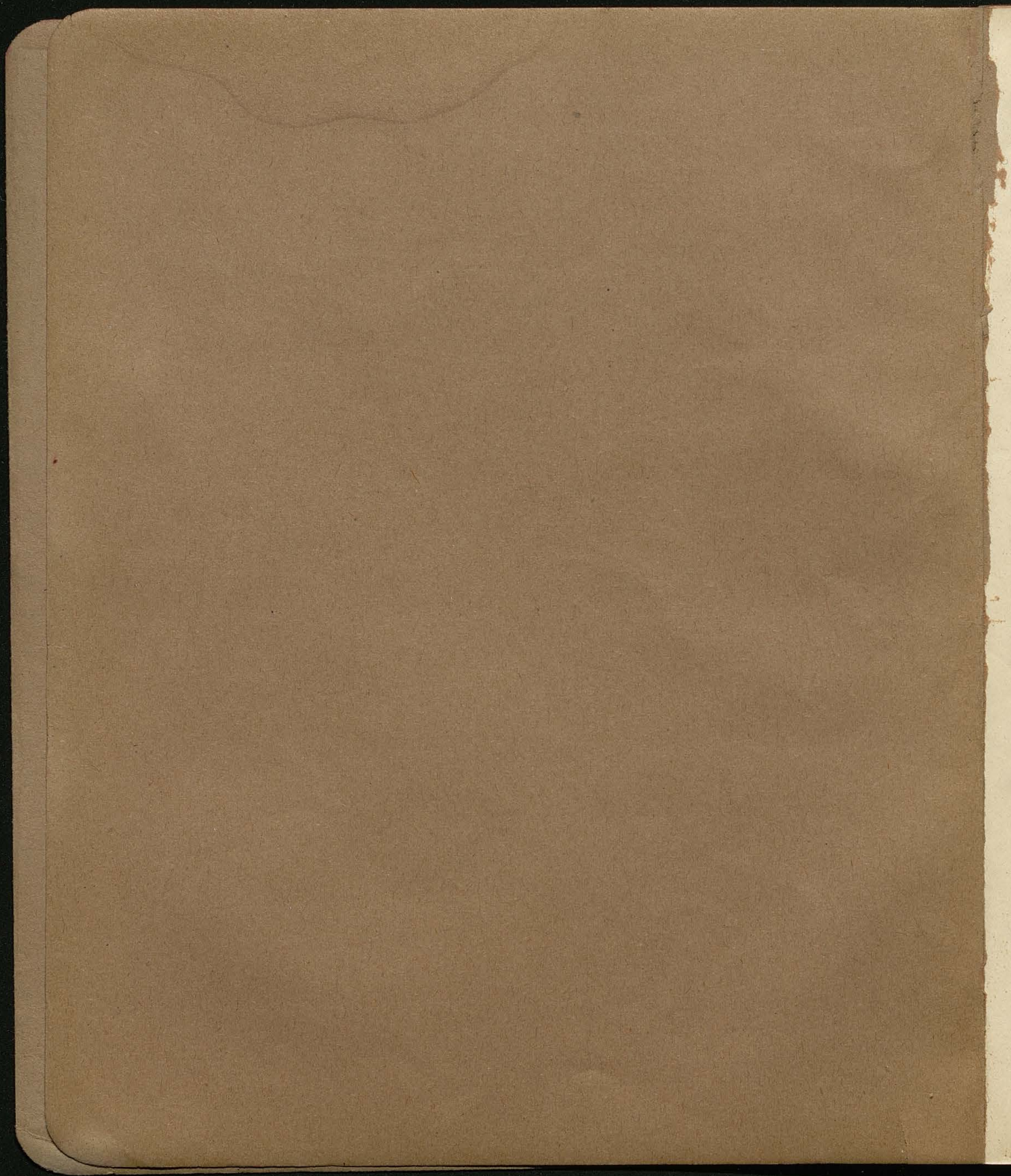
115

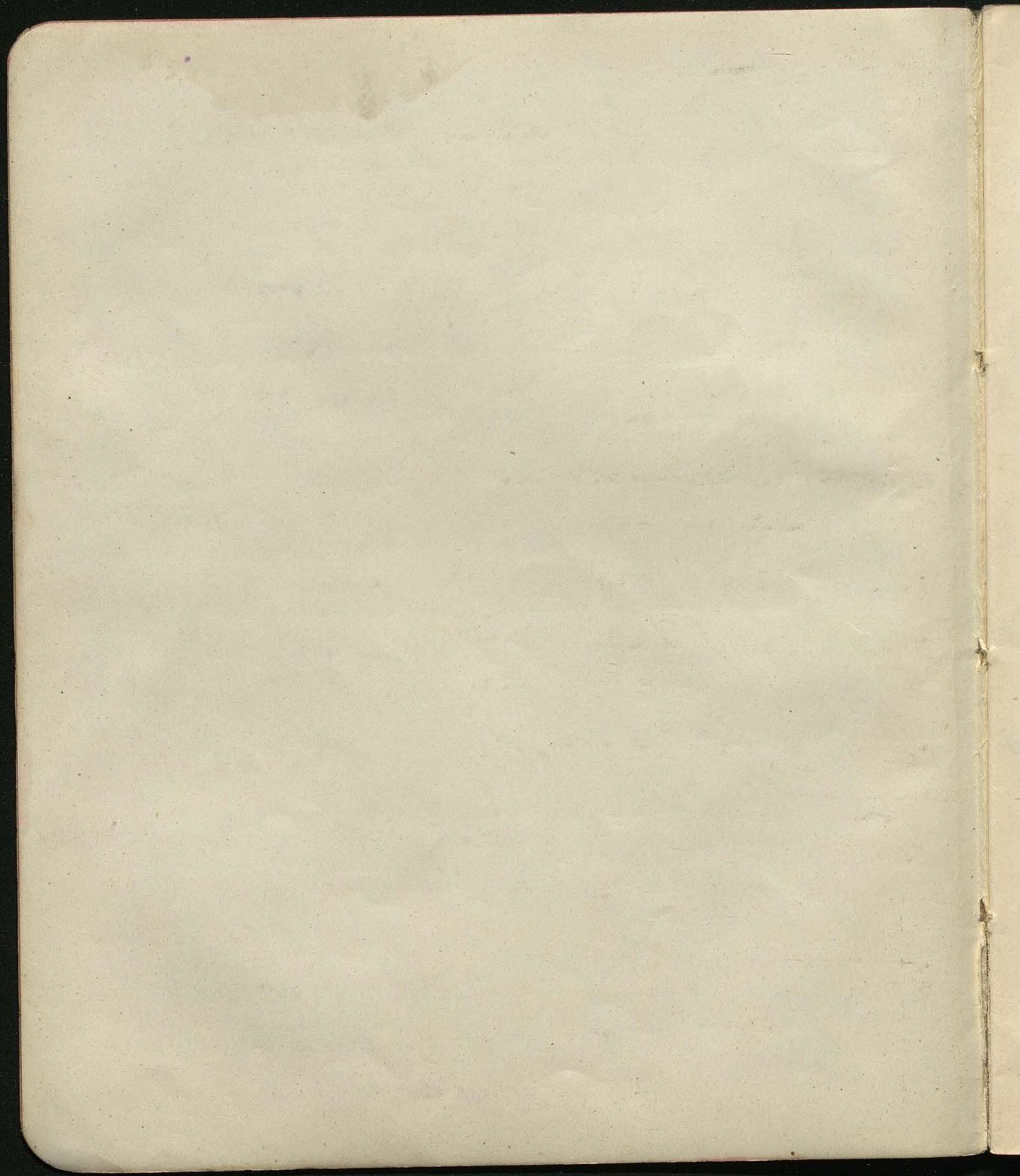


9409

II

104





It made up of \pm el.

el. concentrated

+ outside space

atom = neg. particles inside a sphere of + dispersion
volume of neg. part exceedingly small in comp. with
vol. of + el. in which they are immersed (presumably)

neg. p. charge
velocity } known
mass

nearly nothing known about +

f ex. ? if sphere of + el. is incompressible

\therefore 2 spheres of + el. uniting with vol. = 2 vol.?

or ? infinitely compressible?

Of importance for transformation of matter

Since material the same may be possible to get another atom in some manner

Various degrees of energy, of stability, always some tendency of change into another kind

Tendency in the universe to extreme simplicity ? either splitting up
or " complexity or condensing tendency

Calculation shows that either of these possibilities depends on the + el. being compressible
or not.

+ el.
If incompressible: tendency towards simplicity towards ~~simplicity~~
great number of ^{potentials of} one element of simplest possible kind
which involve variety of things

If + el. highly compressible, so that all spheres of diff. atom of same size

in this case the opposite way

aggregating in complex atoms

heavier elements increasing or expansion of lighter

Redstart hts. tend towards simplicity, seems to be in favour of I. d. w.

+ it plays not any very part in question of matter

Experi. Evidence of - corpuscles

- Cathode Tube, phosphorus, shadows, straight lines, negative defl., el. defl.

the 2 theories waves
particles

Perrin: carry neg. el. but not yet in doubt (could be correlated)

But exper. of mag. defl. of phosphorus and also of neg. rays

Hertz against: rays could get through thin metal plates (Au leaves)

overestimation of impenetrability of matter

Landolt & Blau

That these patches are not ordinary matter atoms but much smaller

el. field

$$s = a \frac{e^2}{2} = \frac{X e}{2 m} \frac{e^2}{v^2}$$

adjust mag. field \perp so that balance defl.

$$H e v = X e$$

$$v = \frac{X}{H}$$

$$\frac{e}{m} = \dots$$

enormous velocity $v = 10^9$

$$\frac{e}{m} = 10^7$$

$$\text{el. by } A \quad \frac{e}{m} = 10^{11}$$

supp. rather small value of m , otherwise
very ridiculous

Exact:

condensing cloud in sat. vapor, cooled down

105

if few particles, one drop round each, each charged by e
^{HA.}
brought within V_{ion} ?

velocity of falling dep. on viscosity

top of cloud sinks uniformly, velocity measurable

size of drop can be got out of it

~~if weight~~

If + body put over it, the field will act in reverse direction

By adjusting as to balance: $eX = \text{weight of drop}$

so can be calculated e

thus we find e the same as for H Ion: then mass - two dots it

Not depending on nature of gas & electrodes

Moreover hot wire, Wls, inf exp to X-rays, radioactive mlt, give off
the same factor

(Probably every mlt, even at ord. temperature)

(But in exhausted gas otherwise striking on it gas molecules!)

the same ^{method} + (Kendall, Rading, hot wire) but there no constant
mass comparable with ordinary atoms, depending on nature of mlt used

$$\frac{e}{m} = 1.6 \cdot 10^9 \quad (\text{e.m.})$$

$$e = 10^{-20} (\text{cm}) = 3 \cdot 10^{-10} (\text{est})$$



$B_{\text{iron}} = \text{weight} = 4\pi \text{ density} \times \text{area}$

Faraday tubes

If one ~~chooses~~ ^{unit of} that quantity is enclosed on surface, then every d. of $\frac{1}{4\pi}$

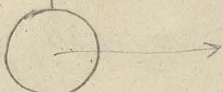


sphere, radial system of tubes uniformly distributed

as long as particle at rest or slowly moving (in comp. to light)

if rapidly moving then a change

Supp. moving with const. velocity (comparable with c)



crowd up so as to place them \perp to direction

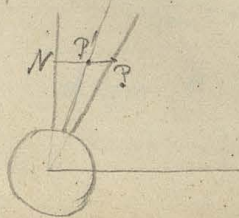
like elongated cyls. moving through liquid

(pole, attached by string in water \perp)

(leaves falling through air)

If ~~had~~ the Faraday tubes like rods with out mutual action, the slowest motion would cause them to ^{condense} ~~assemble~~ in the equatorial plane. But they ^{only repel} ~~repel~~ each other, so they get ~~drawn~~ ^{only repel} in eqnat.

Very simple law:



plane through tube and direction of motion (meridian)

P will go to P'

$$\frac{NP'}{NP} = \frac{\sqrt{1 - \frac{v^2}{c^2}}}{1} = \sqrt{1 - \left(\frac{v}{c}\right)^2}$$

$V =$ vel of light

$v =$ vel of sphere

remain radial

[Lorentz & Fitzgerald's theory : dimensions in direction diminished
just this compression $\frac{\sqrt{1-v^2/c^2}}{v}$] 106

tube sheared towards eqn. plane

Force in eqn. distal regions equalled greater than at rest

(Not distal in a direction very approx. indep. of velocity)

Part under case $w=v$: all go right in to the eqn. plane

in eqn. ∞ density of tubes = infinite force and no force anywhere else.

Appreciable effects only when nearly approached vel. of light

for cathode rays very small ($w=10^9$) $\sqrt{1-\frac{1}{10000}}$

but redoubles up to within 5% to vel. of light

Faraday tube in motion prod. mag. force \perp direction of motion
 \perp axis of tube $f = \frac{1}{c} \sqrt{f^2 + g^2}$

lines of force circles round dir. of m.

4 π . magnitude ~~per~~ to component vels. \perp to its length

As long as distribution not disturbed :

$$\text{charge } e : 4\pi \frac{e}{4\pi a^2} w \sin \vartheta = \frac{e w \sin \vartheta}{a^2} = \text{mag. force}$$

$$\text{Energy : } \frac{\mu H^2}{8\pi} = \frac{\mu e^2 w^2 \sin^2 \vartheta}{8\pi a^2} \therefore$$

$$\sum = \frac{\mu e^2 w^2}{3 \cdot a} \quad a = \text{radius of sphere}$$

kinet. energy $\frac{1}{2} m \omega^2$

+ el. m. enrg. $+ \frac{1}{3} \mu \frac{e^2 \omega^2}{a}$ = ~~$\frac{m}{2} \omega^2 + \frac{2}{3}$~~
 $= \frac{1}{2} (m + \frac{2}{3} \frac{e^2 \mu}{a}) \omega^2$

mass has been increased by charge
 especially by extremely small particles

Probably the whole mass only el. m.

then: $m = \frac{2}{3} \frac{e^2 \mu}{a}$
 $a = \frac{2}{3} e \frac{e}{m} = \frac{2}{3} 10^{-20} 10^7 = \frac{2}{3} 10^{-13}$

Distribution of mass quite different of ordinary ; enrgy outside ; mass outside

Analogy : Sphere in water, moving, as if mass increased by $\frac{1}{2}$ mass of water displaced

Cylinder increase dep. on direction of motion

$H = 4\pi N \omega \sin \theta$

enrgy $\mu \frac{H^2}{8\pi} = 2\pi N^2 \mu \omega^2 \sin^2 \theta = \frac{1}{2} \omega^2 (4\pi N^2) \sin^2 \theta$
 (cylinder)
 as if tubes moving through ether current with the mass of ether
 with the aloc. \perp to $\omega \sin \theta$ $4\pi N^2$

practically concentration is greater the more the tubes are

But then it poses not only kinet. enrg. but also momentum

draw all the tubes & consider the resulting momentum

components all in the direction of motion

calculate it by the same rule ($4\pi N^2$)

$4\pi N^2 \omega \sin^2 \theta$

$\frac{2}{3} \frac{e^2}{a} \mu \therefore$

just like ordinary mechanical moment

and as action & reaction must be : momentum of ind. system constant



In electric system often apparently isolated:

107

charged particle set in motion by electric wave

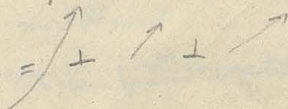
But if in the electric field there is momentum, then in the electric wave there is ordinary mechanical momentum, it loses as much as the particle gains.

$4\pi N^2$ mass set in motion per unit vol. with vel.

$$4\pi N^2 v \sin \theta = \text{momentum}$$

$$= 4\pi N^2 N v \sin \theta$$

= prod. electric & magnetic force



in each part per unit vol. amount of mom.

[In general case when el. f. not \perp m. f. then momentum per unit vol. = $V \mathcal{E} \mathcal{H}$]

Mom. depends then both on el. f. & m. f.; one alone does not give momentum!

Has been determined for light waves.

Here el. f. \perp m. f.



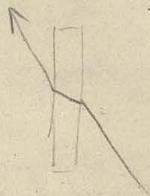
Momentum in the direction of light = $\mathcal{E} \cdot \mathcal{H}$ = prod. to energy per unit vol.

as if stream of energy

If incident on absorbing medium; nothing comes out, conservation of momentum cannot be destroyed

so give off to the medium, then produces a constant force

Even for absolutely transparent bodies such things must happen:



not in the same line

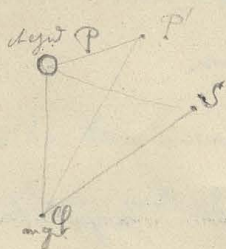
amount of mom. the same but in \parallel .

couple of force must originate

similarly with a person etc.

Simplified case:

Singl. electrified point & singl. mag. pole



lines of momentum circles round PP'

no resulting momentum but a moment of momentum

$= \text{prod. } e m$, not dep. on distance between

If approaching nothing happens

But if targeted direction $P-P'$: moment unaltered, but its direction ^{changed}

the same change could be represented by action of a couple: as if a certain ^{charge} force would act on the point

? what force calculate? ordinary rule comes out $f = \frac{1}{r^2}$

Even whole system of laws on induction, interaction of charged points, mag. etc. can be got out from this principle of constancy of mom.

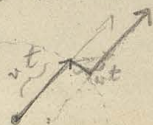
If velocities of particles not constant but varying

then radiation of energy must arise

E.g. Moving uniformly and instantaneously get to rest, stopped

Electric field not much changed, but magnetic field.

E. Tubes like strings; impulses along these strings travelling along (with vel. of light) as can be calcul. if taking them as diffraction gratings



outside this sphere the tubes travel along as if nothing had happened

this transverse portion travels out with velocity V

thus a pulse of transverse electric force travelling outwards with vel. light
(spring w/ going out the mag. f.)

Röntgen rays

↓ absorbs the whole energy and carries it outwards

a particle may be caught but its energy radiates out

In the shell travelling outwards: d. f. meridional

magn. f. circles round direction of motion

$$H = \frac{e v \sin \theta}{r^2} \quad \delta = \text{puls}$$

not varying $\frac{1}{r^2}$ but $\frac{1}{r}$ very much smaller
diminution with distance!

$$E = \frac{V e v \sin \theta}{r^2}$$

Mr. Barkley's polarization with R.R.

cathode particles striking on metal

do not stop at once otherwise great dependence on
angle $\sin \theta \times$ max. intensity. \perp direction



kind of escape path inside the body, which will equalize the
intensity in great part but still preponderance of ~~that~~ original direction

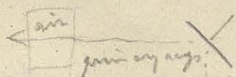
To observe secondary radiation produced by R.R.
in \perp direction



Edgar Hargreaves

Ionizing gas : α ions suddenly ^{gives} ~~thrust~~ off in direction of \rightarrow (Hagnard motion)
 electric force produced by them : meridional

$\left\{ \begin{array}{l} \perp \text{ to meridional plane : meridional effect} \\ \text{in direction of } \rightarrow \text{ no effect (no secondary radiation)} \end{array} \right.$ this reaction was detected by Rowley



two
 distinct
 one in
 plane
 the other \perp to plane



ionization less in the one than the other
 change by moving the tube round direction of RR

this the strongest evidence for our views

Acceleration produced by E, H

from in the pole = none outside ; so when the particle is stopped, the whole
 momentum is $= 0$, nothing remains.

$$\text{Energy} = \frac{\mu}{8\pi} \frac{e^2 v^2 \sin^2 \theta}{r^2}$$

$$\text{area} = 4\pi r^2$$

amount of energy remains constant with

travelling out

how much lost by radiation, depends on abruptness

of stopping, if instantaneously, the whole energy radiating outwards
 if slower, less

If only, altering the velocity?

$\delta =$ thickness of pulse = distance the dist. can travel over time of stopping

$$\delta = V t'$$

$$H = \frac{e \sin \theta}{r} \frac{v}{Vt}$$

v = change of vel. in the time t

109

$$H = \frac{e \sin \theta}{r} \frac{f}{V}$$

f = acceleration

[complexion because t is not known so present]

this energy lost by the particle in ∞
 continual dissipation of energy in consequence of radiation
 amount calculated by Poynting theorem $\text{power} = V \int f$

$$\therefore \frac{1}{3} \frac{e^2 f^2}{V} = \text{rate of energy lost}$$

$$\text{kin. en.} = \frac{mv^2}{2}$$

$$\int \left(\frac{mv^2}{2} \right) + \frac{1}{3} \frac{e^2}{V} \left(\frac{dv}{dt} \right)^2 dt = X e \int dx$$

$$mv \frac{dv}{dt} dt + \frac{1}{3} \frac{e^2}{V} \left(\frac{dv}{dt} \right)^2 dt = X e \int \frac{dx}{dt} dt$$

$$= X e \int v dt$$

$$\text{when } v=0 : \frac{dv}{dt} = 0$$

accel. begins by $v=0$, it takes a definite time for getting a steady accel.
 energy lost very much greater when puls than

thus matter seems to lose continually energy on account of its variability of motion
 acceleration must exist in consequence of \odot acceleration ~~accel~~ paths cannot be straight uniform

Particle describing circular orbit



$$\frac{v^2}{a} = f = \text{accel.}$$

$$\frac{1}{3} \frac{e^2 v^4}{a^2 V} = \text{rate of loss of energy}$$

$$\frac{3}{2} \frac{mv^2}{e^2 V} = \text{time for losing the whole energy provided the rate would remain constant}$$

$$= \frac{3}{2} \frac{ma^2 V}{e^2 v^2}$$

How many resolutions?

$$\tau = \frac{2a^2}{v}$$

$$N = \frac{3}{4} \frac{m a V}{e^2 v r}$$

$$\frac{m}{e} = 10^{-7}$$

$$e = 10^{-20}$$

$$= \frac{3}{2} 10^{13} \frac{a V}{2 r v}$$

$$a = 10^{-8}$$

$$= \frac{3}{2} \cdot 10^5 \frac{V}{2 r v}$$

if moving with velocity of the same order as light,

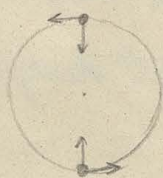
then number of res. about 10^5

from res.
from about side

No permanence of motion

But this rate of diminishing very much smaller if several in orderly arrangement

Two particles



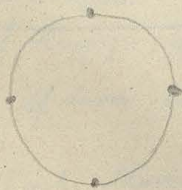
magn. force arising from one particle in opposite direction to the other.

In course of finite distance there remains a resulting force but small in comparison to

Rate of energy prop. product of magn. & el. f.; This very much diminished

4 particles

still very much less



If quite closely following one another, then no reduction at all.

Energy radiated from each particle:

unit: for one particle alone rotating

110

	$v = \frac{1}{10} V$	$v = \frac{1}{100} V$
$n=1$	1	1
2	$9.6 \cdot 10^2$	$9.6 \cdot 10^{-4}$
3	$4.6 \cdot 10^3$	$4.6 \cdot 10^{-7}$
4	$1.7 \cdot 10^4$	$1.7 \cdot 10^{-10}$
5	$5.6 \cdot 10^5$	$5.6 \cdot 10^{-13}$
6	$1.6 \cdot 10^7$	$1.6 \cdot 10^{-17}$

Thus permanency is possible if number is even.

[Essential point: centre of ~~gravity~~ ^{force} does not move with particle number]



Two particles rotating as a whole in — rapidly radiated away because their centre moving

But if moved in opposite directions no movement of centre, radiation very small

Probability greater if greater loss of energy, thus first type much more probable

$$\frac{v^2}{a} = \int \sim \frac{1}{r^2} \quad \frac{1}{3} \frac{v^4 e^2}{a^2 V} = \text{rate of energy}$$

$$v^2 \sim \frac{1}{r}$$

$$= \frac{1}{3} \frac{e^2 v^8}{V}$$

$$\text{radiation prop. (kin. energy)}^4 = \theta^4 \quad \text{kin. energy} \propto v^2$$

!!

If atom built up of corp.

My corp. would repel each other, to hold them together we suppose + el. whose attraction counterbalancing

Supp. + el. uniformly distributed over sphere.

Simplest kind: ~~two~~ 1 mg. exp.



\therefore Potential energy = Work required to pull the stone to pieces

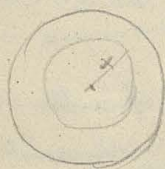
$$\text{Force} = \frac{e^2}{4\pi\epsilon_0 x^2}$$

$$\text{Work} = \int_0^b \frac{e^2}{4\pi\epsilon_0 x^2} dx = \frac{e^2}{2b}$$

outside the last layer $\frac{1}{x^2} \parallel$ Whole Work = $\frac{3}{2} \frac{e^2}{b} \parallel \frac{1}{3}$ of it work inside outside

The sphere would burst & disperse

Work done by breaking up: layer by layer



$$\frac{4}{3}\pi x^3 = \text{quantity of st. left}$$

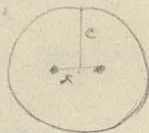
$$4\pi x^2 dx = \text{quantity of st. in the shell}$$

$$\text{Work} = \int_0^b \frac{16}{3}\pi \frac{x^2}{x} dx = \frac{16}{15}\pi b^5 = \frac{3e^2}{5b}$$

$$\text{Whole potential energy} = \left(\frac{3}{2} - \frac{3}{5}\right) \frac{e^2}{b} = \frac{9}{10} \frac{e^2}{b}$$

Supp. 2 spheres like this

Either each separately or both combined



$$\text{Repulsion} = \frac{e^2}{4x^2} = \frac{4e^2}{2cx}$$

$$2x = c$$

Also stable

What? Greater pot. energy?

If incomp. then the two are more stable than the one

But if the size of sphere \neq sphere, then worse result.



total charge: $2e$

force towards centre $\left[\frac{2e}{c^2} \int_0^c 2e dx \right] = \frac{2e^2}{c^3} (c^2 - \frac{c^2}{4}) = \frac{e^2}{c^3} \cdot \frac{3c^2}{4} = \frac{3}{4} \frac{e^2}{c} + \frac{2e^2}{c}$ to ∞

111

Whole work double this

Repelling force work: $\frac{e^2}{c}$

For breaking down the sphere: $\frac{3}{5} \frac{4e^2}{c}$

$$= \frac{21}{10} \frac{e^2}{c}$$

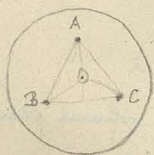
If, on the contrary two spheres apart: work required = $\frac{18}{10} \frac{e^2}{c}$

1). If radius of double atom the same as of single, then double atom requires more work to disintegrate, double atom more stable. Two single atoms tend to form complex ones.

2). If volume of e^+ & e^- remains constant (incompressible) $c = b \sqrt[3]{2} = 1.26 \cdot b$

Double one will tend to split into single ones. $\frac{21}{10} \frac{e^2}{1.26^2 b} < \frac{18}{10} \frac{e^2}{b}$

This seems to be really the tendency of radioact.



AD = radius

$$\frac{2 \frac{e^2}{c^2}}{AD} = \frac{\sqrt{3}}{2} \quad \left| = \frac{3e}{R^3} \right.$$

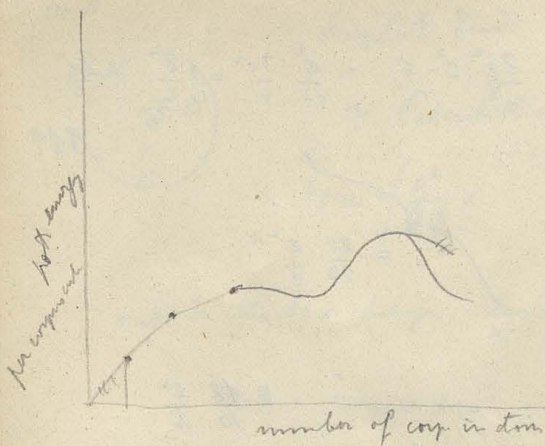
$$AD = 3.04 \times 10^{-8}$$

$$\frac{e^2}{AD^2} \sqrt{3} =$$

If more pressure, then no stable position in one plane

4 in corners of tetrahedron (in pyramid)

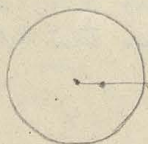
But stable motion possible when rotating motion above certain value of speed. (Anderson: top)



Supp. + d. like in comp. limit

Stability factor has smaller amount of
pot. energy, thus dependent on number of
corp. with maxime X molecules.

? Behaviour in an electric field? Something like capacity?



Xe pull by field

$\frac{e^2}{b^3}$ back by sphere

$$x = \frac{X b^3}{e} \quad \text{position of equilibrium}$$

Now an electric field outside has been produced
(electric doublet)

$$ex = \text{moment of d. doublet} = X b^3$$

Dielectric polar. prop. to the moments in unit volume = $N b^3 X$
= prop. volume occ. by atom

The same expression comes out as if the atoms were absolute conductors!

Vibrations of such an atom.

[assuming the same laws only]

$$\text{Time: } = 2\pi \sqrt{\frac{m b^3}{e^2}} = \frac{2}{3} 10^{-15} \quad \left| \quad \sqrt[11]{10^{-9} \cdot 10^{20} \cdot 10^{-24}} = \sqrt[11]{10^{-11}} = \frac{1}{\sqrt[11]{3 \cdot 10^5}} \right|$$

$$\frac{e^2}{b^3} = n^2 (\text{absorption})$$

$$\text{Pot. energy: } \frac{n^2 x^2}{2}$$

$$\lambda = \frac{2\pi}{\frac{2}{3 \cdot 10^5}} = \frac{2}{10^5} = 2 \cdot 10^{-5} \quad \left[\text{comparable with luminous rays} \right]$$

is readily damping by radiation

$$\frac{d}{dt} \left[\frac{m}{2} \left(\frac{dx}{dt} \right)^2 + \frac{n^2 x^2}{2} \right] = - \frac{1}{3} \frac{e^2}{V} \left(\frac{dx}{dt} \right)^2$$

$$x = e^{\int g dt}$$

112

$$m \frac{dx}{dt} \frac{dx}{dt} + m x \frac{dx}{dt} + \frac{1}{3} \frac{e^2}{V} \left(\frac{dx}{dt} \right)^2 = 0$$

difficult interpretation

$$\text{energy dissip. } \int \frac{1}{3} \frac{e^2}{V} \left(\frac{dx}{dt} \right)^2 dt = \frac{1}{3} \frac{e^2}{V} \frac{dx}{dt} \frac{dx}{dt} - \int \frac{e^2}{3V} \frac{dx}{dt} \frac{dx^2}{dt^2} dt$$

vanishing in extreme points of osc.

this will give on an average

the same expression as the

true one, approximates the same

If substituting this form, then we get:

$$- \frac{e^2}{3V} \frac{d^2 x}{dt^2} + m \frac{d^2 x}{dt^2} + n^2 x = 0$$

$$x = e^{i p t}$$

$$\frac{1}{3} \frac{e^2}{V} i p^3 - m p^2 + n^2 = 0$$

supp. small value

$$\text{supp. } p = \frac{n}{\sqrt{m}} + q$$

$$\frac{e^2}{3V} i \left(\frac{m^2}{n^2} + 3 \frac{m^2}{n} q \right) + \frac{m^2}{n} + 2 \frac{m^2}{n} q - e^2 = 0$$

$$q = e^2 - \frac{m^3}{n} - e^2$$

$$q = \frac{1}{6} \frac{e^2 n^2}{m^2}$$

$$e^{i p t} = e^{i \frac{n}{m} t} - \frac{1}{6} \frac{e^2 m^2}{m^2} t$$

osc. of high freq die away very much more rapidly than slow



Supp. ring of eq. of any number

Supp. displacing them as a rigid body

Force pulling back only arising of other of sphere, which is prop. to distance

∴ the same effect as if centre of grav

$$\frac{4}{3} \pi \rho \times l N = \text{force}$$

$$Nm = \text{mass}$$

$$\frac{4}{3} \pi \rho \frac{e x}{m} = \frac{\text{force}}{\text{mass}} \quad \text{indep. of } N ; \text{ one period common to all the atoms}$$

if ρ in then the same

one common line in the spectrum

But besides this has other periods



$$\text{number of possible vibr. periods} = 3N^2$$

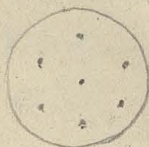
in case of 2, 3 arrangement stable & number of periods

4 ^{in 2 planes} cannot suppose rotating movement, otherwise not stable

5 "

6 no matter what rotation, they cannot be stable

but with 6 if a ring it can be made stable by putting one in the centre

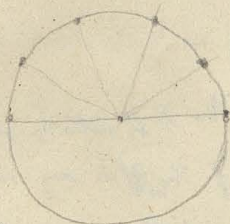


the same with 7

generally ring of any number can be made stable by putting a sufficient large charge in the centre

If not integer take the next integer point to the left and start therefrom again.
 Vibrations of such a system.

2 N periods (every period 2 periods)



- D). 1. radial displacement (equal) (definite point)
 2. tang. displ. no vib. (period ∞)

I). ^{radial} if displ $\propto \cos \theta$: (as if horizontal, equal push, rigid body)
 period indep. of number

II). displ. $\propto \cos 2\theta$ deforming circle into an ellipse

III). k . $\frac{\omega^2 \propto \omega^2 \theta}{\omega^2 k \theta}$ etc.
 $ABC = f(n, k)$

$$(A - m g^2)(D - m g^2) = (C - m \omega g)^2$$

Series in $f(n, k)$, do they correspond to these
 various types of vib. of one ring or
 from vib. of the same type in system of rings?

Zemmann Eff.:

number of periods depends on number of freedoms
 by putting on a single ftd degree of freedom
 increased

only before: 3 periods have been equal to another
 equation had 3 equal roots

Thus Zem Eff will affect the vib. of system ~~same~~ of equal freedom
 But not all periods of a system will be equally affected! Only the ~~the~~ equal
 periods.

Thus ~~the~~ lines of series do not belong at all to the same system ^{mainly}

Electron on atom with frequency.

114

moving horizontally in X:

$$He \frac{dx}{dt} = \text{force in dir. } Z$$

$$-He \frac{dz}{dt} = \text{X}$$

$$g = \sqrt{\frac{e^2}{2m}}$$

(vib. y motion)

$$\begin{cases} m \frac{d^2 x}{dt^2} + \frac{e^2 x}{a^3} = -He \frac{dz}{dt} \\ m \frac{d^2 z}{dt^2} + \frac{e^2 z}{a^3} = He \frac{dx}{dt} \\ m \frac{d^2 y}{dt^2} + \frac{e^2 y}{a^3} = 0 \end{cases}$$

$$\begin{cases} x = a e^{i\omega t} \\ y = b e^{i\omega t} \end{cases}$$

$$\frac{e^2}{a^3} - m\omega^2 = \pm He\omega$$

$$\omega^2 \pm \frac{He}{m} \omega = \frac{e^2}{ma^3}$$

$$\omega = \pm \frac{1}{2} \frac{eH}{m} \pm \sqrt{\frac{e^2}{ma^3} + \frac{H^2 e^2}{4m^2}}$$

for small values

$$= \pm \sqrt{\frac{e^2}{ma^3}} \pm \frac{1}{2} \frac{eH}{m}$$

$\frac{e}{m}$ comes out of the same order as

If $x = a \cos \omega t$ then $\begin{cases} z = a \sin \omega t & \text{anticlockwise motion} \\ z = -a \sin \omega t & \text{clockwise motion} \end{cases}$ circularly polarized in opp. dir.

(If line of sight = dir. of force) besides y component of motion in line of sight; unvibrating, particles do not radiate along line of motion.

If we look \perp dir. of force then triplet, plane polar. $\begin{matrix} | \\ | \\ | \end{matrix}$

Atom consisting of series of concentric rings:

I). Not subject to magn. force

n = number of wgs. in ring

p = num. to be placed inside, for stability

$$S = \frac{1}{\sin \frac{\pi}{n}} + \frac{1}{\sin \frac{2\pi}{n}} + \frac{1}{\sin \frac{3\pi}{n}} + \dots$$

$$I_K = \frac{e^2}{8a^3} \left\{ \cos \frac{2k\pi}{n} \left(\frac{1}{\sin \frac{\pi}{n}} + \frac{1}{\sin \frac{3\pi}{n}} \right) + \cos \frac{4k\pi}{n} \left(\frac{1}{\sin \frac{2\pi}{n}} + \frac{1}{\sin \frac{4\pi}{n}} \right) + \cos \frac{6k\pi}{n} \left(\frac{1}{\sin \frac{3\pi}{n}} + \frac{1}{\sin \frac{6\pi}{n}} \right) + \dots \right\}$$

$$N_k = \frac{e^2}{4a^3} \left\{ \cos \frac{2kn}{n} \left(\frac{\cos^2 \frac{n}{n}}{\sin^3 \frac{n}{n}} + \frac{1}{2 \sin \frac{n}{n}} \right) + \cos \frac{4kn}{n} \left(\frac{\cos^2 \frac{2n}{n}}{\sin^3 \frac{2n}{n}} + \frac{1}{2 \sin \frac{2n}{n}} \right) + \dots \right\}$$

$$M_k = \frac{e^2}{8a^3} \left\{ \sin \frac{2kn}{n} \left(\frac{\cos \frac{n}{n}}{\sin^2 \frac{n}{n}} + \dots \right) \right.$$

a = radius of ring:

$$\left[\frac{3}{4} \frac{e^2 n^2}{a^3} + \frac{3}{4} \frac{e^2}{a^3} - (L_0 - L_k) - m g \right] [N_0 - N_k - m g] = [M_k - 2 m g]^2$$

If n very large, L_k very large, prop. to n^3 . M prop. to n^2 , N to n^3 .

Thus approx. roots by putting right h. side = 0

We get the periods of tangential vbr. by equating ~~first~~ ^{second} bracket = 0

" " radial " " first "

$k=0$ $g=0$, no period

$k=1$ (as eye & body parall. to x etc.)

with higher values of k greater complexity, frequency higher (towards blue)

In radial vibrations opposite effect, small k blue, great k red (g gets smaller by increasing k and would get negative (reason for putting in g for stability)).

Tangential vbr. ? concsp. in spectrum to?

Approximately $N_k = \frac{e^2}{4a^3} \cos \frac{2kn}{n} \cdot \frac{1}{\sin^3 \frac{n}{n}}$

$$N_0 = \frac{e^2}{4a^3} \frac{1}{\sin^3 \frac{a}{n}}$$

$$m g^2 = N_0 - N_k = \frac{e^2}{4a^3} \frac{1}{\sin^3 \frac{a}{n}} \times 2 \sin^2 \frac{kn}{n}$$

For k small in comp. with n : $\sin \frac{k\pi}{n} = \frac{k\pi}{n}$

115

frequency prop. n (Frequency of higher harmonics prop. to n^3 , so do not come into spectrum at same time.)

If n even, highest harmonic when $k = \frac{n}{2}$

then $m p^2 = \frac{e^2}{4a^3} \frac{1}{\sin^3 \frac{n}{2}}$ cor. to line furthest to v. end blue end.

Generally: $k = \frac{n}{2} - s$

$$m p^2 = \frac{e^2}{2a^3} \frac{\cos^2 \frac{s\pi}{n}}{\sin^3 \frac{n}{2}}$$

for $\frac{s\pi}{n}$ small: $p = \cos \frac{s\pi}{n} \sqrt{\frac{e^2}{2a^3 m} \frac{1}{\sin^3 \frac{n}{2}}}$

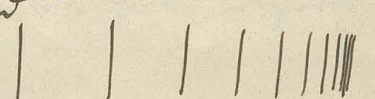
$$= \left(1 - \frac{s^2 \pi^2}{2n^2}\right) \sqrt{\frac{e^2}{2a^3 m} \frac{1}{\sin^3 \frac{n}{2}}}$$

Putting $s = 0, 1, 2, 3 \dots$ successive lines

It has been shown that frequency of sp. lines ~~is~~ $p = N_0 \pm a n^2$

where m is an integer

Difference between 2 successive ~~lines~~ frequencies in units with s

$$\text{red } p_{s+1} - p_s = B(2s+1) \text{ blue}$$


bend sharply defined towards blue, shading off towards red

Each ray would give a band.

Frequency not altered by neg. field; would not show Zeem. eff.

Radiated vibrations:

$$\frac{3}{4} \frac{e^2 \dot{x}^2}{a^3} + \frac{3}{4} \frac{p^2}{a^3} - (L_0 - L_k) - m p^2 = 0$$

p (the ^{number of neg. ch. p.} neg. charge inside) is chosen so as to fit red values of q for highest harmonic which is the one which makes it unstable. p is the smallest which will make period of

of highest harmonic rad. (when $k = \frac{n}{2}$)

$$L_k = \frac{e^2}{8a^3} \omega^2 \frac{k n}{n} \frac{1}{\sin^3 \frac{\pi}{n}} \quad (\text{if } n \text{ large, neglect higher terms})$$

$$L_{\frac{n}{2}} = - \frac{e^2}{8a^3} \frac{1}{\sin^3 \frac{\pi}{n}}$$

Substituting:

$$n q^2 = \frac{3 f e^2}{a^3} + \frac{e^2}{8a^3} 2 \omega^2 \frac{n k}{n} \frac{1}{\sin^3 \frac{\pi}{n}}$$

$$\text{for } k \text{ small: } = \frac{3 f e^2}{a^3} + \frac{e^2}{4a^3 \sin^3 \frac{\pi}{n}} \left(1 - \frac{k^2 n^2}{2n^2}\right)$$

$$\therefore q^2 = N_0 \left(1 - \frac{\alpha k^2}{n^2}\right)$$

So we get series of lines with same laws as before, but ~~now~~ intervals larger towards red end.

When subject to external field, we would expect change ~~also~~ not for all lines, but for lines given by the same harmonics in ^{the} different rays.

$$q^2 = \frac{f e^2}{a^3} + \frac{e^2}{a^3} \omega^2 \frac{n}{n} \frac{1}{\sin^3 \frac{\pi}{n}}$$

For n large:

$$q^2 = \frac{f e^2}{a^3} + \underbrace{\frac{e^2}{a^3} \omega^2 \frac{n}{n} \cdot \frac{n^3}{n^3}}_{\text{very large}}$$

$$q = \sqrt{\frac{e^2 n^3}{a^3 n^3}} \omega \frac{n}{n} = \sqrt{\frac{e^2 n^3}{a^3 n^3} \left[1 - \frac{n^2}{2n^2}\right] + \dots}$$

number & radius of ray. in ray
variable from star to star

but for large n : $n \propto a$, so nearly constant

condition for equal?

for large number the same as continuous dist. over ray

$$\text{repulsion} = \frac{e^2}{4a^3} S_n + \frac{f e^2}{a^3} = \frac{4}{3} \pi \rho$$

$$\frac{e^2}{4a^3} S_n + \dots$$

Condition for stability:

$$\frac{3}{4} \frac{e^2}{a^3} + 3\mu \frac{e^2}{a^2} + L_k - L_0 \text{ has to be } > 0 \text{ for any } k$$

116

for large numbers $\nearrow = \frac{e^2}{4a^3} \frac{1}{\sin^2 \frac{3\pi}{n}} = \frac{e^2}{4a^3} \frac{n^2}{\pi^2}$
 the largest value:

$$\frac{3}{4} \frac{e^2}{a^3} + 3\mu \frac{e^2}{a^2} = \frac{e^2}{4a^3} \frac{n^2}{\pi^2}$$

$$= 4\pi\rho \quad \downarrow$$

$$\therefore \left(\frac{n}{a}\right)^2 = \text{const}$$

\therefore therefore with the same harmonics for each ring: $q = A \left[1 - \frac{B}{n^2} \right] \cdot \frac{C}{n^4}$

This is exactly the law of series! Balmer etc.

So that are not vib. of the same ring but the same harmonic of different rings!

Number of harm. (for the same ring) ~~is~~ ^{is only} the (ratio).

Another series for $s=1, 2, 3, \dots$

For given disturbance: external field expand in series of harmonics

intensity of any harmonic vib. would depend on intensity of corresp. harm. excitant

Term outside bracket independent of s : A (extrem. vib.) the same value for different series

Principal, first submultiple, second submultiple series ~~have a fact~~

these in fact have the same constant term A !

But why different values in principal? This corresp. to radial displacements.

And similar express. for tangential displ.

We might get other terms associated with principal series by carrying out further than usual

Another consequence of $n \propto a$:

$$p(\text{number inside}) \propto n^3$$

Sphere ^{does} is thus much + as - inside

\therefore average distance of two parts the same for each ring

As long as number in 2 consec. rings differing by integer, this goes on quite well
But there must come a stage when success. rings cannot differ by an integer

ing: 100 P.
ring containing:
out: 101 P.

inside required:

$$10^6 \cdot \frac{101}{100} = 10^6 + 3 \cdot 10^4$$

30000 are required between these two rings

$$\text{Hence } \frac{30000}{100} = 300 \text{ rings}$$

So 300 rings there will be between those two rings in which the average distance cannot corresp. to the above rule that distances equal.

Therefore there must arrive at last unstable equilibrium.

Thus this arrangement cannot go on.

But if corp arranged in groups, much more economical.

F.ex. 30 at equal intervals compared with 10 groups of 3

To keep 30 stable required 101 corp inside

10 groups stable " 9 " "

Thus by grouping them found greater stability; ^{system} crowd would break up & arrange itself in groups.

Radium; each α particle containing about 2000 corp? (Rochester)

1). Flame 2). Arc 3). Spark Spectrum

Supp. heated wire giving off neg. corp., ~~large~~

— (cathode)

for small pot diff. current = number of corp. given off by h. ion

if increased field, the neg. corp. ionize by their striking on

the molec. of gas : producing a rapidly increasing current

Kelvin (hot wire)

If without ~~striking~~ ^{ionizing} no luminosity

Even if stage of ionization is reached, not necessarily luminous.

There is a radiation when gas is ionized, but not the ordinary spectrum.

If we go on increasing the field, a stage is reached when luminosity begins.

This stage depends on current density and ^{not so much} on pot diff.

~~the~~ the greater the current density the earlier the spec. is produced.

If ionizing would prod. lum., then increase of current density would only increase the number of corp. (but not velocity etc), thus only the brilliancy of the spectrum would be increased. In contrary, it occurs almost abruptly, in reality by decreasing the even density.

JJ theory: the molec. when struck and ionizing are fired off soft RR, which are absorbed by the gas. When the energy absorbed by these molec. reaches a certain amount the molec. become luminous (something like an explosion or an additional production of ions, (current increases very rapidly in luminosity appears)). In this case really rate of energy supplied to atom depends also on

surrounding medium, it would be proper to current & pot diff.

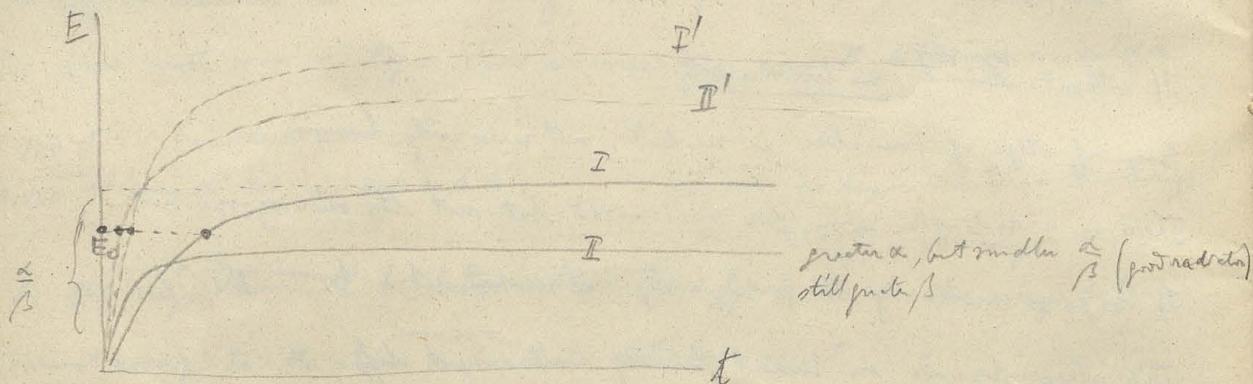
The atom will receive energy but also lose it - ; E = energy of atom at any time

$$\frac{dE}{dt} = \alpha - \beta E$$

rate of ↑

$$E = \frac{\alpha}{\beta} (1 - e^{-\beta t})$$

Suppose atoms of various kinds



by I : E_0 amount of energy wanted for luminosity
II

(for simplicity we suppose the same initial values)

thus lines of I would appear but not of II

if pot diff increased : α will be larger : I', II' ; then we get the lines of (current density)

the second system first, (probably does the work)

thus lines before in middle become now the brighter of the two.

With small current density for favour the lines "economical"

great

will great α which short circuit and radiate easily

This corresponds to putting in a jar in the circuit.



If we put in self induction the contrary effect; current density is reduced. 118

The lines I are pronounced.

{ Arc continuous

{ Spark discont., but in short time greater current density

If that is so, we ought to be able to change spark discont. by putting in self induction into spectra of arc discont. This is the case, to a certain amount.

Hydrogen tends to make the arc discont. and it brings out lines belonging to spark spec.

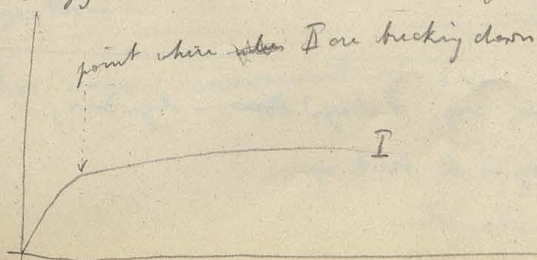
Argon: ^{small} red & ^{great current density} blue spectrum, otherwise little difference, only ⁱⁿ hydrogens.



Spectrum in the narrow part often very different, because very much larger current density

In the + column with increase of current the fall of potential decreases; this easily explains itself by the additional produce of ions, when luminosity, by accumulation (influence of surrounding atoms). (Otherwise this result hard to explain)

Part of energy I may arise from system II (like channel for transforming energy and giving off gas to I). Thus if II breaks up, I will lose some of the sources of energy. Thus the curve I changes



thus not only the new line appearing but disappearing of old line by change of current density (argon)

These systems may be part of the atoms (remain inside).

If strong current for very short time, ^(spark) it may be ~~even~~ small ~~in~~ in comparison with the time constants τ . In this case (of extra small time of excitation) $E = \alpha t$ then the order of waves $\propto \alpha$. Then only line of greatest absorption would appear. ^{thus to explain it by} spectrum very simple. [Lockyer ~~collect~~ association which occurs in, high temp. he thinks the atoms splitting up in simpler systems].

Lines of great obs.: "spark lines" ("enhanced lines" Lockyer)
of small ^{intensity} - : "arc lines"

If we increase α continuously (by increasing capacity) would the lines come out one by one or in groups, series?

Difficulty: ^{to produce} continued change, because when luminosity appears, new emission of corp., & (kind of instability)

Can perhaps start with spark & put in self induction?

One view:

Impossible that temperature has anything to do with appearance of spectra.

Reactions striking on another would only produce continuous spectra.

If lumin. \propto ex by cath rays, the temp. (by gas air) scarcely any effect?

Effect of temp seems to be to increase the supply of these corpuscles.

Sodium in flame produces enormous increase of exposure. Thus bombarding of these corp. may have the same effect as electric field.

In order for the discharge: mol. atoms, corp. + charged ions, - hydrogen, also + ions can get much amount of energy as to break up.

Diff. systems and diff. methods of excitation

Leland: systems which give some of lines are charged ions
other by atoms themselves.

by putting on el. field to flame.

119

But Suppose Origin of some of the lines is shifted, of others undisturbed.

System actually vibrating is charged (~~not~~) to begin with, such system would not
be appreciably moved by el. field. During the short time of vibrations and

luminescence it would not displace itself appreciably. The displacement seen is only
originating from the time before the system became luminous.

Supp. + ion, attracting - ions & shaken up by it, thus while vibrating it will
be unchanged.

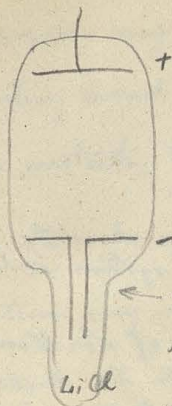
Thus while systems are luminous the state of things will be just the
reverse. Displ. unchanged, not displ.: charged.

Thus Leland found: principal series not displaced, due to atoms
first & second subord. series displ.: to ions.

Low pres. at ordinary pressure is much more complex than atoms.

Aggr. of atoms, thus these systems probably would give out contin-
spectrum. (This may be the cause of the continuous background
spectrum).

Two ways: movement of neg., movement of + ions.



neg. ray can be thrown off by neg. field, only stream of $+$ ions running down on LiCl ; this gives out spectrum of Li , red light.

If coil reversed, so as to make \mp , then cathode rays falling on LiCl , now blue light not Li but phosphorescence!

Much easier to prod. Li sp. by bombarding LiCl , than Li itself!

$\text{Na} + \text{K}$ bombarded gives out little flames of Na when oxydized, but clean surface not at all.

Much easier salts than metals themselves.

So far internal; now forces (chemical combinations)

Molecules may be regarded as number of systems held together by mutual forces. Considerable stability. Problem of equilib. of mutually attr. bodies. But even for

Newton's law the conditions for equilib. & for steady motion not yet known completely.

Theorem of:

Lagrange: system of n bodies with only forces $\frac{1}{r^2}$ cannot be in stable equil.

But perhaps steady motion possible?

Conditions for ^{stability} of motion are very stringent. 3 Bodies: in order to get

stable steady motion conditions must be quite exceptional. Ex. Fall equal: if

equilateral, with mutually common rotation, like rigid body. But this is unstable!

Steady motion

Impossible for 3 equal bodies.

120

Possible if one mass very much greater than others.

Another case: Max well Saturn rings. Number of satellites in the same orbit.

In order to attain stability the mass of central planet must be enormously greater than of satellites: ~~and thus~~

$$P > 0.43 n^3 S \leftarrow \text{mass of satell.}$$

\uparrow \uparrow
 mass of planet number of satell.

planet can be "retarded" with ~~the~~ satellites

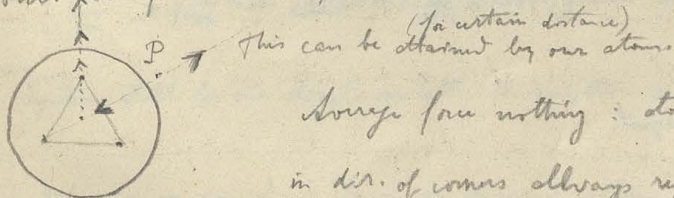
supp $\frac{P}{S} = 100$

$n < 7$

If some of forces repulsive instead attractive much more stringent conditions. Thus equilibrium impossible if satell. repelling one another but attr. by cent. pl.

Thus this law does not seem to give much stability.

Condition for stab.: ^{force} ^{attr.} force must increase, when distance between bodies increases



Always force nothing: atom neutral but

in dir. of corners always rep. (~~with~~ dim) or -

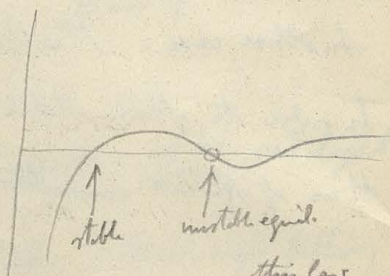
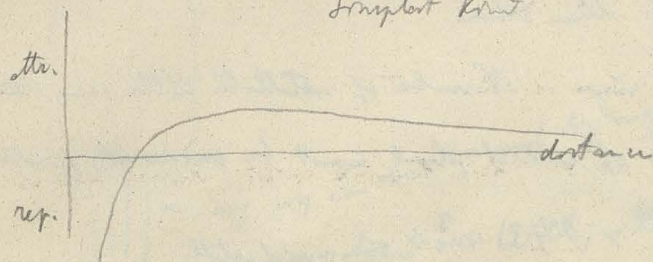
in dir. of point attr., then neutral point P, then rep.

~~but~~ point P is unstable position for neg. part but stable for + electr.

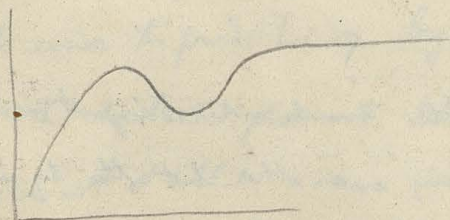
Thus 3 directions in which stable equilibria for + particles possible.

Such an atom thus could hold 3 other + charges in stable equilibrium

Dowditch: Force between centers ought to be repul. for small dist. — but change sign for greater
 Longest kind sign for greater



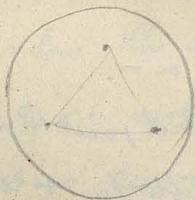
Considering how surface tension varies with thickness (Richter & Reinhold) can be determined



According to Dowditch, there is one maximum arises from one reversal in the law of attr. Therefore:

thus we get an Dowditchian wave in this direction.

There is a portion of this wave where ^{attr.} force incr. with dist.



region of stable equil.

Stability for tangential displacements by rotating the system or in consequence of magnetic force arising with rapid rotation.

Supposing the mag. produces ^{radial} magnetic force by this rotation.

This force will not affect the radial motion, but tangential motion turned into circle.

Supp. regular force (from ^{if} stable disk) and magnetic field

$$m \frac{d^2 x}{dt^2} = \mu x + H e \frac{dy}{dt}$$

$$\begin{matrix} x \\ y \end{matrix} = e^{i\omega t}$$

$$m \frac{d^2 y}{dt^2} = \mu y - H e \frac{dx}{dt}$$

stable if μ real roots

$$-x(m\mu^2 + \mu) = H e i \omega$$

$$-y(m\mu^2 + \mu) = -H e i \omega x$$

$$\begin{cases} (m\mu^2 + \mu)^2 = H^2 e^2 \omega^2 \\ m\mu^2 + \mu = \pm H e i \omega \end{cases}$$

$$\mu = \frac{1}{2} \frac{H e}{m} \omega \pm \sqrt{\left(\frac{H e}{2m} \omega\right)^2 - \frac{\mu}{m}}$$

$$\frac{1}{2} \frac{H e}{m} > \sqrt{\frac{\mu}{m}}$$

condition for stability

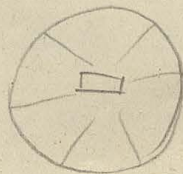
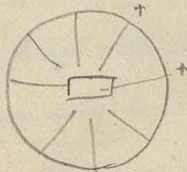
if > 0
the stable

[System stable for one displ., unstable for another direction, cannot made stable by mag. field]

Until now we considered force on charged systems

But magnetic system also for uncharged atoms

system of magnets (neutral atom)



thus stable equilibrium even for neutral atoms

1?

? If forces are charged E type or uncharged M type

Some may be of one, some of the other type.

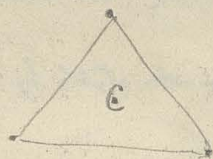
Hydrogen atom charged, Force ~~exp.~~ CH_4 depends mainly on el. charge on H atom,
by replacing this atom by other kind ^(with the same charge) Force will not be altered much.

Forces of M type, on the contrary will depend entirely on the internal structure of the atom. Then by replacing this H by other atom, whole would be changed, probably unstable. || ? If atoms are not charged?

Atoms in certain molecules seem to carry charges.

Rotation of plane of polarisation (byes) is easily explained if the atoms charged.

Carbon atom forces only in 4 axes ^{ending} stability.



If charges the same & masses equal, then wave of wave pol. light only turns the round but relative position equal, forces unchanged

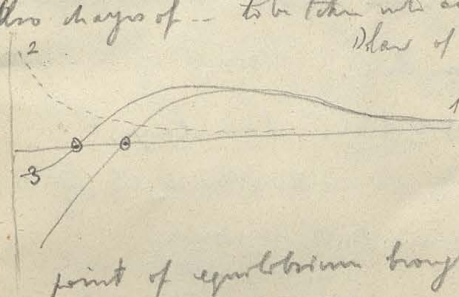
But if masses unequal, then displacements unequal, distortion of position and forces ~~on central atom~~ altered
Lorentz effect

3. We ~~don't~~ can't assume the velocity to be = number of regions of stability round the atom? 122

Stable growth possible only if number of atoms surrounding the central one is limited, because they are repelling each other. Thus it is not likely that each of those regions contains its atom. \downarrow and may change the stability conditions

This can be calculated only if law of central force is known exactly. (On our suppn of force as dist. 5 would be the max. number (because 6 unstable))

Also change of -- to be taken into account



Law of force exert by central atom if uncharged

2) Supp. ----- = force of other if central atom charged.

3) Complete curve if c.a. charged

point of equilibrium brought in

If the add. force due to charge is large, then no point of equbli.

Thus there must be a limit of charge for the central atom.

C.H.₄ [the plus of the cannot be filled up by 40 (double sized)]

because central atom in this case must ~~also~~ take eight charges and this would destroy stability]

but possibly the atom itself cannot bear the charge of such amount

[charge operated by taking away or in compound] and this process limited]

Atom may be unable from his nature to loose more than certain number of exp.

Change of velocity may arise from high temper.

\downarrow = really change of chemical properties

Kid. supposed to be neutral
 \therefore charge a central atom equal and opposite to those outside

if 2 faces considered

Dec 123



Conductivity in metals
 mixture of neutral
 atoms. so that besides atoms also a number of free corpuscles & corresponding
 number of + ions.

When el. force acting, the drift of + ions small in comp. to - corp.

Maxwell's law for corpuscles, mean kinetic energy =

el. field will move them, but strike on atom,

time allowed for el. field = between two encounters = τ

$\frac{Xe}{m} \tau$ = vel. prod. in dir. of el. force 2 cases:

Mean velocity = $\frac{1}{2} \frac{Xe}{m} \tau$

This may large or small comp. with vel. of light

1. if τ = small in comp. with v

τ = very approx. = $\frac{1}{v}$

$\frac{1}{2} \frac{Xe}{m} \frac{1}{v}$ = average drift

$\frac{Ne^2 X \lambda}{2m v} = \text{current} = I$

$\frac{Ne^2 \lambda}{2m v} = \text{conductivity} = \frac{1}{\rho}$

$k = \alpha C_v \frac{1}{2} m v^2 \lambda$
 for monatomic $C_v = \frac{3}{2} R$

If we consider these corp. not only as carriers of el. but also of the energy.

Thermal conductivity of gases $k = \frac{1}{3} \alpha \lambda \frac{v^3}{v}$

α = coeff. depending on
 the way of collision

$\frac{1}{k} = \frac{3}{2} \frac{e^2 v}{m^2 v^4} = \text{the same for every metal}$

for elastic spheres diff. from λ

(Wiedemann & Franz)

$= \frac{1}{15.70}$

(mv^2)

thus mass itself does not come in
 and inversely, no proof for

$$\frac{e}{m} = 10^7$$

$$J = 3000$$

$$m = \frac{1}{1000} \text{ H atom}$$

$$v = 6.10^{12}$$

$$\frac{1}{\sigma} \propto \frac{4.2}{900}$$

q = number of collisions in unit time = number of corp. formed

$\frac{n}{t}$ = number of ~~the~~ corp. disapp (by collision)

$$q = \frac{n}{t} = \frac{n v}{\lambda}$$

$$n = \frac{p \Delta}{v}$$

$$\frac{1}{\sigma} = \frac{e^2 q \lambda^2}{2 m v^2}$$

λ varying slightly only in
conseq. of expansion by temp.
slightly

$m v^2$ prop. ab. temp

if q not dependent on temp, then $\sigma \propto \text{Temp.}$

[if dis. were due to thermal process, q would depend on temp]

At higher temp it may be that q inc. more rapidly than v , resist.
would reach a maximum,
then rapidly decreasing.

Resistance of oxides?

If vel. great in comp. with v

$$\frac{m v^2}{2} = X e \lambda$$

$$v = \sqrt{\frac{2 X e \lambda}{m}}$$

then current would not obey Ohm's law
no indication yet in metals

Attempts to get n, λ separately:

Magnet field \perp el. force:

1244

curvature of path depends only on λ not on n

But if this the only effect produced then Hall effect, must have the same sign in all metals which is not the case.

Using very thin films of metal

If thickness $< \lambda$ ρ must be greater comparatively than in bulk

Spec resistance is greater in fact, and

but these deposits may ^{contain} ~~be~~ holes, surface tension may form

Influence of free corp. on optical properties of metals

n seems to be a number comparable with number of atoms

Capillary pressure, different in various metals, produced by contact, el. dep. on contact electricity

two kinds of ions: at low pressures $-ion = 10^3$ H atom | at ordinary press. wq. attached
 $+ ion = atom$ | to one or more molec.

Disappearance of ionization by recombination, after source of ions has been withdrawn: number of coll. between $+$ $-$: $= \alpha n^2$

$$\frac{dn}{dt} = -\alpha n^2$$

$$\frac{1}{n} = \alpha t + C$$

$$n = \frac{n_0}{1 + n_0 \alpha t}$$

theory conductivity at different intervals we get α (about 10^{-6})

Kinetic th.: num of coll. for air : $1.2 \cdot 10^{-10} n^2$

$$H_2 : 2.4 \cdot 10^{-10} n^2$$

So other forces must come into play and be of paramount importance

Mutual attractive forces between $+$ $-$

Law: inverse square; recombination if they describe circles round each other, separation again if parabolas or hyperbolas.

From theory of inverse square forces we know the criterion:

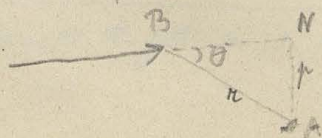
whether kin. energy of relative motion is \geq work required to separate the pair

$$T \geq \frac{e^2}{\kappa} \quad \text{or:} \quad r \geq \frac{e^2}{T} \quad \begin{matrix} \text{rep.} \\ \text{recomb.} \end{matrix}$$

T depends only on temperature, not on nature of gas

[To get the kin. of elliptic]

Instead of a substance B + dist. from line of motion of the other ion



$$p = r \sin \theta$$

if supp. that at B all directions of motion equally probable, then can be shown mean value of p :

$$p = \frac{\pi}{4} n$$

$$\therefore \text{condition for recombination: } p < \frac{\pi}{4} \frac{e^2}{T}$$

draw cylinder around direction of (relative) motion as axis, with radius $\frac{\pi}{4} \frac{e^2}{T}$
 every ion in this cylinder will be able to recombine with the unreacted ion
 Length of cyl. $V = \text{vel of rel motion}$

$$\text{volume: } \pi p_0^2 V$$

$$\text{number of recomb. in unit time: } \pi p_0^2 V n$$

$$\text{Total number of recomb} = \pi p_0^2 V n^2 \quad \therefore$$

$$\alpha = \pi p_0^2 V$$

$$T \text{ is known from Kn. th. S. : } T = \frac{3P}{N} = \text{pressure of gas}$$

$$= \frac{3 \cdot 10^6}{4 \cdot 10^{19}} = 10^{-13}$$

$$\therefore n = \frac{e^2 N}{3P}$$

$$N \text{ is known from electrolysis: } Ne = 1.2 \cdot 10^{10}$$

$$e = 3.5 \cdot 10^{-10}$$

$$n = 14 \cdot 10^{-6}$$

= 100 times the radius of mol.

Therefore, as numbr. of coll. prop. to square of diam.

so numbr. of coll. = 10000 times greater than numbr of coll. b. molec.

To get α we require to know V . Supposing ion of same order of H molecule

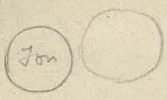
$$V (\text{rel. vel}) = \sqrt{2} \text{ average vel.}$$

$$= \sqrt{2} \cdot 1.8 \cdot 10^5$$

$$\text{thus we get } \alpha = 1.54 \cdot 10^{-6} \text{ which agrees with experimental value } \alpha = 10^{-6}$$

probably ion more complex, but not very much more, since order of magnitude right

when ion will get saturated with molecules?



Ion will attract a monohydrate molec. [suppose conductor!]

they ~~will~~ will keep the mol. if kinetic energy too small to tear asunder

this will go on forming complex system

it all depends on whether $\text{work} \geq \text{kin energy of the molec.}$

work smaller if sphere larger, thus we come to a stage where $\text{work} < \text{kin energy}$

Limit determined by equality:

work for separating two like charged spheres:

a. radi. sphere
b. charge

$$= 0.14 \frac{q^2}{a}$$

b = a =	0.14 a	kin en. $\frac{mv^2}{2}$	$n = 1.3 \cdot 10^{-6}$
1.6 - 200	0.56 a		

taking 10^{-8} radi. molec. = a

thus we find $2a < b < 3a$

ions not greater than 3 times molec.

in complex vapours, taking $a = 10^{-7}$:

$$a < b < 2a$$

aggregation greater in gases with small molec., monatomic gases

Of all substs. tried until now He has ~~the~~ most complex ion

vel. ^{of the electrons} 24 times > actual vel. for mol.

He

H 3

Cl 1

with increase of temp. rise of aggr. must diminish, ions fit simpler

Means of ascertaining the ions:

126

1) Rate of diffusion: for + ions of moisture, while for - charged with moisture

CO ₂	air	H	CS
0.245	0.2	0.128	0

(prop. Velocity)

$$D_{12} = \frac{n}{8N} [n_1 l_1 w_1 + n_2 l_2 w_2]$$

$N = n_1 + n_2$ number per cm³

l free path

w vel. of mol.

in case of an ion diffusing through ordinary gas $n_1 = 0$

$$N = n_2$$

$$D_{12} = \frac{n}{8} l_1 w_1$$

if ion = mol. $l_1 = 1.8 \cdot 10^{-5}$
 H_2 $w_1 = 1.7 \cdot 10^5$

$D_{12} = 1.2$ ten times as much as in reality

O_2 $l_1 = 1.02 \cdot 10^{-5}$
 $w_1 = 0.425 \cdot 10^5$

$D_{12} = 0.17$

CO_2 $l_1 = 0.65 \cdot 10^{-5}$
 $w_1 = 0.361 \cdot 10^5$

$D_{12} = 0.092$

much smaller than in reality

thus ions seem not to be much more complex than mol. of vapours

2) Velocity of the ions in electric field

Average velocity, produced in the interval between 2 coll.

$\frac{x e t}{m} = \text{final velocity}$

average velocity: $\frac{x e t}{2 m}$

$$\left[t = \frac{\lambda}{w} \right] = \frac{4 e \lambda^2}{2 m w}$$

Langevin's method:

ionizing the gas between || plates

(by R.R.)

rays cut off when experiment begins

right plate — electron.

left plate +, draws ions toward electron.

after some time left plate — (in equal amount), this draws — ions in electron.

ultimate charge dep on time of field acting

Supp field is strong that no recombination:

ions + ions $k_1 X$

— ions $k_2 X$

1) During time t : $\frac{\text{left hand plate absorbed}}{n_0 k_1 X t}$ towards elect.

$\rightarrow n_0 k_2 X t$

then are left $(l - k_2 X t)$

2) $\left[\begin{array}{l} \text{field} \\ \text{remains} \\ \text{constant} \end{array} \right] n(l - k_2 X t)$

III. $n[k_1 + k_2] X t - l] e = \text{charge on electrons} = q$



If t such that $[] = 0$

then all neg. ions drawn out, but still there are left some +

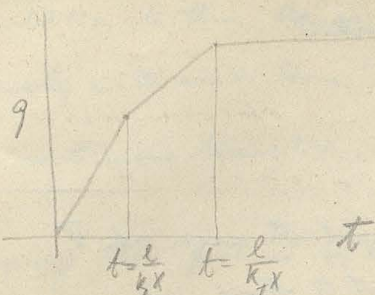
$$t = \frac{l}{k_2 X}$$

IV.

$$\left\{ \begin{array}{l} q = n l + k \end{array} \right.$$

$$t < \frac{l}{k_1 X}$$

IV. if $t > \frac{l}{k_1 X}$ then $q = n l$



from the determin. of points of bending
the numbers k_1, k_2 can be calculated

What are the ions in mixed gases? H, CO_2 ,
number of knicks gives the number of different ions in the mixture
Langmuir got only 3 knicks in this case, corresp. to $\left. \begin{matrix} \text{two} + \\ \text{one} - \end{matrix} \right\} \text{ions}$

this ex. pl., if neg. ion continuously breaking up and reforming again, average value
if they were stable, then there ought to be 4 knicks.

Results got by these methods:

vels. of ions with given el. face ought to be as $\lambda \propto \frac{1}{p}$ if ions don't vary themselves
but if the ion becomes simpler, then $p \times \text{vel.}$ is nearly with ex. haustion

Langmuir: dis vels. for 1 est. $\left(\frac{200V}{m}\right)$ +

p	k_1	$p k_2$	k_1	$p k_1$
7.5 cmHg	6560	647	4430	427
20	2204	580	1634	430
41	994	530	482	427
76	510	510	480	420
142	270	505	225	425

+ ions not appreciably altering; - ions would. differ

with very low pressures this difference much more marked
the same by increase of temperature

(neg ion splits up & gives off compound, at least)

$$v_2 = \frac{1}{2} \frac{X e}{m} \frac{\lambda}{V} \quad \text{on assumption that vlos compared with average vel. } V$$

therefore X not too strong

for very strong X : $v \propto \sqrt{X}$

	He	H ₂	O ₂	CO ₂	SO ₂	Cl ₂
v_2 calc'd.						
He for $X=1$	47.3 $\frac{\text{cm}}{\text{sec}}$	26	3.8	2.06	1.25	1.11
actually obs.	1.4	6.7	1.36	0.78	0.5	0.10
ratios	34	3.8	2.7	2.7	2.5	1.1

theor. vel. > obs. but not different order except He

If ion consisted of n moles instead of one, what would be the change in the
calculated result?

e the same

m increases in n

λ coll. between ions and molec.

λ depends on concentration

$$\frac{\lambda}{\lambda_0} = \frac{n+1}{2}$$

$$V = \frac{V_0}{\frac{\frac{1}{V_n} + 1}{2}}$$

$$\lambda = \frac{2\lambda_0}{n+1}$$

$$U' = \frac{U}{n} \frac{2}{n+1} \left(\frac{\frac{1}{V_n} + 1}{2} \right) = \frac{4U}{n(n+1)(\frac{1}{V_n} + 1)}$$

for $n=2$

$$U' = \frac{U}{3} \cdot \frac{2}{15}$$

\therefore only He

$n=3$

$$U' =$$

\therefore ion not very much bigger than molec.

In addition to these there is a number of ions with different order (two of them) especially in the air in towns.

122

no continuous transition. Perhaps instability between certain limits.

Supposing then produced by deposition of vapour on ordinary ions:

formation of drops: pot. energy of surface tension prevents small drops forming

↓ causes evaporation

but this can be stopped by putting a charge on the drop; the vapour does not carry off the charge.

pot. energy: $\frac{1}{2} \frac{e^2}{a}$

charge stops the evaporation

vapour pressure R.T. by $\frac{1}{P} = \frac{1}{4\pi a^2} \frac{d}{dr} \left(4\pi r^2 T + \frac{1}{2} \frac{e^2}{r} \right)$

neglecting influence of surf. ten. ~~area of drop on~~

$$= \frac{2T}{a} - \frac{e^2}{8\pi a^4}$$

stable equilibrium:

$$a = \sqrt[3]{\frac{e^2}{24\pi T}}$$

$$T = 76 \text{ H}_2\text{O}$$

$$a = \frac{1}{3.2} \cdot 10^{-7}$$

$$R.T. \text{ by } \frac{1}{P} = 2T \left(\frac{1}{a} - \frac{c^3}{a^4} \right) = \frac{2T}{c} \left(\frac{c}{a} - \frac{c^4}{a^4} \right) = \frac{2T}{c} (x - x^4)$$

if the drop is to grow into visibility: $x=0$

Maximum value for $x^3 = \frac{1}{4}$

in order to be able for the drop to get over this critical value air must be supersaturated so as to make R.T. by 6 equal to for this value



$$= \frac{2T}{c} 0.471 = \dots$$

$$\therefore \frac{r}{p} = 5.3 \quad \text{five fold saturation}$$

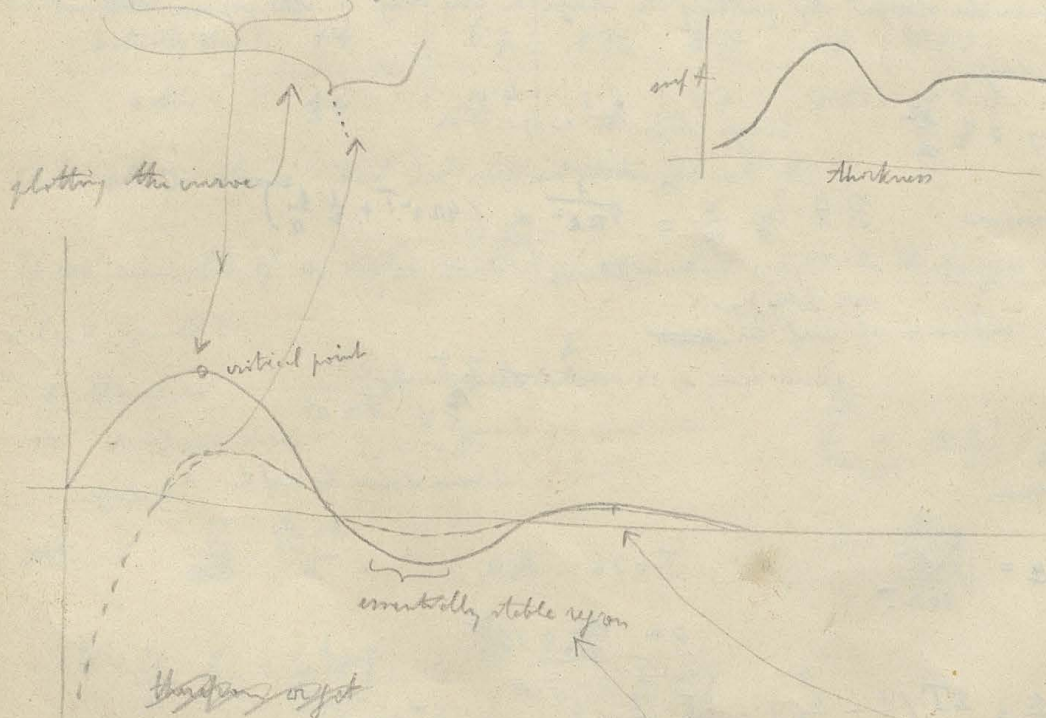
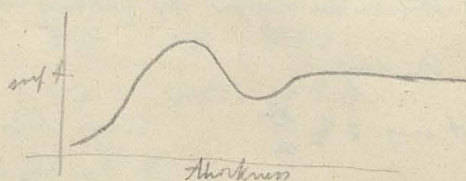
CTR Wilson found 4-5 fold the necessary to produce clouds.

but what can cause the small drops - ions?

supposing T to depend on a :

$$= \frac{2T}{c} + \frac{dT}{da} - \frac{a^2}{8\pi a^4}$$

experiment on surface tension (Reinhold & Rother)



supposing drop formed and evaporating again: evap faster until first max

then, as time elaps - , critical point which will not be passed

they itself, unless external change (temp) \therefore

these drops very persistent; probably these are the by ions of the air.

Unknown: if cloud once formed, then the least supersat. ~~is~~ is cloud producing.

If first means one reached or beyond, then only small narrow region (of supersat.) is able to give large drops. (On larger nuclei drops easily form)

Clouds with different liquids! ? and applic. of this theory!

For charged drops: first possible drops too small
second requires much less supersat. than uncharged.

So far independent of the sign of the ion.

But in fact less supersat. is required for - than + ; they can even be separated
by carefully adjusting the supersat., ~~if d. field applied~~

Electric fields in them during time! Because of falling of the - ion which have
bigger drops and d. field across.

Expt: double layer on surface of water Work done by gravity



If the drop is charged: e in the center of the drop

$\frac{2\pi}{a} + \dots$ represented the excess of pressure on the center

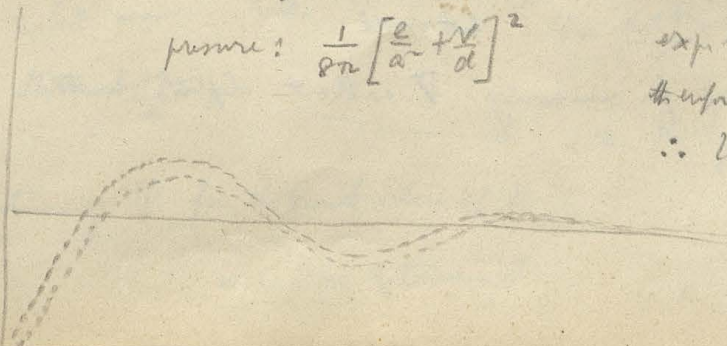
$$\text{el. force: } \frac{e}{a^2} \pm \frac{V}{d}$$

[if inner coating - : force the same as force due to charge

supp. e and water the same sign: $\frac{e}{a^2} + \frac{V}{d}$

$$\text{pressure: } \frac{1}{8\pi} \left[\frac{e}{a^2} + \frac{V}{d} \right]^2$$

exp. shows center - that +
therefore lower curve was to -
 \therefore layer on water -



Phenomena is common with the double layer H_2O - air
Electrostatic due to splashing, ~~it~~ & bubbling air through water

↓
Leaving air carried with it - el. || ↓
water remaining behind + Low kinetic
air -

As happens often by rapidly increasing surface
wet cloth extended

i.e. when surface rapidly increased: H_2O +
air -

[often assumed outer layer knocked off, therefore - would be working]
the water has to establish the double layer

some kind of chemical action, (influence of salts)

{ if outer layer were - (as usually is) the water had to attract the - for the
air & equal number of + would be left in the air

In fact reverse effect i.e. outer layer +

Other reports to try; which give opposite signs by bubbling, if they condense
comes on + the - ?

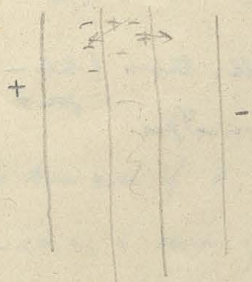
(By the same sign as H_2O)
still larger

(Temperature opposite)
but small

this could give method for measuring V without electro methods

Method (Langmuir) to find coeff of recombination.

130



remove a slab of air between 2 plates
for a moment, then left to itself.

if no field: recombination

if field: ions drawn out

if field ∞ then no time for recomb., all- on one all+ on other plate.
generally ~~not~~ amount of large dep. on ^{rate} ~~amount~~ of recombination, and
on velocity.

$\frac{dn}{dt} = -\alpha n^2$ if ~~perfect~~ but only in the interior layer where + and -

$k_2 X dt + k_1 X dt = \text{vel. of diminishing}$

$d\phi$

$$d\phi = n (k_1 + k_2) X dt$$

$$\times t = \left(\frac{1}{n} - \frac{1}{n_0} \right) = (k_1 + k_2) X \int \frac{1}{n^2} dt$$

$$\frac{1}{n} = \frac{1}{n_0} + \alpha t \quad \left| \quad \phi = (k_1 + k_2) X \int \frac{1}{n^2} dt \right. \\ \left. = \frac{(k_1 + k_2)}{\alpha} X \log(1 + n_0 \alpha t) \right| = \frac{k_1 + k_2}{\alpha} X \log \left(1 + \frac{n_0 \alpha}{(k_1 + k_2) X} \right)$$

$$n_0 l = \text{max} = \phi_0$$

$$\phi = \frac{k_1 + k_2}{\alpha} X \log \left[1 + \frac{\phi_0 \alpha}{X(k_1 + k_2)} \right]$$

$$R = \frac{k_1 + k_2}{\alpha} X$$

$$= R \log \left[1 + \frac{\phi_0}{R} \right]$$

then determine ϕ for different values of X

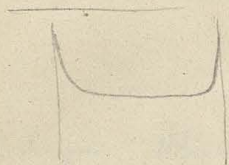
α can be determined

value of $-v_{-} > +v_{+}$

(diffusion increasing with diam. of pore)

therefore also more rapid diffusion of $-$ ions than $+$

this explains also electrodepos. when current goes passing through multibore tubes (take $-$ for $+$)



distrib. of d force between \parallel plates in ionized gas

greater in neighbourhood of plates;

greater at $-$ than $+$

simplest case: flame, where neg. ions enormously greater vol than $+$

great fall of potential close to the cathode (1-2 mm: 90 volts of which of 100V)

10V for the rest of 2 cm)

if $v_{-} \gg v_{+}$:

current carried practically by the $-$ ions

n_1 = number of $+$ ions
 n_2 = number of $-$ ions

$$\frac{dX}{dx} = 4\pi q = (n_1 - n_2) e$$

$$i = (k_1 n_1 + k_2 n_2) X e$$

$$\frac{\partial i}{\partial x} = 0$$

$q dx$ = number of $+$ ions per unit time in dx

$\propto n_1 n_2 dx = n$ recomb.

$$k_1 X n_1 (X + dx) k_1 (n_1 + dn_1) = k_1 X n_1 + \frac{\partial}{\partial x} (k_1 X n_1) dx$$

$$\frac{\partial}{\partial x} (k_1 X n_1) dx = \text{number lost in 1 time by this loss}$$

also diffusion equalling the numbers and giving rise to additional term, but

this very slow usually in comp. to first term

$$q - \alpha n_1 n_2 = \frac{\partial}{\partial x} (k_1 X n_1)$$

similarly for n_2

$$q - \alpha n_1 n_2 = -\frac{\partial}{\partial x} (k_2 X n_2)$$

$$\frac{1}{k_1} (q - \alpha n_1 n_2) = \frac{\partial}{\partial x} (X n_1)$$

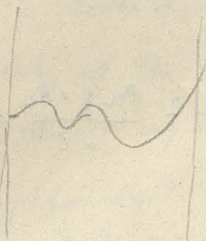
$$\frac{1}{k_2} (q - \alpha n_1 n_2) = -\frac{\partial}{\partial x} (X n_2)$$

$$\left(\frac{1}{k_1} + \frac{1}{k_2}\right) (q - \alpha n_1 n_2) = \frac{\partial}{\partial x} \left[X(n_1 - n_2) \right] = \frac{1}{4\pi e} \frac{\partial}{\partial x} \left(X \frac{dX}{dx} \right)$$

$$= \frac{1}{8\pi e} \frac{\partial^2 X^2}{\partial x^2}$$

this true even if k, q varying with x

$q - \alpha n_1 n_2 =$ sum of ions over neutrals ; sign of \uparrow



Supp $k_2 \gg k_1$

$$k_2 X n_2 e = i = \text{const}$$

$$q - \alpha n_1 n_2 = 0$$

$$\frac{dX}{dx} = 4\pi e (n_1 - n_2)$$

$$n_1 = \frac{q}{\alpha} \frac{k_1 X e}{i}$$

$$n_2 = \frac{i}{e X k_2}$$

$$X \frac{dX}{dx} = 4\pi e \left(\frac{q e k_1 X^2}{\alpha i} - \frac{i}{e k_2} \right)$$

$$\frac{d(X^2)}{dx} = 8\pi e \left(\frac{q e k_1 X^2}{\alpha i} - \frac{i}{e k_2} \right)$$

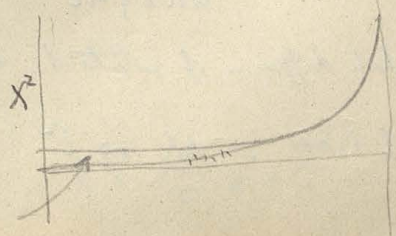
$$y = \frac{b}{a} + c e^{ax}$$

$$X^2 = \frac{\alpha i^2}{q e^2 k_2^2} + c e^{8\pi e \frac{q e k_1}{\alpha i} x}$$

totally x for the other end $x \rightarrow \infty$

$$X^2 = \frac{\alpha i^2}{q e^2 k_2^2} + c e^{8\pi e \frac{q e k_1}{\alpha i} (2x)}$$

$$X = \sqrt{\frac{\alpha i}{q e k_2}}$$



$$(q - \alpha n_1 n_2) \left(\frac{1}{k_1} + \frac{1}{k_2} \right) = \frac{1}{8\pi l} \frac{\partial X}{\partial x}$$

~~(q - \alpha n_1 n_2)~~ integrating over area where boundary = cathode ; sum of —

cathode gives out neg. ions (when hot), current on surface = i_0



$$i(i_0) = \int_0^{k_1 x_0} (q - \alpha n_1 n_2) dx$$

$$= \frac{1}{8\pi \left(\frac{1}{k_1} + \frac{1}{k_2} \right)} \left[\frac{\partial X}{\partial x} \right] = -c \frac{8\pi q e k_2}{\alpha i} e^{+k_2 x}$$

$$= -\frac{c q e k_2}{\alpha i \left(\frac{1}{k_1} + \frac{1}{k_2} \right)} \neq -\frac{c q e k_2 k_1}{\alpha i}$$

$$c = \frac{\alpha i (i - i_0) e^2}{q k_1 k_2}$$

if k_1 very small then force at cathode very great
relation between current and X by integrating

$$X = \frac{ik}{e} \sqrt{\frac{\alpha}{q}} \quad \text{until near cathode}$$

$$\int X = \sqrt{c} \int e^{-\frac{8\pi q e k_2}{\alpha i} (2-x)} dx$$

$$\Delta X = \frac{\sqrt{c} \alpha i}{4\pi e q k_2} = \sqrt{\frac{\alpha i \sqrt{(i-i_0) \alpha i}}{4\pi e q^2 k_1 k_2}}$$

$$\text{whole difference of potential} = \frac{ik}{e} \sqrt{\frac{\alpha}{q}} + \uparrow$$

$$\text{if } i_0 = 0 : \Delta X \propto i^2$$

two parts of potential different here

constant part there too, but the drop at cathode $\propto i^2$

$$V = a i^2 + b i^2 \quad (\text{known experimental formula})$$

132

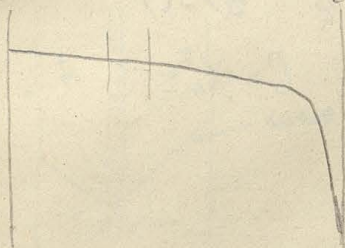
There was the view that convection nearly whole at the cathode, nearly nothing in the rest.

because increase of distance had little effect when ~~disturbance~~ ^{in current} obtained at cathode

if it depended on hypothesis that current was saturated, which does not seem true at all another exper. in favour of this view

putting a beadle of salt in the flame close to the cathode produces an enormous increase, but in the body of the flame very little effect

but we should expect that after one melts on account of the field felt outside the neighbourhood of cathode



$$\text{cath. fall} \sim \frac{\sqrt{i(i-i_0)}}{4\pi e g k_1 k_2}$$

salt near the cathode increases the value of g (early 100 times)

then ΔV dim. $1:1000$

which would require enormous increase of current

H.A. Wilson: relation between current and potential $V = a i^2 + b i^2 \neq b i^2$

the whole condition by flames expl. by this hyp. that only regions transporting current points have the function of keeping the gradient of ϕ small.

If the ions instead of being produced in the gas are emitted by the surface (cathode, heated wire). If field small, no ions in the rest of the gas, and current carried only by these ions.

$$\text{All ions of one sign} \quad \begin{cases} k \times n e = i = \text{const} \\ \frac{\partial \phi}{\partial x} = 4\pi n e \end{cases}$$

$$\therefore x \frac{d\phi}{dx} = \frac{4\pi i}{k}$$

$$\phi^2 = \frac{8\pi i}{k} x + C$$

ions shot off at cathode would knock against molec. and partly going back again into cathode, unless they are removed

Steady state : J coming out of cath.

i passing through plane in ^{small} distance

v = molecular velocity of ions

N = number of ions near cathode $\left\{ \begin{array}{l} \text{half moving backwards} \\ \text{half forward} \end{array} \right.$

$$\frac{1}{2} v N e = \text{charge carried}$$

$$i = J - \frac{1}{2} v N e = J - \frac{1}{2} v \frac{i}{k X_0}$$

$$\frac{k X_0}{v} = \frac{N e}{2(J-i)}$$

$$k X_0 N e = i$$

$$C = X_0^2$$

$$\text{if } X_0 = 0 : \quad X_{\text{at anode}} > \sqrt{\frac{\rho n i}{k}} l$$

$$\frac{J}{k} (2J-i) \ll \sqrt{\frac{\rho n i}{k}} l$$

2

$$i \ll J$$

$$v \ll$$

free reagent to saturate : prevent ions getting back into cathode

$$k X > v$$

$$\text{Putting } C=0 : \quad X = \sqrt{\frac{\rho n i}{k}} x$$

$$\text{integrating:} \quad V = \frac{2}{3} \left(\frac{\rho n i}{k} \right)^{1/2} l^{3/2}$$

$$= \frac{\rho n i}{4} \frac{V^2}{l^3}$$

current increases not more rapidly than Ohm^2 law

133

and as long as $C=0$

current independent of number of ions shot off $N!$

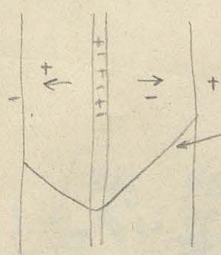
but if small supply, the ion will be saturated very soon

Unipolar conduction: as cathode it can carry a current, but not as anode

Any difference in the electrodes will make the current partly unipolar

Only if absolute uniformity of ionization between the plates, no unipolarity.

For sup. source confined to slab ~~at face of~~ between the plates
symmetry only if in the middle



If only layer of ionized gas

distrib. of el. force with dip. in the middle

So far assumption: motion along el. force: if ion small in comp with temp. velocity

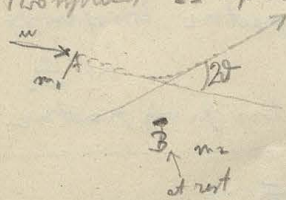
But also different cases for cathode rays

Consider ion, only deflection prod. by el. f.

Ion projected with any velocity, how will its motion be affected by the guide through which it moves.

How will its path be influenced by neighbourhood of a molecule?

Two systems A rapidly moving (great in comp with average vel of atom)



It will depend on the law of force

motion of centre of gravity, undisturbed

velocity of A after collision?

$$(m_1 + m_2) \bar{u} = m_1 u$$

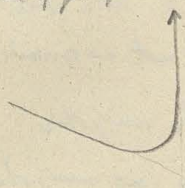
vel. of c. of gr.

$$\bar{u} = \frac{m_1}{m_1 + m_2} u$$

Relat. mot.

$$u - \bar{u} = u - \frac{m_1}{m_1 + m_2} u = \frac{m_2}{m_1 + m_2} u$$

C of mass fixed:



rel. vel. in as distance unchanged

$$\frac{m_2 u}{m_1 + m_2} \cos 2\theta = u \sin \theta$$

$$\text{dist. vel. : } u' = \bar{u} + \frac{m_2 u}{m_1 + m_2} \cos 2\theta = \left(\frac{m_1 + m_2 \cos 2\theta}{m_1 + m_2} \right) u$$

$$u' - u = \frac{m_2 u}{m_1 + m_2} (\cos 2\theta - 1) = -2 \sin^2 \theta$$

Change of energy:

$$u' = u - 2 \sin^2 \theta \frac{m_2 u}{m_1 + m_2}$$

$$v' = \frac{m_2 u}{m_1 + m_2} \sin 2\theta$$

$$\frac{m_1}{2} (u'^2 + v'^2) = \frac{1}{2} m_1 u^2 \left\{ \left(1 - 2 \sin^2 \theta \frac{m_2}{m_1 + m_2} \right)^2 + \sin^2 2\theta \frac{m_2^2}{(m_1 + m_2)^2} \right\}$$

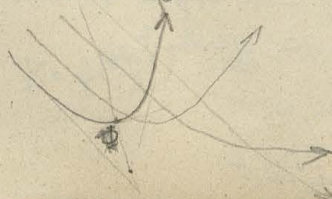
$$= \frac{m_1 u^2}{2} \left\{ 1 - 4 \sin^2 \theta \frac{m_1 m_2}{(m_1 + m_2)^2} + (4 \sin^4 \theta + 4 \sin^2 \theta \cos^2 \theta) \frac{m_2^2}{(m_1 + m_2)^2} \right\}$$

$$= \frac{m_1 u^2}{2} \left\{ 1 - 4 \sin^2 \theta \frac{m_1 m_2}{(m_1 + m_2)^2} \right\}$$

$$T' = T \left\{ 1 - 4 \sin^2 \theta \frac{m_1 m_2}{(m_1 + m_2)^2} \right\}$$

$$\Delta T = -4 T \sin^2 \theta \frac{m_1 m_2}{(m_1 + m_2)^2}$$

About θ : motion from: $\frac{k}{\partial n}$
slipping & fixed



for perfect loss of energy
 $\approx \frac{1}{m_2}$
no loss for very perfect

$$\theta = \frac{\pi}{2} - \frac{\pi}{4}$$

radius!

rel of distance in no distance

$$v_p = \rho^2 \frac{\partial \rho}{\partial t}$$

$$\text{what we want: } \int \frac{\partial \rho}{\partial t} dt$$

$$\int \frac{v_p}{\rho^2} dt$$

$$\text{work done } \int \frac{k}{\rho^n} d\rho = \frac{1}{n-1} \frac{k}{\rho^{n-1}}$$

$$\frac{1}{2} m v^2 - \left[\frac{\partial \rho}{\partial t} \right]^2 + \rho^2 \left[\frac{\partial v}{\partial t} \right]^2 \frac{m}{2} = \frac{1}{n-1} \frac{k}{\rho^{n-1}}$$

$$\frac{1}{2} m v^2 - \frac{1}{2} m \left[\left(\frac{\partial \rho}{\partial t} \right)^2 + \frac{v_p^2}{\rho^2} \right] = \frac{1}{n-1} \frac{k}{\rho^{n-1}}$$

$$\frac{\partial \rho}{\partial t} = \sqrt{\frac{\frac{1}{2} m v^2 - \frac{1}{n-1} \frac{k}{\rho^{n-1}} - \frac{v_p^2}{\rho^2}}{\frac{1}{2} m (1 + \frac{v_p^2}{\rho^2})}}$$

$$\int \frac{v_p}{\rho^2} \frac{d\rho}{\frac{\partial \rho}{\partial t}} = \int \frac{v_p}{\rho^2} \frac{d\rho}{\sqrt{1 - \frac{v_p^2}{\rho^2} - \frac{2km}{n-1} \frac{1}{\rho^{n-1}}}}$$

find limit root of equation () = 0

$$\frac{1}{\rho} = 2$$

$$= v_p \int \frac{dz}{\sqrt{1 - v_p^2 z^2 - \frac{2k}{m(n-1)} z^{n-1}}}$$

$$z = x$$

$$\Phi = \int_0^{x_1} \frac{dx}{\sqrt{1 - x^2 - \frac{2k}{m(n-1)} \left(\frac{x}{r}\right)^{n-1}}}$$

$$x_1 = \text{root of } \Phi = 0$$

$$\sqrt{1 - x^2 - \left(\frac{2x}{\alpha}\right)^{n-1}}$$

$$\alpha = \frac{m_1 v_p^{n-1}}{k}$$

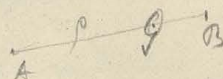
$$\alpha = r \left(\frac{m_1 v^2}{k} \right)^{\frac{1}{n-1}}$$

$\therefore \Phi$ only function of α ;

if centre of gravity fixed instead of one of the particles

Suppose force = $\frac{k}{\rho^n}$

If ρ measured from centre of gravity



$$AB = \frac{m_1 + m_2}{m_2} \rho$$

$$\text{force} = \frac{k}{\left(\frac{m_1 + m_2}{m_2}\right)^n \rho^n} \quad \text{instead of } k \dots \frac{k}{\left(\frac{m_1 + m_2}{m_2}\right)^n}$$

ρ = perp from fixed point on dir. of m_1 ; instead in take b

$$\frac{n-2}{n-1}$$

$$\rho = \frac{m_2}{m_1 + m_2} b$$

velocity with refer to fixed point

$$V = u \frac{m_2}{m_1 + m_2}$$

$$\begin{aligned} \alpha &= \frac{m_2}{m_1 + m_2} \cdot \left[\frac{m_2^2}{(m_1 + m_2)^2} \left(\frac{m_1 + m_2}{m_2} \right)^{\frac{1}{n-1}} \right] b \left(\frac{u^2 m_1}{k} \right)^{\frac{1}{n-1}} \\ &= b \frac{m_1 m_2}{m_1 m_2} \left(\frac{u^2 m_1}{k} \right)^{\frac{1}{n-1}} \end{aligned}$$

Supp. moving, through dist. Δx with per. b

how many particles will come across ?

$$2\pi b db \Delta x N = \text{numb. with which it comes into collision}$$

total change in distance Δx :

$$\Delta u = \frac{m_2 u}{m_1 + m_2} 2\pi \int_0^\infty b db \Delta x N$$

big & little d's

$$b db = \alpha da \quad \frac{m_1 m_2}{m_1 + m_2} \left(\frac{U^2}{k} \right)^{-\frac{2}{n-1}}$$

$$\frac{du}{dx} = -u \frac{m_2}{m_1 + m_2} \frac{N Z e^2}{k} \frac{m_1 m_2}{m_1 + m_2} \left(\frac{U^2}{k} \right)^{-\frac{2}{n-1}} \int_0^\infty \sin^2 \theta \cdot \alpha da$$

~~for~~ ^{more} ~~number~~ ^{number}

$$\frac{du}{dx} = -$$

I). α particles = bodies with masses concentrated with nucleus

supp. ind. of it shot out with great velocity, travelling through gas, what its

diminution of veloc.

Supp: $\frac{1}{25}$ $n=5$

$$u = U$$

$$\frac{du}{dx} = -u \frac{1}{25} n \left(\frac{U^2}{k} \right)^{-\frac{2}{n-1}}$$

$$\frac{du}{dx} = -u \frac{m_1 m_2}{(m_1 + m_2)^2} \frac{Z e^2 N}{k} \int_0^\infty \sin^2 \theta \cdot \alpha da$$

loss independ of velocity; they would lose the same amount for every cm of their path

Rutherford's interpretation has results as $\frac{du}{dx} = -u$ but experiment enough correct

$$\frac{du}{dx} = \text{const} = -C$$

Distance required to produce certain dimin. of velocity $\frac{1}{C}$

α part. cease to ionize in certain distance; this range $\propto \frac{1}{C}$ stopping power (Drugg)

stopping force \propto prod. of masses

$$\frac{k}{m_1 m_2} \text{ constant}$$

$$C = - \frac{Z m_2 N}{(m_1 + m_2)^2 k}$$

$$\text{stopping power} \propto \frac{m_2}{(m_1 + m_2)^{1/2}}$$

$$\text{if } m_2 \gg m_1, \quad \text{stopping power} \propto \sqrt{m_2}$$

Bragg found that law: stopping power $\propto \sqrt{\text{atomic weight}}$

this would fit in with the law $\frac{1}{v^2}$ if a particle ordinary molecules

k can be calculated from diffraction ^{of x-rays}, then we can compare this calculated constant with ~~the~~ experimental stopping power.

$$A_1 = \int \left[N A_1 \sqrt{m} \right] = \frac{1}{D \rho} \frac{d\mu}{dx} = \frac{d\mu}{dx} = 1.7 \cdot 10^{10}$$

$\leftarrow \text{diff } H_2 \rightarrow H_2 = 0.6$

~~the~~

vel. would fall in 1cm by $1.7 \cdot 10^{10}$!

loss ^{of vel.} has been measured; (range = 8cm \approx and in this they lose only 30%
in air = 32 in H_2)

quite inconsistent!

it travels much further than this law would let us expect

if we had a law which would make absorption of very fast part. smaller:

$$\text{Supp } f = \frac{1}{v^4} \quad (\text{Lutheland})$$

$$\frac{d\mu}{dx} = \mu \cdot N \frac{m_2 m_1}{(m_1 + m_2)^{5/2}} = \mu \frac{m_2}{m_1 + m_2}$$

fast part. lose much less

it would come of about the right order of magnitude

$$\left[\frac{\text{vel. of light}}{\text{vel. of sound}} \right]^{1/3}$$

but then the stopping power not $\sqrt{\text{mol. weight}}$

136

but as $\frac{m_1}{(m_1 + m_2)^{1/3}} \neq m^{2/3}$ ←

Moss finds recently: $a \sqrt{m} + b m$; this would be reconcilable with

putting $n=3$ $\frac{dn}{dx} \sim \frac{1}{u}$

this would make the rate of den. of his energy constant || which is generally assumed

this would make the absorption too small

putting $n=2$ (then or shell energy for β particles)

$\frac{dn}{dx} \sim \frac{1}{u}$

for a part, there is no reason to believe that they are not atoms

Negative ions.

The body with which they collide will not be the atom, but the constituents of the atom
force nearly this which comes from the neighbourhood of the most ionisable



force $\sim \frac{e^2}{k r^2}$

k inside atom comparable with $\frac{1}{4\pi\epsilon_0}$ dielectric constant
or if + electron compressible, this would diminish force,

$\gamma_{\text{ion}} = - \frac{2 n z e^2 u \sin \theta}{m_1 + m_2}$
of ion

but also the other ions will meet during collision in comp. of mutual forces; approximately true, putting m_2 different of m_1 (if ions were rigidly connected, the whole mass of the atom would come into account)

$\frac{z}{2} - \theta = \int_0^{x_1} \frac{dx}{\sqrt{1-x^2 - \frac{2x^2}{a^2}}}$

now $n=2$ $= \int_0^{x_1} \frac{dx}{\sqrt{1-x^2 - \frac{2x^2}{a^2}}} = \int_0^{x_1} \frac{dx}{\sqrt{1-x^2 + \frac{2x^2}{a^2}}} = \dots \arcsin \dots$
 $= \frac{\pi}{2} - \dots$

$$\theta = \sin^{-1} \frac{1}{\alpha \sqrt{1+\alpha^2}}$$

$$\sin \theta = \frac{1}{1+\alpha^2}$$

$$\alpha = b \frac{m_1 m_2 V^2}{(m_1 + m_2) K}$$

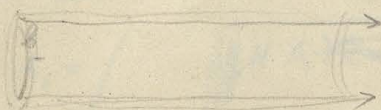
$$\sin \theta = \frac{1}{\alpha \sqrt{1+\alpha^2}}$$

$$\sin \theta = \frac{1}{1 + b^2 \frac{m_1^2 m_2^2 V^4}{(m_1 + m_2)^2 K^2}}$$

$$\alpha = b \frac{m_1 m_2 V^2}{(m_1 + m_2) K}$$

$$\Delta u = - \frac{2 m_2}{m_1 + m_2} \frac{1}{1 + b^2 V^4} u$$

↑
effect of own collision on



$$\text{volume} = dx \cdot 2\pi b db$$

$$\Delta u = -u N dx \int_0^{b_1} 2\pi b db \frac{2m_2}{m_1 + m_2} \frac{1}{1 + b^2 V^4}$$

? upper limit ? outside the atom the system acts with no force, therefore $b < \text{radius atom}$, it would depend on distance between ions in atom

$$\Delta u = -u N dx \pi \frac{2m_2}{m_1 + m_2} \frac{\log(1 + b_1^2 V^4)}{V^4}$$

$$\frac{\Delta u}{dx} = -u N \pi \frac{2m_2}{m_1 + m_2} \frac{\log(1 + b_1^2 V^4)}{V^4}$$

$$\frac{1}{V^4} \frac{d}{dx} \log(1 + b_1^2 V^4)$$

$$\frac{\Delta u}{dx} = -u \frac{2m_2}{m_1 + m_2} \pi N \frac{\log(1 + b_1^2 V^4)}{V^4}$$

V may remain unchanged even when u changes

$$u = c e^{-\gamma x}$$

$$\gamma = \frac{2m_2}{m_1 + m_2} \pi N \frac{\log(1 + b_1^2 V^4)}{V^4}$$

$$\propto \frac{1}{V^4}$$

absorption of
fix: β particles $\frac{1}{10^4}$ of cathode rays

penetrating power $\propto V^4$

really it seems to vary even more rapidly

but absorption is of several kinds 1) diffusion, scattering in all directions without loss of energy
2) loss of energy

this could be detected by measuring the number of particles (charge current) ^(Lorentz) ^{in the beam} ^{2).}

By measuring the phosphorescence both effects are of influence

137

By measuring the ionization also a mixed effect

meaning 1).

2). velocity (by magnet deflection) this effect would be detected

separately

Lorentz said ρ is density, indep of nature of medium

$$\epsilon^2 \theta = \frac{1}{1 + \frac{8^2 V^4}{K^2} \frac{m_1 m_2}{m_1 + m_2}}$$

$$\frac{\Delta u}{\Delta x} = -2\pi \frac{m_2}{m_1 + m_2} \frac{N u}{V^2 K^2 \left(\frac{m_1 m_2}{m_1 + m_2}\right)^2} \log \left(1 - \frac{u}{c}\right) \quad u = c e^{-\lambda x}$$

$$\lambda = \frac{2\pi m_2}{m_1 + m_2} \frac{N}{K^2 V^4 \left(\frac{m_1 m_2}{m_1 + m_2}\right)^2} \log \dots \quad N m_1 = \text{density} = \rho$$

$$= \frac{2\pi m_1}{m_1 + m_2} \frac{\rho}{m_1 V^4 \frac{e^4}{K^2} \left(\frac{m_1 m_2}{m_1 + m_2}\right)^2} \log \dots = \frac{2\pi \rho}{\frac{m_2^2}{m_1 + m_2} V^4 e^4} \log \dots$$

$$\frac{\lambda}{\rho} = \frac{2\pi \left(\frac{e^2}{K^2}\right) \frac{m_1 m_2}{m_1 + m_2}}{\frac{m_2^2}{m_1 + m_2} V^4 e^4} \log \dots$$

$\frac{m_1 m_2}{m_1}$ varies very little, between 1 and 2
for any possible values of $\frac{m_1}{m_2}$

we know e (in electro. units) = $3.5 \cdot 10^{-10}$

$$\frac{e}{m} = 1.7 \cdot 10^7 V_0$$

Suppose $V = \beta V_0$ (velocity = fraction of vel. of light)

$$\frac{\lambda}{\rho} = \frac{2\pi}{K^2 \beta^4} 6.10 \cdot \frac{m_1 m_2}{m_2} \log \dots$$

β from known $\gamma = \frac{4}{5}$; $\frac{\Delta}{p}$ determined $\neq 10$
 $\gamma^2 \neq \frac{1}{2}$

$$\frac{\Delta}{p} = \frac{240.2}{n^2} \underbrace{\frac{\text{mm}}{n}}_{>1} \underbrace{\gamma}_{>1} \quad \therefore \quad \kappa \text{ about } = 10$$

on account of the κ the effect of with inside down less severe as if the components were outside the space.

with much striking of cathode rays there must be also a diffuse reflection, caused by the deviation of the paths

and perhaps also something like W.L.'s effect on metals.

reflected wavefronts and secondary rays will make up the diffuse reflection

How to disentangle these two effects?

We should expect the velocity of the returning particles to be of the same order as the incident ones.

Lenard (working with 1000000V) finds no refl. rays with similar vol.
 but large number of particles (7-8% vol.).

But with more rapid rays 30-40,000V vol. of refl. rays mostly of the same order (not necessarily secondary rays but probably mostly returned)

Still faster: β particles eff. of vol. in elec. for incident rays $\lambda = 16$
 returned rays from lead $\lambda = 18$

exception glass, cannot, break gave returned rays with nearly the same abrupt. as the incident ones

This would point to the returned rays to be reflected

γ rays (Röntgen R^2) coming from Radium falling on substance produce radiation consisting of β particles.

amount only small fraction of that prod. by β (only about $\frac{1}{5}$)
this certainly is secondary; but the difference between that prod. by γ and β does not seem very different.

~~for~~ ^{returned} ~~second~~ γ 17% more abn. than β returned.

If they are really secondary γ then it is very curious that velocity much the same for different materials.

Rays impinging on plate, take into account ^{and unknown} ~~of~~ reflection, amount of reflection?

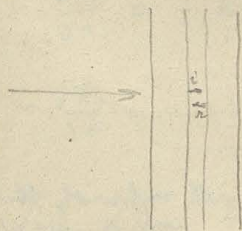
I = stream in direction of incidence

R = " "

reflection

$\mu(I+R)\Delta x$ = amount absorbed

$k\mu(I+R)\Delta x$ = emitted
 $\frac{1}{2}$ forwards
 $\frac{1}{2}$ backwards



$$\Delta I = \frac{1}{2} k\mu(I+R)\Delta x$$

$$- \mu I \Delta x$$

$$\frac{\partial I}{\partial x} = \frac{1}{2} k\mu(I+R) - \mu I$$

$$-\frac{\partial R}{\partial x} = \frac{1}{2} k\mu(I+R) - \mu R$$

$$I = a e^{\lambda x}$$

$$R = b e^{\lambda x}$$

$$\begin{aligned} a\lambda &= \frac{1}{2} k\mu(a+b) - \mu a \\ -b\lambda &= \frac{1}{2} k\mu(a+b) - \mu b \end{aligned}$$

$$\lambda = \mu(1-k)$$

$$\begin{aligned} I &= a_1 e^{\lambda x} + a_2 e^{-\lambda x} \\ R &= b_1 e^{\lambda x} + b_2 e^{-\lambda x} \end{aligned}$$

~~for~~

$$x=0 \quad I=I_0:$$

$$A_1 + A_2 = I_0$$

$$x=d: \quad R=0:$$

$$A_1 \frac{(\lambda + \mu)(1-k)}{\frac{1}{2}k\mu} e^{\lambda d} + A_2 \frac{-\lambda + \mu(1-k)}{\frac{1}{2}k\mu} e^{-\lambda d} = 0$$

$$\text{amount coming back} = R|_{x=0}$$

$$\text{going through} = I|_{x=d}$$

$$R = A_1 \frac{\lambda + \mu(1-\frac{1}{2}k)}{\frac{1}{2}k\mu} + A_2 \frac{-\lambda + \mu(1-\frac{1}{2}k)}{\frac{1}{2}k\mu}$$

$$R = \frac{\mu^2(1-\frac{k}{2})^2 - \lambda^2}{\mu(1-\frac{k}{2})} \frac{(1-e^{-2\lambda d})}{(\dots)e^{-2\lambda d}}$$

$$\text{Supp. } \lambda d \rightarrow \infty$$

$$R = \frac{\mu^2(1-\frac{k}{2})^2 - \lambda^2}{\mu(1-\frac{k}{2}) + \lambda} \frac{I_0}{\frac{1}{2}k\mu} = \frac{\mu(1-\frac{k}{2}) + \lambda}{\frac{1}{2}k\mu} I_0$$

$$\text{for } k=1 \quad \lambda=0 \quad R=I_0 \quad \text{total reflection (but only with sufficiently thick plates)}$$

100% of white refl. rad. are due to y rays (the others)

energy in incident rays $\frac{1}{2}\beta$, $\frac{1}{2}\mu$

these plates are very thin for y rays, and we could not expect to get so much as there is in reality

$$\downarrow$$

$$A_2 = A_1 \frac{\lambda + \mu(1-k)}{-\lambda + \mu(1-k)} e^{2\lambda d}$$

$$A_1 = I_0 \frac{1 + \frac{\lambda + \mu(1-k)}{-\lambda + \mu(1-k)}}{e^{2\lambda d}}$$

=

$$J = e^{-\lambda d} \frac{1 - \mu(1 - \frac{k}{2}) - \lambda}{1 - \frac{\mu(1 - \frac{k}{2}) - \lambda}{e^{-\lambda d}}} J_0 = \frac{1 - \frac{\mu(1 - \frac{k}{2}) - \lambda}{e^{-\lambda d}}}{1 + \frac{\mu(1 - \frac{k}{2}) - \lambda}{e^{-\lambda d}}} J_0$$

coefficient of absorption doesn't in the ordinary

way are to be corrected very much, depending on thickness.

This may explain why coeff of abs. seems to depend on thickness of plate.

Supp $k > 1$ then λ imaginary, something like Newton's Rings

this important for secondary ~~with~~ radiation

For simplicity D. with tertiary radiation

$$J \rightarrow \left| \right| \quad \mu J \quad \frac{\partial J}{\partial x} = -\mu J \quad \left| \right| \quad J = J_0 e^{-\mu x}$$

$$\frac{\partial J_1}{\partial x} = \frac{1}{2} k \mu J - \mu_1 J_1$$

$$J_1 = A e^{-\mu_1 x} + \dots$$

$$-\frac{\partial R_1}{\partial x} = \dots - \mu_1 R_1$$

$$R_1 = B e^{+\mu_1 x} + \dots$$

Supp d very big, complete absorption

$$R_1 = \frac{1}{2} \frac{k + \mu}{\mu + \mu'} J_0$$

If primary = β not much diff between prim. and secondary in respect to penetrating power

$$R_1 = \frac{J_0}{4} \quad \text{mean amount}$$

but we get $\frac{J_0}{2}$ from U_a (perhaps account tertiary, etc.)

But when incident is β Rad.

| The second very much like second β
= like β

Now amount $\frac{k}{200}$

$\therefore \mu' = 200 \mu$ | becoming 200 times more
penetrating than β

$$R = \frac{k}{200} J_0 \quad | \text{highest possible } k=1$$

But Re Chilled copper have given $R = \frac{J_0}{5}$ even for impossibly thick plates

$\therefore k \gg 1$ i.e. more energy produced than absorbed!

matter struck must be source of energy



$$J = J_0 e^{-\mu x} \quad \text{amount transp into sec. rad.}$$

$$J = - \left(e^{-\mu x} - e^{-\mu' x} \right)$$

$$R = \frac{k \mu}{\mu + \mu'} (e^{-\mu x} - e^{-\mu' x})$$

$$\text{for } x=0 \text{ upon } R =$$

$$x=d \text{ in air } J =$$

β rays; suppose plate suff. thick to absorb secondary (μ') but not primary (μ):

$$R_i = \frac{k \mu}{\mu + \mu'} \quad J = \frac{k \mu}{\mu + \mu'} e^{-\mu d}$$

this gives us a means of finding k
wire frame

26

Suppose 2 wire frames and instead rays
ionizing the gas between; find the
direction

$$\text{will be as } \mu \text{ in air} = \nu J_0 D$$

if we put in now the plate:

second primary rad. } both are acting as
and secondary rad. } source now

by de

primary rays: $J_0 e^{-\mu d}$

amount produced $\propto J_0 e^{-\mu d} D$

1440

secondary: $\frac{k\mu}{\mu' - \mu} J_0 e^{-\mu d}$

these are much more easily absorbed

$$\propto D \frac{k\mu}{\mu' - \mu} J_0 e^{-\mu d}$$

total ionization

with plate:

ionization without plate

$$= \frac{1}{\frac{k\mu}{\mu' - \mu} \frac{\mu'}{\mu} + 1}$$

for $\mu' \neq 0$

the coeff of absorpt are nearly prop density

$$\sim \frac{\mu'}{\mu} = \frac{\mu}{\mu'}$$

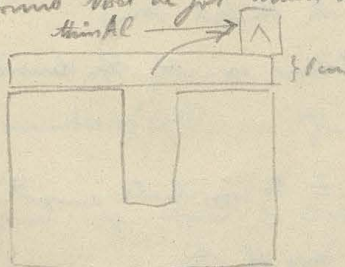
$$\rightarrow \approx k+1$$

thus meaning the increase of absorption (or would mean k) produced by inserting a lead plate

if $k > \frac{1}{2}$ then this means a production of energy by γ rays.

Requiel found that he got much more intense photos when he put sheets of metal over

Eme



showed that secondary rays could be bent in to the detector by magnetic field (diminished) turning the field on in the other way ~~the~~ deflection

but when putting a lead plate in front he got an increase again this due to the secondary from this lead plate

Disregard: amount of heat produced by R.R.

For rays the tertiary etc rays must be included too, because quantities little different

T_{n+1} denotes energy carried by red. of order n \rightarrow

R_{n+1} \leftarrow

$\mu_n = \text{coeff of } d_n$

$$\frac{dT_{n+1}}{dx} = (T_n + R_n) \mu_n k_n - T_{n+1} \mu_{n+1}$$

$$-\frac{dR_{n+1}}{dx} = (T_n + R_n) \mu_n k_n - R_{n+1} \mu_{n+1}$$

$$R_1 = \frac{k_1}{\mu_1 \mu_2} T_0 \quad \text{secondary}$$

R_2

R_3

rapidly converging series

This can be applied also to $R_1 R_2$ (stopping with the first term)

not quite so simple, because $R_1 R_2$ do not follow exactly the density law
coeff of d_n increase more rapidly than density

this exp. $\frac{1}{2}$ has been tried, and there seems to be considerable amount of vibration
of energy, but we know not sufficiently the laws of μ_n

^{Cathode rays}
Lorentz more detailed record. reds. of velocity about the same as

primary 4000 V.

second. 7-9 V.

he worked with slow e. r.

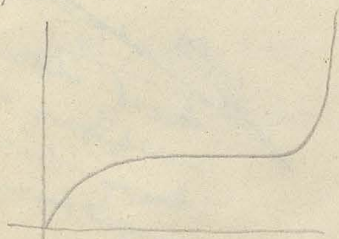
others have 40-6000 V. they found generally much the same order as primary

Mechanism of ordinary gas discharges

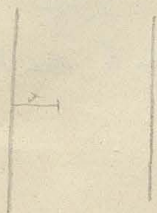
141

Some power by which the ions are manufactured by the field

β & cathode rays cause the gas



when energy has reached a certain critical value
the crop then act as a multiplier



Small supply of ions from cathode (UV or h.v. or h.c. wire)

saturation current due by which number produced

that if field suff. increased

at distance x : n crop. per vol., moving with vel. u

n = number present.

$$\frac{\partial N}{\partial t} + \frac{\partial}{\partial x} (N u) = A V = \text{number prod. in unit vol. by collision}$$

$\frac{\lambda}{u}$ = time between successive coll.

vel. of two parts $\left\{ \begin{array}{l} 1 \text{ order and vel.} \\ 2 \text{ addition by field} \end{array} \right.$

$\therefore u$ = vel. avg. by d.f. \rightarrow this must be much greater than the other one

then $\frac{u}{\lambda} n$ = number of coll.

chance of prod. crop. depends on energy

Supp. α = fraction of coll. where fresh ion is produced

$X \lambda$ = energy acquired by crop between 2 coll.

$$\alpha = f_e(X \lambda) \quad 0 < 1$$

number produced $\frac{n u}{\lambda} \alpha$

certain number may coll. with mol. and stick to them

$$\frac{\partial \eta}{\partial t} + \frac{\partial (nu)}{\partial x} = \frac{nu}{\lambda} (\alpha - \beta) \quad \text{suppose steady state}$$

$$\frac{\partial (nu)}{\partial x} = \frac{nu}{\lambda} (\alpha - \beta)$$

$$\frac{dnu}{nu} = \frac{dx}{\lambda} (\alpha - \beta)$$

$$\ln nu = \int \frac{dx}{\lambda} f(xe^{\alpha} - \beta) + \text{const}$$

$$nu = c_0 e^{\int \frac{f(xe^{\alpha} - \beta)}{\lambda} dx}$$

When current is not dense enough to produce sensible alteration in λ , then $\lambda = \text{const}$

$$\frac{1}{\lambda} nu = c e^{ax}$$

$$a = \frac{f(xe^{\alpha}) - \beta}{\lambda}$$

for $x=0$: $c = i_0 = \text{current coming from cathode}$

$$i = i_0 e^{-ax}$$

current ought to be as i_0 therefore λ but no insulator
greater if exposed to RR (Sketches w/b)

So far we suppose ions prod. only by -exp.

Then if no fresh external supply, all would be done to waste and then stop

the thing can be kept up if supply that also + ions produce

collisions of + exp against cathode produces -exp (exp. toward metal)

We suppose α to depend on strength of field and nature of atom

but it may depend also on current in the gas.

Needs many processes power of strong energy; also enough in. striking it gets ionized

He thinks we supply the energy to be given off by ion collision, but it may be

cathode exp. and x=l

for x=l whole current = i carried by neg. exp. because there are no free + exp coming out from anode

energy of electron will may be stored up until too much

142

Energy may accumulate

Then the chance of ionizing will depend on current; if with current very rapidly, before energy radiated away, then ionization rises
a will then increase with intensity of current

Suppose uniform

$$\frac{nu}{\lambda} = c + a - pt$$

$$\frac{dnu}{dx} = \frac{d}{dx} \left(\frac{c + a - pt}{a + bnu} \right) = 0$$

$$\log \frac{nu}{a + bnu} = ax + c$$

$$\frac{nu}{a + bnu} = c' e^{ax}$$

$$nu = \frac{ac' e^{ax}}{1 - bc' e^{ax}}$$

for $x=0$:

app. max J_0

$$J_0 = \frac{ac'}{1 - bc'}$$

$$c' = \frac{J_0}{a + bJ_0}$$

$$nu = a \frac{J_0}{a + bJ_0} \frac{e^{ax}}{1 - \frac{bJ_0}{a} e^{ax}}$$

for certain value of x denominator will vanish, current $= \infty$

this introduces instability if $bJ_0 e^{ax} = \dots$

steady state $\frac{d(n_1)}{dx} = \frac{nu}{\lambda} [f(x, e) - 1] + \leftarrow$

(11/11) $n = \text{no. of } n_1$
 $n' = \text{number of } +$

if $+ ions$ can produce $free ions$, then number produced as number collected as $\frac{n'v}{\lambda} f(x, e)$

for field ionization: $= a nu + b n'v$

assumption $\frac{f(x, e)}{\lambda} = a$

$$\frac{f(x, e)}{\lambda} = b$$

$$J = (n u + n' v) e = \text{constant}$$

$$\frac{d n u}{d x} = a n u + b \left(\frac{J}{e} - n u \right) = (a-b) n u + \frac{b J}{e}$$

$$n u = - \frac{b J}{e(a-b)} + c e$$

Supp. - logarithm coming out of cathode ($= J_0$)

(but no + neg. coming out of anode)

$x=0$

cath

anode

$$J = J_0 e^{(a-b)x}$$

$J_0 =$ saturation current without other s.c.

Supp. number of neg. coming out of cathode

$$\frac{J_0}{e} = - \frac{b J}{e(a-b)} + c$$

at the other electrode: max = current

$$\frac{J}{e} = - \frac{b J}{e(a-b)} + c e^{(a-b)l}$$

$$\frac{J}{e} = - \frac{b J}{e(a-b)} + \left[\frac{J_0}{e} + \frac{b J}{e(a-b)} \right] e^{(a-b)l}$$

$$\frac{J}{e} \left[1 + \frac{b}{a-b} (1 - e^{(a-b)l}) \right] = \frac{J_0}{e} e^{(a-b)l}$$

for $b=0$, the former case

$$J = J_0 e^{al}$$

the denom. can vanish: instability for:

$$\frac{a}{eal} = \frac{b}{ebl}$$

$$l = \frac{b_0 - b_1}{a-b} = \frac{b_1 - b_0}{a-b} \cdot \lambda$$

Supp. $b \ll a$

$$e^{al} = \frac{a}{b}$$

$$l = \frac{1}{a} \ln \frac{a}{b}$$

small value of l will be sufficient

only very short lengths can keep the current steady

but instab. now does not depend on J_0 | diff. of previous case |

If only neg. neg. ionizing: what and for steady current

$$\frac{d}{dx}(n u) = 0 =$$

$$f(x e l) = b$$

energy neg. hits coll \rightarrow

$$X \lambda = \text{const}$$

$$\lambda \propto \frac{1}{f}$$

$$\therefore \frac{X}{f} = \text{const}$$

force req. to keep the discharge going $\propto f$

$$\therefore \frac{b}{\lambda} = f c \cdot (X \lambda)$$

$$= f c \cdot \left(\frac{V \lambda}{e} \right)$$

$$\therefore V = f c \cdot \left(\frac{b}{\lambda} \right) = f c \cdot (l f)$$

Gasden

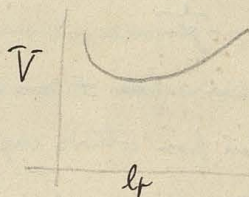
but if decreasing p below certain limit (dep on dist. between electrodes) then the last charges: force begin to go up again

143

thus for $p \rightarrow 0$ infinite force required



diff. of pot. ^{instead of X} for certain ~~dist~~ X as function of p



pot diff. now falls below certain value (for air 300V)

this min. pot diff. ~~does~~ ^{is} ~~not~~ depends only on nature of gas

this min. varies for very different p in different lengths but its value is nearly always the same

this is true until we get down to exceedingly short distances

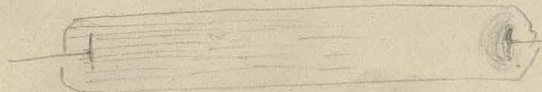
~~short~~ ^{short} min. pot diff. for lengths comparable with λ (light)

at certain stage wave suddenly changes and gets prop to spark length (lowest 0.6 μ m)

this can be foreseen: in this theory the gas provides the conduct of current

this due to corpus. escaping from the metal itself; this process only if p

if force suff. great the corp. will be helped in coming out and pulled away when it has left the surface. Nature of gas and pressure has no appreciable effect on these sparks. If sparks once formed contact is completely good. Coherence!



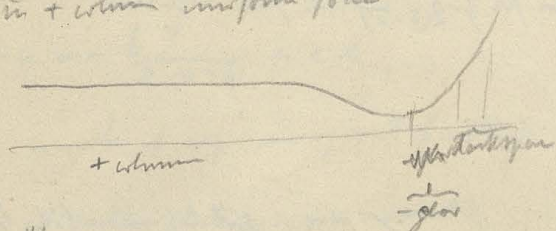
+ when, dark space, cathode glow;
dark space, surface glow

But if under discharge (by inserting a spark gap) then nothing of these various

parts developed, only a single luminous column (no dark space but this is probably)

Distrib of d. force in steady state

in + column uniform force



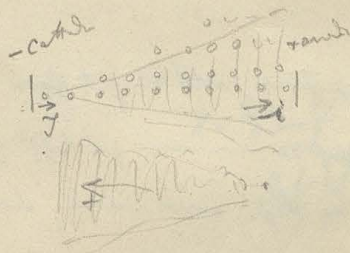
in case of length of tube (100')
changes only length of + column

There must be a place somewhere where + ions are producing fresh negative ions, otherwise steady state impossible (unless from cathode neg. ions from the wall is not the case at ordinary length). Bombardment of cathode by + ions in consequence of the strong field at the cathode.

fig 20 part 70 as p

Kath fall	Pt	Hg.	Ionising neg K
H ₂	298	168	172
N ₂	252	207	170
He	160	125	69

λ obs Kath $\neq \lambda$ obs + ions



Diff of pot. eq. to produce steady discharge

144

~~is~~ except in neighbourhood of cath. ions prod only by - ions. || ~~the~~ near cath. + ions neg. no large velocity that they are ions too

$$\frac{d}{dx}(nu) = \frac{nu}{\lambda} [f(Xcd) - \beta]$$

$$\frac{d(nu)}{nu} = \frac{dx}{\lambda} [f(Xcd) - \beta]$$

$f(Xcd)$ = fraction of collisions which prod fresh ions
limits 1

Supp: $f(Xcd) = a Xcd - b$ (linear function)

in dark space near cath. strong el. field when very cold ionizing thickness c

$$\log \frac{nu}{i} = \frac{1}{\lambda} \int_0^c dx [f(Xcd) - \beta] = \log \frac{n_a u_a}{n_c u_c}$$

unless much stuff ionizing + ions shot cannot carried by - ions

$$= \log \frac{i}{j}$$

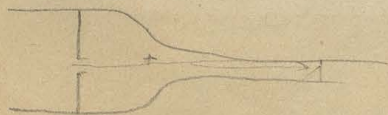
$$= \int_0^c \frac{dx}{\lambda} \left(\frac{a}{\lambda} \right) + \int_0^c \frac{dx}{\lambda} [a Xcd - (b + \beta)]$$

$$= \frac{(1-\beta)c}{\lambda} + (V_a - V_0) \frac{a - (b + \beta)(d-c)}{\lambda}$$

$\int Xcd = \text{diff. prod.}$
 $V_a \quad V_0 \quad V_c$
d. sp.

if in vacuum + part strikes against metal plate a trace of slowly moving cathode particles is generated at the plate

probably generally most on prod by impact on cathode, not in the gas.



If white discharge put in the dark space, a shadow is thrown both ways (preventing + ions striking on cath. and prod - ions)

Supp. number of - ions prod to be as energy of + ions striking against it

$$i = j + \text{number of + ions striking per unit}$$

$\frac{j-i}{eu}$ = number of + prod striking on cathode

they give their velocity by the cathode fall of H⁺.

$$(i - 1)(V_c - V_0) = \text{energy given to each member present}$$

$$k(r-j)(\underbrace{V_c - V_0}_K) = \gamma = \frac{r k K}{1 + k K} = \gamma$$

$$\text{Zy: } \left(\frac{1+hK}{hK} \right) = \dots \quad \text{total part diff.} \quad \downarrow$$

$$= \frac{(1-\beta)c}{\lambda} + (V-K)ca + \frac{d\beta(1-\epsilon)}{\lambda}$$

$$V_2 \text{ linear function} = -At + B$$

(exp. ground)

Pearson's χ^2 : $\text{prob diff} = \frac{1}{f} \left(\text{ratio} \frac{\text{mark length}}{\text{mean per path}} \right)$

$$V = f\left(\frac{L}{\lambda}\right)$$

227

this for big marks ($>$ dark space)

If anode near the dark space, then no part where small field,

$$f = 1$$

$$\frac{2\gamma n_c n_a}{n_c n_a} = \frac{1-\beta}{\lambda} l$$

now the energy exp. is whole put diff.

$$\text{avg } \frac{c}{f} = \frac{1-\beta}{\lambda} l$$

(i-7) $V_k = 7$

$$2\gamma \frac{V_k}{(1+V_k)^2} \frac{1-\beta}{\lambda} \ell$$

$$\frac{I_{Vh}}{1+Vh} = I$$

Particular true gain

$$\frac{1 + \sqrt{k}}{\sqrt{k}} = e^{\frac{1 - \beta \cdot l}{\lambda}}$$

$$V_k = \frac{1}{(1 - \rho_k^2) - 1}$$

for $l=0$

$$N = \infty$$

170 big lamp on (NLA 80K)
413 243 disk

250 240
490 180
670

NLA 40K

zero
546 18
x screen 564 21
585

359 22

381 14

395 20

415 11

426 129

msa. 555 118

673 140

713

178:

89: $3 \frac{1}{4} = 2.83$

262

11

Shk

247 40 screen 16Vols on tube
287 30
317 31
348 28
376 25
401 15
416 15 unscr.

508 92

583 75

662 79

715 53 screen

750

783

screen
x 553

569

573

579

583

587

599

600

zero 576

lamp put out

200 539

879.5

880.5

883

884

886

887

892

900

x

injection box

200 530

541

540.5

539

538

537

533

x

200 530

521

+

341

for 200

41:8=54

377

332

328

324

316

312

304.5

300

200 525

x

injection box

(11:50)

next day 401

stop long. you did. see 180'

small lamp on

860

877

586

594

606

623

627

630

635

642

643

643

200: 536

Next day 801

255

278

310

345

388

424

452

473

531

104:4=

27

710

675

651

627

613

600

577

536

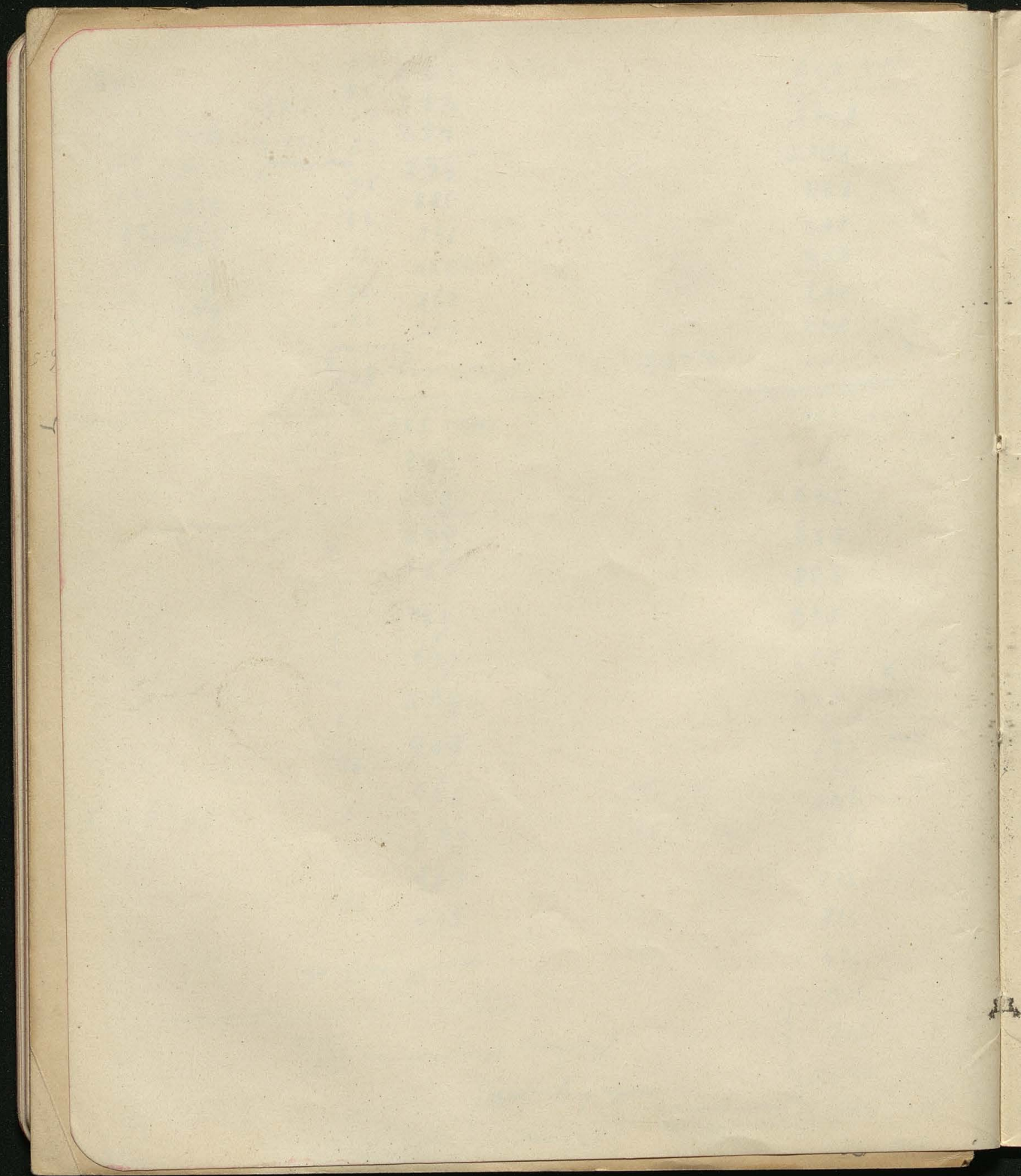
15

2000

19

5.6

82:9 = 7'





59

needed
grade 40K
cure 185

130

203 73

278 75

335 57

394 59

458 64

523 65

shorter cure

130

210

278

opposite days of week

needed +40V

grade 0

130

850 ! 720

outer case 8

130

690

560

130

700

former days

outer case 8 130 250

380

190

570

695 125

130

114

244

330 89

etc.

outer case - mile > 1000 !

mile raised zero 260

zero 185

outer case - mile

820 !

outer case 8 30

237

237

232

Log
revert and interconvert

300

330

353

Chay 40 hel (Solunak)

200 527

16

118

299

262

380

401

413

419

420

419

421

549

518

526

524

525

525

829

666

607

510

463

444

434

427

425

426

109

1

1mm

1mm

21

12

6

-525

104

24

7

1

90

47

19

10

7

2

730

-1100 = 1180

711

537

643

111

532

52

480

26

454

14

440

7

433

200

Chay 200 535

710

654

668

662's

660's

660's

75

260

477

568

611

635

648

200

535

195

113

91

43

24

13

X
light on

657	12
645	31
614	42
572	53
519	59
460	63
397	66
331	68
263	

8

222	130
352	46
406	39
445	31
476	27
503	21
524	19
543	16
559	12
571	10
581	7
588	6
594	

dark surface
light X

622	29
593	42
551	48
503	53
450	55
395	57
328	57
281	54
227	

8 600

X dark

580
590
596
601

Amur on

594	7
560	34
511	49
452	59
385	67
313	72
240	73

8 130

330	60
390	46
436	40
476	

1 Volt on

650	60
590	25
565	21
544	19
525	17
508	
453	13
440	16
424	17
407	

649

309	21
288	18
270	

16/2 577 2 light from window descent
 5 571 X 645 3
 580 642 4
 638 5
 633 6
 627 8
 619 8
 611 14
 597 22
 575 25
 550 29
 521 26
 495 19
 476 16
 460 13
 447 15
 432

dark 551
 X 549 19 descent
 but window 535 24
 unscrambled 511 30
 481 33
 448 37
 411 39
 glow lamp put out 372 42
 330 40
 290 40
 250 40
 401
 418
 575 15
 590 11
 601 10
 611 7
 618 7
 625 15
 640

glow lamp 664 48
 dist. 34 cm 613 74
 539 93
 446 104
 342 117
 225
 477
 lamp shining 2 h 10

4 h 8
 4425 10
 432 34
 398 46
 352 54
 298 59
 239 68
 176
 5 621
 635
 650
 665
 675
 624 8
 632 6
 638 5
 643 7
 650 9
 654 3
 2 h 8 657
 657

Guarding eastward

no insects	582	34
dark	548	3
	545	7
	538	41
light	497	64
(in cand. hour)	433	71
dist. 34 cm	362	43
dark	325	13
	312	7
	305	
♂	527	
	560	
	570	
	574	3.5
X	539	14
dark	525	12
	513	12
	501	11
	490	15
	475	13
	462	9
(other gas lamp put out)	453	5
	448	5
	443	5
	438	5

hour	light	200	598	92
			506	77
			429	85
			344	84
			260	

dark	X	648	29
		619	21
		598	17
		581	17
		564	18
		546	

♂		628	
		630's	
		628	
glow lamp on	X	497	131
same distance		342	155
		196	146

Argand dist.	X	604	89
40 cm		595	57
		458	60
		398	63
		335	61
		274	

479

420

410

↑
200

151 250

134 247

264

268

340 unipoint

192 charge 40V.

200 550

1K

190

615

1min

620

} 70

560

dark

610

} 185

light

425

dark

575

} 87

488

light

335

} 153

dark

265

} 70

glow lamp distant 30 cm

dark

552

~~492~~

} 87

light

470

} 260

210

distance 18 cm

dark

606

~~515~~

} 131

light

275

} 80

395

} 47

dark

348

} 65

light

283

Incandesc.

445

377

64/4

one all

352

0

356

351

one all

292

350

290

349

30

320

3485

171

411

52

569

1 50

523

11

508

11

505

11

472

544

55

576

1

576

11

512

20 Vol. Large

IV.

190

50

445

458

461

463 1/2

464

2000 p.

40"

230

200

215

195

204

55

570

414

408

426

400

151

Charged a full over night till 11^h 15
 Venton : ca 400V.

0	12 ^h 38	447.5	
overall			70.5
	30	377	5.5
	39	371.5	3.5
	30	368.5	2.5
	40	366	2
	20	364	2
	41	362	4.3
	30	405	3
		408	1
		409	1
		410	1
		411	0.5
		411.5	51
	20	360.5	4
		356.5	2.5
		354	2
		352	2
		350	1.2
		349-	

397.5	48.5	
	2	
399.5	1.5	
400.1	-1	52
400.0	1	
400.1	0.5	
400.15	3.5	
366.5	9.5	
362	2	
360	2	46.5
358	1.5	
356.5	1.5	
355.0	4.2	
397.0		

1 Klt	30	404.5	Opport
		419	11.15
		421	410
		422	440
		423	377
		424+	20

day:
200 cells

$$1K = 22$$

$$1.0 = 30 = 1.4K$$

500:

200: 419
430

$$0 = 0 = 0$$

710

180	448		486	19
160	455	7	505	24
140	467	12	529	19
120	479	12	548	21
100	492	13	569	30
80	505	13	599	14
60	518	13	613	14
40	535	12	627	13
20	685		640	
0	715	30		
			240	
	267			

$$-200c. 0$$

515

940

$$75:5 = 15 \mu c_0$$

$$= 0.5V$$

some longer time and value better
insulated

383

0 490+

425

419

425

3 μc_0

$$65:5 = 13$$

501

513

$$12:5 = 2$$

+200c

540

516

$$3:5 = 1V$$

1.4K

ch. 200

200 575

20 640

40 642

60 700

200 565

60 572

40 590

20 597

0 601

25K

36

28.90

478

28.30

472

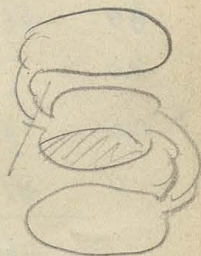
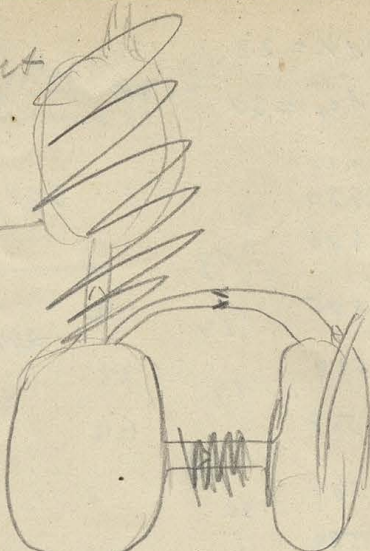
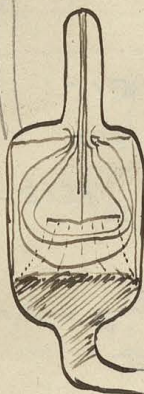
hyst

20.0

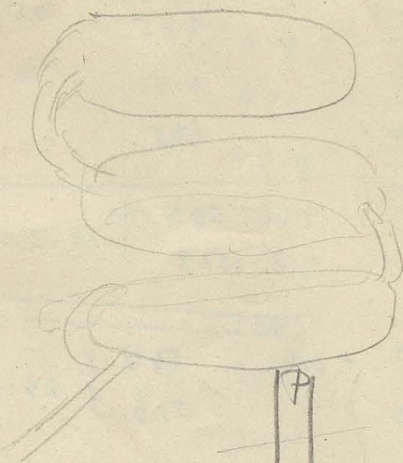
4785

45.0

4775



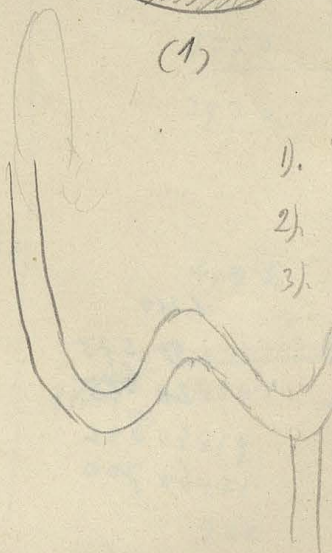
(1)

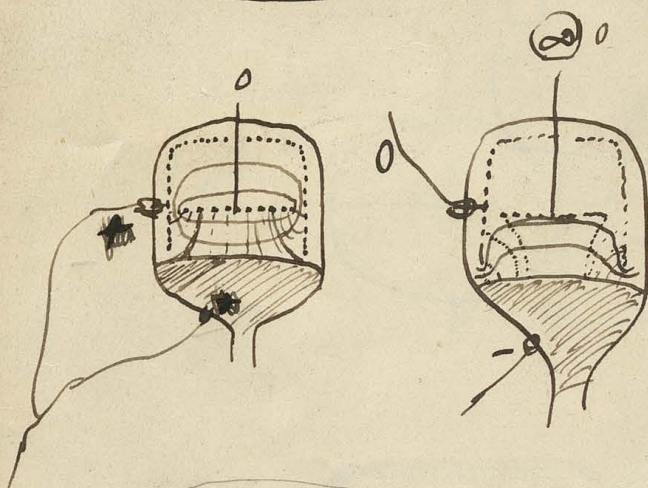
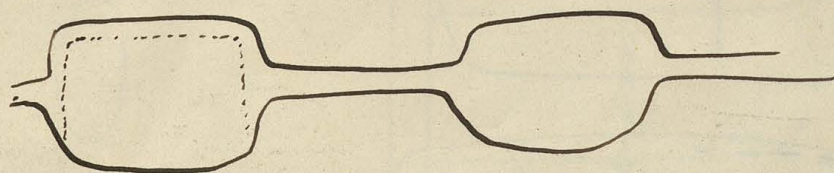
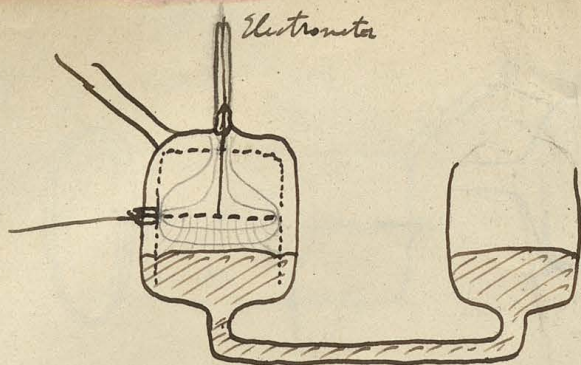


C

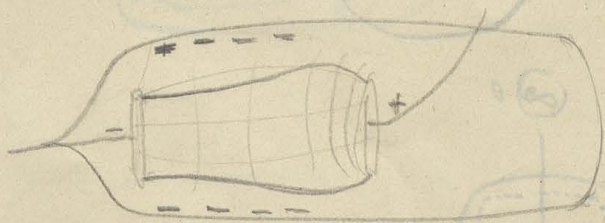
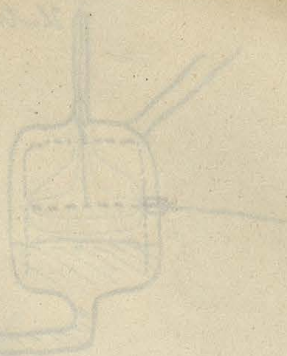
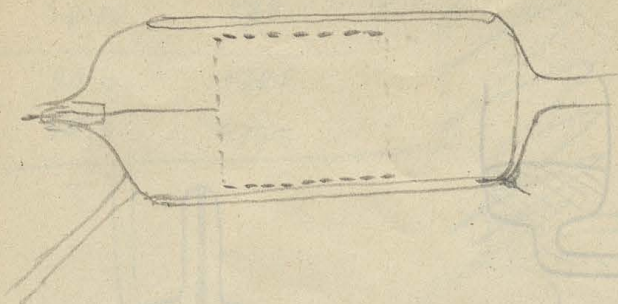
R

1. P-R
2. P-C
3. C-R





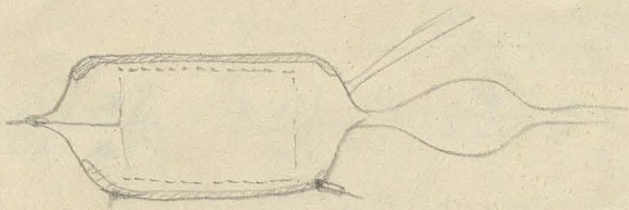
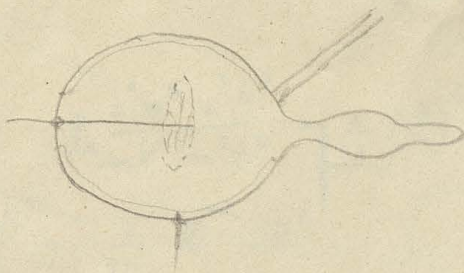
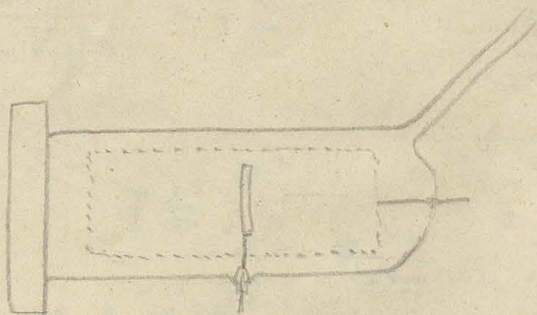
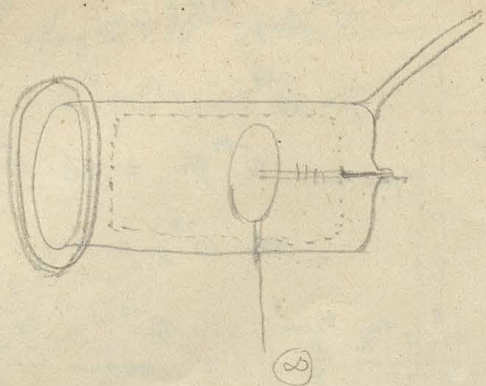
2-2-3-3



5

6.5

9



$$\frac{e^2 \left(\frac{a}{t^2} \right)^2}{m v^2} \tau$$

$$\frac{e^2 \left(\frac{v}{t} \right)^2}{m v^2} \tau$$

$$= \frac{e^2}{V m \tau}$$

$$\frac{e^2}{m V} \frac{a^2}{v^2 t^3}$$

$$\frac{e^2}{m v^2} \frac{h}{v^2 t^3}$$

$$\tau = \frac{a}{v}$$

$$\frac{\frac{e^2}{V} \frac{v^2}{t^2} \tau}{m v^2} = \frac{e^2}{m V \tau} = \frac{e^2}{m a} = \frac{10^{-13}}{e}$$

ne



$$g \frac{1}{c} \sim t = \sqrt{\frac{2s}{g}} = \frac{v}{g} = 10^{-7} \text{ sec}$$

$$g = \frac{v^2}{2s}$$

$$g = \frac{v^2}{2s} = \frac{10^{16}}{10} = 10^{15} \quad (s=5)$$

$$10^{-6} \text{ Amp} = 10^{-7} (em)$$

$$\frac{m}{e} = 10^{-7} (em)$$

$$\text{m per sec. } 10^{-14} \text{ gr.} = 36 \cdot 10^{-11} \text{ gr. per hour}$$

$$= 10^{-9} \text{ gr per day}$$

$$\text{in } 10 \text{ cm}^3: 10^{-10}$$

$$0.001$$

$$= 10^{-7} \text{ atm} = 0.0001 \text{ mm}$$

$$R' = \frac{m v}{e H}$$

$$v = 10^{+8}$$

$$R' = \frac{10}{H}$$

$$t = 10^{-6}$$

$$\frac{2n i}{c}$$

$$\frac{e v 2n}{c}$$

$$= \frac{e v 2n}{m v}$$

$$= \frac{2n e^2 H}{m}$$

$$10^{-9} \text{ Ang} = 10^{-10} \text{ (cm)}$$

$$e = 3 \cdot 10^{-10} \text{ (cm)} = 10^{-20} \text{ (cm)}$$

$$n = \frac{10^{-10}}{10^{-20}} = 10^{10}$$

$$\delta = 3 \cdot 10^{-10} \text{ cm}$$

$$\frac{\frac{2}{3} \frac{e^2 v^4}{V a^2}}{\frac{m v^2}{2}} \cdot \frac{1}{\frac{2 a^2 n}{v}} = \frac{2}{3} \frac{e^2 v^3}{m V a^3 n} = \frac{2}{3} \frac{e^2}{m}$$

$$e = 10^{-20}$$

$$\frac{e}{m} = 10^7$$

$$\text{max } v = V$$

$$\frac{2}{3} \frac{e^2}{m} \frac{V^2}{a^3 n}$$

$$\frac{2}{3} 10^{-20} \cdot 10^7 \cdot \frac{9 \cdot 10^{20}}{a^3 n}$$

$$a = \frac{10^{-7} \cdot 10^{10}}{11}$$

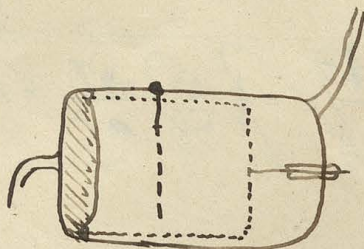
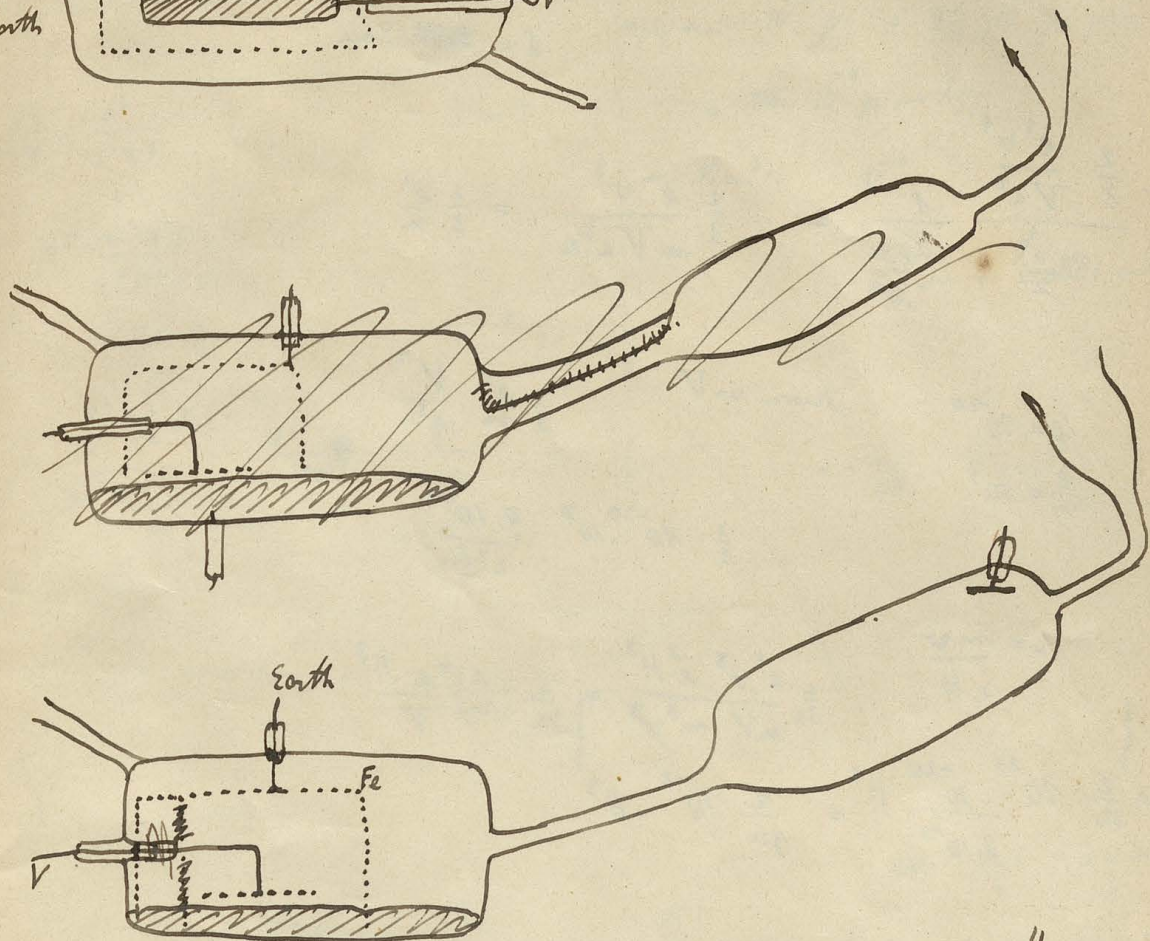
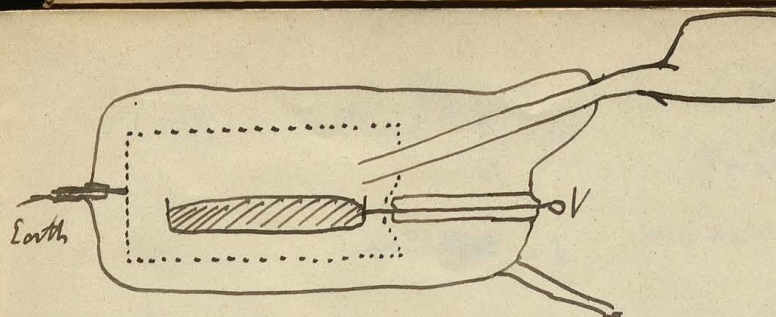
$$a = \frac{m v}{e H}$$

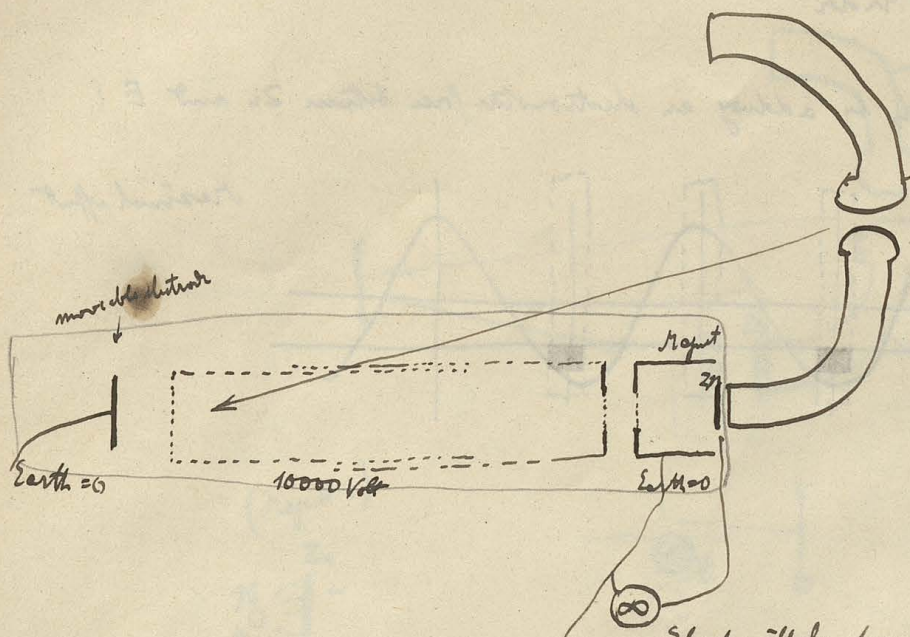
$$\frac{\frac{2}{3n} \frac{e^2 v^3}{m V} \frac{e^3 H^3}{m^3 v^3}}{1} = \frac{2}{3n} \left(\frac{e}{m} \right)^4 \frac{e H^3}{V}$$

$$= \frac{2}{3n} \frac{10^{28} \cdot 10^{-20}}{3 \cdot 10^{10}} H^3 = \frac{2}{9n} 10^{-2} H^3$$

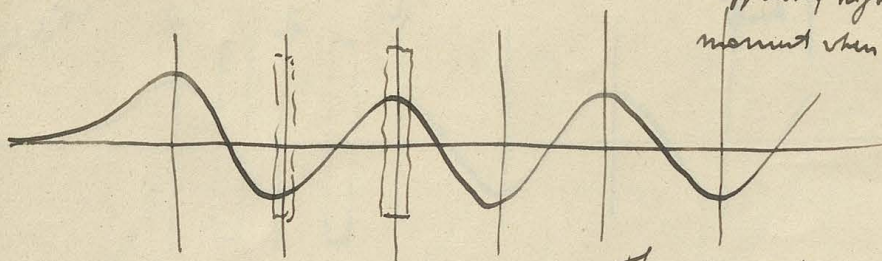
$$\frac{\frac{1}{3} \frac{e^2 f^3}{V} \frac{1}{m v^2}}{1} = \frac{2}{3} \frac{e^2}{m V} \frac{v f}{v^2} = \frac{2}{3} \frac{e^2}{m V} \frac{v}{v} = \frac{2}{3} \frac{e^2}{m V} \frac{v}{e}$$

$$\frac{10^{-20} \cdot 10^7}{10^{10}} \cdot \frac{10^{10}}{e} = 10^{-13}$$





Elect. will be charged only if Zn has
a sufficiently high positive potential in the
moment when the corpuscles reach it.

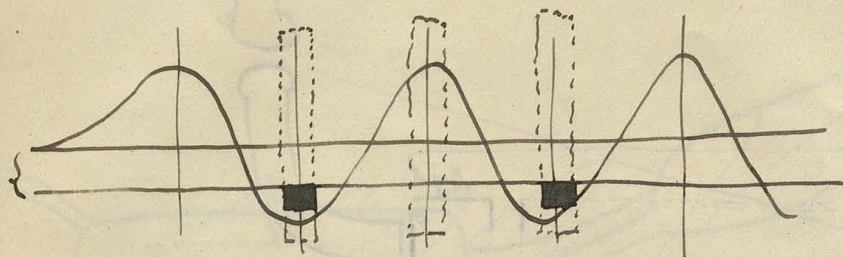


The zero points of wave are not favourable
for charging, will be minima.

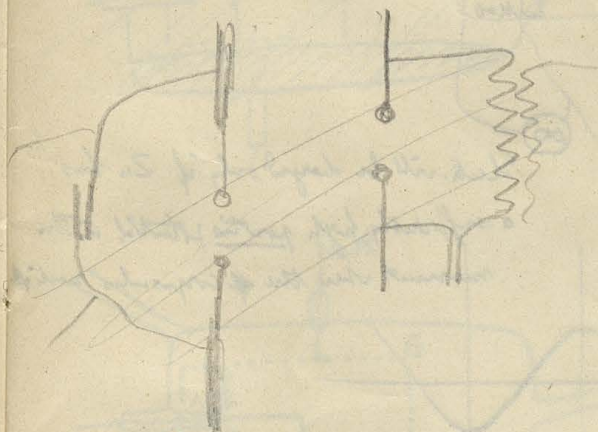
Observation of maxima & minima of effect

Wave length of vibrator

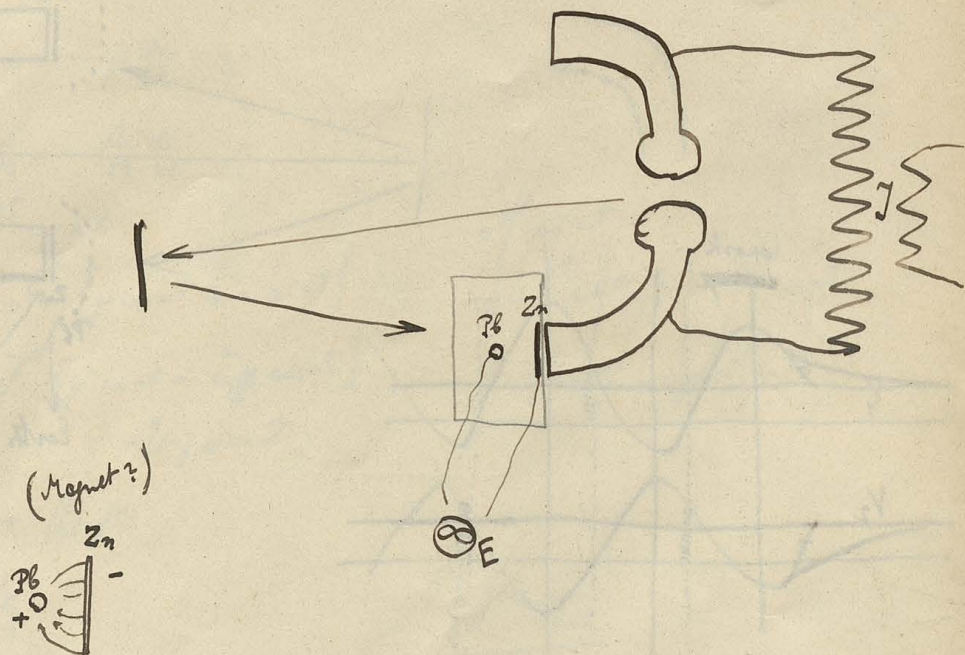
More accurately by adding an electrometer force between $2n$ and E :



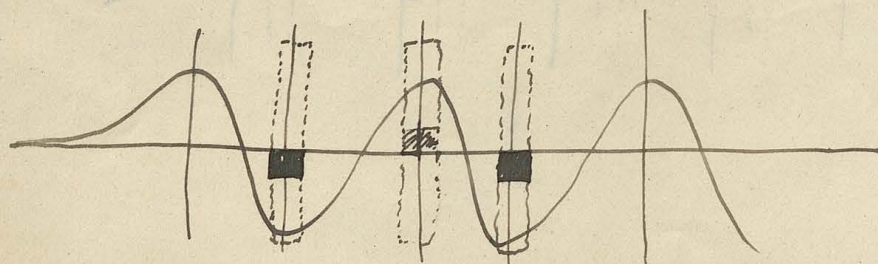
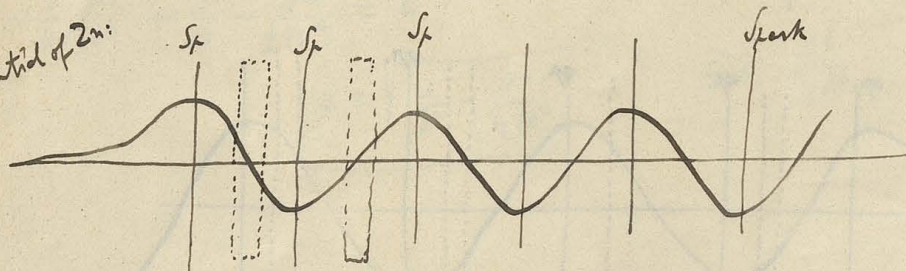
Residual effect



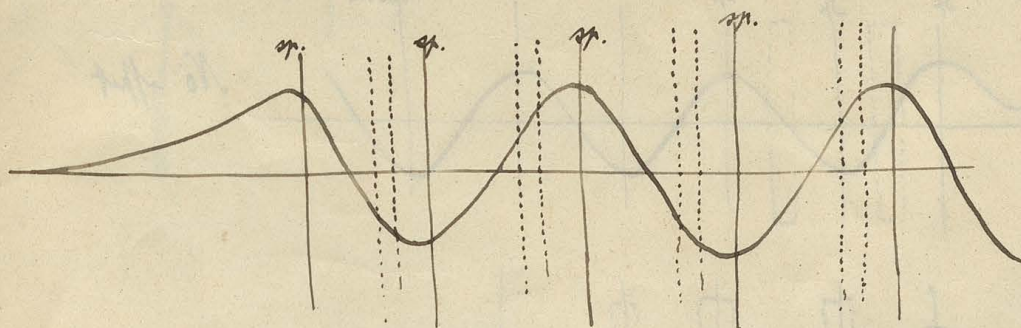
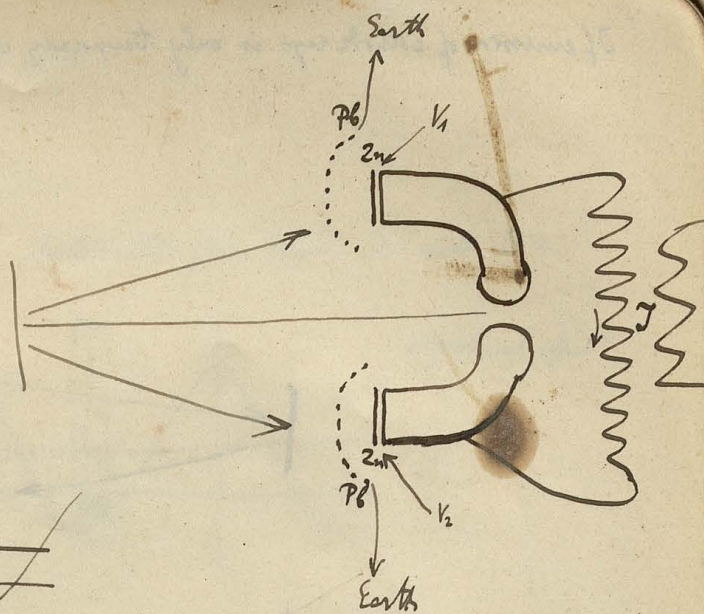
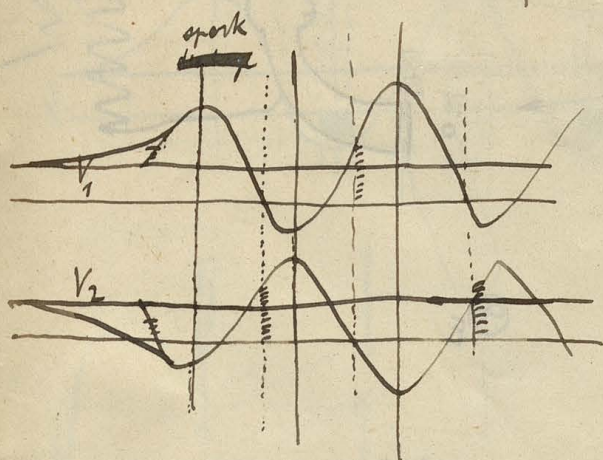
If emission of cathode rays is only temporary while light acting



potential of Zn:



by effect



Katg
dte

$$M \frac{d^2 x}{dt^2} = -\alpha x - \beta \frac{dx}{dt}$$

$$\frac{d^2 x}{dt^2} = -\frac{\alpha}{M} x - \frac{\beta}{M} \frac{dx}{dt}$$

$$x = e^{-\gamma t} \cos at$$

$$\frac{dx}{dt} = -e^{-\gamma t} [\gamma \cos at + a \sin at]$$

$$\frac{d^2 x}{dt^2} = e^{-\gamma t} [\gamma^2 \cos at - a^2 \sin at] + 2\gamma a \sin at$$

$$\gamma^2 - a^2 = -\frac{\alpha}{M} + \frac{\beta}{M} \gamma$$

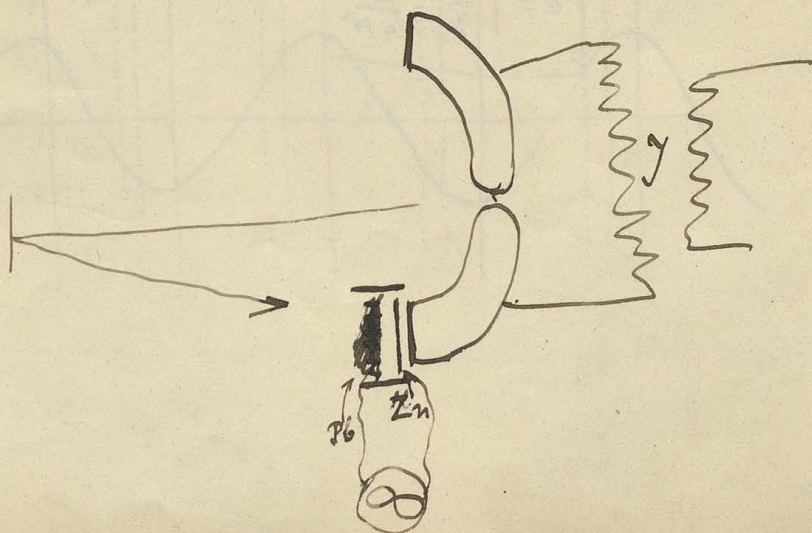
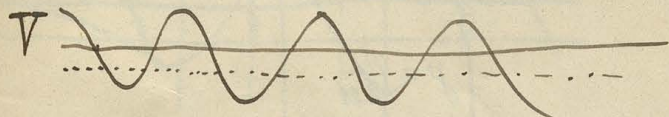
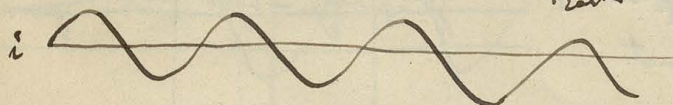
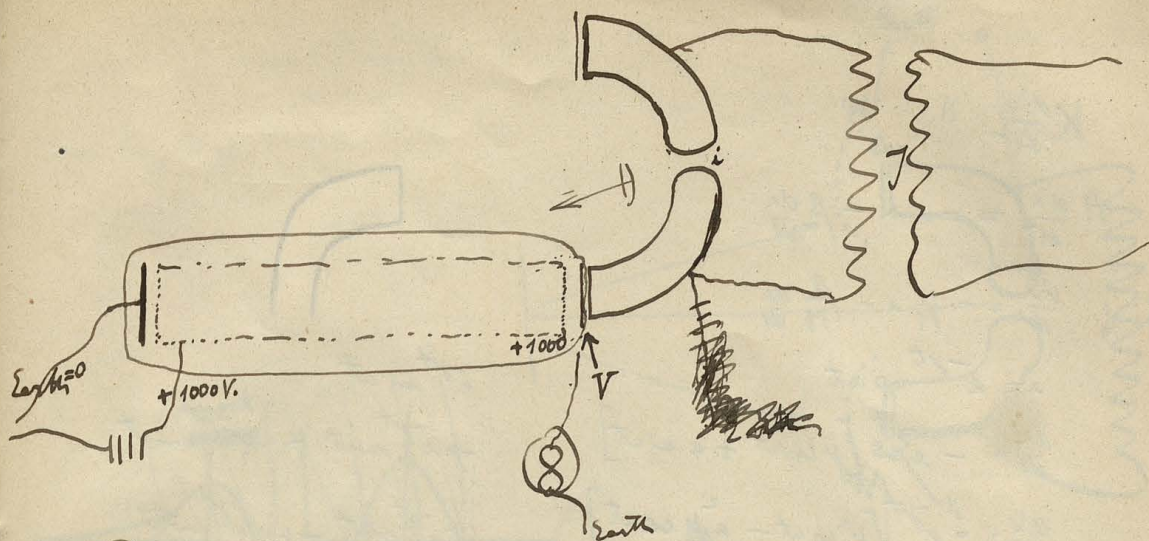
$$2\gamma \beta = +\frac{\beta}{M} a$$

$$\frac{1}{4} \frac{\beta^2}{M^2} + \frac{\alpha}{M} - \frac{\beta^2}{4M^2} = a^2$$

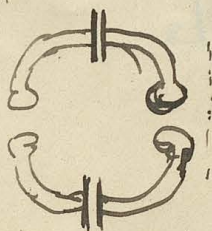
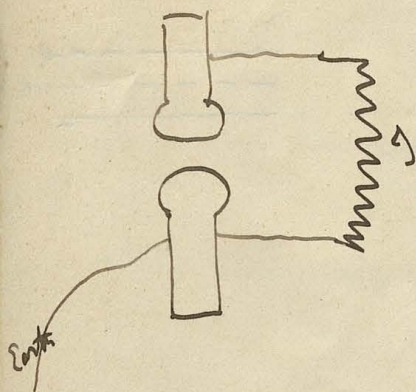
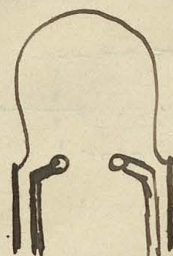
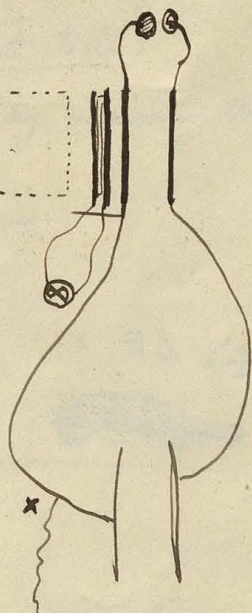
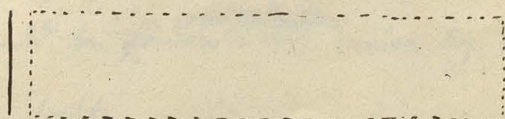
$$a = \sqrt{\frac{\alpha}{M} - \frac{\beta^2}{4M^2}}$$

$$\gamma = \frac{\beta}{2M}$$

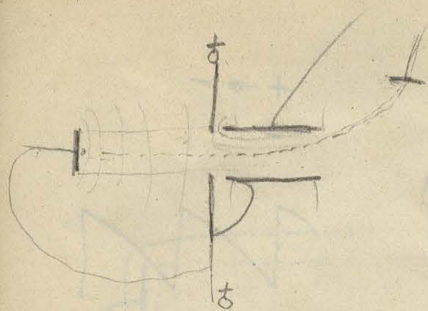
$$a \geq \frac{\beta}{4M}$$



+ → -
-



Superficial double layer produced by UVE?
must show itself



$$m \frac{dy}{dt} = e E = m \frac{dy}{dx} \frac{dx}{dt} = m c \frac{dy}{dx} = m c^2 \frac{dy}{dx}$$

$$\cancel{dE} = m c^2 = \frac{m c^2}{R}$$

$$m \frac{dz}{dt} = e H = \frac{m c^2}{R'}$$

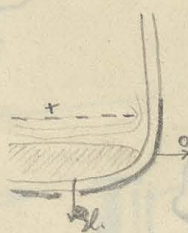
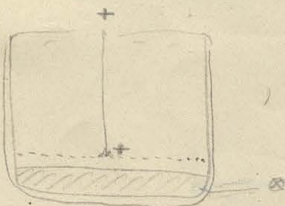
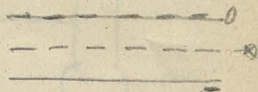
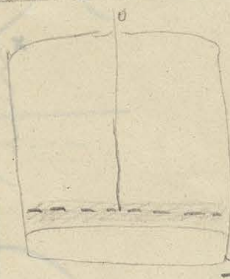
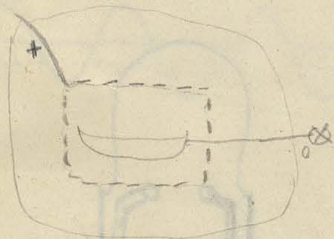
$$\frac{c H}{E} = \frac{R}{R'}$$

MAINE



$$\frac{m c^2}{2} = \Delta E \cdot e$$

$$\Delta E = \frac{c^2}{2} \frac{m}{e}$$



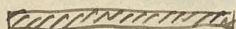
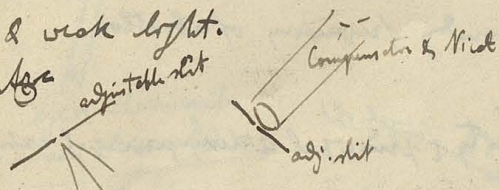
If really the optical constants are altered (and probably most for those rays which are efficacious in production of cathode rays) then they must depend on the strength of the incident light itself!

This would be demonstrated easier by measuring the ellipticity with strong.

& weak light.

fig

adjustable slit



Does UVL produce a change in the optical constants of metals?

- a). generally, by increasing the number of free electrons and conductivity therefore (very small?)
- b). by spluttering several kinds of atoms, of certain vibrations, probably the same, which have corresponding frequency of vibration

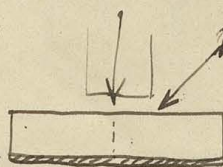
Index of refraction, ^{1).} absorption, ^{2).} ellipticity ^{3).} (angle of principal ~~is~~ principal axis)
^{4).} reflective power

Only relative measurements with & without rays.

~~the~~ 1). Unprotected

2).

transparent layer →

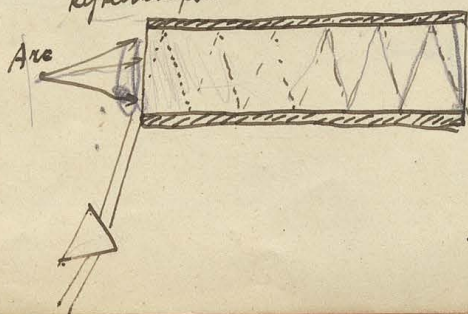


Photometer (or Spectrophotometer)
with ~~adjustable~~ adjustable slits

upper part of slit exposed to UVL
lower not " "

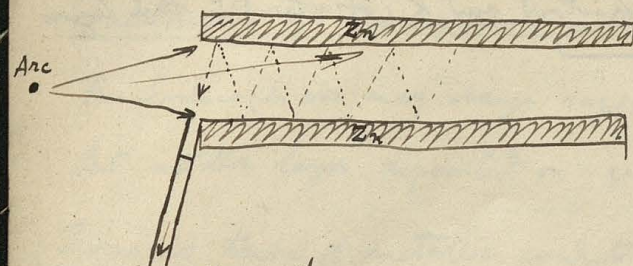
Probably most sensitive method:
Reflection power

4).



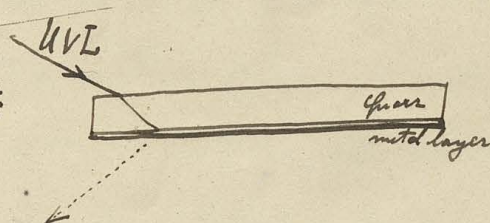
Second source
of light (to be measured)

Is Phosphorescence produced by UVL on metals?

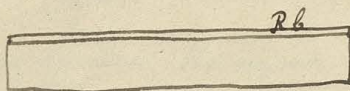


eye or thermopile
or phosph. screen, (bolometer)

In transparent light:



Attn with Rb in vacuo

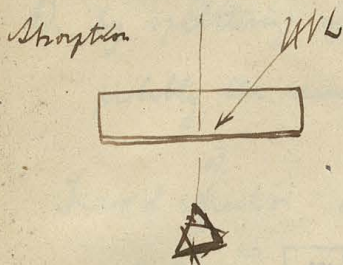


4.

Optical constants.

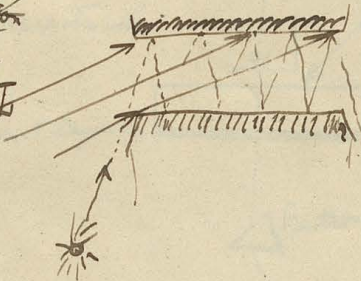
Ellipticity (^{angle of} independent, ^{and} principal)

Direct measurements of n (index of refraction) and k (absorption) in thin layers
unpractical

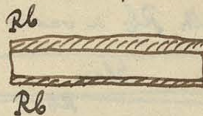


~~Index of refraction~~
Reflective power

WVL



Q. thin: Quers plate, covered with metal?



WVL

but absorption of WVL in the thin layer!

Photometer

Superficial changes of metals, while emitting cathode rays under action of UVL.

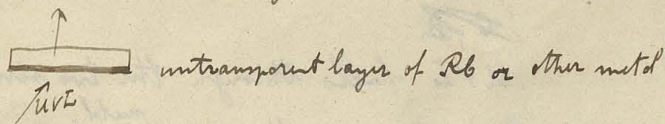
Conductivity of transparent metallic layers, is it changed by UVL?

Free Surface (in air) may change rapidly by the action of UVL

But metallic layer deposited on quartz plate and shone on from backward?

(Thomson's theory of metallic conduction: Reports Congress II p. 138)

When UVL produces cathode rays, there ought to be produced Röntgen rays too.

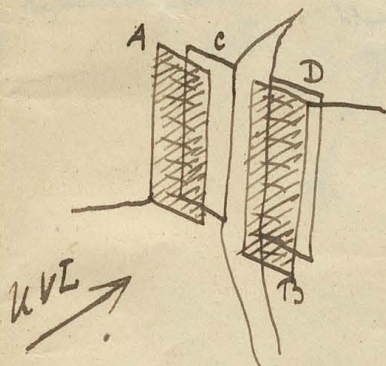


Does UVL ionize Na vapour?

To Au-glass (Goldrubin) (with ultra-microscopical particles of Au) not undergoing chemical change in UVL? Or phosphorescence?

The emission of cathode rays by UVL, does it depend on strength of electric field outside or not?

1. If not, then ^{quantity of electricity carried away by UVL} the deposition of ~~electric charge~~ in vacuum must be independent of difference of potential [except contrary EMF sufficient to throw them back]
throwing out
2. Then the amount of work necessary for ~~tearing~~ ^{their} of the particles could be calculated from measurements of velocity at different strengths of field (Lenard).
3. If, on the contrary, the strength of electric field has an influence on the amount of particles torn off ^{extended} (what can be shown by (1)), then the work required to tear off the particles can be shown by the following arrangement



UVL falls through the two similar metallic
nets A B on the similar ^{metal} plates C, D the resistance
of which is measured by bridge method (like bolometer)
A has the same potential as C
B has a possibly great difference of pot. versus D
All in vacuo

Will there arise any diff. of temp. in C, D (cooling of the
plate D)

$$\frac{0.017}{100} \frac{\text{cal}}{\text{sec}} = \text{radiation } 1^\circ \text{ against } 0^\circ$$

$$= 7 \cdot 10^3 \text{ Erg}$$

$$v = \sqrt{2 \frac{e}{m}} V$$

$$\frac{e}{m} = 10^7 \text{ (cm)}$$

$$V = \frac{1}{2} \frac{m}{e} v^2$$

$$v = 10^{10}$$

$$e = 3 \cdot 10^{-10} \text{ (stat)}$$

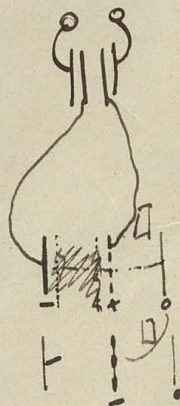
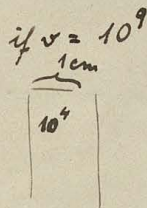
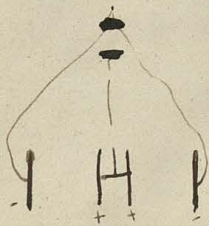
$$V = \frac{1}{2} 10^{-7} \cdot 10^{20} = \frac{1}{2} 10^{13} = \frac{10^5}{2} \text{ Volt}$$

$$= 50,000 \text{ Volt}$$

$$= 10^{-20} \text{ (cm)} = 10^{-19} \text{ Coulomb}$$

$$10^6 \text{ Amp.} = n e$$

$$n = 10^{13}$$



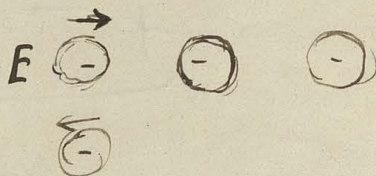
$$\frac{q^3}{x^2 g} \Big/ \frac{g c}{g c} t = \tau$$

$$\frac{e}{m} = 10^7$$

$$\frac{e^2}{m} = \frac{10^{-20} \cdot 10^7}{3 \cdot 10^{10}} = \frac{10^{-23}}{3}$$

$$10^6 \text{ Amp.} = 3 \cdot 10^3 \text{ (stat)} = i$$

$$E = i \tau$$



alternating
intermittent current 10^6 Amp.

$$eV \quad m v^2$$

$$10^{-9} \text{ erg}$$

$$nm = \frac{10^{-9}}{1000 \cdot 10^5} = 10^{-17}$$

$$m \frac{dv}{dt} = \bar{F}$$

$$m v = \int \bar{F} dt = \bar{P}$$

$$m n = \frac{10^{-9}}{1000} \cdot 10^{-5} = 10^{-17} \frac{g}{sec}$$

$$\frac{10^{-19} \cdot 10^{-4}}{1000} = 10^{-26}$$

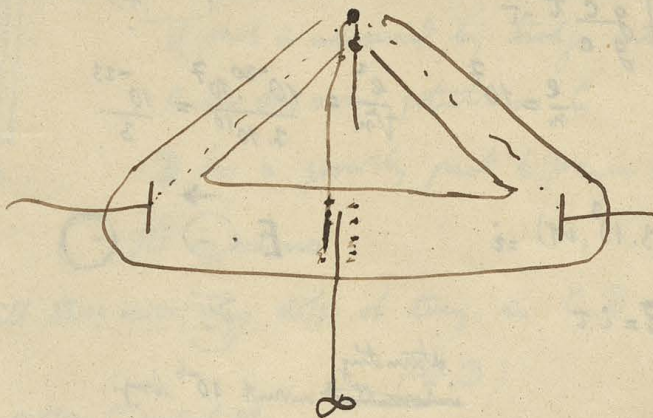
$$m = 10^{-26}$$

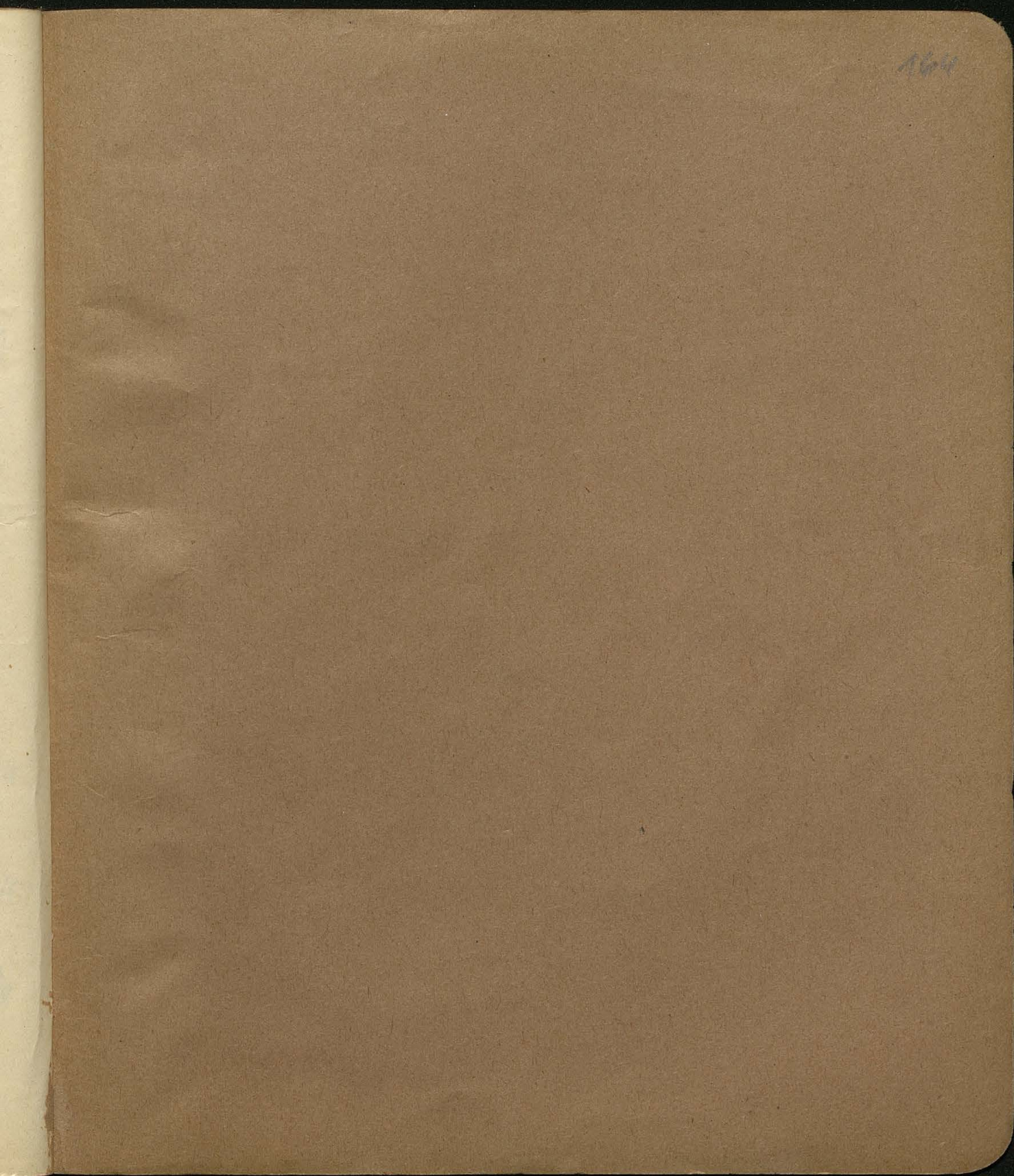
$$n = 10^9$$

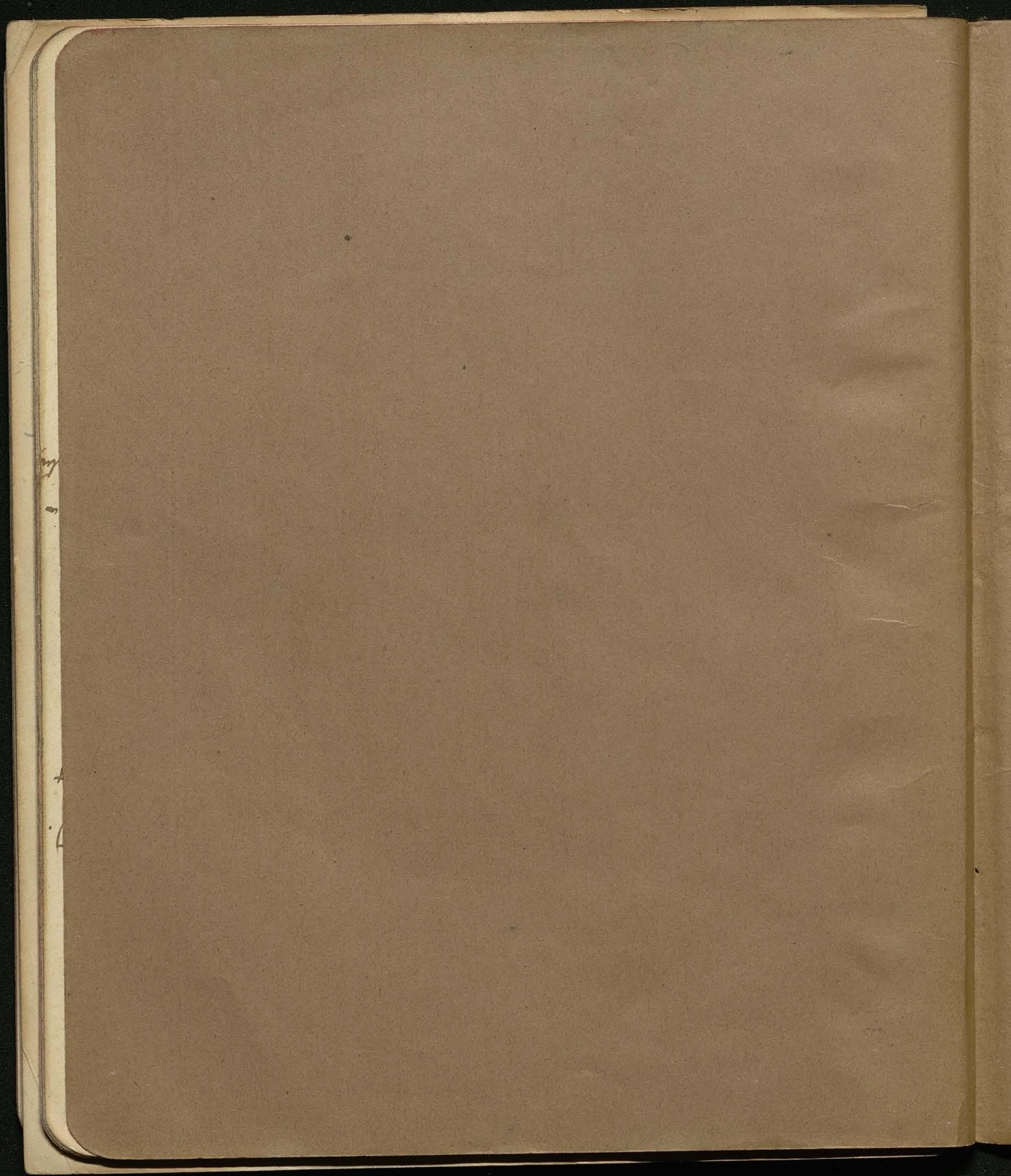
$$nmv$$

$$\frac{d(mv)}{dt} + \frac{1}{3} \frac{e^2 (dv)^2}{v^2} = e E X \text{ wave}$$

$$\mu = 10^{10} \cdot 10^{-27} \cdot 10^{10} = 10^{-7} \text{ (CGS)}$$







165

(PAT) Sekretariat.
venol zapowiedział
u. Przybędzie on 10 grudnia
Londynie 4 dni, w czasie k
yczerpujące rozmowy z członkami
tyljskiego. Dzienniki przewidują
m rozmów będzie m. in. kwestia
ania Ligi Narodów.

nie Reichstagu.

Am z Hamburga i Hohmann z Krolewca u-
upeniając wywody Hellera przytaczają dla
ilustrowania całokształtu rewolucyjnych
wystąpień komunistów wszystkie wydarzenia
okalne. Daje to Dymitrowi powód do nowych
ostwych ataków pod adresem władz śledczych,
przyezen stwierdza jednocześnie, że nie ko-
munizm winien rozruchom, lecz napastników
należy szukać w szeregach wojujących naro-
dowych socialistów. Torgler: Czy świadkowi
znane są wypadki z 6, względnie 7 listopada
1932 roku, jakie wydarzyły się w Krolewcu
podczas których zabici zostali na ulicy dwaj
wybitni przywódcy komunistyczni. Pytam się
dalego, że panowie stale obciążacie komuni-
stów, podczas gdy faktycznymi sprawcami
byli narodowi socialisti. Świadek Hohmann

(P)
amer.
Warbu
smo, w
sko-amer
osiągnięci
niez, że 30
wypowiedzi
międzynarod
że w Kongres
przewidujące
go Senatorowi
podają projekt ust
tów za uncję. Rozw
krycia srebrnem emis

Nie będzie dalsz

(PAT) Daily Telegraph.
korespondenta. Wszym
że już od 6 dni cen
je niezmieniona. Ta
wania złota przez rz
iost za dawód iż pre

9409

II

166

$$m(c_p - c_v) = C = 1.96 = m c_p (1 - \frac{1}{\gamma})$$

$$CO_2: m = 44$$

Willner: $\gamma_0 = 1.311$ $\frac{11760}{88240}$ $\frac{10857}{89193}$
 $\gamma_{100} = 1.284$ $\frac{1}{\gamma} = 0.7628$ 0.7788
 0.2372 0.2212

$$\begin{array}{r} 0.1878 \cdot 1.311 \\ \underline{5634} \\ 188 \\ \underline{18} \\ 0.2462 \end{array}$$

$$c_p = \frac{1.96}{m(1 - \frac{1}{\gamma})} = \frac{0.49}{11} \cdot \frac{1}{1 - \frac{1}{\gamma}}$$

$$0.1878 : 1.311 = 0.14325$$

$$\begin{array}{r} 5670 \\ \underline{426} \\ 33 \\ 7 \end{array}$$

$$\begin{array}{r} 69020 \\ \underline{04139} \\ 64881 \\ \underline{37511} \\ 27370 \end{array} \quad \begin{array}{r} 64881 \\ \underline{34479} \\ 30402 \end{array}$$

$$\alpha_{\gamma_0} = 0.1878$$

$$c_{p100} = 0.2014$$

Willner berechnet

$$2014 \cdot 1284 = 1569$$

$$\begin{array}{r} 730 \\ \underline{88} \\ 11 \end{array}$$

$$c_p \sim \frac{1}{1 - \frac{1}{\gamma}} = \frac{\gamma}{\gamma - 1}$$

$$c_v = c_{v0} (1 + \frac{\alpha t}{100})$$

$$c_v \sim \frac{1}{\gamma - 1} \quad \left(\frac{c_{100} - c_0}{c_0} \right)_v = \alpha \left(\frac{t}{100} \right)$$

Willner: $\frac{49276}{50724}$ $\frac{45332}{54668}$ $\frac{48572}{-50724}$
 3215 3521 9785
 $\frac{3215}{306}$

$$\alpha = 95.2\%$$

Willner

Reynall: $c_p = \frac{m c_p - C}{m} = c_p - \frac{C}{m}$

$$\frac{C}{m} = \frac{1.96}{44} = 0.04455$$

$$\frac{0.1870}{0.1425} = 1.311$$

$$(c_{100} - c_0)_v = (c_{100} - c_0)_p$$

$$\begin{array}{r} 2145 \\ \underline{1870} \\ 0275 \\ \underline{1425} \end{array} \quad \begin{array}{r} 2169 \\ \underline{1952} \\ 0217 \\ \underline{1507} \end{array} \quad \begin{array}{r} 43933 \\ \underline{15381} \\ 28552 \\ \underline{193} \end{array} \quad \begin{array}{r} 33646 \\ \underline{17811} \\ 15835 \\ \underline{144} \end{array}$$

$$\alpha = 19.3\%$$

Reynall

$$\alpha_{\text{Wiedem.}} = 14.4\%$$

$$\begin{array}{r} 0.1952 \\ \underline{0445} \\ 0.1507 \end{array}$$

Wiedem.

$\text{Äthylen: } m = \frac{28}{4}$
 C_2H_4

Wüllner: $f = 1.245$
 1.189

$$\begin{array}{r}
 38917 \\
 \hline
 61083 \\
 54082 \\
 65291 \\
 \hline
 4082 \\
 \hline
 01209
 \end{array}$$

$$\begin{array}{r}
 18243 \\
 \hline
 61083 \\
 \hline
 47160
 \end{array}$$

$\alpha = 29.62\%$

Wiedemann: $c_f = 0.3364$
 0.4189

$$\begin{array}{r}
 0825 \\
 \hline
 2664
 \end{array}$$

=

$$\begin{array}{r}
 91645 \\
 \hline
 42553 \\
 \hline
 49092
 \end{array}$$

$1.96 : 28 = 0.49 : 7 = \frac{0.070}{2664}$

$\alpha = 30.97\%$

Reibungs Coefficienten: 0.000

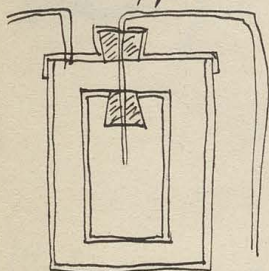
168

Grechen - OE Meyer		Ku W.
(17.5°)		(15°)
Luft	[191]	179
O ₂	212	
N ₂	184	
H ₂	0.93	92.3
CO ₂	160	152
CO	184	
CH ₄	120	
NH ₃	108	
H ₂ O	97.5	97.5
C ₂ H ₄	109	

Literatur über Wärmeleitung

Winkelmann Pogg. Ann. 156, p. 497

Benutzt Apparate von Stefan's Form:



Ressing zylinder, durch Kautschuk stoppeln geschützt mit
Glas Röhre als Verb. lg.; Luftthermometer

↓
dickwandig; $w_{el} = 15-2 \text{ mm}$ pag 504

Strahlungsdimensionen mit nach Nav's Methode durch

Auspumpen der Luft, weil nicht genügend dicht, sondern durch Berechnung
s. Apparate vgl. Dimension

Apparat

I	II	III	IV	V
$r = 1.8327 \text{ cm}$	←	1.384	←	1.8282
$h = 10.043$	←	9.057	←	9.996
$R = 2.1467$	3.3947	2.155	3.403	2.155
$\rho_{el} = 267.51 \text{ gr.}$	←	182.85	←	105.739

$$H = h + 2(R - r)$$

Einfluss der Strömungen: Luft

$\lambda =$	749	138	2.93	mm
I: $v_{hge} =$	0.000509	501	480	
	751	49.6	5	
II	239	155	155	
	748	43.3	13.1	1
III	277	260	260	259
	735	4		
IV		161		

vgl. vgl. Ann. 1. 514: „ $\sigma^2 \propto \sqrt{\rho}$ “ also $\sigma^2 \propto \sqrt{\rho}$ 169
 $\sigma^2 \propto \sqrt{\rho}$

Wenn Dichtigkeitskonstante wird, folgt: $k = 0.0000528$

Wenn Elementenwerte folgen

I	561
II	628
III	625
IV	722

Die Dichtefolge wird Apparat I als paraffinierter weiter verwendet:

Wasserstoff: $\rho =$

750	91.9	4.7	3.0	1.92
0.00294	290	258	245	216

Wasserstoff in Luft; 1 g pro 1 Liter / 1 Liter

CO_2 etc. bleibt bei Atmosphärendruck

Somit Resultate: pag. 526

Ges	$v \log$	k	Dichte σ^2
Luft	0.000480	0.0000531	525 1-30 mm
H ₂	2900	3361	91.9 mm
CO ₂	329	355	317 Atm.
C ₂ H ₄		453	414 "
CH ₄		689	647 "
NO		988	460 138.0 mm
CO		539	510 "
O ₂		592	563 "
NO ₂		390	363 "
N		553	524 "

für 7-8°C

alles noch zu vermindern

um 1.1% wegen $\rho \propto T$

In Resultate pag. 527 vgl. $\rho \propto T$

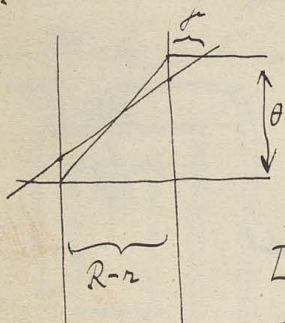
so $\rho \propto T \propto \sqrt{\rho}$ also $\rho \propto T^2$

51.4!

Nicht Korrektur in Rechnung nicht angebracht, physikalische Abh. vorausgesetzt
 Zu Schluss Vergleich mit Clausius & Maxwell's Theorie; Resultate stehen beiden.

Bemerkung:
In Bezug auf Temperatursprung:

H:



~~μ wird in $\frac{L^* - L}{R-r}$ eingesetzt wie:~~

~~$\frac{R-r}{2} \cdot \frac{L^* - L}{R-r}$~~
 ~~$\frac{R-r}{2}$~~

$$L^* \propto \frac{\theta}{R-r}$$

$$L \propto \frac{\theta}{R-r+2\mu} \quad \text{also} \quad \frac{L^*}{L} = \frac{R-r+2\mu}{R-r} = 1 + \frac{2\mu}{R-r}$$

Somit $\mu = \frac{R-r}{2} \left[\frac{L^* - L}{L} \right]$ da L nur proportional θ ist

$R-r = 0.314 \text{ cm}$

$\mu = 4.7: \quad \mu = 0.157 \cdot \frac{32}{258} = \frac{0.157 \cdot 16}{129} = \frac{1054}{129} = 0.01948$

$5.0: \quad \mu = 0.157 \cdot \frac{45}{245} = 0.157 \cdot \frac{9}{49} = 0.0288$

$1.92: \quad \mu = 0.157 \cdot \frac{74}{246} \cdot \frac{37}{108} = 0.0538$

Probe: $\mu = 0.0916$
864
0.1033
2813
} Mittel: 0.0928

Somit $\mu = 0.000122 \text{ cm} \cdot \frac{760}{T}$

Was ~~hier~~ bis auf 6% mit dem von mir

gefundenen Werts übereinstimmt!

Luft: $\frac{21}{480} \cdot 0.157 \cdot \frac{293}{760}$

Auch bei Luft in Spät I ist dies merkbar, ~~das~~ aus der einen Probierung bei 2.93 würde ca $\frac{1}{5}$ d. des Wertes also ca 0.000024 folgen, aber dies ist natürlich zu unsicher.

170

Sonstiges:

Berechnung ungenau; nicht berücksichtigt wurde Veränderlichkeit von κ mit Temp.
ungenau Berechnung des Wärmeflusses (siehe Kette)

Was für Werte wurden für die spec. Wärme des Reinzugs genommen?

Wurde der Kartschukstempel berücksichtigt?

Glasrohr bildet eine sehr große Fehlerquelle, wenn man $\rho = 0.4$ cm annimmt, bis zu 10%!

etc.

Tagebuch 157 pag. 497

Zur Bestimmung der Temperatur-Abhängigkeit wurden Glasapparate benutzt



$$I \cdot R = 1.946$$

$$II \quad 1.294$$

$$III \quad 1.247 \text{ cm}$$

$$R - r = 0.318$$

$$0.142$$

$$1.109$$

$\rho = 1/2$ 12/100
0.5786
 $\rho = 1/2$ 12/100

Probierung wurde Abhängig. κ $\frac{\rho}{H} = 7.5$ $180 - 80$ [Dad = 0] und $118 - 108$ [Dad = 1000]

Apparat I: CO ₂ in Eis		Luft		H			
$\rho = 7.50$	5	750	2.	750	98	2	0.65
$r_{\text{Luz}} = 0.0003265$	3186	4380	4328	0001952	1934	1588	1322

in rührenden Wass.

$$\rho = 100$$

$$6312$$

$$100$$

$$7550$$

$$98$$

$$2748$$

Apparat II CO_2

	CO_2	Luft	H	
$\mu =$	100	90	100	
$v_{\text{lye}} =$	0.0009089	0.001264	0.006138	} in Σ
	1567	1906	8275	} twice 99.5°

[Appendix IV]

$\mu =$	CO_2	Luft	H	
	5	5	(10, Wasser)	sittet
	0.0003571	0.0004115	0.001557	in Eis
$\mu = 47.9$			10	3.62 mm
$t = 224$			224.25	228
	5	5	36.5	
	0.0007704	0.0008398	0.002330	in ca 99.4°

pag 524: "..... o g l s t p e f i n o v l ~ d i m e n s . ° A p r m l"
"c o u c v ~ w o d h p l i n o , v a p C y x / n = 41 z , l ~ d i m .
d . A p r . m s ~ u c o l y l m , c o r l s n "

Nit Densität & u. Coefficienten (Fehler d. Thermo., 70 g/l - kg, also sly 0.4%)
 folgen also folgende Werthe für $A = \frac{K_{100}}{K_0}$ für Luft & Wasserstoff, γ g/cf x 10⁻⁶
 $B = \frac{K_{100}}{K_0}$ für CO₂ & H₂

	A	B
I	1.3661	1.3477
II	1.3429	1.3176
III	1.3644	1.3383

Nothing does it more!

(Like Willner!)

Kohlenstoff für die Luft: $\alpha = 0.003648$
 $\text{CO}_2 \quad \alpha = 0.005$

Danke.

171

Die Berechnung der Temperatur Coefficienten ist ganz vertheilt

stüht sich auf die unbedingten Voraussetzungen der Gleichheit für Luft und Glasleistung enorm groß

Resultate der verschiedenen Apparate stimmen schlecht

zur Wärme-Menge des Hg unbekannt etc

In Bezug auf Temperaturgenauigkeit:

Apparat I:

für H: $\lambda = 2$ $y = 0.159 \frac{346}{1588} = 0.0346$

$\lambda = 0.65$ $y = 0.159 \frac{612}{1322} = 0.0736$

λ
0.0692
0.0478

Das geht nicht so ein fest weil bei v. l. e. noch sehr viel Störfakt ist

Angenommene Dichte: $\frac{19340 - x}{4328 - x} = 6.33$ eigentlich noch mehr nach Winkler 19538

$$19340 - x = 6.33 \cdot 4328 - 6.33x$$

$$5.33x = \frac{25968}{12984}$$

$$27396$$

$$19340$$

$$x = \frac{8056}{2726} \cdot 5.33 = 1511$$

Somit:

$\lambda = 2$ $y = 0.159 \frac{346}{1437} = 0.0383$

$\lambda = 0.65$ $y = 0.159 \frac{612}{1071} = 0.0831$

λ
0.0766
0.0540

stimmt also recht schlecht allerdings ist R-z sehr unklar ebenso auch L selbst

Apparat II

$$\frac{228}{224} = \frac{4}{4}$$

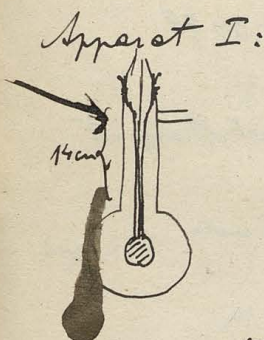
$$p = 0.555 \cdot \frac{4}{224} = \frac{1.11}{112} = 0.0100 \quad p_f = 0.036$$

zum Schluss ^{pag. 550} ist ein Fehler in Kunt & Warburg ausgeg. worden

$$\frac{k_H}{k_{Luft}} = 6.54 \text{ nach K \& W. und nicht 7.1 wie sie angegeben}$$

(die Werte für H wurde nicht auf 0 reduziert)

Kunt & Warburg Pag. 8 Nr. 156 f. 177



Apparat I:

$$\begin{aligned} r &= 0.461 \text{ cm} \\ p &= 1 \text{ mm} \\ R &= 2.972 \\ P &= 0.55 \end{aligned}$$

Ia

} Zylinder Gefäß

II

$$\begin{aligned} r &= \\ p &= 2.5 \text{ mm} \\ R &= 3.1 \text{ cm} \end{aligned}$$

III

Wille & Thunig

Resultate: I

Luft: $p = 760$	$t = 171$
148	234
19.5	277
9	277
4	278
0.5	280

II

760	225
154	313
9.8	363
4	369
1.3	364

III

760	219
154	223
9.8	225
4	226
1.26	225

Silt immer für Abkühl. von 59.3° auf 19.6°

CO₂:

I

760	203
155	274
77	349
150	350
0.5	355

II

760	277
150	380
9.5	460.5
4.5	459
1.26	470

III

760	261
150	300
9.5	306.5
4.5	295
1.26	302

H₂:

760	59.5
154	66
8.8	68
3	72

760	81.5
150	90.5
9.2	92
5	95
0.9	105.5

760	46
150	45.5
8.3	49.5
4.4	51
1.26	66.5

Herstellung des besten Vacuums:

App. II: $p = 9.3$ 263

4.0 369

1.2 364

30° (vac.) 444

50° " 555

on 1/1000 abdruck 602

15° auf 200° ab

712.5

CO₂

708

App. I Luft Ia

760	171	114
155	234	114
9.5	270	116
0.5	280	154
Vac.	576	576

Wasserdampf

760	60	25
154	66	25
8.8	68	30
Vac.	586	578

CO₂

Vac. 588 578

Lagen selbst: pag. 209 $k_0 = 0.000048$

Stefan fand 55

"Nur d. Unschärfe in d. Bestimmung von C liegt in d. Absch. unserer Teil von d. Stefan'schen keine Bedentg. bei."

Außerdem: Thermometer auch mit Normalthermom. verglichen (pag 190), aber wie es scheint nur einmal; unbedingt nötig wäre die Vergleichg. gewesen nach d. Erhitzen auf 200° !

Quantige Kugelapparate überhaupt nicht gut verwendbar, weil der Einfluss des Strahles viel zu groß und zu schwer abzuschätzen ist.

Ob wirklich ein genügendes Vakuum erreicht wurde, ist nicht erwiesen. Es wäre Vorstellung. nötig gewesen.

Daher sind die angegebenen Zahlen: nur rohe Annäherungen

Relative Werte: $CO_2: 0.59$

$H_2: 7.1$ [zu vergleichen nach Winkler. pag. 654]

In Bezug auf Temperaturmessung:

Nur die Beobachtung bei H_2 ^{können} sind brauchbar.

Probe besser umgekehrt:

$$k = \frac{L_m}{L^x} = \frac{\frac{1}{t} - \frac{1}{R}}{\frac{1}{t} - \frac{1}{R} + p(\frac{1}{m} + \frac{1}{R})} \quad \left[\text{Formel (9) in meiner Abh.} \right] = \frac{1}{1 + p \frac{\frac{1}{t} + \frac{1}{R}}{\frac{1}{t} - \frac{1}{R}}}$$

~~$$\frac{1}{t} = \frac{1}{t_s} + \frac{1}{t^x}$$~~
$$\frac{1}{t} - \frac{1}{t_s} = \frac{1}{t^x} - \frac{1}{t_s}$$

$$\begin{aligned} \frac{1}{t^x} &= k \frac{1}{t^x} - \frac{1}{t_s} [k-1] \\ &= k \left[\frac{1}{t^x} - \frac{1}{t_s} \right] + \frac{1}{t_s} \end{aligned}$$

$$\frac{1}{n} = 1 : 0.461 = 2.17$$

$$\frac{1}{n} = 4.70$$

$$\frac{\frac{1}{n} + \frac{1}{n}}{\frac{1}{n} - \frac{1}{n}} = 2.61$$

173

$$\frac{1}{R} = 1 : 2.972 = \frac{0.33}{1.84}$$

$$= \frac{0.11}{4.81}$$

$$p = \frac{0.0130}{p_{\text{in mm}}} \text{ für Luft!}$$

$$p = 3$$

$$p = 0.0043$$

$$\frac{1}{1 + 0.0043 \cdot 2.61} = \frac{1}{1.011} =$$

$$\begin{array}{r} 1 \\ 86 \\ 258 \\ \hline 0.0112 \end{array}$$

$$\frac{M}{x} = 67$$

$$\frac{1}{x} = 149.2$$

$$132 : 1.01 =$$

$$t_s = 580$$

$$\begin{array}{r} = 172 \\ \hline 132 \end{array}$$

$$= 1\%$$

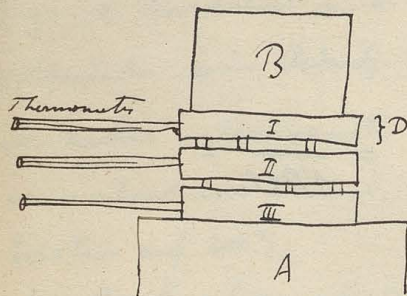
Also bei der ~~ganzen~~ Größe des Versuchsfehlers [siehe von II Luft, III CO₂]
~~ist~~ ist dies viel zu wenig um eine Änderung ev. gestatten.

[Übrigens stehen auch sehr viele Druckfehler vorzuliegen von Luft I für $p = 9.5$
 II für $p = 9.3$
 etc.]

Bei dem Apparat II, welcher eine deutliche Einwirkung zeigt, sind
 wieder die Dimensionen nicht angegeben, daher in diesem Bereich
 unbrauchbar.

Wied. Ann. 14

Christiansen 723 *syf 822*



$$2R = 13.13$$

$$D = 0.9$$

$$P = \begin{matrix} 975 & 994 & 991 \\ I & II & III \end{matrix} \text{ gr.}$$

$$A \sim C \sim Cr \sim CO \sim [= 26 \text{ } \mu]$$

$$B \sim C \sim Cr \sim CO \sim$$

I). $T_0 = 10.6$

$$\delta_1 = \delta_2 = 0.0214 \text{ cm}$$

$$T_0 = 12.0$$

$$T_0 = 13.0 = \text{Temp. ex.}$$

T_1	T_2	T_3	T_1	T_2	T_3	T_1	T_2	T_3
19.54	12.88	6.29	21.73	20.58	7.27	48.68	28.77	8.39
unverändert weil gleichzeitig mit A stationär (Ablesung um 0.3° bei allen Platten in 12 min.)								
$T_0 = 11.8$			$\delta_1 = \delta_2 = 0.0754$ $T_0 = 13.9$					
15.86	15.66	5.44	47.69	26.60	52.1			

Berechnung: $\frac{1}{2}(T_1 - T_2) + \frac{1}{2}(T_2 - T_3) = s$ *Abkürz.*

Dann folgt mit Berücksichtigung der äußeren Wärmeleitung:

$$\delta + \alpha(s^2 + \delta T_2) = \frac{h A \ell_1}{k s} (T_2 - T_0) \quad \left(\begin{matrix} A = \text{Querschnitt} \\ h = \text{Wärmeleitf.} \end{matrix} \right)$$

Die Versuche lassen sich gut darstellen durch:

$$\alpha = 0.001504$$

$$\frac{h A}{k s} = 0.03931$$

$$\frac{h}{k} = 1.43$$

Gratz pag. 232

Apparate skizzen in K. & W. [siehe Skizzen 11 p. 913]

I

$$R = 2.9775$$

$$n = 0.4230$$

(10 V Kathode etc.)

$$\lambda = 15.6$$

$$\rho = 0.1753$$

$$\rho_{\text{Lappin}} = 0.0142$$

$$P_{\text{Hg}} = 2.2641$$

$$P_{\text{Ges}} = 0.3171$$

Ia

$$R = 3.0011$$

II.

$$2.8698$$

$$0.4092$$

$$14.7 \text{ (Skizze)}$$

$$0.1808$$

$$1.8979$$

$$0.3060$$

Daraus folgt:

I

$$C_0 = 0.13205$$

$$C_{100} = 0.13311$$

$$C_{182} = 0.13475$$

II

$$0.11717$$

$$0.11900$$

$$0.12054$$

wobei $c_{\text{Hg}} = \text{wert} = 0.00332$ angenommen

$$\text{und } c_{\text{Ges}} = \begin{matrix} 0.177 \\ 0.183 \\ 0.188 \end{matrix}$$

$$\begin{matrix} 0^\circ \\ 100^\circ \\ 182^\circ \end{matrix}$$

} analogs Betrag

"Die Thomson's corrigiert sich v. 2 Normalth. & Temp. y c Luft the reduciert p. 238"

Resultate (abgelesen)

Apparat I Luft:

$$p = 760 \quad 260^* \quad 68 \quad 19^* \quad 9^*$$

$$t = 164 \quad 211 \quad 256 \quad 265 \quad 267$$

H₂:

$$p = 760 \quad 250^* \quad 64^* \quad 22^*$$

$$t = 57 \quad 64 \quad 65 \quad 66$$

CO₂:

$$p = 760 \quad 250 \quad 66 \quad 21 \quad 6.5^*$$

$$195 \quad 252 \quad 308 \quad 337 \quad 336$$

$$\text{Vacuum: } t = 587$$

von $v = 63.0$
auf 21.2
in Eis

Luft:

$p = 760$	260	98	33 [*]	9 [*]
105	129	139	141	141

$H_2: p = 760$	240 [*]	103 [*]	CO_2	22 [*]	6.5 [*]
$t = 43$	46	46	66	161	161
			158		

Vacuum 224

von 163.6 auf 124.0

in Eis \bar{E}

Luft:

$p = 720$	340	120	64	20	4
-----------	-----	-----	----	----	---

$t = 67$	72	75	77	78	81
----------	----	----	----	----	----

H_2 :

$p = 760$	260	110	94	64
-----------	-----	-----	----	----

$t = 26$	26	27	29	32
----------	----	----	----	----

CO_2 :

$p = 760$	220	191	62	14	12
-----------	-----	-----	----	----	----

$t = 68$	76	77	85	87	88
----------	----	----	----	----	----

Stahl: 128

von 235 auf 220

in Eis

Apparat II:

Luft:

$p = 745$	400	100	35 [*]	5 [*]
-----------	-----	-----	-----------------	----------------

$t = 154$	172	221	233	231
-----------	-----	-----	-----	-----

Vacuum: 517

60.6 - 20.5

✓

A_2 :

$p = 740$ 300 85 20

$t = 525$ 56.5 56.5 58

CO_2 :

$p = 740$ 350 70 10^* 1^*

$t = 178$ 198.5 272 290 291

} 60.6 - 20.5

Lup. $p = 745$ 400 100 35^* 5^*

$t = 107$ 118 138 140 144

H_2 : $p = 740$ 300 85 20

41 42.5 42 42.6

CO_2 : $p = 740$ 350 70^* 10^* 1

113 125 154 157 160

Stahlg = 219

~~160 - 1~~

161.7 - 121.1

Lup. $p = 70$ 20

79 80

H_2 : $p = 300$ 120

26 28

CO_2 : $p = 80$ 20

92 93

} 223.3 - 202.5

Stahlg = 112

Für die Strahlung allein berechnet er daraus pag 243:

176

von 63-21.2: $\alpha_s = 0.001559$ $\rho = 0.0051$ } I
 163.6-124.0 3756 39

60.6-20.5 $\alpha_s = 0.001727$ $\rho = 0.0060$ } II
 161.7-121.2 3858 67

wobei aber Differenzen bis zu 3.8 sec vorkommen!

Ebens wird für Strahlung + Leitung eine solche Formel berechnet

$$\left[\vartheta \log e = \frac{1}{\alpha} \log \left(\frac{1+\beta t}{1+\beta t_0} \frac{t_0}{t} \right) \right]$$

~~der~~ Luft:

Apparat I (mittel) $\alpha = 0.003832$ $\alpha_s = 0.001559$
 voraus: $k_s = 0.00004844$

II $\alpha = 0.004200$ $\alpha_s = 0.001727$
 $k_s = 0.00004831$

Analog $k_{100} = 0.00005739$ voraus $\gamma = 0.00185$

Bemerkungen von W. W. W. zeigen, dass obige Reibungsart ganz
 worthless ist, indem die beiden Apparate ~~stark~~ ganz verschiedene Resultate
 geben; enorme Fehlergrenzen, betreff γ , da insbesondere γ nicht näher
 ^{$0.00159 - 0.00017$}
 suchen lässt

Es gesteht selbst:

pag 542: Und wie oben angeführte Behauptung muss dahin modifiziert werden,
 dass für γ sich die Werte zwischen 0.0010 und 0.0018 darstellen lassen [Bei
 Apparat I allein]

pag 543: Es scheinen jedoch in der That die Beobachtungen am Apparat II

Very well. I v (!!!)

(Note pg. 541)

Stabilität. kann 10% betragen (wenn derselbe Querschnitt vorausgesetzt)
wie bei Stahl

seiner eigenen Form Recht]

und der schweren Seite, sonst aber nicht].

Wie groß ist das Thermometerfeld angenommen?

$$s_{H_0} = 13.596$$

$$s_{H_2} = 1.0036 \cdot 13.596 = 1.0033 \cdot 13.6408$$

$$s_{Ag_2O} = 13.555$$

$$\sqrt[3]{\frac{2.2641}{13.555}} \frac{3}{4\pi} = n_{Hg}$$

$$\frac{0.3171}{2.6} \frac{1}{4\pi n^2} = \epsilon_{\text{glas}}$$

$$\begin{array}{r} 35488 \\ 47712 \\ \hline 83200 \\ 23131 \end{array}$$

60069-3

0.533 56 - 1

$$0.3416 = 2Hg$$

$$\begin{array}{r} 34 \\ 42 \\ \hline 76 \end{array} \} 38.2$$

14

[illegible]

$$\begin{array}{r}
 0.3171 \\
 \hline
 2.6 \cdot 4.2. (0.382) \\
 \hline
 49715 \\
 60206 \\
 16412 \\
 41497 \\
 \hline
 167830
 \end{array}$$

$$\begin{array}{r}
 50120 \\
 67830 \\
 \hline
 82290
 \end{array}$$

$$\begin{array}{r}
 5 = 0.06651 \\
 \hline
 3416 \\
 \hline
 0.9081
 \end{array}$$

177

besser folgendermaßen:

$$\frac{2.2641}{13.555} + \frac{0.3171}{2.6} = \frac{0.16703}{12196} + \frac{0.12196}{12196}$$

$$\begin{array}{r}
 35490 \\
 13210 \\
 \hline
 22280
 \end{array}
 \quad
 \begin{array}{r}
 50120 \\
 41497 \\
 \hline
 08623
 \end{array}$$

$$0.28899$$

$$44715$$

$$\sqrt[3]{\frac{0.28899}{4\pi}}$$

$$\begin{array}{r}
 46090 \\
 47712 \\
 \hline
 93802 \\
 - 09921 \\
 \hline
 1.83881 - 3 \\
 \hline
 0.61294
 \end{array}$$

$$r_{\frac{1}{2}} = 0.41015 \text{ cm}$$

Somit ~~nach~~ ~~wäre~~ würde aus den von Gaetz gemessenen Gewicht noch ein kleinerer Kugelradius folgen als er selbst angibt, während die Kugel jedenfalls noch um den Stielansatz zu vermindern gewesen wäre. Daher dürfte jedenfalls das Glasgewicht zu gering angegeben sein, daher C zu klein und ebenso K zu klein.

Die Differenz beträgt 3% in r, also 9% in Vol. und ~~fast~~ ungefähr ebenso viel in C

Stöckung beträgt in den Versuchen mit Luft fast ebenso viel wie Leistung!

Stiel ist viel zu dick; wenn er bis an die ^{Kugel} Wand reichte, würde er bei stationären Strömung mehr wogeln als das Glas!

Wied. Ann. XI p. 474

Winkelmann: $\gamma_{\text{H}_2\text{O}} \approx 0.012$ g/cm³

Densität ρ aus $\rho_{\text{H}_2\text{O}} \propto \frac{1}{T}$; dichter.: Winkelmann 4 p. 321
Wüllner 5 p. 92

Wüllner $\rho' \sim \gamma_{\text{H}_2\text{O}} \propto \frac{1}{T}$ ist nicht in \sim mehrtonige $\sim 10^{-6}$ $\sim 1/V \sim 2$ atomigen

$\rho \sim \gamma_{\text{H}_2\text{O}} \propto \frac{1}{T}$ ob ~ 2 atomigen $\sim 10^{-6}$ [ihre Temp. entspricht \sim relat. Luft ~ 1]

Deshalb schien es wünschenswert die Abhängigkeit der Verrindstg von Druck näher zu untersuchen, da die ρ $\propto \frac{1}{T}$ $\sim 10^{-6}$ $\sim 1/V$

Apparat: ähnlich wie frühere Gasapp.; $r = \text{ca } 2 \text{ cm}$, $R-r = \text{ca } 0.15 \text{ cm}$

Vorg.: Luft

	740 mm	10 mm
$\rho = 7.93$	0.000000	
	0.00074200	0.00074220
mittl. Abw.	0.08%	0.13%

$\rho = 107.640$	0.0011245	0.0011277
	0.2%	0.2%

Äthylen

	740	10
$\rho = 8.10$	0.00061776	0.00061984
	0.05%	0.09%

$\rho = 107.78$	0.0010905	0.0010988
	0.3%	0.2%

$\rho = 107.69$

pg 487:

178
Beweis folgt aus d. Unterschiede zw. Th. 5. Erfolg nicht über Begrenzt
denn für den können, dass die Obj. verschied. Grad d. Sensibilität

Er hält es aber doch für wahrsch., dass κ mit wachsendem p etwas abnimmt und stellt Hypoth. darüber, wie dies zu erklären wäre.

- 1). durch Abhängigkeit von k vom Druck
- 2). Folge ^{Druckungs} intramolekularer Kräfte (nach Van d. Waals)

Diese minimalen Unterschiede könnten aber auch einfach in
einer ^{theor.} Absorption der Strahlung durch das dichten Gas begründet sein.
siehe auch Note p. 9/15

pag 489 oberbeck: Cy 2 p 2 Temp. \sqrt{x} !

ref 913 Grate s/leaf seal. Emis. 1 020

Apparate nach K & W ; Gessner'sche Pumpe mit 2 Böden

I mit Cylinder gefüllt

$H_2: 45 \text{ mm} \quad \tau = 107$

Luft: 343
12 m

3^d Evee. 209

{ 15: 410

West 216 22/11 452

P. Evans ✓ Hdb 2 509

8: 546

6 " 619

10: 603

Other s. — 671

682

N 16^h: 625

\mathcal{D}_{14}^k : 678

ref 919: "ff 5 v 100 Evac. P. 177 v 2 Temp. Inter. d. / ~ P. Int. & P. 177 v 2 even
 ff 2 v 177 v 6 v 2 v 177 v 2 ~ 2 P. 177 v 2 ~ 3 Temp. Int. d."

pag 921 Therm. Capill. calibrirt, mit ~~Stückchen~~ corrigirt (Vollbrant p. 68)
 hierauf:

Apparat 6-8 Stunden lang bis über 300° in Sandbad erhitzt

	H_2	Luft	
235.6 - 202.9° :	128	128	} Abkühlt in 1827 stud. Antik
163.6 - 124.0 :	224	219	

100° nied. Wärm

pag 922: 63.0 - 21.2° : 587 581

"Der Einfluss des Sticks, da bei 21.2° dicken Stiel voll benutzbar, meistens bei diesem Th. nicht geltend, die Lente bleibt dieselben unabhängig davon wie tief das Gefäß eingetaucht wurde"

Sagt pag. 928: "Der Verrucnt des Th. & K. W. = $\frac{1}{2} \text{ Antik} / \text{L. W.} ; \text{p. c.}$
 Wdfe $c_0 = 0.15663$ "2.5 / 0.16 m Wdfe $c_0 = 20 / 1.25 \text{ Wdfe} = 16$ "

Ann. Bd 19 pg. 649

Winkelmann: $\frac{K}{\rho} \frac{dT}{dz}$ temp.

Methode: Glas Apparats verschiedener Form

Wenn dasselbe Thermometer bei T und t in H_2 und Luft in einem Behälter mit Rad. R , abgelesen wird

$$C_t v_1 = \kappa_t f(r, R_1) + G_t \gamma(r) \quad C_t v_2 = \kappa_t f(r, R_2) + G_t \gamma(r)$$

$$C_T V_1 = \kappa_T f(r, R_1) + G_T \gamma(r) \quad C_T V_2 = \kappa_T f(r, R_2) + G_T \gamma(r)$$

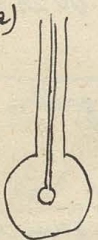
Woraus ohne Kenntnis der Dimensionen folgt:

$$A = \frac{\kappa_T}{\kappa_t} = \frac{C_T (V_1 - V_2)}{C_t (v_1 - v_2)}$$

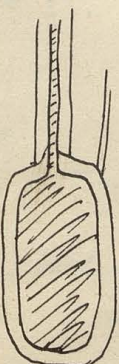
Desto genauer je verschiedene R_1 und R_2 mit
 und je kleiner G ist, [dabei auch γ verhält]

8) Diese Methode konnte aber die facts nicht angewendet werden, da engw. ^{mit der Abz. bei H zu versch.}
 Füllen infolge Stillsetzung; daher bleibt es bei Winkelmann's früher
 Methode, welche Gleichheit von ρ für Luft und H_2 voraussetzt. 173

Apparate: (ungefähre Dimensionen)

a)		I	II	III
	P_{H_2}	38	59	26
	r	0.46	0.45	0.43
	R_1	2.98	3.00	2.98
	R_2	0.70	0.90	0.73
	λ	18.00	19.00	19.00
	$P =$	0.67	0.73	0.73
	$\rho_{\text{innerer Teil}}$	0.09		
	äußer	0.4		
	außenwendige	0.03		
	sonst Querschnitt	0.1		
	oder Radius	0.32	0.28	0.21
		Halle Stücke		maniv

c) Winkelmanns Form: $r = 1.6$
 $R = 2.1$

d)	V	VI
	$r = 0.8$	0.94
	$R = 1.45$	1.6
	$h = 5.0$	5.4
	$H = 7.0$	7.2

Es folgen:	für Luft:		für Luft und H_2		Mittel = 0.00166
	unversilbert	versilbert	nicht vers.	versilbert	
App I	0.00227	189	162	138	}
II	128	170	174	184	
III		148		137	
IV	0.00243				} 0.00243
V	250				
VI	236				

Der Unterschied stellt sich in der Skala bei I-III von viel größer und unregelmäßigen Einflüssen ist.

Die Erwärmung beweist es theoretisch (und dann auch durch folgende Versuche
(da der Stil mit roter Skala war)
nach ~~Erwärmung~~

I) Abkühlg. ist anfangs kleiner als später:

IR, bis 25° erwärmt: 0.001453 ... 0.001512

Wenn dagegen bis 50° erwärmt, ^{Unterschied} so wirkt mehr merklich 1594 - 1599

Dagegen war es für Apparate IV-VI gleichgültig wie hoch sie anfangs erwärmt wurden.

Noch auffallender bei versilberten Kugeln:

erwärmt bis 25°: Abkühlungszeit von 18.6 - 8.6: 346 } !!!

50°: " " " : 217.5

Über Apparat III_R: versilbert

25°: 335

50°: 313

208.166
243
208
1248
1248
34528:243 = 142
1023
51

W. hält daher nur die Resultate IV-VI als maßgebend

180

Daraus folgt unter Annahme von Gleichheit für Luft : 0.00208

[und Voraussetz. der Constante von ϵ_{H_2} : 0.00231

Wenn dagegen M. eine Differenz in γ von 0.00020, so würde folgen:

Luft : 0.00232

H_2 : 0.00212

Der Unterschied gegen seinen früheren Wert 0.00277 liegt in darin, dass dort wahrscheinlich das Versehen nicht die eingenommene Siedetemperatur hatte.

Andere Versuche für CO_2

Bemerkungen betreffs der absoluten Werte:

Wallner bemerkt dass O.E. Reyer's theore. Wert 0.0000492 für 20° gilt
dagegen 452 für 0°

Relative Werte: berechnet von:

beobachtet

	O.E. Reyer	Wallner	K & W.	Winkel	Stapa
Stickoxydul	0.864	0.693		0.691	0.665
N_2O	1.102	0.843		0.788	0.762
CO_2	0.827	0.697	0.588	0.604	0.642

(für 7.8°)

↑
ungenau weil für an den Temperatur folgende Werte benutzt wurde

1860

" 1861 - 1862 für 16° " Reyer's coefficient "

(zum Schluss Bemerkung: dass er ϵ_{H_2} v. Clausius $\gamma = \epsilon_{\text{H}_2} \times \text{prop. Energ.}$)

Widen Ann. p. 68

Winkelman 25 of 8. N. 40 S. 20 W. 100 ft.

Methode von Christiansen

Oben Rott durch Wasserdampf gelöst erwärmt, unten durch kalten Wasserschall abgekühlt.

Platten durchmesser 14' 375 cm

Dr. Ke 0822, 2.26 p.m.

Temp. Mercury in the
Thermometer

Abstände (mittels Glasstärken) 0.0474 cm
 $1-2 \text{ mm}^2$ 0.1026 cm

Berechnung II: Rottels Eliminieren der ersten Wärmeleitung in
aus Rechnungen mit verschiedenen Plattenabstand

~~III.~~ I^a). Nachdem die mittlere Flotte umgelegt war, wenn man annimmt dass sie etwas gewölbt war

II) Platten neu abguschleifen und Umdrehen des ganzen Platten-Systems (ebenfalls 2 Distanzen)

III) Nach direkter Bestimmung von h mittels Abkühlung von
Platten in freier Luft.

Resultat: Luft

$ \begin{array}{r} \text{Dec. I.} \quad 168 \\ \text{Nov. I} \quad 267 \\ \hline \text{Total} \quad 223 \end{array} $	$ \begin{array}{r} \text{I}^a \quad 149 \\ \quad 244 \\ \hline 204 \end{array} $	$ \begin{array}{r} \text{II} \quad 169 \\ \quad 304 \\ \hline 252 \end{array} $	$ \begin{array}{r} \text{III} \quad 180 \\ \quad 232 \\ \hline 206 \end{array} $
--	---	--	---

Jedesmal 4 Werthe (verschiedene Combination der Messungen behufs Berechnung)

cor:

$$\begin{array}{r} I \text{ und } Ia \\ 263 \\ 406 \\ \hline 343 \end{array}$$

$$\begin{array}{r} II \\ 288 \\ 537 \\ \hline 430 \end{array}$$

} Dabei das Verhältnisse ~~Zeit~~
Cor
Luft

$$= \frac{164}{177} \\ 170$$

$$\begin{array}{r} III \\ 313 \\ 411 \\ \hline 266 \end{array}$$

H_2 (nur bei größeren Plattenabstand) (ohne verschied. Plattendicke)

$$\alpha = 000247$$

$$\begin{array}{r} III \\ 199 \\ 222 \\ \hline 206 \end{array}$$

Die dabei durchgeführten Versuche III ergeben ein verschiedenes λ für horizontale und vertikale Platten, wobei letzteres proportional der Temp. differenz; Exponent bei horiz. ca 1.123
vertik. 1.181 } sehr ungleich

IV	4	99.78	120.97	108.23	0.00 2850	722.90
	8	"	"	"	2870	717.76
	4	0	20.06	8.26	1823	1218.00
	8	"	"	"	1826	1215.50
V	3	99.72	120.25	107.82	0.003848	558.98
	3	0	20.17	7.92	2513	879.91
						182

Wasserstoff

I	48			106.82	0.009092	144.12
	48			8.32	6944	321.05
II	52			107.36	0.011518	
	26			"	11583	
	52			7.92	8912	
	50 50			"	8922	
III	40			107.74	0.008611	
	70			"	8626	
	40			7.85	6543	
	70			"	6550	
IV	40			107.75	0.011058	
	70			"	11148	
	40			7.75	8641	
	70			"	8669	
V	48			108.12	0.015874	
	48			7.66	12372	

App.	p	T	v_{CO_2}	Äthyl			
I	0.10	108.0	0.002340	II	10	108.55	0.002977
		8.05	1358		5	"	2978
II	5	108.72	2641		10	7.94	1699
		8.19	1556		5	"	1697
III	4	108.27	2301	III	10	100.25	2463
		7.90	1297		5	"	2465
IV	4	108.33	2726		10	9.21	1348
		8.05	1605	I	5	"	1349
V	4	108.10	3261		10	107.93	2595
		7.81	1945		5	"	2655
					10	7.86	1470
					5	"	1474
				V	10	108.17	3730
					10	7.81	2098

Berechnung nach der Formel:

$$A = \frac{k_T}{k_T} = \frac{v_{U,T} - v_{K,T}}{v_{U,T} - v_{K,T}} \quad \text{für Luft und } H_2$$

$$\text{Ansatz: } D = \frac{v_{U,T} - v_{K,T}}{v_{U,T} - v_{K,T}} \quad \text{für } CO_2 \quad \text{Sonde konst. } C = B + (A-D)m$$

$$m = \frac{k_H}{k_{CO_2}} = 10.485$$

Umsatz für C_2H_4 : $m = 8.03$

Daraus folgen:

	Luft & H_2	CO_2	C_2H_4
I	0.002133	0.003517	0.004649
II	2095	3508	4797
III	2072	4013	4850
IV	1903	3748	—
V	2021	3884	4362
Mittel	2045	3732	4714

Natürlich benutzt die ganze Physik wieder auf der Voraussetzung, dass K_2 und Luft gleiche Temp. Coeff. haben.

183

Die zweite von Winkelmann vorgetragene Methode, unter Benützung der Wassermenge ist nicht anwendbar, da die Wassermenge zu unklar bestimmt ist [Entgegen Willner p. 347] und da die Strahlkraft zu groß ist [beträgt 10. $\frac{1}{6}$ der Strahlkraft]; letztere hat aber jedenfalls eine andere Temperaturabhängigkeit als die Strahlkraft.

Folgt sehr interessante Kritik der Schleiermacher'schen Versuche, welche durch die Existenz des Temperatursprungs vollständig hinfällig gemacht wird.

Er meint Schleiermachers Einwand betrifft Zurückbleiben der Thermometer nicht stichhaltig, da V und II dieselben Werte ergeben.

An den schleiermacher'schen Werten müssen noch Correctionen angebracht werden wegen Veränderlichkeit der γ W. des H_2 und $Glases$, dadurch

wird

Luft: 0.00199

H_2 :

CO_2 : 0.00367

C_2H_4 : 0.00445

Wied. Ann. 44 p. 177

Winkelmann 8 u 1 p 20

I $2r_1 = 10$ mm	III $2r_1 = 7$	} cylindr	$2r_1 = 10$	VI $2r_1 = 10$
$\lambda = 45$ "	$l = 16$		$\lambda = 28$	$\lambda = 35$
$2p = 1.7$ "	$\lambda = 35$		$2p = 2$	$2p = 2.1$
$2R = 28$ "	$2p = 1.7$		$2R = 29$	$2R = 16$
¹ angeschnitten $2R_2 = 16$ "	$2R_1 = 30$	} cylindr		
	$2R_2 = 13$			

Einfluss des Druckes ; dabei wurde ein erster Nach die Verschiebung des Einsenkpunktes in Folge Druckverminderung berücksichtigt

W. Apparat 5:

r	Σt	ohne	vorge mit Correctur	Apparat zeit in Eis
50 mm	618.1	8002519	2519	+ 0.84
105	617.9	2520	2522	85
250	618.8	2512	2520	88
500	621.8	2507	2524	93

Also innerhalb sehr weiten Druckgrenzen constant

Ebenso ist auch die Tiefe des Eintauchens gleichgültig, falls die Normwerte angegeben berücksichtigt werden.

Berechnung wie in Winkler 19, p. 649

184

durch Combination von 4 Beobachtungen (Luft & H_2

Säurekohl Resultate bestimmt aus

	Apparatur				
	$I_{1,2}$	$III_{1,2}$	Mittel	$VIII_2$	VI_2
Luft	0.00206	0.00174	0.00190	0.00166	0.00178
H_2	185	164	175	146	188
CO_2	442	360	401	379	424

Es zeigt sich also ein constanter Unterschied zwisch I und III , welcher nicht in Beobachtungsfehlern zu suchen ist. Vielleicht waren doch Colirfehler in ^{den} Thermometern vorhanden. Wenn 20. bei CO_2 in jeder der 4 Beobachtungen ein Fehler von nur 0.2 % angenommen wird, so dass sie sämmtlich in demselben Sinne wirken, so würde das schon

$\alpha = 360$ in $\alpha = 390$ verwandeln (!!)

Drucke waren immer ziemlich groß (Luft 100-25 mm

H_2 100-200 mm

CO_2 10-43 —

CO_2 Beobachtungsmittel.

$P_{\text{Luft}} = 2t$

Temperaturen
ca 20-8° in Eis
119-107°
in 100°

Apparat	I_1	I_1	I_1	I_1	I_1	I_1
Druck	19	40	40	10	40	40
Temp.	782	782	782	107.64	107.72	107.74
α bzgl	0.001087	1096	1096	2178	4026.1	1029.8
III_1	19	40	40	10	40	40
	798	1208	1212	2366	2163	2161

V ₁₉	40	10	10	19
790	-	-	10702	10712
0'001205	1207	1202	2336	2341
¹²⁰⁰ (18305)	^{1828.4} (1828.4)	^{1836.3} (1836.3)	²³⁴³ (1023.4)	^{1035.0} (1035.0)

I ₂	43	43	19
749	10745	10749	
0001647	2983	2984	
^{1421.0} (1421.0)	^{755.8} (755.8)	^{760.4} (760.4)	

III ₂	43	43	19
819	10720	10720	
0001875	3262	3265	
¹⁸⁶⁵ (1132.3)	³²⁶⁸ (917.7)	^{70.3} (70.3)	

H ₂ :I ₁	200	20	200	III, 200	200	100
740	10723	10727	770	770	10650	10686
0'006518	8765	8765	8765	7058	9262	9264
^{496.2} (496.2)	⁸⁷⁷⁰ (562.46)	^{564.92} (564.92)	⁴ (437.90)	⁹²⁸³ (308.8)	^{377.5} (377.5)	

V	100	200	100	200	200
751	751	10668	10676	10666	
7038	7064	9364	9392	9364	
^{451.4} (451.4)	^{449.76} (449.76)	^{374.42} (374.42)	^{370.7} (370.7)	^{375.05} (375.05)	

I ₂	100	200	200	200
755	755	10703	10700	
0'01202	1205	1541	1539	
¹²⁰⁶ (144.92)	^{142.21} (142.21)	¹⁵⁴³ (118.52)	^{118.54} (118.54)	

III ₂	100	200	200
742	742	10680	
1396	1397	1742	
¹²⁹⁶ (125.26)	^{125.14} (125.14)	^{108.55} (108.55)	

III	25	100	100
2	8'15	8'15	107.24
	2643		
	2648	3394.1	3938
	8066	8036	6035

Dabei oben ^{806.6} unvoll ^{803.6} Correction ^{803.5} anzubringen da C₁₀₀ von C₀ verschieden

$\frac{C_{100}}{C_0} = 0.984$ Bei einer analogen Thermometerversuch nämlich gefunden:

$P_{HF} = 5'478 \times 0.0333 = 0.0333 \cdot 0.977$ s. shy Cuff - 1/2 in. less
 $= 0.03157$

$$P_{\text{gas}} = 0.602$$

$$\begin{array}{r} 0.177 \\ \hline \sin 0^\circ \end{array}$$

$$C = 0.2575$$

0.183
 $\underbrace{\hspace{1.5cm}}_{h=100^\circ}$

0.2617

Bestimmung der absoluten Werte mittels Apparate analog wie das
frühere Rubellapp, aber ~~Thermist~~ kein Kontakt zum Innen

II	I	III	
$r = 1.4050$		1.9038	
$R = 1.7505$	cca 2.4	2.2590	cca 2.8
$h = 6.3160$		6.3066	
$H = 7.0070$	cca 9	7.0170	cca 9

$P = 331.48$

$c_{675} = 0.0913$ (Ride)

AA \rightarrow } daraus $W = 30.264$ W_I fast genau gleich
II 0.036 zu W

Innen vergoldet; Verbindung = dünnwandiges Glasrohr ($D = 1$ cm)

Stromwicklung: Cu 0.2 mm
Nennwert 0.3 mm } also

Resultate:

Luft

I	$r = 9.2$	p^2	40.9	-	-		
	$r_{h2} = 0.031157$	1152	1146	1151	1146	1150	$\tau = 6.76$

II	$r = 9.2$	-	-	40.9			
	0.032077	2072	2083	2070	2078	2076	6.36

H_2 :

I	$r = 150$	75	-	-			
	0.036601	0.036596	6564	6620	6595	6595	6.75

II	$r = 75$	150					
	0.0213135	12963	12723	12940			6.19

Nach Reduktion auf 6.75 folgt

Apparat I ^{Luft} 0.031150 ^{H₂} 0.036595

II 0.032078 0.0312954

$$\frac{V}{l} = 6.854$$

$$l = 0.04552$$

$$V = 0.033785$$

186

Berechnung: Verhältnis der k_2 zu k_1 lässt sich ohne Kenntnis der Dimensionen bestimmen: $\frac{w}{l} = \frac{V_2 - V_1}{v_2 - v_1} = n$

Daraus dann, sobald die Dimension eines Apparats bekannt sind:

$$l = \frac{(V_2 - v_2)}{2(n-1)} \cdot \frac{w}{f_2}$$

$$f_2 = \frac{(h - 2r) 2\pi}{2 \log \frac{R_2 (r+h)}{r(3R_2 + h - 2r)}}$$

Die thermoelektr. Beobachtungen waren aber sehr ungenau wegen variabler Kontaktlage des Salvanon, Differenzen bis 1%, daher auch direkte Messung mit Thermometern

Thermometer: $2r = 0.6 \text{ cm}$

$$l = 1.5$$

$$2p = 0.15 \leftarrow \text{um die Skala leicht abgelesen zu werden}$$

$$\lambda = 5.0 \text{ cm}$$

$$r \approx p = 6 \text{ mm}$$

$$P = 324.63 \text{ gr (C} \rightarrow 2.5 \text{ C} \sqrt{\text{)}} \text{ o. lylieden} \} \text{ II}$$

$$W_{\text{II}} = 30.426 \left[\text{denn } W = 0.156 \text{ für Thermometer} \right]$$

$$P_{\text{log eingefüllt}} = 18.97$$

$$W_{\text{IV}} = 56.869 \quad W_{\text{III}} = 56.849$$

Wie groß ist der Fehler infolge Ungleichmäßigkeit der Temp. innerhalb der Thomson. Kugel?

$$-cs r^2 \frac{\partial \theta}{\partial t} = k \frac{\partial}{\partial r} \left(r^2 \frac{\partial \theta}{\partial r} \right)$$

$$-\frac{cs}{k} \frac{\partial r}{\partial t} = \frac{\partial^2}{\partial r^2} (r\theta)$$

$$r\theta = e^{-\alpha t \pm \beta r}$$

$$+\frac{cs}{k} \alpha = \beta^2$$

$$r\theta = \sum_{\alpha} A_{\alpha} e^{-\alpha t \pm r \sqrt{\frac{cs}{k}} \alpha}$$

$$M = \int_0^r \frac{\partial \theta}{\partial r} dr = \frac{e^{-\alpha t}}{r^3} A \int_0^r r^2 e^{\pm \beta r} dr$$

$$\pm r \frac{e^{\pm \beta r}}{\beta} \Big|_0^r + \frac{1}{\beta} \int_0^r e^{\pm \beta r} dr$$

$$= \frac{\beta e^{-\alpha t}}{\beta^2 r^3} \left[\pm r e^{\pm \beta r} \mp \frac{e^{\pm \beta r}}{\beta} \right]$$

$$= \mp \frac{3 e^{-\alpha t}}{\beta^2 r^3} \left[1 - (1 + \beta r) e^{-\beta r} \right]$$

Zur Zeit $t=0$: $\theta = \theta_0$

$$r\theta_0 = \sum_{\alpha} A_{\alpha} e^{r \sqrt{\frac{cs}{k}} \alpha}$$

$r=0$:

$$0 = \sum A$$

$$\theta_0 = \sum_{\alpha} A_{\alpha} \frac{e^{r \sqrt{\frac{cs}{k}} \alpha}}{r_{\alpha}}$$

$$A + D = 0$$

$$\beta = \frac{1}{r} \mp \frac{h}{rk}$$

Somit:

$$k \left(r^2 \frac{\partial \theta}{\partial r} \right)_r = h \theta_r$$

$$k e^{-\alpha t + \beta r} \left(\beta r - \frac{1}{r} \right) = h e^{-\alpha t + \beta r}$$

$$\sum_{\alpha} e^{-\alpha t + \beta r} A_{\alpha} \left[k \left(\beta - \frac{1}{r} \right) - h \right] = 0$$

Richtig:

$$k \left[A e^{\beta r} \left(\beta - \frac{1}{r} \right) - B e^{-\beta r} \left(\beta + \frac{1}{r} \right) \right] = h \left[A e^{\beta r} - B e^{-\beta r} \right]$$

für beliebige t
daher jedes Glied für sich

$$\text{Somit: } r\theta = e^{-\alpha t} A (e^{\beta r} - e^{-\beta r})$$

$$\theta_0 = \sum A \frac{e^{\beta r} - e^{-\beta r}}{r}$$

$$e^{\beta r} = 1 + \beta r + \frac{\beta^2 r^2}{2!} + \frac{\beta^3 r^3}{3!} + \dots$$

$$e^{-\beta r} = 1 - \beta r + \frac{\beta^2 r^2}{2!} - \dots$$

$$= \sum A \cdot 2\beta \left[1 + \frac{\beta^2 r^2}{3!} + \frac{\beta^4 r^4}{5!} + \dots \right] \left[\beta r + \frac{\beta^3 r^3}{5!} + \dots \right]$$

$$\text{Jedenfalls muss (für } r=0): \theta_0 = \sum 2\beta A$$

Somit:

$$\kappa \left(\frac{\partial \theta}{\partial r} \right)_r = h \theta_r$$

$$\kappa \sum A e^{-\alpha t} \left[\frac{e^{\beta r}}{r} \left(\beta - \frac{1}{r} \right) - \frac{e^{-\beta r}}{r} \left(-\beta - \frac{1}{r} \right) \right] = h \sum A e^{-\alpha t} \left[\frac{e^{\beta r}}{r} - \frac{e^{-\beta r}}{r} \right]$$

$$\sum A e^{-\alpha t} \left[e^{\beta r} \left(\kappa \beta - \frac{\kappa}{r} - h \right) + e^{-\beta r} \left(\kappa \beta + \frac{\kappa}{r} + h \right) \right] = 0$$

Was für Bedingung ist nur möglich wenn für sich $\rightarrow 0$

Overbeck's:

Lup

I) 8 - 40 8
 2t 8085 8094 8069 8088 | 8084 $v_{ly} = 0.0_3 1104$

II). 40 - 8.7
 4357.0 4353.5, 4356.5 | 4353.7 $v_{ly} = 0.0_3 2048$

III). 10 -
 11724 11757 | 11737 $v_{ly} = 0.0_4 7596$

IV). 10
 6127 6139 6121 | 6129 $0.0_3 14546$

H₂

I). 28 38 - 78
 1389.6 1387.0 1389.6 1382.9 | 1387.3 | 0.0₃ 6427

II). 38 40 80
 687.7 687.7 688.0 688.7 686.5 686.3 686.1 686.9
 $v_{ly} = 687.2$ $0.0_2 12973$

III). 40 - - -
 1875.3 1875.7 1867.4 1865.4 1870.5 | 1870.9 | 0.0₃ 47653

IV). 40
 936.4 936.3 933.7 933.7 935.8 | 935.0 | 0.0₃ 95352

CO₂:

188

$$\text{I). } \begin{array}{cccccc} 2.1 & 2.8 & - & 6 & - & \\ 11724 & 11760 & 11776 & 11702 & 11715 & | 11735 \quad 0.047597 \end{array}$$

$$\text{II). } \begin{array}{cccccc} 6 & - & - & 16 & - & \\ 6771 & 6795 & 6801 & 6764 & | 6783 \quad 0.0310144 \end{array}$$

$$\text{III). } \begin{array}{cccccc} 6 & - & - & - & - & \\ 17804 & 17884 & | 17894 & 0.044982 \end{array}$$

$$\text{IV). } \begin{array}{cccccc} 6 & - & - & - & - & \\ 9701 & 9693 & | 9697 & 0.049194 \end{array}$$

Aus I und II folgt $\frac{H}{L} = 6.934$ also $l = 0.04550$, $v = 0.033811$

$$\begin{array}{cccc} \text{III} & \text{IV} & 6.863 & 0.04564 \quad 0.033869 \end{array}$$

$$\text{CO}_2 \left\{ \begin{array}{cc} \text{I} & \text{II} \\ \text{III} & \text{IV} \end{array} \right. \quad \begin{array}{cc} \frac{k}{L} = 0.588 & k = 0.04323 \\ 0.606 & 0.04342 \end{array}$$

Es ist aber noch eine Correction vorzunehmen da der Querschnitt des Verbindungs Rohres von der wirklichen Fläche zu subtrahieren ist.
Dann folgt:

	II	IV	Mittel rechnet auf 6%	rechnet auf 0°
Luft	0.04555	568	561	555
H ₂	0.033849	3896	3872	3829
CO ₂	0.04326	344	335	327

Ordnung der Rechnung: Die Phasie + Gasdruck rückwärts bestimmt

$$x = \frac{C}{W} \log e = \begin{array}{cccc} 0.04205 & 0.04204 & 0.04232 & \text{Sp. II} \\ 0.05764 & 746 & 842 & \text{IV} \end{array}$$

aus Luft H₂ CO₂

Bezieht die früher gefundenen Werte (156) und verwirft sie als
 viel weniger genau (20. Kontinuitätspunkt nicht berücksichtigt)
 bei H_2 überdies ist die Vermuthung von Lillienmaier bestätigt
 gefunden worden, dass die scheinbare Abkühlung zu langsam war,
 (Differenzen der Umrechnungen und nicht Umr.)

Wied. Ann. 54 p. 104 Kutts für Th. o. Stefan's - Calorimeter
 findet durch verbesserte Berechnung:

$$571.5 \cdot 10^{-7} \text{ für Luft}$$

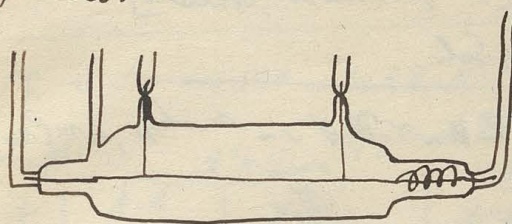
Wied. Ann. 48 p. 180

Winkelmann 8. Abt. 1. 2. 3. 4. 5. 6. 7. 8. 9. 10. 11. 12. 13. 14. 15. 16. 17. 18. 19. 20. 21. 22. 23. 24. 25. 26. 27. 28. 29. 30. 31. 32. 33. 34. 35. 36. 37. 38. 39. 40. 41. 42. 43. 44. 45. 46. 47. 48. 49. 50. 51. 52. 53. 54. 55. 56. 57. 58. 59. 60. 61. 62. 63. 64. 65. 66. 67. 68. 69. 70. 71. 72. 73. 74. 75. 76. 77. 78. 79. 80. 81. 82. 83. 84. 85. 86. 87. 88. 89. 90. 91. 92. 93. 94. 95. 96. 97. 98. 99. 100. 101. 102. 103. 104. 105. 106. 107. 108. 109. 110. 111. 112. 113. 114. 115. 116. 117. 118. 119. 120. 121. 122. 123. 124. 125. 126. 127. 128. 129. 130. 131. 132. 133. 134. 135. 136. 137. 138. 139. 140. 141. 142. 143. 144. 145. 146. 147. 148. 149. 150. 151. 152. 153. 154. 155. 156. 157. 158. 159. 160. 161. 162. 163. 164. 165. 166. 167. 168. 169. 170. 171. 172. 173. 174. 175. 176. 177. 178. 179. 180. 181. 182. 183. 184. 185. 186. 187. 188. 189. 190. 191. 192. 193. 194. 195. 196. 197. 198. 199. 200. 201. 202. 203. 204. 205. 206. 207. 208. 209. 210. 211. 212. 213. 214. 215. 216. 217. 218. 219. 220. 221. 222. 223. 224. 225. 226. 227. 228. 229. 230. 231. 232. 233. 234. 235. 236. 237. 238. 239. 240. 241. 242. 243. 244. 245. 246. 247. 248. 249. 250. 251. 252. 253. 254. 255. 256. 257. 258. 259. 260. 261. 262. 263. 264. 265. 266. 267. 268. 269. 270. 271. 272. 273. 274. 275. 276. 277. 278. 279. 280. 281. 282. 283. 284. 285. 286. 287. 288. 289. 290. 291. 292. 293. 294. 295. 296. 297. 298. 299. 300. 301. 302. 303. 304. 305. 306. 307. 308. 309. 310. 311. 312. 313. 314. 315. 316. 317. 318. 319. 320. 321. 322. 323. 324. 325. 326. 327. 328. 329. 330. 331. 332. 333. 334. 335. 336. 337. 338. 339. 340. 341. 342. 343. 344. 345. 346. 347. 348. 349. 350. 351. 352. 353. 354. 355. 356. 357. 358. 359. 360. 361. 362. 363. 364. 365. 366. 367. 368. 369. 370. 371. 372. 373. 374. 375. 376. 377. 378. 379. 380. 381. 382. 383. 384. 385. 386. 387. 388. 389. 390. 391. 392. 393. 394. 395. 396. 397. 398. 399. 400. 401. 402. 403. 404. 405. 406. 407. 408. 409. 410. 411. 412. 413. 414. 415. 416. 417. 418. 419. 420. 421. 422. 423. 424. 425. 426. 427. 428. 429. 430. 431. 432. 433. 434. 435. 436. 437. 438. 439. 440. 441. 442. 443. 444. 445. 446. 447. 448. 449. 450. 451. 452. 453. 454. 455. 456. 457. 458. 459. 460. 461. 462. 463. 464. 465. 466. 467. 468. 469. 470. 471. 472. 473. 474. 475. 476. 477. 478. 479. 480. 481. 482. 483. 484. 485. 486. 487. 488. 489. 490. 491. 492. 493. 494. 495. 496. 497. 498. 499. 500. 501. 502. 503. 504. 505. 506. 507. 508. 509. 510. 511. 512. 513. 514. 515. 516. 517. 518. 519. 520. 521. 522. 523. 524. 525. 526. 527. 528. 529. 530. 531. 532. 533. 534. 535. 536. 537. 538. 539. 540. 541. 542. 543. 544. 545. 546. 547. 548. 549. 550. 551. 552. 553. 554. 555. 556. 557. 558. 559. 560. 561. 562. 563. 564. 565. 566. 567. 568. 569. 570. 571. 572. 573. 574. 575. 576. 577. 578. 579. 580. 581. 582. 583. 584. 585. 586. 587. 588. 589. 590. 591. 592. 593. 594. 595. 596. 597. 598. 599. 600. 601. 602. 603. 604. 605. 606. 607. 608. 609. 610. 611. 612. 613. 614. 615. 616. 617. 618. 619. 620. 621. 622. 623. 624. 625. 626. 627. 628. 629. 630. 631. 632. 633. 634. 635. 636. 637. 638. 639. 640. 641. 642. 643. 644. 645. 646. 647. 648. 649. 650. 651. 652. 653. 654. 655. 656. 657. 658. 659. 660. 661. 662. 663. 664. 665. 666. 667. 668. 669. 670. 671. 672. 673. 674. 675. 676. 677. 678. 679. 680. 681. 682. 683. 684. 685. 686. 687. 688. 689. 690. 691. 692. 693. 694. 695. 696. 697. 698. 699. 700. 701. 702. 703. 704. 705. 706. 707. 708. 709. 710. 711. 712. 713. 714. 715. 716. 717. 718. 719. 720. 721. 722. 723. 724. 725. 726. 727. 728. 729. 730. 731. 732. 733. 734. 735. 736. 737. 738. 739. 740. 741. 742. 743. 744. 745. 746. 747. 748. 749. 750. 751. 752. 753. 754. 755. 756. 757. 758. 759. 760. 761. 762. 763. 764. 765. 766. 767. 768. 769. 770. 771. 772. 773. 774. 775. 776. 777. 778. 779. 780. 781. 782. 783. 784. 785. 786. 787. 788. 789. 790. 791. 792. 793. 794. 795. 796. 797. 798. 799. 800. 801. 802. 803. 804. 805. 806. 807. 808. 809. 810. 811. 812. 813. 814. 815. 816. 817. 818. 819. 820. 821. 822. 823. 824. 825. 826. 827. 828. 829. 830. 831. 832. 833. 834. 835. 836. 837. 838. 839. 840. 841. 842. 843. 844. 845. 846. 847. 848. 849. 850. 851. 852. 853. 854. 855. 856. 857. 858. 859. 860. 861. 862. 863. 864. 865. 866. 867. 868. 869. 870. 871. 872. 873. 874. 875. 876. 877. 878. 879. 880. 881. 882. 883. 884. 885. 886. 887. 888. 889. 890. 891. 892. 893. 894. 895. 896. 897. 898. 899. 900. 901. 902. 903. 904. 905. 906. 907. 908. 909. 910. 911. 912. 913. 914. 915. 916. 917. 918. 919. 920. 921. 922. 923. 924. 925. 926. 927. 928. 929. 930. 931. 932. 933. 934. 935. 936. 937. 938. 939. 940. 941. 942. 943. 944. 945. 946. 947. 948. 949. 950. 951. 952. 953. 954. 955. 956. 957. 958. 959. 960. 961. 962. 963. 964. 965. 966. 967. 968. 969. 970. 971. 972. 973. 974. 975. 976. 977. 978. 979. 980. 981. 982. 983. 984. 985. 986. 987. 988. 989. 990. 991. 992. 993. 994. 995. 996. 997. 998. 999. 1000. 1001. 1002. 1003. 1004. 1005. 1006. 1007. 1008. 1009. 1010. 1011. 1012. 1013. 1014. 1015. 1016. 1017. 1018. 1019. 1020. 1021. 1022. 1023. 1024. 1025. 1026. 1027. 1028. 1029. 1030. 1031. 1032. 1033. 1034. 1035. 1036. 1037. 1038. 1039. 1040. 1041. 1042. 1043. 1044. 1045. 1046. 1047. 1048. 1049. 1050. 1051. 1052. 1053. 1054. 1055. 1056. 1057. 1058. 1059. 1060. 1061. 1062. 1063. 1064. 1065. 1066. 1067. 1068. 1069. 1070. 1071. 1072. 1073. 1074. 1075. 1076. 1077. 1078. 1079. 1080. 1081. 1082. 1083. 1084. 1085. 1086. 1087. 1088. 1089. 1090. 1091. 1092. 1093. 1094. 1095. 1096. 1097. 1098. 1099. 1100. 1101. 1102. 1103. 1104. 1105. 1106. 1107. 1108. 1109. 1110. 1111. 1112. 1113. 1114. 1115. 1116. 1117. 1118. 1119. 1120. 1121. 1122. 1123. 1124. 1125. 1126. 1127. 1128. 1129. 1130. 1131. 1132. 1133. 1134. 1135. 1136. 1137. 1138. 1139. 1140. 1141. 1142. 1143. 1144. 1145. 1146. 1147. 1148. 1149. 1150. 1151. 1152. 1153. 1154. 1155. 1156. 1157. 1158. 1159. 1160. 1161. 1162. 1163. 1164. 1165. 1166. 1167. 1168. 1169. 1170. 1171. 1172. 1173. 1174. 1175. 1176. 1177. 1178. 1179. 1180. 1181. 1182. 1183. 1184. 1185. 1186. 1187. 1188. 1189. 1190. 1191. 1192. 1193. 1194. 1195. 1196. 1197. 1198. 1199. 1200. 1201. 1202. 1203. 1204. 1205. 1206. 1207. 1208. 1209. 1210. 1211. 1212. 1213. 1214. 1215. 1216. 1217. 1218. 1219. 1220. 1221. 1222. 1223. 1224. 1225. 1226. 1227. 1228. 1229. 1230. 1231. 1232. 1233. 1234. 1235. 1236. 1237. 1238. 1239. 1240. 1241. 1242. 1243. 1244. 1245. 1246. 1247. 1248. 1249. 1250. 1251. 1252. 1253. 1254. 1255. 1256. 1257. 1258. 1259. 1260. 1261. 1262. 1263. 1264. 1265. 1266. 1267. 1268. 1269. 1270. 1271. 1272. 1273. 1274. 1275. 1276. 1277. 1278. 1279. 1280. 1281. 1282. 1283. 1284. 1285. 1286. 1287. 1288. 1289. 1290. 1291. 1292. 1293. 1294. 1295. 1296. 1297. 1298. 1299. 1300. 1301. 1302. 1303. 1304. 1305. 1306. 1307. 1308. 1309. 1310. 1311. 1312. 1313. 1314. 1315. 1316. 1317. 1318. 1319. 1320. 1321. 1322. 1323. 1324. 1325. 1326. 1327. 1328. 1329. 1330. 1331. 1332. 1333. 1334. 1335. 1336. 1337. 1338. 1339. 1340. 1341. 1342. 1343. 1344. 1345. 1346. 1347. 1348. 1349. 1350. 1351. 1352. 1353. 1354. 1355. 1356. 1357. 1358. 1359. 1360. 1361. 1362. 1363. 1364. 1365. 1366. 1367. 1368. 1369. 1370. 1371. 1372. 1373. 1374. 1375. 1376. 1377. 1378. 1379. 1380. 1381. 1382. 1383. 1384. 1385. 1386. 1387. 1388. 1389. 1390. 1391. 1392. 1393. 1394. 1395. 1396. 1397. 1398. 1399. 1400. 1401. 1402. 1403. 1404. 1405. 1406. 1407. 1408. 1409. 1410. 1411. 1412. 1413. 1414. 1415. 1416. 1417. 1418. 1419. 1420. 1421. 1422. 1423. 1424. 1425. 1426. 1427. 1428. 1429. 1430. 1431. 1432. 1433. 1434. 1435. 1436. 1437. 1438. 1439. 1440. 1441. 1442. 1443. 1444. 1445. 1446. 1447. 1448. 1449. 1450. 1451. 1452. 1453. 1454. 1455. 1456. 1457. 1458. 1459. 1460. 1461. 1462. 1463. 1464. 1465. 1466. 1467. 1468. 1469. 1470. 1471. 1472. 1473. 1474. 1475. 1476. 1477. 1478. 1479. 1480. 1481. 1482. 1483. 1484. 1485. 1486. 1487. 1488. 1489. 1490. 1491. 1492. 1493. 1494. 1495. 1496. 1497. 1498. 1499. 1500. 1501. 1502. 1503. 1504. 1505. 1506. 1507. 1508. 1509. 1510. 1511. 1512. 1513. 1514. 1515. 1516. 1517. 1518. 1519. 1520. 1521. 1522. 1523. 1524. 1525. 1526. 1527. 1528. 1529. 1530. 1531. 1532. 1533. 1534. 1535. 1536. 1537. 1538. 1539. 1540. 1541. 1542. 1543. 1544. 1545. 1546. 1547. 1548. 1549. 1550. 1551. 1552. 1553. 1554. 1555. 1556. 1557. 1558. 1559. 1560. 1561. 1562. 1563. 1564. 1565. 1566. 1567. 1568. 1569. 1570. 1571. 1572. 1573. 1574. 1575. 1576. 1577. 1578. 1579. 1580. 1581. 1582. 1583. 1584. 1585. 1586. 1587. 1588. 1589. 1590. 1591. 1592. 1593. 1594. 1595. 1596. 1597. 1598. 1599. 1600. 1601. 1602. 1603. 1604. 1605. 1606. 1607. 1608. 1609. 1610. 1611. 1612. 1613. 1614. 1615. 1616. 1617. 1618. 1619. 1620. 1621. 1622. 1623. 1624. 1625. 1626. 1627. 1628. 1629. 1630. 1631. 1632. 1633. 1634. 1635. 1636. 1637. 1638. 1639. 1640. 1641. 1642. 1643. 1644. 1645. 1646. 1647. 1648. 1649. 1650. 1651. 1652. 1653. 1654. 1655. 1656. 1657. 1658. 1659. 1660. 1661. 1662. 1663. 1664. 1665. 1666. 1667. 1668. 1669. 1670. 1671. 1672. 1673. 1674. 1675. 1676. 1677. 1678. 1679. 1680. 1681. 1682. 1683. 1684. 1685. 1686. 1687. 1688. 1689. 1690. 1691. 1692. 1693. 1694. 1695. 1696. 1697. 1698. 1699. 1700. 1701. 1702. 1703. 1704. 1705. 1706. 1707. 1708. 1709. 1710. 1711. 1712. 1713. 1714. 1715. 1716. 1717. 1718. 1719. 1720. 1721. 1722. 1723. 1724. 1725. 1726. 1727. 1728. 1729. 1730. 1731. 1732. 1733. 1734. 1735. 1736. 1737. 1738. 1739. 1740. 1741. 1742. 1743. 1744. 1745. 1746. 1747. 1748. 1749. 1750. 1751. 1752. 1753. 1754. 1755. 1756. 1757. 1758. 1759. 1760. 1761. 1762. 1763. 1764. 1765. 1766. 1767. 1768. 1769. 1770. 1771. 1772. 1773. 1774. 1775. 1776. 1777. 1778. 1779. 1780. 1781. 1782. 1783. 1784. 1785. 1786. 1787. 1788. 1789. 1790. 1791. 1792. 1793. 1794. 1795. 1796. 1797. 1798. 1799. 1800. 1801. 1802. 1803. 1804. 1805. 1806. 1807. 1808. 1809. 1810. 1811. 1812. 1813. 1814. 1815. 1816. 1817. 1818. 1819. 1820. 1821. 1822. 1823. 1824. 1825. 1826. 1827. 1828. 1829. 1830. 1831. 1832. 1833. 1834. 1835. 1836. 1837. 1838. 1839. 1840. 1841. 1842. 1843. 1844. 1845. 1846. 1847. 1848. 1849. 1850. 1851. 1852. 1853. 1854. 1855. 1856. 1857. 1858. 1859. 1860. 1861. 1862. 1863. 1864. 1865. 1866. 1867. 1868. 1869. 1870. 1871. 1872. 1873. 1874. 1875. 1876. 1877. 1878. 1879. 1880. 1881. 1882. 1883. 1884. 1885. 1886. 1887. 1888. 1889. 1890. 1891. 1892. 1893. 1894. 1895. 1896. 1897. 1898. 1899. 1900. 1901. 1902. 1903. 1904. 1905. 1906. 1907. 1908. 1909. 1910. 1911. 1912. 1913. 1914. 1915. 1916. 1917. 1918. 1919. 1920. 1921. 1922. 1923. 1924. 1925. 1926. 1927. 1928. 1929. 1930. 1931. 1932. 1933. 1934. 1935. 1936. 1937. 1938. 1939. 1940. 1941. 1942. 1943. 1944. 1945. 1946. 1947. 1948. 1949. 1950. 1951. 1952. 1953. 1954. 1955. 1956. 1957. 1958. 1959. 1960. 1961. 1962. 1963. 1964. 1965. 1966. 1967. 1968. 1969. 1970. 1971. 1972. 1973. 1974. 1975. 1976. 1977. 1978. 1979. 1980. 1981. 1982. 1983. 1984. 1985. 1986. 1987. 1988. 1989. 1990. 1991. 1992. 1993. 1994. 1995. 1996. 1997. 1998. 1999. 2000. 2001. 2002. 2003. 2004. 2005. 2006. 2007. 2008. 2009. 2010. 2011. 2012. 2013. 2014. 2015. 2016. 2017. 2018. 2019. 2020. 2021. 2022. 2023. 2024. 2025. 2026. 2027. 2028. 2029. 2030. 2031. 2032. 2033. 2034. 2035. 2036. 2037. 2038. 2039. 2040. 2041. 2042. 2043. 2044. 2045. 2046. 2047. 2048. 2049. 2050. 2051. 2052. 2053. 2054. 2055. 2056. 2057. 2058. 2059. 2060. 2061. 2062. 2063. 2064. 2065. 2066. 2067. 2068. 2069. 2070. 2071. 2072. 2073. 2074. 2075. 2076. 2077. 2078. 2079. 2080. 2081. 2082. 2083. 2084. 2085. 2086. 2087. 2088. 2089. 2090. 2091. 2092. 2093. 2094. 2095. 2096. 2097. 2098. 2099. 2100. 2101. 2102. 2103. 2104. 2105. 2106. 2107. 2108. 2109. 2110. 2111. 2112. 2113. 2114. 2115. 2116. 2117. 2118. 2119. 2120. 2121. 2122. 2123. 2124. 2125. 2126. 2127. 2128. 2129. 2130. 2131. 2132. 2133. 2134. 2135. 2136. 2137. 2138. 2139. 2140. 2141. 2142. 2143. 2144. 2145. 2146. 2147. 2148. 2149. 2150. 2151. 2152. 2153. 2154. 2155. 2156. 2157. 2158. 2159. 2160. 2161. 2162. 2163. 2164. 2165. 2166. 2167. 2168. 2169. 2170. 2171. 2172. 2173. 2174. 2175. 2176. 2177. 2178. 2179. 2180. 2181. 2182. 2183. 2184. 2185. 2186. 2187.

Wid. Am 34 p. 623

190

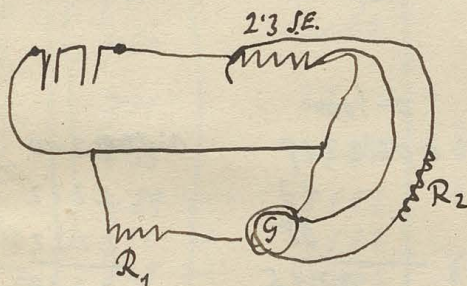
Stilleiermacher



	I	II
$r = p/d$	320	350 mm
$2p$ \rightarrow $\Delta 860s$	246.2	293.4
v_0	0.405	0.405
$2R$	0.3430 S.E.	0.3782
$\Delta 860s$	24.2 24.2	15.6
	0.81	0.78

In einem Eisenblechkasten von 5 l Inhalt

Temperatur des Gases sinkt auf 0.02° Grad in



Stromkreis I und II gehen in entgegengesetzte
wirkende Rollen von S

- I). Der schwachen Hauptstrom (ca 0.03 Amp) $C_1 R_2 \int E \sim \int e \cdot G = 0$
 II). Der starken (ca 1 Amp) $G \sim I \int E \sim \int e \cdot G = 0$

für compens.

$$t = \text{temp. } ^\circ \text{C} / e$$

$$t' = \text{ce}$$

$$t - t' = \frac{(1 + \alpha t') r}{\alpha R_1}$$

$$E \sim p S \text{ Galvanon } \sim I = 280 \text{ SE}$$

$$\text{temp. } \approx 22.6 \text{ } ^\circ \text{C}$$

Galvanon: 0.1 Teil = $7 \cdot 10^{-10}$ Amp. (stark entfernt, 5 m. p. e.,
 $\approx 2-3 \text{ p. e.}$)

$\Delta 860s \sim 10 \text{ SE.}, p \sim 10 \text{ SE.}$ Interp.

Intens. ° Hampton. δ 10 ~ f Gals. 120 G 2 njo ~ 2 L G d/s
 [V Silberholz enthält]

1 Versuch δ 900 2 E⁶ Gals. 5, 2 St₀ Gals.

25. δ 5 gr ~ 5. 2 njo G. 0.622 δ ~ 14 δ ~ 2 njo, 2 njo
 δ 10 δ 25

Temp. Luft:

Die schwache A. Strom. kompensiert v. 2^{te} R₂

dann Erh. temp. auf 100° S "

R₁ } 120 L

Erhöhe bei 50° (0.1 L)

I	0-100°		0-50°	
	0.00	2218	2228	
		22	27	
		18	19	
		<u>2219</u>	<u>2225</u>	

II	0-100°		0.0002200	
	0.00	2219	2222	
		17	2222	
		08	2222	
		<u>2215</u>	<u>2218</u>	

Somit Mittelwert. : $\alpha = 0.002227 - 0.001 t$

Stoßlings beob. I

S = s/p an ~ gr. Cal.

$t' = 0$		$t' = 98.8$		$t' = 0$		$t' = 99.3$	
$t = 18.5$	0.00 144	$t = 117.1$	0.00 205	9.4	0.00 109	110.3	251
32.5	286	129.4	629	14.8	166	126.5	302
44.6	296	139.0	776	19.2	232	146.6	1234
62.0	553	170.9	1338	25.4	306	188.3	3088
102.1	1054	216.2	2634	33.0	420		
174.9	2263			46.3	602		
				64.4	834		
				117.6	1799		
				161.2	2991		

$\alpha = 1.4 \times 10^{-2}$ $\sim 1.2 \times 10^{-2}$ $\sim 200-250$ m^2 , H_2O Co H_2O .
 $\rho_f \approx 1.4 \times 10^{-2}$ $\sim 1.6 \times 10^{-2}$. $\text{vel } 10-15 \text{ km/sec}$ δ stationary $\text{by } \text{H}_2\text{O}$. 191

$\rho_f \approx 1.4 \times 10^{-2}$ $\sim 1.6 \times 10^{-2}$ $\sim 200-250$ m^2 , H_2O Co H_2O .

Lup:

Apparatus I

μ	$\pi' = 0$		$\pi' = 98^\circ$	
	$A - \pi'$	$\frac{L_0}{\pi - \pi'}$	$\pi - \pi'$	$\frac{L_{99}}{\pi - \pi'}$
680 ⁽¹⁾	6.53	0.002448		
265 ⁽²⁾	6.86	2.172		
190 ⁽³⁾	7.43	2.170		
91 ⁽²⁾	7.01	2.138		
46 ⁽¹⁾	7.50	2.163		
22 ⁽²⁾	7.11	2.121		
11 ⁽²⁾	7.55	2.165	6.43	0.002822
—	4.89	2.153	4.18	28.16
10 ⁽³⁾	6.14	2.102	—	—
5.7 ⁽²⁾	8.48	2.067	6.43	26.12
—	5.85	2.075	4.23	26.23
—	4.00	2.071	—	—
2.5 ⁽¹⁾	7.43	1.995	6.55	26.03
—	4.84	1.989	4.32	25.72
1.2 ⁽²⁾	7.20	1.867	6.33	24.27
—	4.66	1.867	4.20	23.96
0.3 ⁽²⁾	7.80	1.544	—	—
0.07 ⁽²⁾	15.7	4.97	—	—

$\rho_f / \text{H}_2\text{O} \approx 1.4 \times 10^{-2}$
 $\sqrt{-1.4}$

H₂ Apparatus I

p	$L_0/t-t'$	$L_{99}/t-t'$
181①	0.01503	0.01972
-	1540	-
43①	1458	1891
-	1480	1897
40②	1565	2028
-	1600	2013
34③	1573	1957
-	1550	2011
10④	1292	1657
-	1301	-
8.5⑤	1473	1877
-	1488	1841

Apparatus II

215①	0.01987	1998	0.02609
-	1989		2618
214②	2004		2587
-	2006	-	-
41①	1941	1922	2573
-	1935		2371
40②	1907		2438
-	1906	-	2439
72②	1629	1660	2009
-	1626		2037
68①	1685		2017
-	1700	-	2046

CO₂

I

46①	0.001289	0.001914
-	1290	
15③	1275	
-	1272	
5②	1248	
-	1243	
28①	1236	
-	1239	1918

II

13①	0.001580	0.002369
-	1581	
5②	1549	
-	1553	
2.5①	1510	
-	1521	284
-	-	402

Left Apparatus II

35①	0.002682	0.003291
-	2702	
10②	2625	
-	2619	
5③	2572	
-	2585	
-	2604	

II

2.5②	2476	3140
-	2488	3157
-	2518	-
1.2③	2321	-
-	2349	-

Nittelwerte:	Luft	H ₂	CO ₂	
I	0.002137	0.01557	0.001242	
II	2630	1922	1533	sonst

ko:			
I	0.0000565	0.000411	0.0000328
II	559	409	326
Nittel:	562	410	327

für die Temperatur coefficienten folgt:

Apparat I

p	Luft	p	H ₂
11 ①	0.00318	181 ①	0.00315
—	316	43 ①	300
52 ②	277	—	285
—	268	40 ②	299
25 ③	108	—	261
—	296	34 ③	296
12 ②	303	—	300
—	286	10 ①	277
		85 ②	273
		—	240
Nittel	296		285

	CO ₂
5 ①	0.00539
—	568
26 ①	537
—	553
	549

Apparat II

10 ①	256	215 ①	316
—	260	—	319
5 ③	263	214 ②	294
—	271	41 ①	298
25 ②	271	—	220
—	272	40 ②	281
	266	—	283
		72 ②	236
		—	256
		68 ①	200
		—	206
			265
			275

5 ②	539
—	485
25 ①	589
—	584
	547

Also im Nittel: 281

548

Für die Dichtende hat Thomson Proc. R.S. 37 p 187. 1884
eine Formel berechnet, diese hier nicht angewendet

Erwärmungen ohne Einfluss

Die Zahlen für A sind um 0.5% corrigiert angegeben, wegen Temp. unterschied
an den Oberflächen des Glasbügels.

Bemerkungen über Winkeln eines Ablesers (nur die älteren)

Korrektur Bemerkungen:

Obernayer fand für $\mu = 0.0279$ Luft Schumann
0.0257 H_2 0.02364
0.02348 CO_2 0.02388

Die Werte Obernayer's stimmen mit obigen überein, auch für CO_2 wenn noch berichtigt,
denn $\frac{C_{100}}{C_0}$ von Willner bestimmt wurde, dann ergibt sich theoretisch
0.02511 0.02560 für μ

Zusammenstellung der beobachteten k_0 , η_0 nach Obernayer, c_0 nach Ray,

Wied. und Böttinger	k_0	η_0	c_0	$\frac{k_0}{\eta \cdot c_0}$	relat. k	
					theor.	ber.
Luft	0.02562	0.031678	0.16902	1.982	1	1
H_2	0.02410	861	2.461	1.935	7.47	7.30
CO_2	0.02327	1383	0.14886	1.589	0.726	0.581

Nachdem $\frac{k_0}{\eta \cdot c_0}$ für verschiedene Gase verschieden ist, können die bisherigen
Berechnungen von Ray, Poltze etc. nicht genügen.

Ad Winkel. 48 p. 180

193

Wenn Glasröhre massiv wäre so würde die Glasleitung = $\frac{1}{5}$ des ganzen Wärmeverlustes

$$\text{betragen } 0.594 : 3.14 = 0.189 \quad \sqrt{0.189} = 0.435 = 2 \quad 2z = 0.87 \text{ cm}$$

$$\begin{array}{r} 280 \\ 29 \end{array}$$

$$\begin{array}{r} 290 : 83 \end{array}$$

Wenn man die Dicke der Glasröhre annimmt zu 0.5 mm (wahrscheinlich größer)

$$\text{so wird der Querschnitt: } \frac{0.087 \cdot 3.14}{2} = \frac{87.457}{2} = 43.7285$$

$$0.1366 = \frac{1}{4} \text{ des Querschnittes}$$

Somit Glasleitung = 5%

den kommt Thermometerstiel

$$\frac{0.15^2}{4} \cdot 3.14 = \frac{0.28}{4} = 0.07$$

$$\frac{0.1366}{0.155} = \frac{0.0766}{0.155} = \frac{1}{2} \text{ des ganzen Querschnittes}$$

Andererseits hätte zu W noch der Wasserverlust des unter eingesetzten Stückes der Glasröhre hinzugefügt werden sollen.

Bei direkter Berechnung aus den angegebenen Werten für W und v by x, y- würde folgen $k_{61} = 0.04606$ somit $\frac{3}{60} = 5\%$ theoretisch
für $k = 0.04575$

auf die Glasleitung entfallen, wenn Strahlung = 0 angenommen

$$r\theta = \left(A_0 + \right) A_1 e^{-\alpha_1 t + \beta_1 r} + A_2 e^{-\alpha_2 t + \beta_2 r} + \dots \\ + B_1 e^{-\alpha_1 t - \beta_1 r} + B_2 e^{-\alpha_2 t - \beta_2 r} + \dots$$

$$\frac{cs}{k} \sum A \alpha e^{-\alpha t + \beta r} + \sum B \alpha e^{-\alpha t - \beta r} = \sum \beta^2 A e^{-\alpha t + \beta r} + \sum \beta^2 B e^{-\alpha t - \beta r}$$

$$\frac{cs}{k} \alpha = \beta^2$$

$$\theta_0 = \frac{1}{n} \sum A e^{\beta r} + B e^{-\beta r} + \frac{A_0}{n}$$

$$\text{für } r=0: \theta_0 = \sum \frac{(A+B)}{n} + \frac{A_0}{n} + \sum \beta(A-B) + \frac{\beta^2 n}{2!} \sum (A+B) + \dots$$

$$\text{Somit jedenfalls: } \sum (A+B)_n = 0 \text{ und } \sum A+B$$

$$\sum (A-B) = 0 \quad \sum \beta_n (A-B)_n = 0$$

$$A_0 + \sum (A+B) = 0$$

$$\sum \beta (A-B) = 0$$

$$\text{z.B. Spezialfall: } -A=B = \frac{\theta_0}{2\beta} \quad A_0 = -\frac{\theta_0}{\beta}$$

$$\theta = -\frac{\theta_0}{\beta n} + \frac{\theta_0}{2\beta n} e^{-\alpha t} (e^{\beta r} + e^{-\beta r})$$

Vier. Ann. 4 p. 321

194

Wallner & v. S. p. 12 p. 20 v. cond. Vol. & p. temp. & p. 12 p. 20

Neger nimmt η für 20° , c von Regard für $200-150$

	η Obermayer η_0	η_{100}	c Wallner (für cond. Vol.) c_0	c_{100}
Luft	0.0001678	2136	0.16902	0.16930
CO	1625	2047	0.17289	0.17395
CO ₂	1383	1859	0.14886(L)	0.16730 (R)
N Oxyd	1353	1815	0.15130	0.17384
C ₂ H ₄	922	1244	0.27007	0.35366
NH ₄	—	—	0.38026	0.41635

Limit	$k = \eta c \cdot 153$ k_0	Wink.	k_{100}	Wink.	$\frac{k_{100}}{k_0}$ für	Wink.
Luft	0.0000434	513	0.0000553	653	1.2747	1.2770
CO	430	499	545	—	1.2674	—
CO ₂	315	305	476	466	1.5106	1.5200
N Oxyd	313	350	483	506	1.5413	1.4468
C ₂ H ₄	381	395	673	626	1.7668	1.6110
NH ₄	—	458	—	709	—	1.5475

Siehe auch ~~Wallner~~ Winkeln. 19 p. 687

Einfluss der Temperaturdifferenz innerhalb des Thermometers

$$\left[\sqrt[3]{\frac{0.602}{2.6}} + \frac{5.478}{13.6} - \sqrt[3]{\frac{5.478}{13.6}} \right] \sqrt[3]{\frac{2}{4n}} =$$

$$= \sqrt[3]{\frac{2}{4n}} \sqrt[3]{\frac{5.478}{13.6}} \left[\left(1 + \frac{0.602}{2.6} \frac{13.6}{5.478} \right)^{\frac{1}{3}} - 1 \right]$$

13354	41497	73862	77960	40279
77960	73862	43354	41497	23154
91314	15359	2.60508-3	236463-3	63433
1		0.86836-1		
		0.85922		2.80231
		0.73852		0.93410
		0.12070		

$$0.622089$$

$$0.211030 = \lg \sqrt[3]{\frac{4n}{3}}$$

$$0.08171-1$$

$$-0.21103$$

$$0.87068-2 \parallel \delta = 0.074247$$

$$0.86836-1$$

$$- \frac{21103}{0.65733}$$

$$n = 0.4543$$

Somit ~~man~~ ^{äußer} Dicke des Thermometerplexes = 0.74 mm

Wenn man die Dicke der Glaswands zu 1 mm annimmt

so wird die wirkliche Temperaturdifferenz bei stationären Strömungen

um	$\frac{1.74}{3.35}$	für Luft	$\frac{1.74}{3.5}$	für H_2	in Apparat I ₂
				11.6%	und II ₂
	= 1.6%		= 11.6%		

$$\frac{1.74}{9.35} \text{ Luft} \\ = 0.5\%$$

$$\frac{1.74}{9.5} H_2 \\ = 2.8\%$$

195
für I₁

$$\frac{1.74}{11.5 \cdot 35} \text{ Luft} \\ = 0.4\%$$

$$\frac{1.74}{11.5 \cdot 5} H_2 \\ = 2.6\%$$

für III₁

alles im Verhältnis 1:2 gerichtet für 100°

Genauere Durchsicht der Berechnung für Apparat III
Nach den Formeln in meiner Abhandlung

$$\frac{\Delta R}{R} = \frac{0.74}{3.5} = \frac{1.48}{7} = 0.21$$

$$K' = 0.002$$

$$K'' = 0.02$$

$$C = 0.26 \text{ (ungetr.)}$$

$$\lg \frac{\theta}{\theta_0} = \frac{2.0}{5.8} = \frac{60206}{23026} = 0.39794$$

$$\frac{\Delta R_1}{R_1} = \frac{1}{15} = 0.067$$

$$\lg \frac{\theta}{\theta_0} = 0.92$$

$$\frac{\Delta R_2}{R_2} = \frac{1}{6.5} = 0.15$$

$$\frac{0.26 \cdot 0.92}{2 \cdot 15.314} = \frac{184}{552} = \frac{2392:94}{512} = \frac{254}{42}$$

$$\left[\frac{0.28}{0.002} + \frac{1}{0.04} \right] = 1 \quad \left[\frac{0.36}{0.002} + \frac{1}{0.04} \right] = 2$$

$$\frac{140}{1.2} = 142$$

$$\frac{180}{2} = 182$$

$$0.0254 \cdot 142 \\ 102 \\ 51$$

$$0.0254 \cdot 182 \\ 203 \\ 5$$

$$\lg \frac{\theta}{\theta_0} = \frac{0.26 \cdot 0.92}{234} = \frac{52}{2392} = 0.2392$$

$$Corr_1 = 407 \text{ sec.}$$

$$Corr_2 = 462 \text{ sec.}$$

Damit ergibt sich Σt in Mittel:

Luft	1000 1000	10060	1000	100
	13346	829.2	800.5	598.9
H ₂	23052	26399	12492	16697
	433.8	378.8	120.6	104.0
			82918	80096155
CO ₂	1127.7 1792.2	1127.7	1010.5	713.4
	55796	88676	98962	14017

63729	57841	08135	01703
35271	42158	91865	98297
25339	05219	00453	85333
79661	94781	99547	14667
12535	91856	90336	77725
87465	08134	09664	22265

$$\frac{R_1}{p} = \frac{41}{11.5} 30:1.7$$

$$\frac{R_2}{p} = \frac{13}{1.7}$$

$$\begin{array}{r} 47712 \\ 23045 \\ \hline 124667 \end{array} \quad \begin{array}{r} 11394 \\ 23045 \\ \hline 088349 \\ 1767 \\ \hline 2650 \\ 2032 \end{array}$$

$$\begin{array}{r} 0.000057 \\ \hline 230.124 \\ 248 \\ \hline 272 \\ 285 \end{array}$$

$$= \frac{0.0000200}{0000088} \quad \begin{array}{r} 0.0000288 \\ \hline 88 \\ 371 \end{array}$$

$$\sqrt{= 0.0054} \quad 0.0061$$

$$6p = 0.000104 \cdot 0.085 \quad \begin{array}{r} 340 \\ \hline 00000884 \end{array}$$

$$\begin{array}{r} 465.61 \\ \hline 54 \end{array} \quad \begin{array}{r} 2790 \\ 465 \\ \hline 28365:54 = 525 \\ 136 \\ \hline 285 \end{array} = \kappa' \Delta_{20}$$

$$\sqrt{120} = 11$$

$$\kappa' = 0.003 \quad \sqrt{2\kappa'} = 0.0775$$

$$\kappa' \Delta = 3.14 \cdot 0.085 \cdot 0.0775 \cdot 0.0054$$

$$\begin{array}{r} 49715 \\ 82942 \\ \hline 88920 \\ 73239 \\ \hline 04826 \end{array} = \frac{0.00001117}{0.24} =$$

$$= \frac{0.00001117}{15.70} = 0.00000711$$

$$= \kappa' \Delta_{20}$$

$$510 = \kappa' \Delta_{2100}$$

$$\begin{array}{r} 12060 \\ \hline 510 \\ 11550 \end{array} \quad \begin{array}{r} 16697 \\ \hline 578 \\ 16119 \end{array} \quad 578 = \kappa' \Delta_{2100}$$

$$\begin{array}{r} 74928 \\ \hline 465 \\ 7028 \end{array} \quad \begin{array}{r} 12492 \\ \hline 525 \\ 11967 \end{array}$$

$$4569:4939$$

Sutton & Kilgour The thermal emissivity of thin wires in air

Phil. Trans. Lond. 183, A. 371-405 (1892)

Proc. R. S. 50, 166-172, (1897)

Plot of ϵ vs ρ in cm^2/g at λ are also; also 0.031-0.356 μ
 from which temp of λ is ~ 2000

Pratt Thermal radiation in absolute measure

Nature 46, 603, (1892) Proc. R. S. 52, 162-163, (1892)

In English | hervorst und verbleib | abgeköhlt bei verschied Verdünnungen

$\frac{1}{500.000} \lambda_{60}$	3.42	2.30	} 10^{-4} (C.S.S) μm^2
$\frac{1}{500.000} \lambda_{60}$	1.40	0.48	

Fortb. 46 II p 379

Zee On the of cooling and its being on the theory of motion of heat in bars

Abkühl. von vermischten Stäben aus Cu Fe Zn von $100^\circ - 30^\circ$

Gründe Zylinderhöhe : = $h \theta^{1.21}$

Nach früheren Beob von Mitchell [Tr. E. R. S.] 1887 = $h \theta^{1.26}$

	I_{100}	I_{100}	I_0	I_0
Lup	16697	12060	12492	7493
limp	724	747	815	798
	531			160

$$\frac{23}{724} \cdot 167 = \frac{334}{501}$$

$$\frac{334}{501} : 724 = 5306$$

$$17228$$

$$12060$$

$$5168 : 4839 = 106 \frac{1}{2}$$

$$3938 \quad 2651$$

$$26725 \quad 1582$$

$$12655 : 1069 = 1184 - 16\%$$

$$1965$$

$$896$$

$$41$$

$$\frac{18}{166}$$

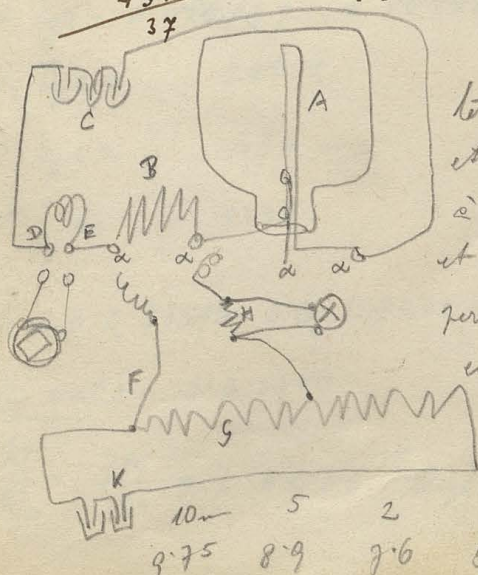
$$13906 : 1035 = 13436 - 16$$

$$3556$$

$$451$$

$$37$$

$$\frac{20}{724}$$



$B =$ log pour fil de cuivre dans la résist. sur de
 terre de compensation, autres rés. pour varier l'intensité
 et permettre la temp. Poussoir de Weber en dérivation
 à DE. Pile d'opprobriat K, résisteur de 5000 ohm
 et caim de résist. G. Selvanon Thomson, en H,
 permet de déterminer la résist. qu'on doit introduire
 en G pour que la différence de pot. aux extrémités
 de G fasse exactement équilibre à la diff. de
 potentiel aux extrémités du fil observé

10	5	2	1	0.5	0.1	0.01
9.75	8.9	7.6	5.92	3.9	1.2	1.43

$$\frac{17}{798} 7493 = \frac{17 \cdot 75}{80} = \frac{1275}{80} = 159.4$$

$$12492$$

$$7653$$

$$4839$$

0	0
100	92
200	279
300	690
400	1650
500	3150
600	5900
700	10000
800	15950
900	24050
1000	35000

$$3938 \cdot \frac{23}{724} = 544$$

$$318 \cdot \frac{23}{724} = 1088$$

$$28 \cdot \frac{23}{724} = 163$$

$$1582 \cdot \frac{17}{800} = 34$$

Willis

$$k_0 = 1.40526$$

$$k_{100} = 1.40289$$

Relative Werte					Stufen	Winkel (7-8°)	Planck
Luft	Winkel (4°) für 0°: 1.000	Fehlerrum 1.000	Sätze 1.00	Küh 1.00	1.00	1.00	1.00
H ₂	6.90	7.30	6.59	6.54	6.778	6.334	7.13
CO ₂	0.589	0.582	0.639	0.589	0.642	0.668	709
C ₂ H ₄					0.752	0.853	890
CH ₄					1.372	0.772 II 1.298	1.66
N ₂ O					0.665 0.66	0.736 0.660 II	0.665 0.736
CO					0.981	1.015	890
O ₂					1.018	1.115	102
NO ₂					0.665	0.919	0.950 0.665 959
N ₂						1.042	0.990 999
NH ₄						0.915	0.914 1.30
H ₂ O						0.714	
CS ₂						0.351	0.341
Alk.						0.573	
Alk.						0.565	0.794

→ Abw. 0° 458 Winkel
100° 709

Wied. Ann. 60 p. 82

199

E. Müller Exp. Untere. 8 ab. 25. 5. 1881

$$w.v = k \frac{4\pi R_2}{R_1 - R_2} + 4\pi R_2^2 b + g + g'$$

$$w(v_1 - v_2) = k \frac{4\pi R_2 (R_1 - R_2)}{(R_1 - R_2)(R_2 - R_1)} + \overbrace{(g_1 - g_2)}^w + \overbrace{(g'_1 - g'_2)}^w$$

I). Metallapparat

$$c_{\text{Al}} = 0.2443$$

$$D = 35.837$$

$$r = 14.38 \text{ cm}$$

$$c_{\text{Pb}} = 0.0333$$

$$5.297$$

$$R_1 = 3.533$$

$$c_{\text{Zinn}} = 0.086$$

$$0.696$$

$$R_2 = 2.012$$

$$c_{\text{Glas}} = 0.1988$$

$$0.333$$

$$w = 7.9812$$

Therm. Stiel doppeltwandig Holz (u. d. d. = 0.5 cm)

$g' = 0$ weil Stiel mit Temp. p. 20-25 C. v. 1/2 f. 1/2 f.

1). g als klein e. r. = 0.121

L. 10-20 cm
H. 30-40 "

excentr. $\rho = 0.7$ m

$$v_1 \lg e = 0.000149 + 0.000000367$$

$$(v_2 - v_1) \lg e = 0.000114 \text{ (comp. 0.156 9-4)}$$

$$v_2 \lg e = 266 + 337$$

$$(v_2^* - v_1') \lg e = 0.000781 + 0.001960$$

$$v_1' \lg e = 454$$

$$5727$$

$$(v_2' - v_1) \lg e = 0.001175 -$$

$$v_2' \lg e = 1248$$

$$3137$$

$$- 0.056037 + 0.079057$$

$$k = 0.0458596 - 0.06128037 + 0.0444037^2$$

$$\text{für } \tau = 120: 0.045766$$

[ex. d. d. 10.1]

für Temp. = 25°

$$\left(\frac{k}{k_0}\right) = \frac{781}{114} \neq 7 \text{ * } \sqrt{6} \text{ Temp. 26 Grad? } 65 - 2 \mu 3 - 2$$

2. conc. 5 m₃

$$k = \frac{\pi (R_1 - r)(R_2 - r)}{4\pi r^2 (R_1 - R_2)} v_2 - v_1 \quad \text{mit } R_1 \propto g_2 - g_1 \quad \sim 1$$

$$k = 0.04746 \quad \left[\text{norm } g_2 - g_1 = 0.03611 \right]$$

II) Glas Apparat

$$R_1 = 3.243 \text{ cm}$$

$$P_{\text{atm}} = 2.180$$

$$R_2 = 1.693 \text{ "}$$

$$P_{\text{sen}} = 0.280$$

$$r = 0.457 \text{ "}$$

$$W = 0.1484$$

(R_{ball} = 1 cm)

$$p = 0.1 \text{ "}$$

$$\lambda = 9 \text{ "}$$

1). $g_2 - g_1 = 0$ $g_2' - g_1'$ vern. d.

Mittelw. von 45° - 8°

$$(v_2 - v_1)_{\text{lye}} = 0.032142$$

$$k = 0.046196$$

2). 60 v R₁ WSK² e

a). v Senkwa R

t_s

$$= 1044$$

Lp

15 Stunden später

$$1034$$

$$1052$$

H₂

$$1060$$

$$1076$$

CO₂

$$1065$$

b). v Sprengel

CO₂:

$$1108$$

$$1096$$

⊥

H₂:

$$1158$$

$$1160$$

48 Stk

$$1156$$

$$(v - v_s)_{\text{lye}} = 0.00109$$

$$k = 0.045572$$

h) p_{atm} & k_{sen} v₂ p_{sen} u₂ v₂ = 0.201 2). 2 Vacuum
s/ 0.177

	I	III	Mittel	bezogen auf Luft = 634	ρ Dichte von Luft
H ₂ O	8.79	9.07	8.88	0.714	4388
Alk.	11.04	11.12	11.07	0.573	6147
CH ₄	18.24	17.58	18.08	0.357	5717
NH ₃	6.81	7.17	6.93	0.915	5128
Äther	11.08	11.49	11.22	0.565	7012
C ₂ H ₄				0.773	5751
N ₂ O				0.680	4149
Luft mit H ₂					277
CO ₂					497

korrigiert aus der
Luft mit H₂
u. Hg.

Wärmen. d. e. s. f. Luft. u. n. e. r. e. n. v. 6^{te} temp. haben ρ / ρ CO₂, C₂H₄, N₂O
- 1000 ρ s. d. f. f. d. W. d. e. n. e. t.

1750
1683
16775
1679

$$3895 : 4 = 1695 = \gamma \quad C_v = 0.1695$$

$$17^2 = \frac{289 \cdot 5}{2} = \frac{1445}{2} = 722.5$$

$$\frac{270.20}{10540}$$

$$\frac{1880}{102} \cdot 54 = 1778$$

$$\frac{944}{102} = 752$$

Wärme: n = 78 Luft
63 H₂

Wärme 1.11

Zugluft		Rohr		Koeffizienten		Pulver	K.u.W.
		braken	20	OE.R. 20	20		
Luft		1750 ⁽³⁾ 1750 ⁽¹⁰⁾	1683	1900	1880	1917 ⁽¹⁰⁾	-
O ₂				2120	2060		
N ₂			1635	1840	?		
N ₂ O			1408	1600			
NO			1645	1860			
CO ₂		1432 ⁽³⁾ 1432 ⁽¹⁰⁾	1414	1600	1600	1528 ⁽³⁾ 1520 ⁽²⁵⁾	
CO			1630	1840			
C ₂ H ₄			966	1090			
CH ₄			1040	1200			
H ₂		892 ⁽³⁾ 870 ⁽¹⁰⁾	822	930	1130	828.5 ⁽¹⁵⁸⁰⁾ 815 ⁽²¹¹⁾	823 ⁽¹⁵⁾
H ₂ O		904 ⁽¹⁰⁾			967 ⁽¹⁶⁷⁾	975 ⁽²⁰⁾	
NH ₃			957	1080			
Alk.		827 ⁽¹⁰⁾			885 ⁽¹⁰⁾ (160)		
Ather		689 ⁽¹⁰⁾			703 ⁽¹⁰⁾ (165)		
CS ₂		924 ⁽¹⁰⁾			990 ⁽¹⁰⁾ 1000 ⁽¹⁶⁹⁾		
Benzol		709 ⁽¹⁰⁾			759 ⁽¹⁶⁸⁾ (174)	1580 ⁽⁶⁷⁷⁾ 1560 ⁽⁸⁸⁷⁾	
Chloro		959 ⁽¹⁰⁾			1029 ⁽¹⁷⁴⁾ (174)		
Cl ₂			1287	1470			
HCl			1379	1560			

Zugluft		Rohr		Koeffizienten		Pulver	K.u.W.
		braken	20	OE.R. 20	20		
Luft		1750 ⁽³⁾ 1750 ⁽¹⁰⁾	1683	1900	1880	1917 ⁽¹⁰⁾	-
O ₂				2120	2060		
N ₂			1635	1840	?		
N ₂ O			1408	1600			
NO			1645	1860			
CO ₂		1432 ⁽³⁾ 1432 ⁽¹⁰⁾	1414	1600	1600	1528 ⁽³⁾ 1520 ⁽²⁵⁾	
CO			1630	1840			
C ₂ H ₄			966	1090			
CH ₄			1040	1200			
H ₂		892 ⁽³⁾ 870 ⁽¹⁰⁾	822	930	1130	828.5 ⁽¹⁵⁸⁰⁾ 815 ⁽²¹¹⁾	823 ⁽¹⁵⁾
H ₂ O		904 ⁽¹⁰⁾			967 ⁽¹⁶⁷⁾	975 ⁽²⁰⁾	
NH ₃			957	1080			
Alk.		827 ⁽¹⁰⁾			885 ⁽¹⁰⁾ (160)		
Ather		689 ⁽¹⁰⁾			703 ⁽¹⁰⁾ (165)		
CS ₂		924 ⁽¹⁰⁾			990 ⁽¹⁰⁾ 1000 ⁽¹⁶⁹⁾		
Benzol		709 ⁽¹⁰⁾			759 ⁽¹⁶⁸⁾ (174)	1580 ⁽⁶⁷⁷⁾ 1560 ⁽⁸⁸⁷⁾	
Chloro		959 ⁽¹⁰⁾			1029 ⁽¹⁷⁴⁾ (174)		
Cl ₂			1287	1470			
HCl			1379	1560			

$$\eta = \eta_0 (1 + \alpha t)^n = \eta_0 (1 + \beta t)$$

oberm. Pulv. OE.R., oberm. = system

Pulv. ue 0°-30°
Wiedm. 0°-100°

6894
0004 || 185

	Wiedem Regnault	C _p 100°	T _c Wiedem.	M _w	Density	$\frac{D}{W}$	$\frac{W}{J_2}$	Result
Lupl	-30-100 <u>2371</u>	6-100 <u>2374</u>	10-100 <u>2389</u>					1'405
O ₂	0.2175R							1'401
N ₂	0.2438R							1'405
H ₂	3'410							2'470
CO ₂	0.1952	2169	0.1870R	12653 9-34		$\frac{1.31131}{1.28212}$	$\frac{1.3052}{19.26} \quad \frac{1.292}{20-15.2 \text{ inch}}$	1.2982
CO	0.2426		0.2450R			$\frac{1.4032}{1.39465}$	1.408	0.2438
Cl ₂			0.1141 R 0.1155 R.				1.323	0.1148
N ₂ O	1983	2212				$\frac{1.3106}{1.2724}$		1.3106
NO			0.2317 R.					1.394
CH ₄				1.316 11-30 1.2430				1.317
C ₂ H ₄	3364	4189		22-38		$\frac{1.24548}{1.1870}$		1.2530
H ₂ O					$\frac{1.274}{78}$	$\frac{1.73}{94}$	$\frac{1.277}{103-104}$	
NH ₄	5009	5317		1.2622 21-40		$\frac{1.3172}{1.2770}$		1.2958
CS ₂	1315 _R		963	1.1890 21-40	1.205 3-67			1.20
CHCl ₃	1341		0.0677	1.1100 24-40	1.102 22-38			
HCl								
Mk.						1.173 53		
Ath.	3725		4268	1.0288 42-45	1.025 3-46	1.097 20°		1.09
C ₆ H ₆								
Lupl	0.2389		0.2389					

$$C_{\text{eff}} = C + \Delta C = \sqrt{\eta} \sin 90^\circ \Delta t$$

Relative Werte auf Luft = 1

	Anteil ^{oo}	Mittel	0° Grad 200		obermgen	NEr. shwz	Werte	obermgen	Anteil	Wiedr.
	1000	270	1000		1000	1000	1000	274	267	269
Luft	1000	270	1000		1000	1000	1000			
H ₂	490 497	251	488	489.5	513	601	498	249	253	
O ₂		283	977	1.116	1.1165	1.096	1.116	283		
N ₂		264	971.5	968.	989		976	264		
CO ₂	786	343	840	842	824	851	[817]	348	340	341
CO		262	968.5	968.	969		969	269		255
NO ₂		349	837	842	807		823	345		352
NO			977	979			978			
CH ₄			618	632			625			
C ₂ H ₂		352	574	574	550		562	350		354
C ₂ H ₄	528						528			
H ₂ O	517						517			
CHCl ₃	548						548			
C ₆ H ₆	405						405		[463]	
NH ₃			569	568			569			
Cl ₂			765	774			770			
HCl			819	821			820			
CO ₂		463					463			
Mn	473						473			
NH ₃	394	391					394		391	

498.9
4482
2

976.9
8784
4

$$\nabla_r v = \nabla_r (v_0 + v - v_0) = v_0 + \nabla_r (v - v_0)$$

$$v - v_0 = \frac{1}{2} \nabla_r (v - v_0) + \frac{1}{2} \nabla \text{curl} (v - v_0) \cdot r$$

$$\nabla_r v = \left(i \frac{\partial}{\partial x} + j \frac{\partial}{\partial y} + k \frac{\partial}{\partial z} \right) (x v_1 + y v_2 + z v_3) = i v_1 + j v_2 + k v_3 +$$

$$i x c_{11} + y c_{12} + z c_{13} + j x c_{21} + y c_{22} + z c_{23} + k x c_{31} + y c_{32} + z c_{33}$$

$$\nabla_r v = \nabla_r \varphi = \nabla \varphi = \nabla \varphi$$

$$+ x(i c_{11} + j c_{21} + k c_{31})$$

$$+ y(i c_{12} + j c_{22} + k c_{32})$$

$$+ z(i c_{13} + j c_{23} + k c_{33})$$

$$\nabla_r v = v + v_R$$

$$v_R = x \nabla v_1 + y \nabla v_2 + z \nabla v_3$$

$$\nabla_r v = v$$

} Für lin. Vektorfunkt.

$$\nabla_v v = v_R$$

$$v = v_0 - v + \nabla_r v + \nabla \text{curl} v \cdot r$$

$$v = v_0 + \nabla_v v + \nabla \text{curl} v \cdot r$$

} Gilt für lin. Vektorfunktion

Das ist dasselbe Story wie

Die Sache beruht also darauf dass $\nabla_r v = v$ festgesetzt werden kann wenn die Komponenten $v = i dx + j dy + k dz$ angenommen wird

$$v_p r = v_{1q} x + v_{2q} y + v_{3q} z$$

$$i \frac{\partial}{\partial x} \left\{ 2c_{11} x^2 + (c_{21} + c_{12}) xy + (c_{31} + c_{13}) xz + (c_{21} + c_{12}) xy + 2c_{22} y^2 + \dots + (c_{31} + c_{13}) xz \dots \right\}$$

$$= 2i \{ 2c_{11} x + (c_{12} + c_{21}) y + (c_{13} + c_{31}) z \} = 2i v_{p1}$$

stimmt

$$\nabla_r(vr) = \nabla_r(v_1 x + v_2 y + v_3 z)$$

$$= \sum i \left[x \frac{\partial v_1}{\partial x} + y \frac{\partial v_2}{\partial x} + z \frac{\partial v_3}{\partial x} + v_1 \right]$$

$$c_{11} x + c_{12} y + c_{13} z +$$

$$= i v_1 + j v_2 + k v_3 = v \text{ stimmt?}$$

Zu beweisen, dass

$$v_0 + (r \nabla) v \text{ für unendlich kleine } r \text{ gleich ist } \frac{1}{2} (v_0 + \nabla r v + \underbrace{\nabla \text{curl } v \cdot r}_{\text{div} = 0})$$

Ersteres kann entwickelt werden in:

$$v_0 + \nabla v(rv) + \frac{1}{2} \nabla \text{curl } v \cdot r + \frac{1}{2} \nabla \text{curl } v \cdot r$$

und gilt auch noch für endliche r $\text{div} = 0$

Diese Entwicklung einer linearen Vektorfunktion ist eigentlich ungenau, da nicht $v - v_0$ sondern $v - \frac{1}{2} v_0$ sich als Differential ausdrücken lässt. Kann man sie nicht auf die Form bringen

Lineare Vektorfunktion:

$$v = \frac{1}{2}(v_0 + \nabla v r + \nabla(v r))$$

- i

$$\begin{matrix} r_2 & r_3 \\ \frac{\partial v_1}{\partial x} - \frac{\partial v_2}{\partial y} & \frac{\partial v_2}{\partial x} - \frac{\partial v_3}{\partial y} \end{matrix}$$

$$v = \begin{matrix} i & j & k \\ \frac{\partial}{\partial x} & \frac{\partial}{\partial y} & \frac{\partial}{\partial z} \\ v_1 & v_2 & v_3 \end{matrix}$$

$$2v_1 = \frac{1}{2}(v_1)_0 + \frac{\partial}{\partial x}(v_1 r_1 + v_2 r_2 + v_3 r_3) + r_2 \left(\frac{\partial v_2}{\partial x} - \frac{\partial v_1}{\partial y} \right) + r_3 \left(\frac{\partial v_3}{\partial x} - \frac{\partial v_1}{\partial z} \right)$$

$$= \frac{1}{2}(v_1)_0 + r_1 \frac{\partial v_1}{\partial x} + r_2 \frac{\partial v_2}{\partial x} + r_3 \frac{\partial v_3}{\partial x} + \left. \begin{matrix} + v_1 \frac{\partial r_1}{\partial x} + v_2 \frac{\partial r_2}{\partial x} + v_3 \frac{\partial r_3}{\partial x} \end{matrix} \right\} \nearrow$$

$$= (v_1)_0 + r_1 \frac{\partial v_1}{\partial x} + r_2 \frac{\partial v_1}{\partial y} + r_3 \frac{\partial v_1}{\partial z} + v_1 \frac{\partial r_1}{\partial x} + v_2 \frac{\partial r_2}{\partial x} + v_3 \frac{\partial r_3}{\partial x}$$

$$2v = v_0 + (r \nabla) v + \nabla(v r)$$

Angenommen allgemein:

$$v = v_0 + (r \nabla) v = v_0 + \nabla(v r) + \nabla(\text{curl } v, r)$$

Somit müsste $v = \nabla(v r)$?

Falsch!

$$v_1 = c_{11} x + c_{12} y + c_{13} z$$

$$v_2 = c_{21} x + c_{22} y + c_{23} z$$

$$v_3 = c_{31} x + c_{32} y + c_{33} z$$

$$v_1 k = c_{11} x + c_{12} y + c_{13} z$$

$$v_2 k = c_{21} x + c_{22} y + c_{23} z$$

$$v_3 k = c_{31} x + c_{32} y + c_{33} z$$

$$* v + v_k = \begin{Bmatrix} 2c_{11} & c_{11} + c_{12} & c_{13} + c_{13} \\ c_{21} + c_{12} & 2c_{22} & c_{23} + c_{32} \\ c_{31} + c_{13} & c_{23} + c_{32} & 2c_{33} \end{Bmatrix}$$

$$v - v_k = \begin{Bmatrix} 0 & c_{21} - c_{12} & c_{31} - c_{13} \\ c_{12} - c_{21} & 0 & c_{32} - c_{23} \\ c_{13} - c_{31} & c_{23} - c_{32} & 0 \end{Bmatrix}$$

$$(51) v = \frac{1}{2}(v + v_k) + \frac{1}{2}(v - v_k)$$

$$(52) \text{ ~~the~~ } v_g = \frac{1}{2} \nabla v_g r$$

49) ϵ ustäubung des Gastes von Einfluss?

15)
$$\frac{2\pi l k}{\log \frac{R}{r}} t : \epsilon n p^2 l c s = \frac{\epsilon p^2 c s \log \frac{R}{r}}{2 k t}$$

$$\epsilon \frac{0.02^2 \cdot 215 \cdot 0.032 \cdot \log 60}{2 \cdot 0.000060 \cdot 60 \cdot 60} = \epsilon \cdot \frac{864 \cdot 43 \cdot 0.3 \cdot 0.0001 \cdot 215 \cdot 0.032 \cdot 2.3 \cdot 1.8}{2 \cdot 3600 \cdot 0.00006}$$

$$= \epsilon \frac{43 \cdot 0.32 \cdot 697}{3600 \cdot 900} = \frac{304 \cdot 0.08}{24 \cdot 900} = 2.7\%$$

Also wenn in den Schlierenmacher'schen Versuchen der ganze Gast in 1 Stunde verbrannt wäre, so würde die dadurch transportierte Wärmemenge doch nur 2.7% der Luftleitung betragen! Daher Einwurf von Gaste vollkommen unberücksichtigt.

$$\begin{array}{r} 57.386 \\ 1910 \\ \hline 2702 \\ 2200 : 17 = 1 \\ 50 \end{array}$$

$$\begin{array}{r} 724 \\ 724 \\ \hline 816 \end{array}$$

$$\begin{array}{r} 447 \\ 2765 \\ \hline 724 \end{array}$$

$$\begin{array}{r} 733 \\ 89 \\ \hline 822 \end{array}$$

$$\begin{array}{r} 267 \\ 466 \\ \hline 733 \end{array}$$

$$\begin{array}{r} 5822 \\ 146 \\ 15 \\ \hline 604 \end{array}$$

$$\begin{array}{r} 166.87 \\ 522 \\ 56 \\ \hline 144 \end{array}$$

$$\begin{array}{r} 738 \\ 87 \\ \hline 825 \end{array}$$

$$\begin{array}{r} 262 \\ 470 \\ \hline 738 \end{array}$$

$$\begin{array}{r} 690 \\ 163 \\ \hline 793 \end{array}$$

$$\begin{array}{r} 3105 \\ 379 \\ \hline 690 \end{array}$$

$$\begin{array}{r} 1860 \\ 126 \\ \hline 140 \end{array}$$

$$\begin{array}{r} 278 \\ 444 \\ 722 \\ 93 \\ \hline 815 \end{array}$$

$$k = c \frac{E_m}{E_t} \left[1 + \frac{E_i}{E_t} \right]$$

$$k = c \mu \left[\frac{E_m}{E_t} + \alpha \frac{E_i}{E_t} \right]$$

$$= c \mu \frac{E_m + \alpha E_i}{E_t}$$

$$= c \mu \frac{E_t}{E_t} \left[1 + \alpha \frac{E_i}{E_m} \right]$$

	k_{exp}	C_{obs}	k_{app}	$\frac{\text{int}}{\text{ext}} E$	Step	Winkel
L_{exp}	1.000	0.1695	1.000	0.393	100	
O_2	1.022	0.15525	1.012	0.399	1018	1.018
N_2	0.999	0.1735	0.999	0.393	(6990)	
H_2	7.13	2.427	7.13	0.393	6.72	6.33
CO_2	0.709	0.1472	0.522	0.552 447	0.642	0.609
CO	0.990	0.17315	0.997	0.388	0.981	0.983
Cl_2	0.394	0.08677	0.314	0.516		
N_2O	0.734	0.1513	0.563	0.534 466	0.665	0.691
NO	0.959	0.1662	0.933	0.409	(6950)	0.886
CH_4	1.659	0.4500	1.300	0.524 476	1.372	1.246
C_2H_4	0.890	0.2685	0.556	0.621 379 180	0.752	0.796
H_2O				0.556 444	(0.916)	0.714 0.915
NH_3	1.297	0.3865	0.947	0.70		
CS_2	0.341	0.6465	0.176			0.351
$CHCl_3$						
HCl						
Alk						
Stk	0.794	0.2015	0.1685	0.865		0.565
C_6H_6						

$$\frac{138}{862}$$

$$\frac{133}{8665}$$

$$\frac{131}{869}$$

$$\frac{155}{845}$$

$$\frac{139}{861}$$

...BROW...
...worzeniem be...
...or. z Krakowem...
...komisji kom...
...czy udziale...
...tędy...
...nolacze...
...dow...

[illegible]

